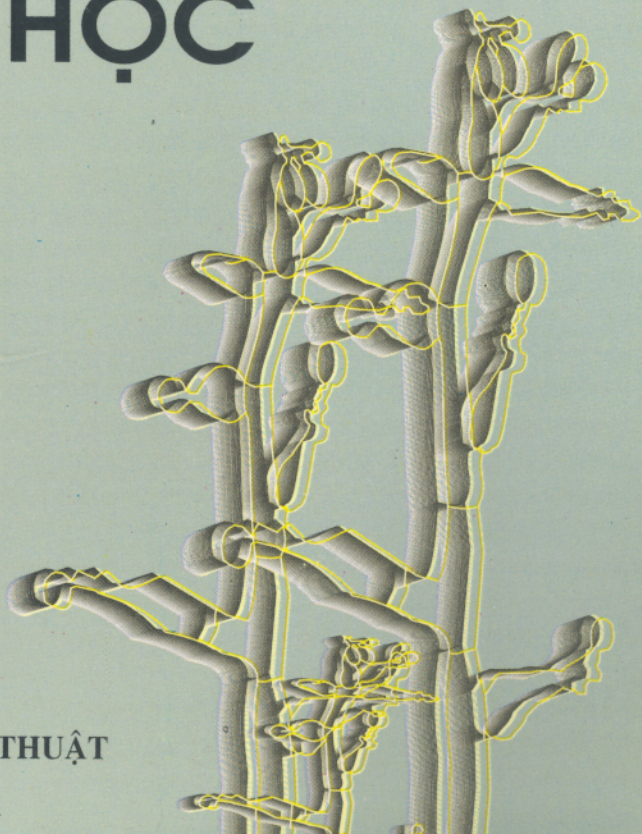


BÙI XUÂN ĐỒNG  
NGUYỄN HUY VĂN

# Vì nấm DÙNG TRONG CÔNG NGHỆ SINH HỌC



NHÀ XUẤT BẢN  
KHOA HỌC VÀ KỸ THUẬT

BÙI XUÂN ĐỒNG, NGUYỄN HUY VĂN

VI NẤM  
DÙNG TRONG  
CÔNG NGHỆ SINH HỌC



NHÀ XUẤT BẢN KHOA HỌC VÀ KỸ THUẬT  
HÀ NỘI - 2000

## **Lời nói đầu**

Hiện nay ở nước ta, tài liệu về sinh học và công nghệ sinh học quá thiếu thốn. Chúng tôi viết tập sách này nhằm góp phần nhỏ khắc phục tình hình trên.

Tập sách gồm 3 chương độc lập :

Chương 1 : Kỹ thuật lén men aflatoxin

(Thạc sĩ Nguyễn Huy Văn,

GS.TS. Bùi Xuân Đồng)

Chương 2 : Công nghệ biến đổi sinh học

(GS.TS. Bùi Xuân Đồng)

Chương 3 : Vì nám dùng trong công nghệ sinh học

(GS.TS. Bùi Xuân Đồng)

Nội dung trên được viết nhằm phục vụ việc đào tạo trong và trên đại học ở các trường có chuyên ngành vi sinh vật, làm tài liệu tham khảo đối với các cán bộ giảng dạy, nghiên cứu sinh học, công nghệ sinh học, những người làm công tác chuyên môn có liên quan và các bạn đọc quan tâm đến các chuyên ngành này. Chúng tôi rất mong nhận được sự giúp đỡ, góp ý kiến của bạn đọc.

**Bùi Xuân Đồng, Nguyễn Huy Văn**

# **MỤC LỤC**

## **Lời nói đầu**

### **Chương I – Kỹ thuật lên men aflatoxin**

1. Chọn lọc các chủng vi nấm có khả năng tạo thành các aflatoxin B1, B2, G1, G2
2. Lên men và chiết xuất aflatoxin

#### **Tài liệu tham khảo chính**

### **Chương II – Công nghệ biến đổi sinh học**

1. Những vi sinh vật có hoạt tính biến đổi sinh học
2. Những phương pháp sử dụng trong công nghệ biến đổi sinh học
3. Cơ chất biến đổi sinh học
4. Phản ứng biến đổi steroid của các loài vi sinh vật

#### **Tài liệu tham khảo chính**

### **Chương III – Vi nấm dùng trong công nghệ sinh học**

1. Nấm tiếp hợp dùng trong công nghệ sinh học
2. Nấm bắt toàn dùng trong công nghệ sinh học

#### **Tài liệu tham khảo chính**

## *Chương I*

### KỸ THUẬT LÊN MEN AFLATOXIN

Từ năm 1960, loài vi nấm *Aspergillus flavus* được phát hiện là nguyên nhân gây chết khoảng 10 vạn gà tây con ở nước Anh với các tổn thương ở gan (gan bị hoại tử, chảy máu trong gan, tăng sinh ống mật, v.v.), và tiếp theo đó phát hiện mycotoxin do loài vi nấm này tạo thành trong thức ăn và trong môi trường nuôi cây cũng gây cùng loại tổn thương gan ở súc vật thí nghiệm và gia cầm, súc vật chăn nuôi khác (vịt con, chuột, thỏ, khỉ, lợn, bò, cừu, v.v.). Mycotoxin đó được chiết xuất tinh khiết và được gọi là aflatoxin. Năm 1961, nghĩa là chỉ một năm sau khi phát hiện aflatoxin, mycotoxin này đã được xác định là ngoài bệnh cấp tính nói trên, còn có khả năng gây ung thư gan với liều lượng nhỏ ăn nhiều ngày ở các động vật thí nghiệm. Các điều tra dịch tễ học ở các vùng dân cư khác nhau trên thế giới cũng cho thấy ở các vùng mà khẩu phần thức ăn hàng ngày có chứa một hàm lượng aflatoxin tương đối cao, tỷ lệ người bị bệnh ung thư gan cao hơn ở các vùng khác. *Aspergillus flavus* Link ex Fries cùng với loài *A.parasiticus* Speare đã được xác định là hai loài vi nấm có tỷ lệ chủng tạo thành aflatoxin cao nhất trong môi trường nuôi cây, cũng như trên nhiều loại thực phẩm, ngũ cốc (lạc, đỗ tương, ngô, gạo, lúa mì, v.v.) và cả trên một số vị thuốc nam, thuốc bắc nguồn gốc thực vật như ngưu tất (radix Achyranthis bidentatae), liên nhục (semen Nelumbii), nhân sâm (radix Ginseng), v.v. bị mốc (Cl.Moreau 1974, B.X.Đồng và ct. 1998).

Vài thí dụ về kết quả nghiên cứu khả năng gây ung thư gan thực nghiệm trên súc vật và điều tra dịch tễ học (bảng 1.1 và bảng 1.2) :

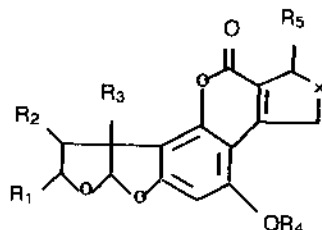
**Bảng 1.1. Kết quả thực nghiệm trên chuột về khả năng gây ung thư gan của aflatoxin (Theo B.X.Đặng, 1976)**

Lượng aflatoxin trong thức ăn (mg aflatoxin/kg chuột)	Thời gian ăn (ngày)	Tỷ lệ chuột bị ung thư gan
5,0	370	14/15
3,5	340	11/15
1,0	294	5/9
1,0	223	8/15
0,2	360	2/10
0,1	361	1/10
0,005	384	0/10

**Bảng 1.2. Tỷ lệ dân số bị ung thư gan và hàm lượng aflatoxin trung bình có trên thực phẩm (Theo Alain Reilly, 1993).**

Tên nước hoặc vùng	Hàm lượng aflatoxin trong thực phẩm ( $\mu\text{g}/\text{kg}$ )	Số người mắc ung thư gan trên 100.000 người/năm
Vùng cao Kenya	0,1	1,2
Song Kha (Thái Lan)	0,2	2,0
Thảo nguyên vùng cao (Swaziland)	0,2	2,2
Vùng cao trung bình Kenya	0,2	2,5
Thảo nguyên cao trung bình (Swaziland)	0,3	3,8
Vùng thấp Kenya	0,3	4,0
Ratbari (Thái Lan)	16	4,0
Thảo nguyên vùng thấp (Swaziland)	1,5	9,2
Mozambique	7,8	13,0

Về hóa học, aflatoxin là nhóm các hợp chất có nhân difuranocumarin. Người ta đã phát hiện và xác định cấu trúc được 16 hợp chất này, kể cả các dẫn chất đã biến đổi trong cơ thể động vật (hình 1.1. và bảng 1.3).



**Hình 1.1. Cấu trúc hóa học của các aflatoxin**

Bảng 1.3. Các nhóm hóa chất của các aflatoxin

Aflatoxin	$R_1$	$R_2$	$R_3$	$R_4$	$R_5$	X
B <sub>1</sub>	H	H	H	CH <sub>3</sub>	O	H <sub>2</sub>
G <sub>1</sub>	H	H	H	CH <sub>3</sub>	O	-OCH <sub>2</sub> (lacton)
B <sub>2</sub>	H <sub>2</sub>	H <sub>2</sub>	H	CH <sub>3</sub>	O	H <sub>2</sub>
G <sub>2</sub>	H <sub>2</sub>	H <sub>2</sub>	H	CH <sub>3</sub>	O	-OCH <sub>2</sub> (lacton)
B <sub>2</sub> a	OH	H <sub>2</sub>	H	CH <sub>3</sub>	O	H <sub>2</sub>
G <sub>2</sub> a	OH	H <sub>2</sub>	H	CH <sub>3</sub>	O	-OCH <sub>2</sub> (lacton)
1-methoxy-B <sub>1</sub>	OCH <sub>3</sub>	H <sub>2</sub>	H	CH <sub>3</sub>	O	H <sub>2</sub>
2-methoxy-B <sub>1</sub>	H <sub>2</sub>	OCH <sub>3</sub>	H	CH <sub>3</sub>	O	H <sub>2</sub>
2-ethoxy-B <sub>1</sub>	H <sub>2</sub>	OCH <sub>2</sub> CH <sub>3</sub>	H	CH <sub>3</sub>	O	H <sub>2</sub>
2-ethoxy-G <sub>1</sub>	H <sub>2</sub>	OCH <sub>2</sub> CH <sub>3</sub>	H	CH <sub>3</sub>	O	-OCH <sub>2</sub> (lacton)
Aflatoxinol (Ro)	H	H	H	CH <sub>3</sub>	OH	H <sub>2</sub>
P <sub>1</sub>	H	H	H	H	O	H <sub>2</sub>
M <sub>1</sub>	H	H	OH	CH <sub>3</sub>	O	H <sub>2</sub>
M <sub>2</sub>	H <sub>2</sub>	H <sub>2</sub>	OH	CH <sub>3</sub>	O	H <sub>2</sub>
BGM1	H	H	OH	CH <sub>3</sub>	O	-OCH <sub>2</sub> (lacton)
Dihydro-aflatoxin	H <sub>2</sub>	H <sub>2</sub>	H	CH <sub>3</sub>	OH	H <sub>2</sub>

Trong 16 aflatoxin đã được phát hiện, người ta đặc biệt chú ý đến các aflatoxin B<sub>1</sub>, G<sub>1</sub>, B<sub>2</sub> và G<sub>2</sub> vì đó là 4 aflatoxin có độc tính cao nhất, đồng thời là các aflatoxin được sinh ra với số lượng nhiều nhất cả trong tự nhiên cũng như trong môi trường nuôi cấy.

Về cơ chế gây bệnh, các kết quả thí nghiệm in vivo và in vitro cho thấy aflatoxin liên kết với ADN trong nhân tế bào (một phân tử gam aflatoxin có mối liên kết với 600 phân tử gam ADN). Sự liên kết này gây ức chế enzym polymeraza của ARN. Mặt khác, tác dụng hạn chế trong tổng hợp ARN và tác dụng ức chế polymeraza t-ARN là các nguyên nhân làm giảm sút tổng hợp protit trong tế bào. Người ta cũng đã chứng minh rằng vòng  $\alpha$ ,  $\beta$ -lacton không bão hòa có trong phân tử aflatoxin làm cho hợp chất này có hoạt tính gây ung thư, và cũng chính vòng lacton này gây ức chế tổng hợp ADN nhân tế bào, do đó làm rối loạn sự tăng trưởng bình thường của tế bào (M.F. Nexterlin và V.I.A. Vixxarionova, 1971).

Như chúng ta biết, cũng như các chất độc hại khác, aflatoxin qua đường tiêu hóa vào một số tế bào gan, tích tụ và bị chuyển hóa thành các dẫn chất giảm độc tính hay mất hẳn độc tính, đồng thời, với một hàm lượng aflatoxin nhất định, các tế bào này bị tổn thương như trên vừa nói, có nghĩa là gan đã bị tổn thương.

Ở Việt Nam, thông báo khoa học đầu tiên về phát hiện aflatoxin (từ một số chủng vi nấm dùng để lên men sản xuất nước chấm bàng đồ tương) vào năm 1970. Từ đó đến nay, nhiều công trình nghiên cứu về aflatoxin, các mycotoxin khác và các loài vi nấm tương ứng đã được thực hiện về điều tra phát hiện trên lương thực, thực phẩm, dược liệu, về lên men aflatoxin về thực nghiệm trên súc vật thí nghiệm, về dược lý học, về thú y v.v.

Hầu như tất cả các thí nghiệm, các công trình nghiên cứu nói trên đều cần có aflatoxin tinh khiết. Mặt khác, các phương pháp kiểm nghiệm aflatoxin hiện nay trên thế giới đều cần đến aflatoxin chuẩn. Giá loại hóa chất chuẩn này rất đắt (vài nghìn USD/1g), nước ta đang hoàn toàn phải nhập từ nước ngoài. Vì vậy, việc từng bước biểu biết và nám vững công nghệ sản xuất loại hóa chất này là một trong các mục tiêu của công nghệ sinh học nước ta.

Cũng như đối với các sản phẩm lên men vi sinh vật khác (enzim, acid amin, acid hữu cơ, thuốc kháng sinh, v.v.), việc nghiên cứu sản xuất aflatoxin gồm các giai đoạn sau :

- Chọn lọc các chủng có khả năng tạo thành các aflatoxin B1, B2, G1, G2, trước hết là các aflatoxin B1, G1.
- Cân cứ vào các đặc điểm sinh học của loài *Aspergillus flavus* (hoặc *A. parasiticus*) như nhu cầu dinh dưỡng, nhu cầu oxy, pH môi trường, nhiệt độ, thời gian nuôi cấy, v.v., xác định các thông số lên men tối ưu.
- Lên men và chiết xuất aflatoxin.
- Kiểm tra sản phẩm

## I. CHỌN LỌC CÁC CHỦNG VI NẤM CÓ KHẢ NĂNG TẠO THÀNH CÁC AFLATOXIN B1, B2, G1, G2

Như trên đã trình bày, các aflatoxin B1, G1, B2, G2 là các aflatoxin có độc tính cao nhất (giảm dần theo thứ tự), nghĩa là có khả năng gây bệnh lớn nhất, đặc biệt là các aflatoxin B1, G1. Vì vậy trừ các nghiên cứu riêng biệt, việc kiểm nghiệm aflatoxin đối với lương thực, thực phẩm, thức ăn gia súc, gia cầm thông thường chỉ tiến hành với các aflatoxin B1, G1, do đó nhu cầu chất chuẩn về aflatoxin chủ yếu là 2 aflatoxin này.

Chúng ta cũng biết rằng cho đến nay *Aspergillus flavus* và *A. parasiticus* được xác định là 2 loài có khả năng tạo thành aflatoxin cao nhất. Hai loài vi nấm này, đặc biệt là loài *A. flavus* có tỷ lệ số chủng tạo thành aflatoxin lớn, đồng thời có một số chủng tạo thành nhiều

aflatoxin, nghĩa là có khả năng cho hiệu suất lên men cao. Vì lẽ đó, khi chọn các chủng vi nấm để lên men aflatoxin, đặc biệt là để lên men aflatoxin B1, người ta phân lập và chọn lọc các chủng thuộc loài *A.flavus*. Các chủng thuộc loài *A.parasiticus* thường tạo thành đồng thời các aflatoxin B1, G1. Thị dụ các chủng *Aspergillus flavus* NRRL 3357 và *Aspergillus parasiticus* NRRL 2999 của một trung tâm nghiên cứu nông học ở Mỹ tạo thành các aflatoxin B1, G1 nuôi cấy trên lạc (bảng 1.4).

**Bảng 1.4. Lượng aflatoxin được tạo thành bởi các chủng *Aspergillus flavus* NRRL 3357 và *A.parasiticus* NRRL 2999 (nhiệt độ nuôi cấy 25°C, theo Noris Kimura, 1988)**

Các chủng vi nấm	Aflatoxin B1 (ppm)				Aflatoxin G1 (ppm)			
	Số ngày nuôi cấy				Số ngày nuôi cấy			
	3	5	7	9	3	5	7	9
<i>Aspergillus flavus</i> NRRL 3357	4,8	63,9	43,8	37,6				
<i>Aspergillus parasiticus</i> NRRL 2999	3,1	67,4	38,7	30,0	8,7	110,3	90,6	50,7

Để có những chủng vi nấm thuộc các loài *Aspergillus flavus* và *A.parasiticus*, chúng ta có thể mua các chủng đó ở các Bảo tàng giống vi sinh vật trên thế giới hoặc ở một số cơ sở giữ giống vi sinh vật trong nước.

Về các Bảo tàng giống vi sinh vật trên thế giới, có thể kể làm thí dụ một số cơ sở sau :

- ATTC (American Type Culture Collection) - Parklawn Drive Rockville, U. S.A.
- BCCM (British Commonwenth Collections of Microorganisms) - London, England
- CBS (Centraalbureau voor Schimmelcultures) - Baarn, Netherlands
- CCF (Culture Collection of Fungi, Department of Sciences) - Prague, Czech.
- CMI (Commonwealth Mycological Institute) - Kew, Surrey, England.
- IFM (Institute for Food Microbiology) - Chibaken, Japan

- ITCC (Indian Type Culture Collection) - New Delhi, India
- ICP (Laboratoire de Cryptogamie, Museum national d'Histoire naturelle) - Paris, France.
- NRRL (Northern Regional Research Laboratory, U.S. Department of Agriculture) - Peorin, U.S.A.

Ở Việt Nam, các cơ sở sau có thể cung cấp các chủng thuộc 2 loài vi nấm nói trên :

- Bảo tàng giống vi sinh vật, Đại học quốc gia, Hà Nội.
- Bộ môn Thực vật, Đại học Dược, Hà Nội.

Chúng ta cần chú ý là các chủng vi nấm được giữ ở các bảo tàng hay các cơ sở giữ giống thường đã được cấy truyền nhiều lần, do đó đã giảm hoạt tính sinh học, hiệu suất lén men aflatoxin không cao bằng các chủng mới phân lập từ cơ chất tự nhiên hay từ các sản phẩm nông nghiệp.

Để chọn lọc các chủng của các loài *Aspergillus flavus* và *A.parasiticus* từ lạc nhân, có thể tiến hành theo sơ đồ các thí nghiệm ở bảng 1.5.

**Bảng 1.5. Sơ đồ các thí nghiệm chọn lọc các chủng vi nấm thuộc các loài *Aspergillus flavus* và *A.parasiticus* để lén men aflatoxin**

Thí nghiệm 1	Mục đích : Phân lập các chủng thuộc nhóm loài <i>Aspergillus flavus</i> Môi trường : Môi trường Czapek (+ kháng sinh) Phương pháp : Ulater
Thí nghiệm 2	Mục đích : Định loại để chọn các chủng thuộc các loài <i>A.flavus</i> và <i>A.parasiticus</i> Môi trường : Môi trường Czapek Phương pháp : Định loại hình thái
Thí nghiệm 3	Mục đích : Lén men các chủng thuộc các loài <i>A.flavus</i> và <i>A.parasiticus</i> Môi trường : Môi trường Czapek sửa đổi Phương pháp : Lén men lỏng trong bình nón
Thí nghiệm 4	Mục đích : Sơ bộ chọn các chủng tạo thành aflatoxin Phương pháp : Sắc ký cột nhỏ
Thí nghiệm 5	Mục đích : Chọn các chủng tạo thành aflatoxin cho hiệu suất cao Phương pháp : Chiết xuất aflatoxin bằng dung môi Định lượng aflatoxin bằng sắc ký bán móng
Thí nghiệm 6	Mục đích : Lén men kiểm tra chủng tạo thành aflatoxin cho hiệu suất cao nhất Phương pháp : Như ở thí nghiệm 5

## 1.1. Phân lập các chủng thuộc nhóm loài *Aspergillus flavus* (thí nghiệm 1).

Để các chủng thuộc nhóm loài này được thuần khiết (không bị lẩn vi khuẩn hoặc các loài vi nấm khác), chúng ta phải phân lập khuẩn lạc của các loài thuộc nhóm loài này từ trên mặt môi trường thạch trong hộp lồng đặt các hạt lạc, từ ngày thứ hai, và chậm nhất là ngày thứ năm kể từ khi đặt lạc vào môi trường. Thường từ cuối ngày thứ hai trở đi, khuẩn lạc của một số loài vi nấm tăng trưởng nhanh đã che phủ một phần khuẩn lạc của các loài vi nấm khác, gây khó khăn cho việc phân lập.

Khuẩn lạc các loài thuộc nhóm loài *Aspergillus flavus* ở các ngày tuổi từ thứ hai đến thứ năm là những khuẩn lạc non, chưa có những đặc điểm phân loại đặc trưng. Ở các khuẩn lạc này, các bộ máy sinh bào tử trần cũng chưa trưởng thành hoàn toàn, do đó cũng chưa có những đặc điểm phân loại đặc trưng cần thiết.

Vì hai lý do chính trên (phân lập khi khuẩn lạc còn non, khuẩn lạc non không có các đặc điểm phân loại đặc trưng), chúng ta không phân lập được các chủng của từng loài *Aspergillus flavus* hoặc *A.parasiticus* riêng biệt trên môi trường đặt lạc, mà phải phân lập tất cả các chủng của 2 loài vi nấm này cùng với các chủng của các loài có một số đặc điểm hình thái của khuẩn lạc giống với các đặc điểm cùng loại của 2 loài vi nấm nói trên, nói cách khác, chúng ta phân lập các chủng từ khuẩn lạc của tất cả các loài trong nhóm loài *Aspergillus flavus* (xem giải thích về nhóm loài trong phần định loại ở đoạn dưới).

Việc phân lập các chủng thuộc nhóm loài *Aspergillus flavus* được tiến hành cụ thể như sau :

*Môi trường phân lập :*

*Môi trường Czapek (bổ sung kháng sinh) :*

$\text{NaNO}_3$	3,0g
$\text{K}_2\text{HPO}_4$	1,0g
$\text{MgSO}_4 \cdot 7\text{H}_2\text{O}$	0,5g
KCl	0,5g
$\text{FeSO}_4 \cdot 7\text{H}_2\text{O}$	0,01g
Saccharose	30,0g
Thạch	20,0g
(Tetracyclin)	0,5g)*

Nước cất

1000 ml

\*(Có thể thay bằng : penicillin 0,25g + streptomycin 0,25g).

Ngâm thạch vào khoảng 400 ml nước cất để thạch trương nở. Nếu thạch ở dạng sợi, cắt sợi thành từng đoạn dài 1 - 2 cm. Hòa tan các thành phần khác của môi trường trong phần nước cất còn lại, để dung dịch này vào hỗn hợp nước thạch.

Dun sôi cho thạch tan hoàn toàn, rồi phân phoi môi trường vào trong các bình nón có dung tích 100 - 200 ml, tiệt trùng trong nồi hấp ở 120°C trong 20 min. Trước khi phân phoi môi trường vào trong các hộp lồng, bổ sung kháng sinh (tetracyclin 0,5g cho 1 lit môi trường) để ức chế sự phát triển của vi khuẩn. Dùng phân môi trường không bổ sung kháng sinh để làm thạch nghiêng trong các ống thử có đường kính 12 - 15 mm.

#### Kỹ thuật phân lập :

Để phân lập các chủng vi nấm từ lạc, có thể dùng phương pháp Ulster áp dụng chung cho việc phân lập vi nấm từ các loại hạt. Tiến hành như sau :

Tách các hạt lạc làm 2 nửa, đặt các nửa hạt lạc này trên mặt môi trường thạch trong hộp lồng, lá mầm úp xuống môi trường. Mỗi hộp lồng, đặt 10 nửa hạt cách đều nhau.

Tiến hành trong điều kiện vô trùng (trong tủ cấy đã tiệt trùng).

Nuôi cấy ở tủ ấm 28+1°C.

Phân lập từ ngày thứ hai đến ngày thứ năm vào các ống thạch nghiêng các khuẩn lạc màu lục, vàng lục trong tủ cấy.

Để tiếp các ống thạch nghiêng đã cấy nấm vào tủ ấm ở nhiệt độ trên. Theo dõi nấm mọc trong các ống thạch nghiêng từ ngày thứ hai đến ngày thứ mười để kiểm tra độ thuần khiết của chủng vi nấm. Loại các chủng vi nấm bị nhiễm vi khuẩn hay các loài vi nấm không thuộc nhóm loài *Aspergillus flavus*. Ghi nhận cho mỗi ống thạch nghiêng : ngày phân lập, môi trường phân lập, ký hiệu nguồn gốc chủng vi nấm (nơi thu nhận mẫu lạc).

Chúng ta gọi mỗi khuẩn lạc trong một ống thạch nghiêng là một chủng vi nấm, và cho mỗi chủng vi nấm đó một số hiệu để lưu trữ và sử dụng cho các thí nghiệm tiếp theo.

## 1.2. Định loại để chọn các chủng thuộc các loài *Aspergillus flavus* và *A.parasiticus* (thí nghiệm 2)

Môi trường định loại : môi trường Czapek

Cấy truyền các chủng thuộc nhóm loài *Aspergillus flavus* đã phân lập trong ống thạch nghiêng sang môi trường Czapek trong hộp lồng. Cấy một điểm ở trung tâm trên mặt môi trường, sao cho ở mỗi hộp lồng chỉ có 1 khuẩn lạc. Muốn vậy, cần chạm rất nhẹ đầu que cấy vào khuẩn lạc trong ống thạch nghiêng, chuyển nhanh và nhẹ tay đầu que cấy sang môi trường trong hộp lồng. Cũng cần chú ý thực hiện tốt các điều kiện vô trùng khi thực hiện thao tác này (trong phòng có trang bị lameine hoặc trong buồng cấy đã tiệt trùng, thao tác trên ngọn lửa đèn cồn, đầu kim loại của que cấy được đốt đỏ trên ngọn lửa đèn cồn và làm nguội trong môi trường ở mép khuẩn lạc trong ống thạch nghiêng, tiệt trùng tay kỹ bằng cồn  $70^{\circ}$ , v.v.). Mỗi chủng nấm trong ống thạch nghiêng được cấy sang 3 hộp lồng. Chọn một hộp lồng có khuẩn lạc đẹp nhất để làm tiêu bản vi học.

Vì việc phân lập các chủng thuộc nhóm loài *Aspergillus flavus* chỉ có thể căn cứ vào 1 - 2 đặc điểm của khuẩn lạc, nên thường phân lập cả các chủng của các nhóm loài khác của chi *Aspergillus*, và đôi khi cả các chủng của chi vi nấm khác, nên để định loại chắc chắn các chủng của các loài *Aspergillus flavus* và *A.parasiticus* cần tiến hành lần lượt các bước sau (sau khi đã cấy truyền chủng vi nấm từ ống thạch nghiêng sang các hộp lồng) :

- Xác định các đặc điểm hình thái của khuẩn lạc.
- Xác định các đặc điểm của bào tử trần và bộ máy mang bào tử trần.
- Định loại chủng vi nấm đến chi *Aspergillus*.
- Định loại chủng vi nấm đến nhóm loài *Aspergillus flavus*
- Định loại chủng vi nấm đến loài *A.flavus* hoặc loài *A.parasiticus*.

Xác định các đặc điểm hình thái của khuẩn lạc :

Quan sát và ghi chép tất cả 3 hộp lồng của một chủng và xác định các đặc điểm sau ở khuẩn lạc 2, 5 và 12 ngày tuổi :

Dường kính trung bình của khuẩn lạc.

Chiều cao tối đa của khuẩn lạc

Dạng mặt của khuẩn lạc (dạng hạt, dạng sợi nấm nằm ngang hay dạng sợi thẳng đứng).

Màu sắc của mặt trên khuẩn lạc (màu sắc của các khối bào tử trần tạo thành ở trên mặt khuẩn lạc).

Màu sắc của mặt dưới (mặt sau) khuẩn lạc (màu sắc của hệ sợi nấm nén và màu sắc của sác tố hòa tan nếu có).

Các đặc điểm khác trên mặt khuẩn lạc nếu có : giọt tiết (exudat), các sợi nấm thứ cấp, các bó sợi, các hạch nấm, v.v.

#### Xác định các đặc điểm của bào tử trân và bộ máy mang bào tử trân :

Các đặc điểm này được xác định trên tiêu bản vi học với thuốc nhuộm màu Xanh methyl hoặc Xanh Coton C4B 0,5% trong lactophenol.

#### Các đặc điểm cần xác định :

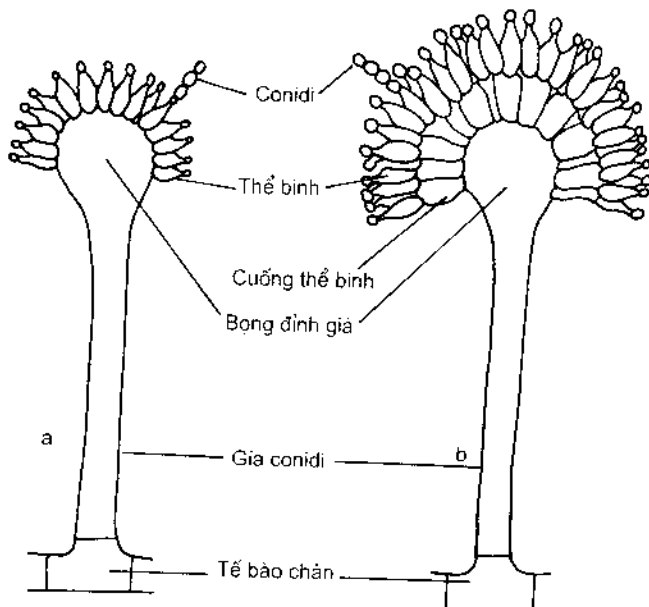
Sợi nấm : có hay không vách ngang, đường kính, màu sắc nếu có, nhẵn hoặc có gai, các dạng hình thái đặc biệt nếu có.

Bộ máy mang bào tử trân : các thành phần của bộ máy mang bào tử trân (tế bào châm, giá bào tử trân, bọng đinh giá, cuống thể bình, thể bình), hình dạng, kích thước, màu sắc, bề mặt có gai hay nhẵn của các thành phần này. Các thành phần phụ như bó giá, sợi cứng nếu có.

Bào tử trân : hình dạng, kích thước, màu sắc, mặt nhẵn hay có gai, kiểu phát sinh bào tử, dạng tập hợp của bào tử trân (chuỗi song song, chuỗi phân ly, khối cầu, tia tỏa tròn, khối chuỗi hình chùy, v.v.). Các loại bào tử khác nếu có (hình 1.2).

#### Định loại chủng nấm đến chi *Aspergillus* Mich. ex Fr.

Trong hệ thống phân loại ngành Nấm (Mycota, Mycophyta) của Saccardo (1886), chi *Aspergillus* thuộc họ Moniliaceae, bộ Moniliales (bộ



Hình 1.2. Sơ đồ bộ máy mang bào tử trân (conidi) của chi *Aspergillus* Mich. ex Fr.

a - Bộ máy mang bào tử trân không có cuống thè bình.

b - Bộ máy mang bào tử trân có cuống thè bình

Hyphales), lớp Deuteromycetes (Fungi imperfecti). Theo hệ thống phân loại căn cứ vào đặc điểm hình thái kết hợp với đặc điểm phát sinh bào tử trần của Nấm bất toàn (Fungi imperfecti), chi *Aspergillus* thuộc tổ chi Phialoconidiae, lớp phụ Euhyphomycetidae, lớp Hyphomycetes, ngành phụ Nấm bất toàn (Deuteromycotina), ngành Nấm (Mycota).

So sánh các đặc điểm hình thái của khuẩn lạc và các đặc điểm vi học trong bảng 1.6 để định loại chi *Aspergillus*.

**Bảng 1.6. Các nhóm phân loại (taxon) và các đặc điểm phân loại tương ứng để định loại các chủng vi nấm đến chi *Aspergillus*.**

Các nhóm phân loại	Các đặc điểm phân loại tương ứng
Deuteromycotina	Sợi nấm ngăn vách
Hyphomycetes	Chỉ có bào tử vô tính là bào tử trần (không có bào tử hữu tính. Đôi khi có bào tử áo).
Euhyphomycetidae	Giá bào tử trần (conidiophore) tự do (không ở trong túi giá (pycnidium) hay trong đĩa giá (sporodochium))
Phialoconidiae	Bào tử trần thuộc tip cơ bản euconidi (bào tử trần chỉ được tạo thành bởi tế bào sinh bào tử trần).
Aspergillus	Bào tử trần thuộc tip phialoconidi (tế bào sinh bào tử trần là phialid). Bào tử trần không ngăn vách. Bộ máy mang bào tử trần hình hoa cúc, gồm : giá bào tử trần không phân nhánh, bong đinh giá (vesicle), cuống thể bình (metulae) xếp trên mặt bong đinh giá (một số loài không có cuống thể bình), thể bình (phialid) xếp thành cụm trên đinh cuống thể bình hoặc trực tiếp ở trên mặt bong đinh giá (chủ yếu ở các loài không có cuống thể bình), khối bào tử trần khô (không có chất nhày) gồm các chuỗi bào tử trần dài tu hợp lại thành hình cột (in column), hình cầu, hình tia tỏa tròn. Bao giờ cũng có tế bào chân (foot-cell) ở gốc giá bào tử trần.

Nếu chủng vi nấm có các đặc điểm phân loại ở trong bảng 1.6, hùng đó thuộc chi *Aspergillus*.

**Định loại chủng vi nấm đến nhóm loài *Aspergillus flavus***

Cho đến hiện nay, chuyên luận phân loại chi *Aspergillus* của Raper & Fennell (1966) vẫn được dùng làm tài liệu chính để định loại các loài chủng vi nấm này. Chi *Aspergillus* trong chuyên luận này có 133 loài à 18 thứ, được tập hợp trong 18 nhóm loài. Vì vậy trước khi *định loại* một chủng vi nấm đã được định loại là thuộc chi *Aspergillus*, xác định chủng đó thuộc *nhóm loài* nào trong 18 nhóm loài nói trên.

Nhóm loài *Aspergillus flavus* đặc trưng bởi các đặc điểm sau :

Khuẩn lạc (các khối bào tử trắn trên mặt khuẩn lạc) màu lục, lục vàng, lục nâu, xanh lục.

Bọng đinh giá có cuống thể bình và thể bình, xen lẫn một số lượng nhỏ các bọng chỉ mang thể bình (trừ một loài và một thứ có bọng đinh giá chỉ mang thể bình).

Bọng đinh giá hình cầu (trừ các bọng đinh giá chỉ mang thể bình).

Khối bào tử trắn (conidial head) hình cầu, hình tia tỏa tròn (sau tách thành hình cột ở vài loài).

**Định loại chủng vi nấm đến các loài *Aspergillus flavus* Link ex Fr. và *A. parasiticus* Speare**

Sau khi định loại chủng vi nấm đến nhóm loài (nhóm loài *Aspergillus flavus*), khâu cuối cùng trong việc định loại một chủng vi nấm là xác định loài của chủng vi nấm đó.

Nhóm loài *Aspergillus flavus* gồm 9 loài và 2 thứ. Để định loại các loài *Aspergillus flavus* và *A.parasiticus* trong nhóm loài này, có thể dùng khóa phân loại trong bảng 1.7.

**Bảng 1.7. Khóa định loại nhóm loài *Aspergillus flavus***

- a. Bọng đinh giá chỉ mang thể bình ..... b
- a. Bọng đinh giá mang cả cuống thể bình và thể bình, có rất ít bọng đinh giá chỉ mang thể bình ..... c
- b. Khối bào tử trắn hình tia tỏa tròn, đường kính 400 - 500  $\mu\text{m}$  .....  
..... *A. parasiticus* Speare.
- b. Khối bào tử trắn hình cột, dài 400 - 500  $\mu\text{m}$  .....  
..... *A.flavus* Link ex Fr.var *columinaris* Rap. et Fenn.
- c. Khuẩn lạc mỏng, thưa thớt sợi nấm và bào tử (chỉ phát triển tốt ở môi trường cao lúa mạch) .....  
..... *A.zinatus* Kwon et Fennell
- c. Khuẩn lạc phát triển bình thường ..... d
- d. Bào tử trắn hình elip kẽ cả khi đã già .....  
..... *A.subolivaceus* Rap.et Fenn.  
..... *A.clavato-flavus* Rap.et Fenn.
- d. Bào tử trắn hình cầu hoặc phần lớn hình cầu ..... e
- e. Bào tử trắn sần sùi .....  
..... *A.tamarii* Kita  
*A.flavo-furcatis* Batista et Naia

- e. Bào tử trần ráp hoặc có gai rõ rệt . . . . . g
- g. Khuẩn lục màu lục vàng, lục nâu, sau chuyển thành lục nâu, nâu. Giá bào tử trần dài 1,5 cm, có thể tới 4,5 cm . . . . .
- ..... *A.oryzae* (Ahlburg) Cohn, *A. oryzae* (Ahlburg) Cohn var. *effusus*  
(Tiraboschi) Ohara
- g. Khuẩn lục màu vàng, lục vàng, xanh lục, sau không chuyển màu. Giá bào tử trần ngắn (dài dưới 1,0 cm) . . . . .

..... *A.flavus* Link ex Fr. (Hình 1.3)

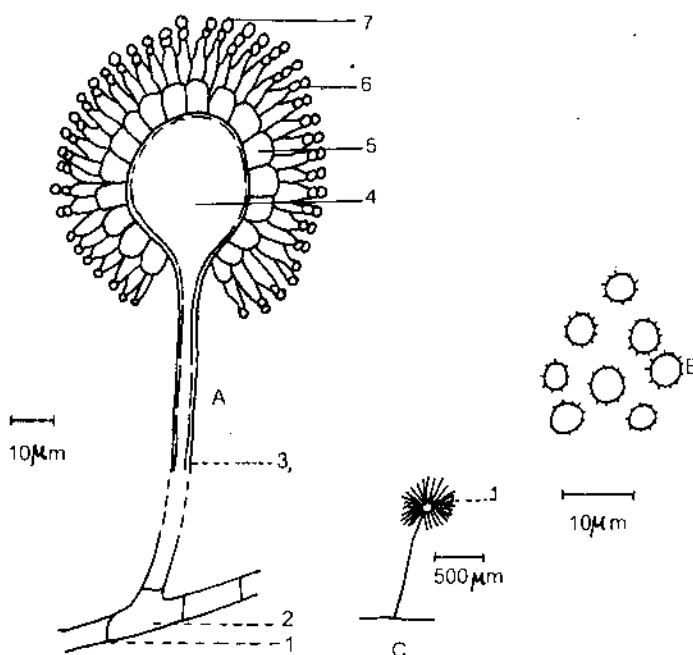
Sau khi đã định loại chủng vi nấm theo khóa phân loại nhóm loài *Aspergillus flavus*, cần kiểm tra lại tất cả các đặc điểm phân loại của 2 loài *A.flavus* và *A.parasiticus* ở bảng 1.8 để tránh sai sót.

**Hình 1.8. Các đặc điểm phân loại của các loài *Aspergillus flavus* Link ex Fr. và *A.parasiticus* Speare trên môi trường Czapek, nhiệt độ nuôi cấy  $28 + 1^{\circ}\text{C}$ , 10 ngày tuổi**

Đặc điểm	<i>A.flavus</i>	<i>A.parasiticus</i>
<b>Khuẩn lục</b>		
Dạng mặt	Dạng len	Dạng len, xếp nhẹ
Màu sắc	Lục vàng	Lục vàng, xanh lục
Màu mặt sau	Không màu, nâu hồng	Cream, nâu nhạt
Giọt tiết	Có hoặc không	Không
Sắc tố hòa tan quanh khuẩn lục	Không	Không
Đường kính (cm)	6,0 - 8,0	3,0 - 5,5
<b>Giá bào tử trần</b>		
Bề mặt	Ráp hoặc nhẵn	Ráp hoặc nhẵn
Chiều dài ( $\mu\text{m}$ )	500-800 (100-150)	300 - 700
Đường kính ( $\mu\text{m}$ )	15-20 (5-10)	
<b>Khối bào tử trần</b>		
Hình dạng	Tia tỏa tròn, cột	Cầu, tia tỏa tròn
Đường kính, chiều dài ( $\mu\text{m}$ )	300 - 500 (50 - 300)	300 - 450
<b>Bong đinh giá</b>		
Hình dạng		hình bình
Đường kính ( $\mu\text{m}$ )	Cầu (chày) 25 - 45 (10 - 20)	20 - 35
<b>Cuống thê bình</b>		
Có mặt	Có (không)	Không
Kích thước ( $\mu\text{m}$ )	5,0-10 x 3,5-5,5	
<b>Thê bình</b>		
Hình dạng	Hình bình	Hình bình
Kích thước ( $\mu\text{m}$ )	6,5-12,0 x 3,0 - 6,0	7,0-9,0; 3,0-4,5
<b>Bào tử trần</b>		
Hình dạng	Cầu, hình trúng	Cầu
Bề mặt	Có gai	Ráp hoặc có gai
Đường kính, trục lớn ( $\mu\text{m}$ )	3,0 - 6,0	3,5 - 5,5

**Chú thích** – Trong ngoặc đơn : đặc điểm các thành phần của bộ máy mang bào tử trần chỉ có thể hình của loài *A. flavus*.

### 1.3. Sơ bộ chọn các chủng thuộc các loài *Aspergillus flavus* và *A. parasiticus* tạo thành aflatoxin (thí nghiệm 3 và 4).



Hình 1.3. Bào tử trần và bộ máy mang bào tử trần của loài *Aspergillus flavus* Link ex Fries (loại bộ máy mang bào tử trần có cuống thè bình) :

A – Các thành phần của bộ máy mang bào tử trần.

1. Sợi nấm ; 2. Tế bào chân ; 3. Giá bào tử trần ; 4. Bọng định giá ;  
5. Cuống thè bình ; 6. Thè bình ; 7. Bào tử trần.

B – Bào tử trần.

C – Bộ máy mang bào tử trần trưởng thành với khối bào tử trần  
hình tia tỏa tròn.

Vì không phải tất cả các chủng của các loài *Aspergillus flavus* và *A. parasiticus* đều tạo thành aflatoxin, nên trước khi lên men để chiết xuất aflatoxin, cần chọn nhanh và loại bỏ các chủng không tạo thành các mycotoxin này. Ở Pháp chẳng hạn, 25% số chủng của loài *A. flavus* phân lập từ lương thực, thực phẩm và thức ăn gia súc tạo thành aflatoxin, ở một số nước châu Phi và một số vùng ở Tây Nam Á, số chủng này là 50%. Một thông báo ở Mỹ năm 1973 cho biết các chủng của loài *A. flavus* tạo thành aflatoxin trên lạc chiếm 96%, ở hạt bông chiếm 78%, ở lúa mạch chiếm 49% và ở gạo là 35%. Kết quả một khảo sát ở Hà Nội cho

biết các mẫu lạc lẩy ở 10 địa điểm khác nhau có 60% số chủng của loài vi nấm nơi trên tạo thành aflatoxin (theo B.X.Đồng, 1976).

Các số liệu trên chỉ có ý nghĩa hạn chế vì điều kiện nghiên cứu, khảo sát khác nhau (sản phẩm chưa mốc hay đã mốc, các phương pháp phân lập vi nấm, phương pháp phát hiện aflatoxin, v.v.), nhưng cho chúng ta thấy cần phải loại các chủng thuộc các loài *A.flavus* và *A.parasiticus* không tạo thành aflatoxin trong nghiên cứu lên men aflatoxin.

Các kết quả nghiên cứu ở Tổ bộ môn Vi nấm - Kháng sinh trường Đại học Dược Hà Nội cho thấy có thể dùng phương pháp phát hiện nhanh aflatoxin để chọn lọc các chủng thuộc các loài *A.flavus* và *A.parasiticus* tạo thành mycotoxin này.

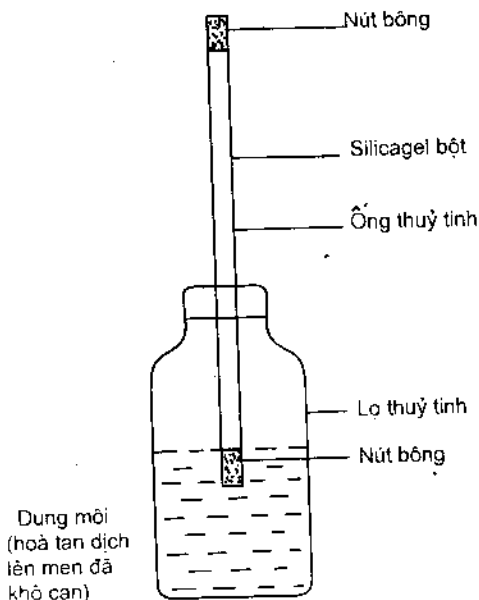
Môi trường lên men : môi trường Czapek không có thạch, trong đó natri nitrat được thay bằng amoni nitrat cùng lượng (theo kết quả nghiên cứu của D.Ba và ct., 1997), nước cất được thay bằng nước chiết ngũ (60g ngũ hạt, 500 ml nước cất, đun sôi trong 1h30 min, lọc qua gạc, bổ sung nước cất cho đủ 1000 ml). Tiệt trùng ở 120°C, 30 min.

Cấy mỗi chủng vi nấm vào 3 bình nón có dung tích 100 ml, mỗi bình chứa 20 ml môi trường (điều kiện vô trùng). Nhiệt độ nuôi cấy : 28+1°C. Thời gian nuôi cấy : 6 ngày. Lắc ngang : 120 lắc/min.

Xác định nhanh aflatoxin bằng phương pháp sắc ký cột nhỏ (SKCN), tiến hành như sau :

Chuẩn bị sẵn nhiều bộ dụng cụ SKCN. Mỗi bộ SKCN gồm : 1 lọ thủy tinh có chiều cao 5 cm, đường kính trong miệng lọ khoảng 2 cm (có thể dùng lọ đựng bột penicilin tiêm), 1 ống thủy tinh có chiều dài 10 cm, đường kính trong 0,5 cm, nhồi silicagel vào ống ( $1 \pm 0,1$ g), nút đú ống bằng bông dày 0,5 cm (hình 1.4).

Cô ở ngọn lửa nhỏ dịch lên men trong các bình nón đến khi vừa cạn hết nước. Đổ vào mỗi bình nón 10 ml methanol hoặc chloroform, lắc 10 min để hòa tan aflatoxin nếu có trong dịch lên men. Đổ dung môi đã hòa tan cần vào lọ thủy tinh của bộ SKCN (khoảng 2 - 3 ml, trên nửa chiều cao của lọ). Lắp ống thủy tinh chứa silicagel bột vào nút đú khoan lỗ vừa khít với ống. Dây ống silicagel xuống cho đầu mút của ống ngập hết bông trong lớp dung môi. Khi dung môi đã chảy lên hết lớp bông ở đầu mút trên của ống, lấy ống ra khỏi lọ và sấy khô ống ở 60°C (thường trong 5 min). Phát hiện vết có huỳnh quang xanh hoặc lục trên cột silicagel ở đèn tử ngoại (UV) có  $\lambda$ 365 nm. Tiến hành song song với aflatoxin chuẩn hòa tan trong cùng loại dung môi (nồng độ dung dịch aflatoxin chuẩn :  $2\mu\text{g/ml}$ ).



Hình 1.4. Bộ dụng cụ sác ký cột nhỏ

Chủng vi nấm có dịch lên men có vết huỳnh quang xanh hay lục cùng màu và cùng vị trí trong cột silicagel với vết huỳnh quang của các aflatoxin chuẩn, chủng đó có khả năng tạo thành aflatoxin. Thường chỉ cần tiến hành với 2 loại aflatoxin chuẩn : aflatoxin B1 (có huỳnh quang xanh), aflatoxin G1 (có huỳnh quang lục).

Phương pháp trên cũng có thể dùng để phát hiện nhanh sự có mặt của aflatoxin trên các loại lương thực, thực phẩm, thức ăn gia súc.

Có thể dùng phương pháp sác ký bản móng để phát hiện và chọn số bộ các chủng tạo thành aflatoxin của các chủng vi nấm.

#### 1.4. Chọn các chủng tạo thành aflatoxin cho hiệu suất cao (thí nghiệm 5 và 6)

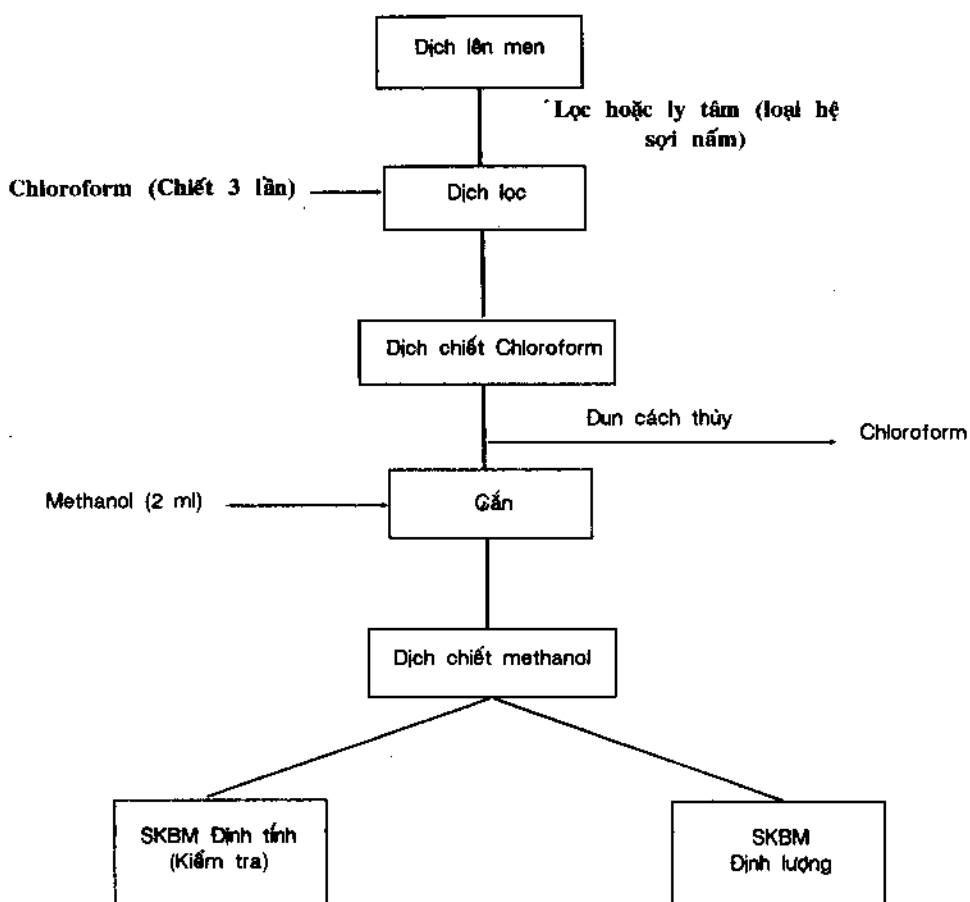
Môi trường lên men và phương pháp lên men aflatoxin tiến hành như ở 1.3.

Để chọn các chủng tạo thành aflatoxin cho hiệu suất cao, cần tiến hành định lượng aflatoxin của các dịch lên men nói trên. Việc định lượng này gồm 2 bước (hình 1.5).

- Chiết xuất aflatoxin của dịch lên men bằng dung môi.
- Định lượng aflatoxin bằng sác ký bản móng (SKBM).

Để định lượng aflatoxin nên dùng các bản móng silicagel đúng tiêu chuẩn, thí dụ các bản móng silicagel Kieselgel 60 F<sub>254</sub> của hãng Merck, dày 0,2 mm, kích thước 15 x 15 hoặc 20 x 20 cm.

Aflatoxin chuẩn : các aflatoxin B1, G1, B2, G2 hoặc ít nhất các aflatoxin B1, G1 (thí dụ các aflatoxin chuẩn của hãng Fluka AG, Chem. Fabrik CH-9470 Buchs – CHLB Đức).



Hình 1.5. Sơ đồ quy trình định lượng aflatoxin để chọn các chủng thuộc các loài *Aspergillus flavus* và *A.parasiticus* cho hiệu suất lên men aflatoxin cao (SKBM : sắc ký bán mờ).

Có thể dùng một trong các hệ dung môi khai triển SKBM sau :

Chloroform – Methanol (97 : 3)

Chloroform – Methanol (95 : 5)

Aceton – Chloroform (1 : 9)

So sánh màu huỳnh quang và trị số Rf của dịch chiết methanol với aflatoxin chuẩn ở UV có  $\lambda$  : 365 nm.

Để khẳng định thêm các vết huỳnh quang trên sác ký đồ là aflatoxin, phun acid nitric 50% lên sác ký đồ, các vết aflatoxin đổi thành huỳnh quang màu vàng, hoặc phun acid sulfuric 25% lên sác ký đồ, các vết aflatoxin đổi thành huỳnh quang màu đỏ gạch.

Để định lượng aflatoxin, cũng dùng SKBM như trên với dịch chiết methanol pha loãng, so sánh cường độ huỳnh quang của các dung dịch aflatoxin chuẩn đã biết trước nồng độ. Dịch chiết được chấm trên bản mỏng silicagel với các thể tích khác nhau, cùng trên bản mỏng chấm các dung dịch aflatoxin chuẩn.

Hàm lượng aflatoxin có trong dịch lên men được tính theo công thức :

$$A = \frac{S \cdot Y \cdot V}{W \cdot Z}$$

A : Lượng aflatoxin trong 1 lit dịch lên men (ng)

S : Thể tích dung dịch aflatoxin chuẩn được chấm trên bản mỏng (ml)

Y : Nồng độ của dung dịch chuẩn aflatoxin (ng/ml)

V : Thể tích dịch chiết (ml)

Z : Thể tích của dịch chiết chấm trên bản mỏng có cường độ huỳnh quang bằng cường độ huỳnh quang của S (ml)

W : Khối lượng dịch lên men dùng trong định lượng (g).

Ngoài phương pháp sác ký cột nhỏ và SKBM, các phương pháp sác ký lỏng cao áp, sác khí khí, phương pháp ELISA (Enzyme linked Immunosorbent Assay) và phương pháp RIA/Radio Immunosorbent Assay) cũng đã được dùng với mức độ khác nhau ở vài nước để xác định hàm lượng aflatoxin.

Sau khi đã chọn được chủng vi nấm tạo thành aflatoxin nhiều nhất trong môi trường lên men, cần lên men lại và định lượng nhiều lần để có số liệu trung bình về lượng aflatoxin này.

Các chủng vi nấm này cần được giữ giống trên thạch nghiêng, bằng phương pháp đông khô hoặc nitơ lỏng.

## 2. LÊN MEN VÀ CHIẾT XUẤT AFLATOXIN

Aflatoxin cũng như nhiều mycotoxin khác là các sản phẩm trao đổi chất thứ cấp trong quá trình sinh trưởng, phát triển, quá trình trao đổi chất của một số loài vi nấm, chủ yếu là các loài *Aspergillus flavus* và *A. parasiticus*. Cũng như nhiều sản phẩm trao đổi chất thứ cấp khác của vi sinh vật, của thực vật, người ta chưa biết rõ vai trò của các sản phẩm

này đổi với đời sống của các sinh vật nói trên. Có thể sự tạo thành các sản phẩm trao đổi chất này gắn liền với sự kiềm hãm dị hóa của một số enzym ở giai đoạn dinh dưỡng do sự dùng nhanh nguồn glucid trong môi trường của cơ thể vi sinh vật, và do đó khi giai đoạn này kết thúc, nhiều enzym mới có vai trò trong sự tạo thành các sản phẩm trao đổi chất thứ cấp xuất hiện (J. Rivière, 1975). Và có thể cũng vì vậy mà aflatoxin được tạo thành khi bắt đầu hình thành bộ máy sinh bào tử trân, tăng dần đến giai đoạn sinh bào tử trân mạnh (ngày lên men thứ sáu), rồi giảm sút.

Mặc dù các mối liên hệ trao đổi chất giữa sự tạo thành bào tử trân và sự tạo thành aflatoxin chưa được rõ, nhưng các điều kiện nuôi dưỡng các loài vi nấm này liên quan rõ ràng đến kết quả tạo thành các sản phẩm trao đổi chất thứ cấp của chúng, nói cách khác, đến kết quả lên men aflatoxin.

## 2.1. Lên men aflatoxin bởi các loài *Aspergillus flavus* và *A.parasiticus*

*A.flavus* và *A.parasiticus* là những loài nấm hoại sinh, do đó chúng có khả năng phân giải các xác cơ thể hoặc các hợp chất hữu cơ bên ngoài cơ thể sống dùng làm chất dinh dưỡng. Để lên men tạo thành aflatoxin, chúng ta phải cung cấp cho các chủng nuôi cấy của 2 loài vi nấm này các chất dinh dưỡng thích hợp và nuôi cấy các chủng đó trong những điều kiện pH, nhiệt độ, thời gian thích hợp.

Nguồn dinh dưỡng cacbon. Như chúng ta biết, nấm có thể sử dụng các nguồn thức ăn cacbon rất khác nhau, hầu như không có loại hợp chất cacbon hữu cơ nào mà không có loài nấm này hay loài nấm khác không sử dụng được. Tuy nhiên mỗi loài nấm đồng hóa loại hợp chất này tốt hơn loại hợp chất khác. Mặt khác, để thực hiện các quá trình sinh trưởng, phát triển khác nhau, nấm thường lại có những nhu cầu không giống nhau về loại thức ăn này, thí dụ loại đường thích hợp với sự tạo thành hệ sợi nấm chưa chắc đã thích hợp với sự tạo thành các cơ quan sinh sản (như bộ máy sinh bào tử trân và bào tử trân), hoặc các sản phẩm trao đổi chất. Vì vậy sự thích hợp của một nguồn thức ăn cacbon được đánh giá bằng những chỉ tiêu khác nhau : mức độ sinh trưởng tối đa của hệ sợi nấm, mức độ tạo thành tối đa số lượng bào tử, mức độ tạo thành tối đa các sản phẩm trao đổi chất. Việc chọn chỉ tiêu nào phụ thuộc vào mục đích của quá trình lên men (lên men thu nhận sinh khối hay lên men thu nhận sản phẩm trao đổi chất).

Trừ một số ít các loài vi nấm có thể sử dụng nguồn thức ăn cacbon là các alcan như parafin, các hydrocarbua trong xăng dầu, các acid béo,

phần lớn các loài vi nấm có nguồn thức ăn cacbon thích hợp là hydrat cacbon. Mặc dù hai loài *A.flavus* và *A.parasiticus* có các enzym phân giải tinh bột, nhưng nguồn hydrat cacbon thích hợp cho sự sinh trưởng và phát triển của 2 loại vi nấm này là saccharose và glucose. Môi trường Czapek và Czapek-Dox lần lượt có nguồn thức ăn này là saccharose và glucose là những môi trường tối ưu của *A.flavus* và *A.parasiticus*, và cũng là những môi trường chủ yếu để định loại các loài vi nấm này.

Nguồn dinh dưỡng nitơ - Các loài nấm khác nhau có nhu cầu khác nhau về nguồn dinh dưỡng nitơ, và thường có khả năng sử dụng cả các nguồn nitơ hữu cơ và các nguồn nitơ vô cơ.

Có những loài vi nấm sinh trưởng, phát triển tốt trong môi trường có muối amon, ngược lại một số loài vi nấm khác phát triển tốt hơn ở môi trường có nitrat. Nhiều loài trong đó có các loài *A.flavus* và *A.parasiticus* có khả năng đồng hóa các muối amon và nitrat. Đôi khi có những loài vi nấm không phát triển được trên các môi trường chứa muối amon, do khi cơ thể đồng hóa  $\text{NH}_4^+$ , trong môi trường sẽ tích lũy các anion ( $\text{SO}_4^{2-}$ ,  $\text{HPO}_4^{2-}$ ,  $\text{Cl}^-$ , v.v.), làm hạ thấp pH của môi trường. Ngược lại, nitrat là những muối kiềm sinh lý. Khi cơ thể vi nấm đồng hóa  $\text{NO}_3^-$ , môi trường sẽ tích lũy các cation ( $\text{K}^+$ ,  $\text{Na}^+$ , v.v.), do đó làm tăng pH của môi trường. Các loài *A.flavus* và *A.parasiticus* là các loài đồng hóa tốt cả các muối nitrat và amon, tuy nhiên trong lên men aflatoxin, một số thí nghiệm chứng tỏ rằng khi sử dụng muối amon làm nguồn dinh dưỡng nitơ, lượng aflatoxin tạo thành bởi các chủng của 2 loài vi nấm nhiều hơn (D.Ba và ct., 1977, T.D. Cardona, 1992).

Ngoài các nguồn nitơ vô cơ, nhiều loài vi nấm sử dụng tốt nhiều nguồn nitơ hữu cơ (protein, pepton, peptid, acid amin, v.v.). Nghiên cứu ảnh hưởng của các acid amin đến sự tạo thành aflatoxin của *A.flavus*, người ta thấy acid glutamic, prolin kích thích sự tạo thành các aflatoxin B, tryptophan kích thích sự tạo thành các aflatoxin G, alanin, asparagin, histidin, lysin, methionin không làm tăng hiệu xuất lên men aflatoxin (M.F. Nexterin, V.I.A.Vixxarionova, 1966). Riêng với asparagin, một số người khác lại bổ sung acid amin này vào môi trường lên men aflatoxin, vì thu nhận được lượng aflatoxin từ môi trường lên men này lớn hơn lượng aflatoxin từ môi trường lên men có cùng thành phần nhưng không được bổ sung asparagin (D.Ba và ct., tài liệu đã dẫn).

Các nguyên tố khoáng - Các muối khoáng là những thành phần không thể thiếu trong các môi trường nuôi cấy, lên men các sản phẩm trao đổi chất của vi nấm, vì những thành phần này có những chức năng sinh lý và cấu trúc quan trọng ở tế bào vi nấm.

Các nguyên tố khoáng cần thiết đối với sự sinh trưởng, phát triển của vi nấm gồm các nguyên tố đa lượng (P, S, K, Mg, Ca) và các nguyên tố vi lượng (Fe, Mn, Zn, Cu, Co, Ni, v.v.).

P thường chiếm tỷ lệ cao nhất trong thành phần khoáng của tế bào vi nấm, tham gia vào cấu tạo một số hợp chất hữu cơ của tế bào như nucleoprotein, photphoprotein, v.v., có mặt trong nhiều coenzim quan trọng như ADP, ATP, UDP, UTP, CoA, v.v. S tham gia vào quá trình trao đổi glucid của tế bào, tham gia hoạt hóa nhiều loại enzym như amylaza, invertaza, ATP-aza, v.v. Mg ngoài tính chất là một cofactor đối với nhiều enzym, cũng tham gia hoạt hóa nhiều enzym như esteraza, photphopheraza, carboxylaza, transacetylaza, v.v. Nồng độ Mg trong tế bào được xác định là có ảnh hưởng rõ rệt đến việc liên kết hay tách rời nhau các tiểu phân 60S và 40S của ribosom. Ca có vai trò cầu nối trung gian giữa nhiều thành phần quan trọng trong tế bào vi nấm (giữa các nucleotit, giữa protein và acid nucleic), ảnh hưởng đến sự hình thành các cấu trúc không gian ổn định của ribosom, nhân, v.v. Fe là nguyên tố vi lượng (cũng được coi là nguyên tố đa lượng) tham gia vào cấu trúc porphyrin sắt của hệ thống enzym chuyển vận electron như cytochrom, cytochromoxydaza, cũng tham gia vào hoạt hóa một số enzym như carboxylaza, arginaza, v.v. Các nguyên tố vi lượng khác chủ yếu tham gia vào hoạt hóa các enzym khác nhau.

Nhiều loài vi nấm có tính mẫn cảm rất cao đối với sự có mặt và nồng độ của các muối khoáng trong môi cấy, môi trường lên men (thay đổi một số đặc điểm hình thái, sinh trưởng, phát triển), do đó cần phải cho đủ (không thừa, không thiếu) các thành phần muối khoáng trong mỗi loại môi trường.

Trong lên men aflatoxin, các muối  $ZnSO_4$ ,  $FeSO_4$ ,  $K_2HPO_4$ ,  $MgSO_4$ ,  $CaCl_2$  với nồng độ thích hợp có tác dụng tốt đối với sự tạo thành các mycotoxin này.

Nguồn dinh dưỡng của môi trường là yếu tố ảnh hưởng quyết định đến sự sinh trưởng, phát triển; đến sự tạo thành aflatoxin của các loài *A.flavus*, *A.parasiticus*. Ngoài ra pH của môi trường, nhiệt độ nuôi cấy cũng có ảnh hưởng như vậy đến hiệu xuất lên men aflatoxin. pH ban đầu ít ảnh hưởng đến sự tạo thành aflatoxin, tuy nhiên pH tối ưu đối với sự sinh trưởng của *A. flavus* trong khoảng pH 4 và 5 (Dierner và Davis, 1969). Nhiệt độ tối ưu đối với sự sinh trưởng cũng như đối với sự tạo thành aflatoxin là nhiệt độ trong khoảng 24 – 28°C, trên 45°C và dưới 12°C, *A.flavus* không mọc hoặc mọc rất yếu (Schroeder và ct., 1967). *A.flavus* và *A.parasiticus* có thể sinh trưởng tốt và tạo thành aflatoxin ở

môi trường có hàm lượng nước khác nhau, do đó có thể lên men aflatoxin ở cả môi trường lỏng và môi trường rắn, tuy nhiên ở môi trường có hàm lượng nước quá nhỏ (dưới 8%), các loài vi nấm này không mọc hoặc mọc kém.

Trong công nghệ lên men aflatoxin, có thể dùng kỹ thuật lên men lỏng hay lên men rắn.

Lên men lỏng (liquid state fermentation) sử dụng môi trường nước, thường sử dụng môi trường Czapek không có thạch. Môi trường Czapek có thành phần muối khoáng thích hợp cho sự tăng trưởng và sự tạo thành aflatoxin của các loài vi nấm *A.flavus* và *A.parasiticus*, trừ trường hợp muối  $\text{NaNO}_3$ . Như đã nói,  $\text{NaNO}_3$  là nguồn đạm vô cơ của môi trường nuôi cấy vi nấm, sau khi cơ thể vi nấm đồng hóa ion  $\text{NO}_3^-$ ,  $\text{Na}^+$  tích lũy làm tăng pH của môi trường, do đó ảnh hưởng không tốt đến sự tăng trưởng và tạo thành aflatoxin. Vì vậy muối  $\text{NaNO}_3$  trong môi trường Czapek thường được thay bằng muối amon nitrat. Asparagin thường cũng được bổ sung vào môi trường lên men aflatoxin để tăng hiệu suất lên men.

Kỹ thuật lên men rắn (solid state fermentation) cũng như kỹ thuật lên men lỏng là sự mô phỏng một dạng sinh thái của các hoạt động sống của vi sinh vật trong tự nhiên, xảy ra trong quá trình phân giải hiếu khí các loại cơ chất không tan. Kỹ thuật lên men rắn sử dụng môi trường là khối cơ chất s López, làm từ các chất dinh dưỡng ở thể rắn hòa tan (các muối khoáng) hay không hòa tan trong nước (ngô, gạo, v.v.), và trong một số trường hợp bao gồm cả một số chất độn làm cho môi trường s López, thoáng khí hơn như chấu, và nước với hàm lượng thích hợp.

Ở lên men lỏng cũng như ở lên men rắn aflatoxin bằng các chủng thuộc các loài *Aspergillus flavus* và *A.parasiticus*, sự tạo thành aflatoxin bắt đầu khi hệ sợi nấm bắt đầu tạo thành bộ máy sinh bào tử rắn, tăng dần đến khi bào tử rắn được sinh ra nhiều nhất vào ngày lên men thứ 6 (đối với trường hợp lên men lỏng), rồi giảm dần. Vì vậy để có hiệu suất lên men cao nhất, aflatoxin được chiết xuất từ môi trường lên men lên men lỏng ngay sau ngày lên men thứ 6. Nhiệt độ lên men ở cả lên men lỏng và lên men rắn thường ở  $28^\circ\text{C}$ , như chúng ta đã biết, là nhiệt độ thích hợp với cả sự sinh trưởng, phát triển, và sự tạo thành aflatoxin của 2 loài vi nấm này.

Lên men lỏng có những ưu điểm chủ yếu : dịch lọc thu được từ môi trường lên men sau khi quá trình lên men kết thúc có ít loại tạp chất, lượng tạp chất cũng ít, thuận lợi cho việc chiết xuất aflatoxin ; công nghiệp hóa thuận lợi, do đó có thể lên men với khối lượng lớn (hàng

chục, thậm chí hàng trăm m<sup>3</sup>) ; tự động hóa, điện tử hóa dễ dàng, kể cả khâu phân tích theo dõi các thông số lên men, sự biến đổi của các chất dinh dưỡng trong môi trường, hiệu suất tạo thành aflatoxin trong quá trình lên men ; chất thải công nghiệp chủ yếu là chất lỏng, nên việc xử lý ít khó khăn. Vì những ưu điểm trên, nên cũng như công nghệ sản xuất các hợp chất có tác dụng sinh học khác (enzim, vitamin, acid amin, kháng sinh, một số acid hữu cơ, v.v.), công nghệ lên men aflatoxin ở các nước đều dùng kỹ thuật lên men lỏng. Lên men rắn aflatoxin chỉ thích hợp để sản xuất một lượng nhỏ sản phẩm, trong các điều kiện trang thiết bị thiếu thốn.

Dưới đây là kỹ thuật lên men lỏng và lên men rắn ở mức độ phòng thí nghiệm.

#### *Kỹ thuật lên men lỏng*

- Môi trường lên men : môi trường lên men sơ bộ chọn lọc các chủng (xem ở đoạn 1.3).

Cấy truyền nấm từ ống thạch nghiêng giữ giống (hay từ một ống giống đồng khô) sang một ống thạch nghiêng (môi trường Czapek). Nuôi cấy nấm ở 28°C trong tủ ấm, theo dõi hàng ngày để biết chắc chắn chủng nấm không bị nhiễm vi khuẩn hay các loài vi nấm khác. Sau ngày nuôi cấy thứ 6, dùng ngay các ống thạch nghiêng này để lên men aflatoxin.

Làm dịch treo bào tử trân trong nước cất tiệt trùng, khoảng 100 bào tử trong 1 ml. Cấy ngay dịch treo bào tử vào môi trường lên men, cấy 5 ml dịch treo trong 100 ml môi trường chứa sẵn trong bình nón có dung tích 500 ml. Lắc ngang, 120 - 150 lắc/min. Nhiệt độ lên men 28°C. Cuối ngày lên men thứ 6, chiết xuất aflatoxin.

Để chiết xuất aflatoxin từ môi trường lên men, dùng các dung môi hòa tan aflatoxin (chloroform, methanol, ethanol, benzen, aceton) và các dung môi không hòa tan aflatoxin nhưng hòa tan lipid để loại lipid có trong môi trường.

Có thể chiết xuất aflatoxin theo 4 bước :

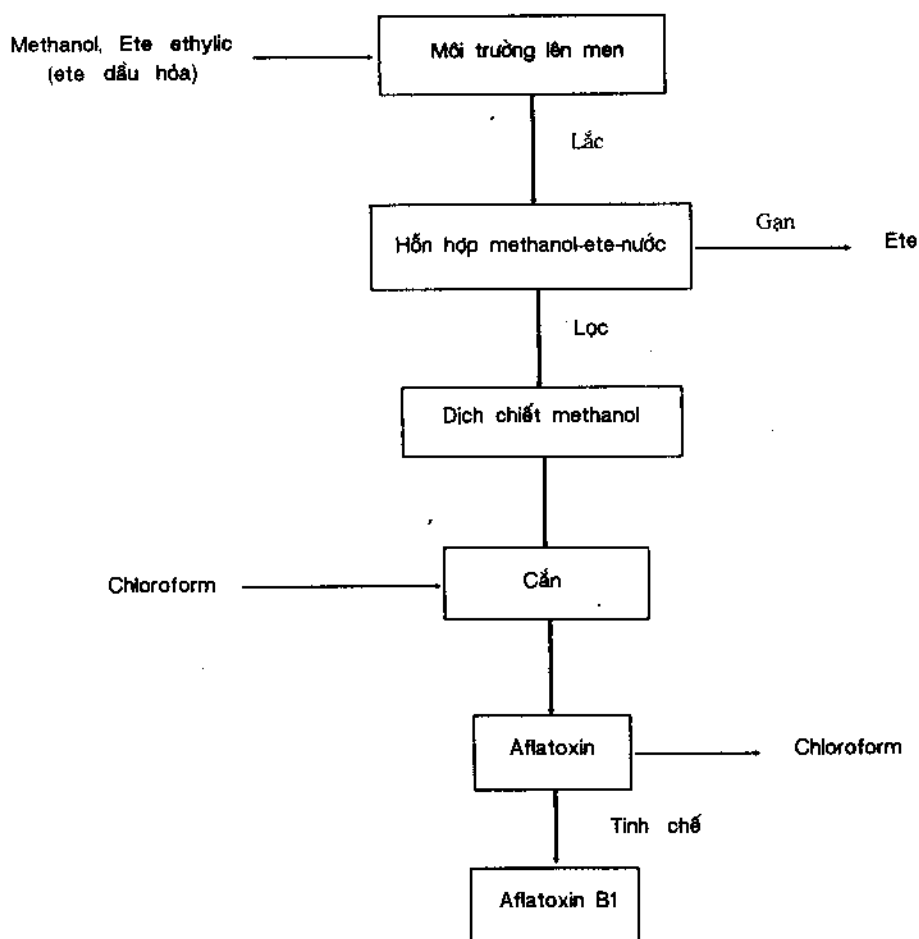
*Bước 1* : Chiết xuất aflatoxin bằng methanol có trong môi trường lên men (chiết xuất với cá sinh khối để lấy được hết aflatoxin trong môi trường).

*Bước 2* : Loại bỏ lipid có trong dịch chiết bằng ete dầu hỏa hay ete ethylic.

*Bước 3* : Chiết xuất aflatoxin từ cẩn sau khi đã loại bỏ lipid và chiết bằng methanol.

Bước 4 : Tinh chế aflatoxin B1 bằng cột sắc ký.

Thí dụ về chiết xuất aflatoxin B1 được trình bày trong hình 1.6.



Hình 1.6. Sơ đồ chiết xuất aflatoxin B1 từ môi trường lén men lỏng

Áp dụng kỹ thuật lén men và chiết xuất aflatoxin vừa nói có thay đổi, N.H.Văn (1993) đã lén men và chiết xuất aflatoxin từ một chủng thuộc loài *Aspergillus flavus* (chủng NHA-003, tổ bộ môn Vì nấm - Kháng sinh, trường Đại học Dược Hà Nội). Phát triển của chủng NHA-002 trên môi trường lén men, kết quả xác định aflatoxin có trong dịch chiết và kết quả chiết xuất aflatoxin B1 được trình bày trong các bảng 1.9 và 1.10

**Bảng 1.9. Sự phát triển của chủng NHA-002 trên môi trường lỏng (Nhiệt độ nuôi cấy 28°C ; thời gian nuôi cấy 6 ngày) (N.H.Văn, 1993)**

Đặc điểm Ngày nuôi cấy	Môi trường lên men		Sự phát triển của nấm	
	Màu sắc	Sự tạo nhầy	Hệ sợi nấm	Khối conidi (bào tử tròn)
1	Không biến đổi		Chưa có	
2	Không màu	ít chất nhầy	Hệ sợi nấm bắt đầu hình thành trên bề mặt môi trường	Chưa có
3	Màu vàng nhạt	Chất nhầy tăng dần và phân tán vào môi trường	Hệ sợi nấm lớn dần trên bề mặt môi trường	Bắt đầu xuất hiện conidi màu xanh lục trên bề mặt hệ sợi nấm
4	Màu vàng nâu	Chất nhầy tăng dần màu trắng đục	Hệ sợi nấm lớn dần chiếm gần hết mặt thoáng môi trường	Số lượng conidi tăng dần trên bề mặt hệ sợi nấm
5	Màu vàng nâu	Có nhiều đám nhầy lỏng trong môi trường	Hệ sợi nấm chiếm hết mặt thoáng môi trường	Conidi màu lục vàng chiếm gần hết bề mặt hệ sợi nấm
6	Màu nâu nhạt	Có nhiều chất nhầy trong môi trường	Hệ sợi nấm chiếm hết mặt thoáng môi trường	Conidi màu lục vàng chiếm hết bề mặt hệ sợi nấm

**Bảng 1.10. Kết quả các định aflatoxin bằng SKBM của dịch chiết từ môi trường lèn men của chủng NHA-003  
(B : xanh ; G : lục) (N.H.Văn, 1993)**

Dịch chiết	Số vết huỳnh quang	Màu huỳnh quang	Rf	Thay đổi màu huỳnh quang bởi $HNO_3$	Có mặt của aflatoxin
Hỗn hợp aflatoxin (B <sub>1</sub> ,B <sub>2</sub> ,G <sub>1</sub> )	3	B	0,69	+	B <sub>1</sub>
		B	0,64	+	B <sub>2</sub>
		G	0,57	+	G <sub>1</sub>
Dịch chiết chloroform bình nuôi cấy số 1	1	B	0,69	+	B <sub>1</sub>
Dịch chiết chloroform bình nuôi cấy số 2	1	B	0,69	+	B <sub>1</sub>
Dịch chiết chloroform bình nuôi cấy số 3	1	B	0,69	+	B <sub>1</sub>
Dịch chiết chloroform bình nuôi cấy số 4	1	B	0,69	+	B <sub>1</sub>
Dịch chiết chloroform bình nuôi cấy số 5	1	B	0,69	+	B <sub>1</sub>
Dịch chiết chloroform bình nuôi cấy số 6	1	B	0,69	+	B <sub>1</sub>
Dịch chiết chloroform bình nuôi cấy số 7	1	B	0,69	+	B <sub>1</sub>
Dịch chiết chloroform bình nuôi cấy số 8	1	B	0,69	+	B <sub>1</sub>

Tiến hành lèn men với 1 lit môi trường, N.H.Văn (tài liệu đã dẫn) đã chiết được  $2382 \pm 135 \mu\text{g}$  aflatoxin B<sub>1</sub>.

### Kỹ thuật lèn men rắn

- Môi trường lèn men : môi trường có thành phần dinh dưỡng chính là ngô hoặc lạc vì đó là những cơ chất thích hợp nhất cho sự tạo thành aflatoxin của các loài *Aspergillus flavus* và *A.parasiticus*, được bổ sung thêm cám gạo để làm phong phú, đa dạng thêm nguồn dinh dưỡng bẩn (thức ăn nguồn carbon, nguồn nitơ), đồng thời để bổ sung thêm nguồn vitamin B. Mùn cưa được cho vào môi trường nhằm làm tăng độ s

Ngoài ra để bào tử trân này sợi tốt, hệ sợi nấm tăng trưởng nhanh, nhất là trong giai đoạn lên men đầu, khi các enzym amylaza, proteaza ngoại bào do vi nấm sản sinh còn ít, đồng thời để làm ướt nguyên liệu, cho thêm vào các thành phần môi trường dung dịch Czapek (môi trường Czapek không có thạch).

Bốn môi trường sau đây đã được tiến hành thực nghiệm để lên men rắn (N.H.Văn, tài liệu đã dẫn) :

*Môi trường I :*

Ngô xay thành mảnh	800g
Cám gạo	200g
Dung dịch Czapek vừa đủ	

*Môi trường II :*

Ngô xay thành mảnh	700g
Cám gạo	200g
Mùn cưa	100g
Dung dịch Czapek vừa đủ	

*Môi trường III :*

Lạc nhân nghiền vụn	100g
Ngô xay thành mảnh	600g
Cám gạo	200g
Mùn cưa	100g
Dung dịch Czapek vừa đủ	

*Môi trường IV (Môi trường kiểm tra) :* thành phần như môi trường IV, nhưng không cấy nấm, để kiểm tra sự có mặt của aflatoxin trong các nguyên liệu.

Tiến hành làm môi trường và nuôi cấy vi nấm : trộn đều các thành phần rắn, phân phổi vào các bình nón có dung tích 500 ml, mỗi bình 100g hỗn hợp nguyên liệu. Thêm dung dịch Czapek khoảng 40 - 50 ml, hấp tiệt trùng ở 120°C trong 50 min. Khi môi trường trong bình đã nguội, cấy vào mỗi bình 5 ml dịch treo bào tử trân lấy từ một ống thạch nghiêng có khuẩn lạc vi nấm 6 ngày tuổi. Nhiệt độ nuôi cấy : 28°C.

Về thời gian lên men, khác với trường hợp môi trường lỏng, kết quả thí nghiệm cho thấy thời gian lên men 8 ngày cho hàm lượng aflatoxin B1 cao nhất (bảng 1.11).

**Bảng 1.11. Hàm lượng aflatoxin trong môi trường lén men III (Chủng nấm : *Aspergillus flavus* NHA-003, nhiệt độ lén men : 28°C)**

Ngày lén men	Hàm lượng aflatoxin B1 ( $\mu\text{g}/\text{kg}$ )
4	372
5	6696
6	10.416
7	14.136
8	14.880
9	14.880

Kết quả theo dõi sự sinh trưởng, phát triển của chủng *Aspergillus flavus* NHA-003 trên 3 môi trường I, II, III cho thấy chủng vi nấm này tăng trưởng tốt trên cả 3 môi trường, nhưng có thể vì ở các môi trường II, III có mùn cưa nên môi trường sopping hơn, do đó hệ sợi nấm dâm sâu vào môi trường nhanh hơn là ở môi trường I, mặt khác, sự hình thành bào tử trân ở môi trường III (môi trường có lạc) sớm hơn 1 ngày so với ở các môi trường I và II (Các bảng 1.12, 1.13, 1.14).

**Bảng 1.12. Sự phát triển của chủng NHA-003 trên môi trường số 1  
(Nhiệt độ nuôi cấy 28°C)**

Ngày nuôi cấy	Sự phát triển	
	Hệ sợi nấm	Bào tử trân (conidi)
1	Rất ít	Chưa có
2	Những sợi nấm màu trắng xen kẽ trên bề mặt môi trường	Chưa có
3	Hệ sợi nấm phát triển mạnh, các sợi nấm dâm sâu vào cơ chất, chỗ dâm sâu nhất 1,5 cm tính từ bề mặt môi trường	Có 1 số conidi màu vàng lục trên bề mặt hệ sợi nấm
4	Các sợi nấm dâm sâu vào cơ chất, chỗ dâm sâu nhất 2,5 cm tính từ bề mặt môi trường	Số lượng conidi tăng nhanh chiếm gần hết bề mặt hệ sợi nấm
5	Các sợi nấm dâm sâu tới đáy bình nuôi cấy (3,7 cm tính từ bề mặt môi trường)	Conidi chuyển dần sang màu xanh lục chiếm toàn bộ bề mặt hệ sợi nấm
6	Hệ sợi nấm chiếm toàn bộ môi trường	Số lượng conidi dày đặc, chiếm toàn bộ bề mặt hệ sợi nấm

**Bảng 1.13. Sự phát triển của chủng NHA-003 trên môi trường số II  
(Nhiệt độ nuôi cấy 28°C)**

Ngày nuôi cấy	Sự phát triển	
	Hệ sợi nấm	Bào tử trắn (conidi)
1	Rất ít	Chưa có
2	Xuất hiện những sợi nấm màu trắng trên bề mặt môi trường	Chưa có
3	Hệ sợi nấm phát triển mạnh, các sợi nấm đậm sâu và cơ chất, chỗ sâu nhất 2 cm tính từ bề mặt môi trường	Xuất hiện các đóm conidi màu vàng lục trên bề mặt hệ sợi nấm
4	Các sợi nấm đậm sâu tối đáy bình nuôi cấy (4 cm tính từ bề mặt môi trường)	Khối conidi tăng về số lượng, chiếm gần hết bề mặt hệ sợi nấm
5	Các sợi nấm màu trắng chiếm gần hết khối môi trường	Conidi chuyển dần sang màu xanh lục, chiếm toàn bộ bề mặt hệ sợi nấm
6	Các sợi nấm màu trắng chiếm toàn bộ khối môi trường	Khối conidi màu xanh lục dày đặc trên bề mặt hệ sợi nấm

**Bảng 1.14. Sự phát triển của chủng NHA-003 trên môi trường số III  
(Nhiệt độ nuôi cấy 28°C)**

Ngày nuôi cấy	Sự phát triển	
	Hệ sợi nấm	Bào tử trắn (conidi)
1	2	3
1	Rất ít	Chưa có
2	Xuất hiện những sợi nấm màu trắng trên bề mặt môi trường	Xuất hiện những conidi màu xanh lục trên bề mặt hệ sợi nấm
3	Hệ sợi nấm phát triển mạnh, các sợi nấm đậm sâu vào cơ chất 2 cm tính từ bề mặt môi trường	Số lượng conidi tăng nhanh trên bề mặt hệ sợi nấm

1	2	3
4	Hệ sợi nấm tiếp tục phát triển mạnh, các sợi nấm dâm sâu tới đáy bình nuôi cấy (4cm tính từ bề mặt môi trường)	Khối conidi màu vàng lục chiếm toàn bộ bề mặt hệ sợi nấm
5	Hệ sợi nấm màu trắng chiếm gần hết khối môi trường	Conidi chuyển dần sang màu xanh lục
6	Hệ sợi nấm màu trắng chiếm toàn bộ khối môi trường	Khối conidi màu xanh lục dày đặc trên bề mặt hệ sợi nấm

Hai phương pháp sau đây đã được sử dụng để chiết xuất aflatoxin từ môi trường lên men rắn đối với *Aspergillus flavus* :

- *Phương pháp 1 chiết xuất aflatoxin từ môi trường rắn :*

Dùng 400 ml chloroform cho 100g môi trường, chiết 3 lần (lần 1 dùng 200 ml chloroform, lần 2 và 3 mỗi lần dùng 100 ml chloroform), bằng cách ngâm và lắc môi trường trong chloroform 15 min, sau đó lọc bằng gạc để loại phần lớn sinh khối và một phần tạp chất (phần còn lại của môi trường mà nấm chưa phân giải và chưa hấp thu).

Các dịch lọc được gộp chung lại có màu xanh đen do bào tử trân đi qua vài gạc, do phần môi trường có kích thước nhỏ còn lại và do các sắc tố do nấm tạo thành trong quá trình lên men. Dịch lọc qua vài gạc được lọc lại qua giấy lọc Whatman. Một số tạp chất bị giữ lại trên giấy lọc nên dịch lọc có màu vàng sẫm. Dịch lọc được cất thu hồi hết chloroform, được cẩn thận hòa tan trong 100 ml hỗn hợp metanol và ete dầu hỏa (50 : 50 theo thể tích). Thêm vào hỗn hợp 100 ml nước cất. Cho hỗn hợp này vào bình gạc lắc để phân lớp. Lớp ete dầu hỏa ở trên có màu vàng sẫm do sắc tố và chất béo tan trong lớp này, lớp metanol ở dưới được tách riêng. Cặn thu được sau khi bốc hơi metanol được hòa trong 10 ml chloroform. Dịch chloroform dùng để phân tích bằng SKBM và sau đó để tinh chế (các hình 1.7 và 1.9). Kết quả xác định aflatoxin trong dịch chiết từ môi trường nuôi cấy được trình bày trong bảng 1.15.

**Bảng 1.15. Kết quả xác định aflatoxin trong các dịch chiết từ môi trường rắn nuôi cấy chủng NHA-003 bằng phương pháp SKBM (B : xanh, G : lục)**

Dịch chiết	Đặc điểm xác định				
	Số vết huỳnh quang	Màu huỳnh quang	Rf	Sự thay đổi màu huỳnh quang bởi $\text{HNO}_3$	Aflatoxin có mặt
Hỗn hợp aflatoxin chuẩn ( $\text{B}_1, \text{B}_2, \text{G}_1$ )	3	B	0,71	+	$\text{B}_1$
		B	0,66	+	$\text{B}_2$
		G	0,58	+	$\text{G}_1$
Dịch chiết môi trường số I	2	B	0,71	+	$\text{B}_1$
		G	0,58	+	$\text{G}_1$
Dịch chiết môi trường số II	2	B	0,71	+	$\text{B}_1$
		G	0,58	+	$\text{G}_1$
Dịch chiết môi trường số III	2	B	0,71	+	$\text{B}_1$
		G	0,58	+	$\text{G}_1$
Dịch chiết môi trường số IV	0	0	0	0	0

Trên sắc ký đồ của dịch chiết môi trường số IV (không cấy nấm) không có vết huỳnh quang chứng tỏ các nguyên liệu lạc, ngô, cám gạo, mìn cưa dùng làm môi trường không có aflatoxin. Sắc ký đồ của dịch chiết từ môi trường số I, II, III đều có 2 vết huỳnh quang, một vết có giá trị Rf 0,71, màu xanh (B) và thay đổi màu huỳnh quang từ xanh sang vàng khi phun acid nitric tương ứng với các đặc điểm của aflatoxin  $\text{B}_1$  chuẩn. Vết còn lại có những đặc điểm : Rf = 0,58, màu lục, thay đổi màu huỳnh quang lục sang vàng khi phun acid nitric, tương ứng với aflatoxin  $\text{G}_1$ .

Trong phương pháp này dung môi chiết ban đầu là chloroform nên dịch chiết cuối cùng lẫn nhiều tạp chất (trên sắc ký đồ có nhiều vết bẩn không có huỳnh quang).

- *Phương pháp 2 chiết xuất aflatoxin từ môi trường rắn :*

Ngâm 100g môi trường lên men trong 500 ml hỗn hợp aceton nước (tỷ lệ 80/20 theo thể tích) trong 1 giờ (thỉnh thoảng lắc). Lọc hỗn hợp bằng vải gạc được dịch lọc màu nâu sẫm. Dịch lọc qua vải gạc được lọc lại qua giấy lọc Whatman, các tiểu phân nhỏ của môi trường, sinh khối, và một số chất màu được giữ lại trên giấy lọc. Vì aceton vừa tan trong

nước, vừa tan trong chloroform, nếu dùng chloroform chiết aflatoxin trong hỗn hợp aceton-nước này sẽ không thu được hết aflatoxin nên loại aceton trong hỗn hợp aceton-nước bằng máy cát quay áp lực giảm. Sau khi hết aceton, pha nước còn lại được chiết 3 lần liên tiếp bằng chloroform, mỗi lần dùng 50 ml. Gộp các dịch chiết chloroform và cô còn 10 ml. Dịch chloroform cuối cùng này được xác định aflatoxin bằng phương pháp sác ký lớp mỏng, và sau đó để tinh chế (xem các hình 1.8 và 1.9).

Kết quả xác định aflatoxin trong dịch chiết từ môi trường rán nuôi cấy chủng NHA-003 theo phương pháp chiết 2 cùng giống như kết quả xác định aflatoxin trong dịch chiết từ môi trường rán nuôi cấy nấm theo phương pháp chiết 1. Trên sác ký đồ có 2 vết huỳnh quang : một vết có giá trị  $R_f$  là 0,71 tương ứng với màu huỳnh quang và  $R_f$  của aflatoxin chuẩn  $B_1$ ; 1 vết có giá trị  $R_f$  nhỏ hơn ( $R_f = 0,58$ ) có màu huỳnh quang và giá trị  $R_f$  tương ứng với aflatoxin  $G_1$ . Tuy nhiên vết huỳnh quang có giá trị  $R_f = 0,58$  rất mờ (cường độ huỳnh quang yếu) chứng tỏ nồng độ của nó trong dịch chiết từ môi trường rán rất thấp hay lượng aflatoxin  $G_1$  được tạo ra trong môi trường nuôi cấy rất nhỏ.

Sác ký đồ của các dịch chiết theo phương pháp này có các vết tạp ít hơn sác ký đồ của các dịch chiết theo phương pháp 1, chứng tỏ dịch chiết theo phương pháp 2 còn lại ít tạp chất hơn.

Kết quả định lượng aflatoxin  $B_1$  ở dịch chiết từ môi trường lén men chủng *Aspergillus flavus* NHA-003 với các môi trường lén men rán I, II, III cho thấy môi trường III có hiệu suất lén men cao nhất (bảng 1.16). Như chúng ta đã biết, môi trường III chỉ khác môi trường II là thành phần ngô xay được giảm đi 10%, thay bằng lạc nhân 10%. Như vậy, có thể việc giảm đi thành phần ngô không ảnh hưởng đến hiệu xuất lén men aflatoxin và sự có mặt của lạc trong môi trường lén men là nguyên nhân tăng hiệu xuất này. Điều này phù hợp với kết quả nghiên cứu của các nhà nghiên cứu trong và ngoài nước đều thấy rằng hàm lượng aflatoxin trên lạc bị nhiễm *A.flavus* cao nhất so với các loại lương thực, thực phẩm khác bị nhiễm loài vi nấm này (B.X.Đông, 1976, 1999).

Tinh chế aflatoxin - Có thể tiến hành tinh chế aflatoxin bằng sác ký cột (hình 1.8). Các dịch chiết aflatoxin được chạy qua cột silicagel. Khi lớp dịch chiết chloroform chạy tới lớp  $\text{Na}_2\text{SO}_4$  khan ở phía dưới cột, loại tạp chất lần lượt bằng hexan và ete ethylic (với 50 ml dịch chiết, dùng 150 ml hexan và 150 ml ete ethylic). Phần hấp phụ bằng chloroform-methanol (97:3). Kiểm tra độ tinh khiết của sản phẩm bằng sác ký bản mỏng với aflatoxin chuẩn. Nếu trên sác ký đồ chỉ có một loại aflatoxin  $B_1$  và không còn vết bẩn, kết tinh sản phẩm hoặc hòa tan sản phẩm trong benzen-acetonitril

**Bảng 1.16. Hiệu suất lên men aflatoxin của chủng *Aspergillus flavus* NHA-003**

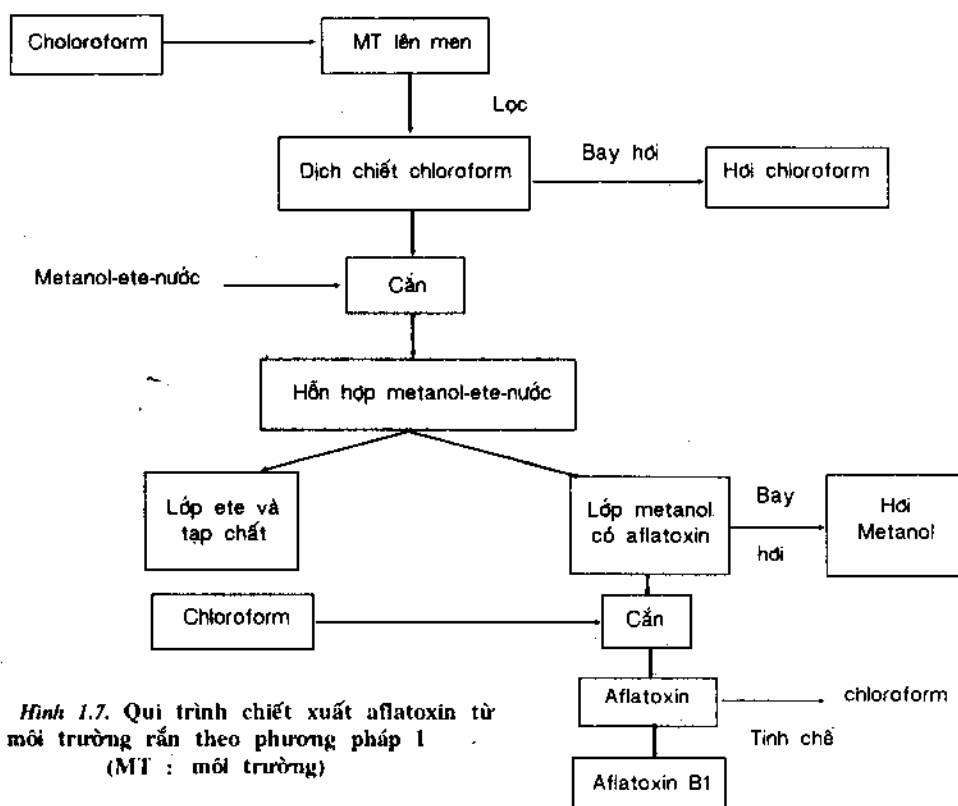
ở các môi trường lên men rắn I, II, III (Chủng nấm *Aspergillus flavus* NHA-003, nhiệt độ lên men 28°C, thời gian lên men 6 ngày) (N.H.Văn, 1993)

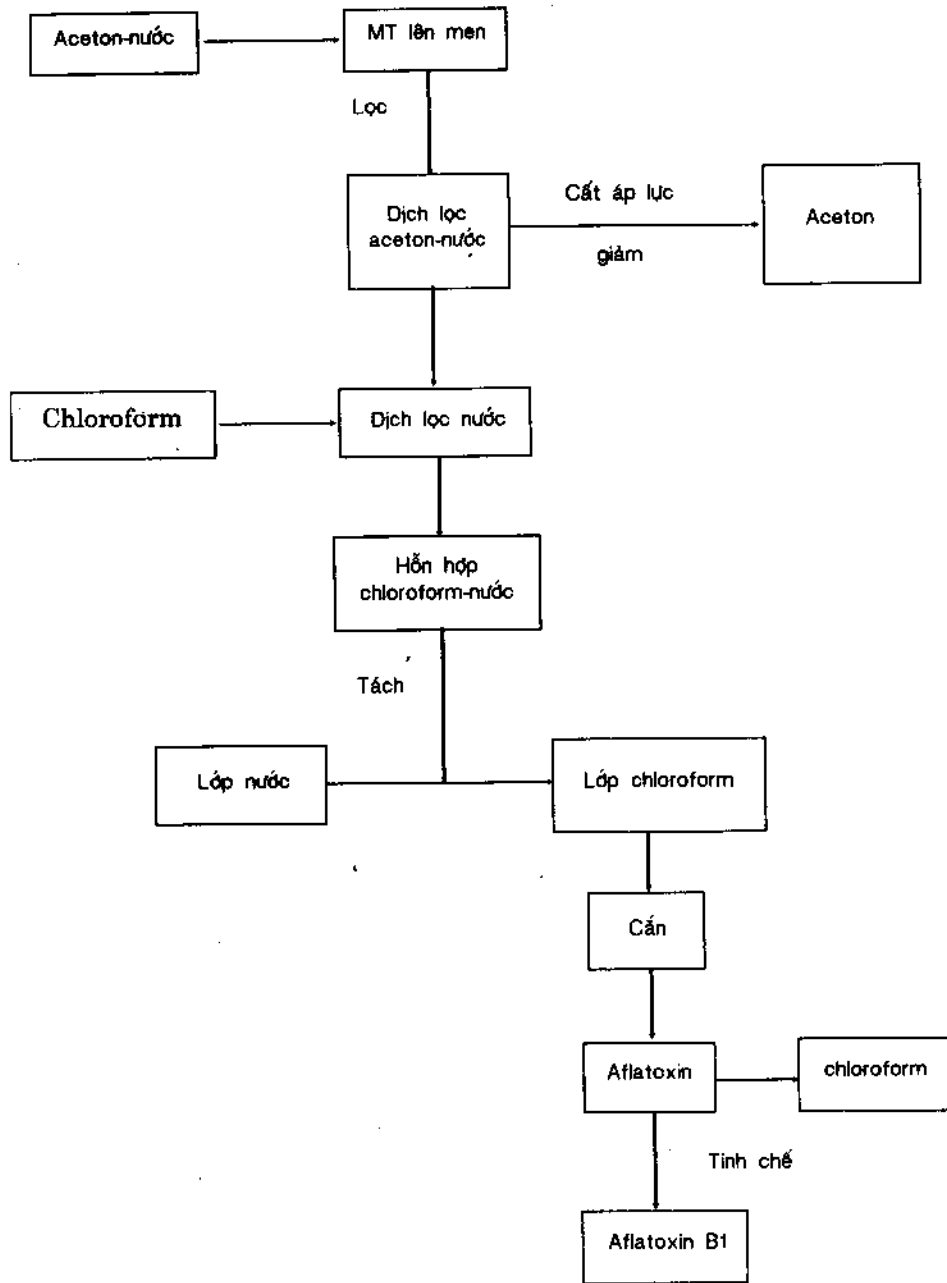
Môi trường lên men	Lượng aflatoxin B1 trong 1 kg môi trường (μg)
Môi trường I	4278 ± 213
Môi trường II	6324 ± 427
Môi trường III	10044 ± 427

(98 :2) để làm chế phẩm aflatoxin chuẩn (Bảo quản các sản phẩm trong tủ lạnh). Kiểm tra sản phẩm bằng các phương pháp hóa, lý.

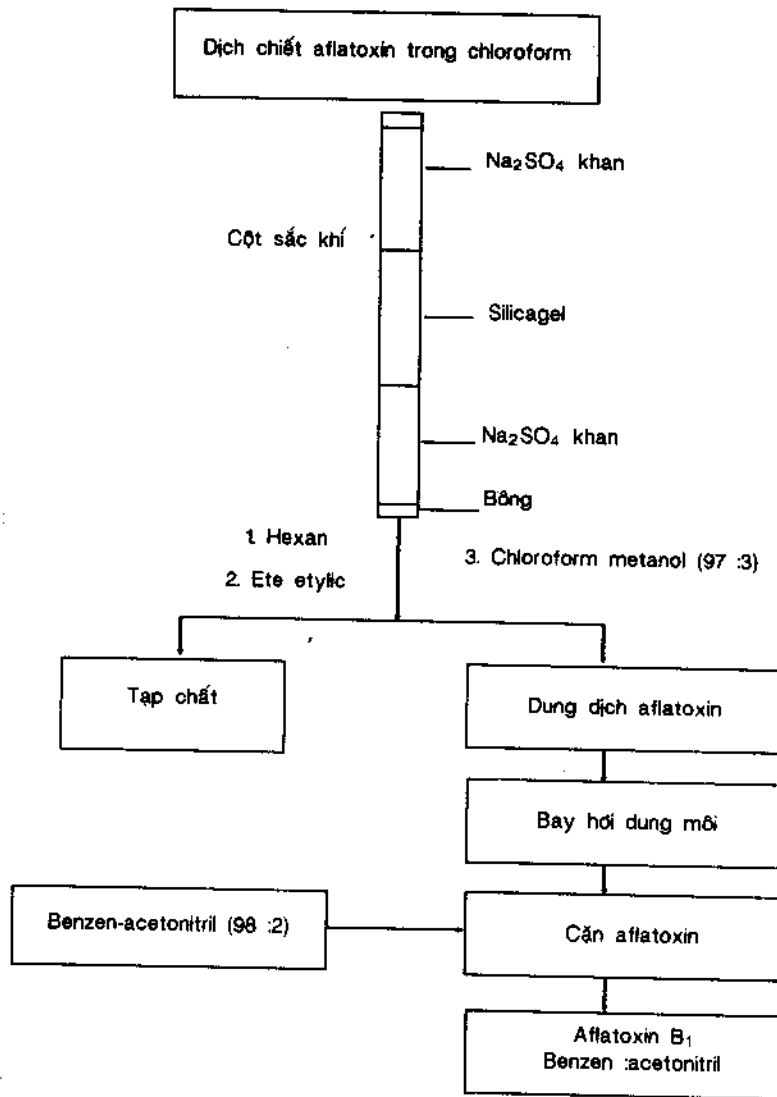
## 2.2. Kiểm tra sản phẩm lên men aflatoxin

Cũng như các sản phẩm sinh học khác, đặc biệt đối với các sản phẩm dùng làm chất chuẩn, aflatoxin cần được kiểm tra bằng các phương pháp sinh học hoặc hóa lý.



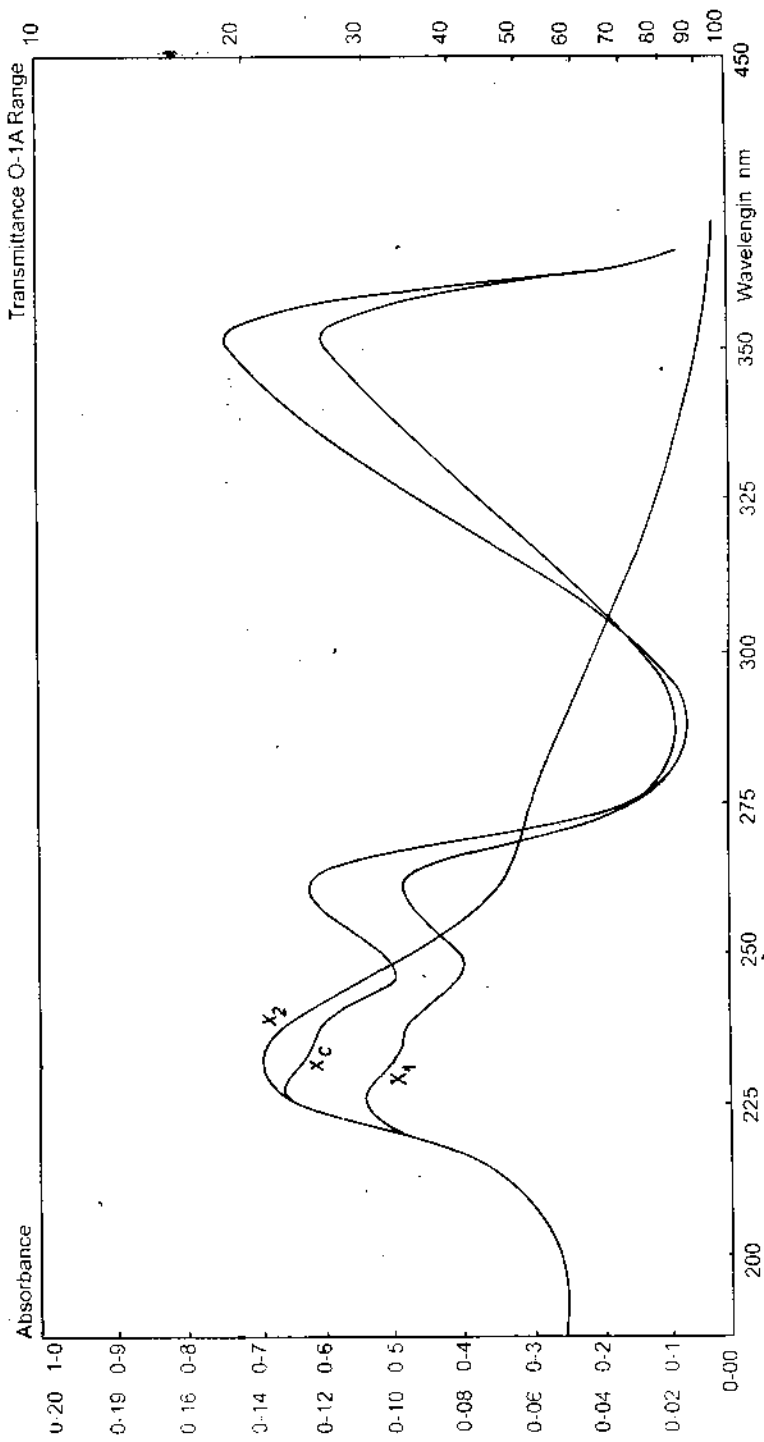


Hình 1.8. Quy trình chiết xuất aflatoxin từ môi trường rắn theo phương pháp 2  
(MT : môi trường)



Hình 1.9. Qui trình tinh chế aflatoxin

Về phương pháp sinh học, phương pháp có độ nhạy cao, dễ thực hiện là phương pháp thử trên vịt con 2 ngày tuổi. Cho lô vịt con ăn thức ăn có hàm lượng aflatoxin B<sub>1</sub> 0,2 – 0,3 ppm cùng với lô đối chứng. Trong khoảng một tuần lẻ, tất cả hoặc hầu hết các vịt con ăn thức ăn có aflatoxin sẽ chết, với các triệu chứng bệnh ở gan (sưng huyệt, chảy máu trong gan, hoại tử, thoái hóa mỡ, tăng sinh ống mật). Một số sinh vật (hay bộ phận cơ thể) cũng đã được thử nghiệm để kiểm tra aflatoxin (bảng 1.17).



Hình 1.10. Phổ hấp thụ từ ngoại của aflatoxin chuẩn B1 và aflatoxin chiết từ môi trường nuôi cấy

(Xc : aflatoxin B1 chuẩn ; X1 : aflatoxin chiết xuất ; X2 : dung môi)  
 (Do Phòng nghiên cứu Trung tâm, Đại học Dược Hà Nội thực hiện).

**Bảng 1.17. Xác định aflatoxin bằng phương pháp sinh học**  
 (Theo M.Polster, 1971)

Sinh vật (hay bộ phận cơ thể)	Dộ nhạy
Vịt con 2 ngày tuổi	0,1 ppm
Phổi gà	0,025 - 0,048 ppm
Ảnh hưởng đến ấu trùng của loài <i>Heliothis virescens</i>	15 ppm
Ảnh hưởng đến sự tăng trưởng của <i>Artemia</i>	1 - 10 ppm
Ảnh hưởng đến sự nảy mầm và tạo thành diệp lục ở cây <i>Lepidium sativum</i>	
Úc chế sự tăng trưởng của <i>Bacillus megaterium</i>	5 µg/ml môi trường

Phương pháp kiểm tra bằng sinh vật tuy có độ nhạy cao, nhưng ít được sử dụng vì hoặc tốn nhiều thời gian, hoặc ít chính xác vì phụ thuộc nhiều vào nguồn gốc, điều kiện nuôi dưỡng, v.v. Vì lẽ đó, phương pháp thường được sử dụng là các phương pháp hóa lý. Phương pháp này được thực hiện dựa vào các đặc điểm hóa lý của aflatoxin (bảng 1.18, hình 1.10).

**Bảng 1.18. Tính chất lý hóa của một số aflatoxin**

Aflatoxin	Công thức nguyên	Trọng lượng phân tử	Nhiệt độ nóng chảy			Huỳnh quang	Độ quay cực CHCl <sub>3</sub> [α] <sub>D</sub>	Hấp thu tia UV		Hấp thu tia IR CHCl <sub>3</sub> ν <sub>max</sub> (cm <sup>-1</sup> )
			*	**	***			λ (nm)	ε	
1	2	3	4	5	6	7	8	9	10	11
B <sub>1</sub>	C <sub>17</sub> H <sub>12</sub> O <sub>6</sub>	312	268- 269	265 - 270	252 - 266,2	xanh lam	-558	223 265 362	25.600 13.400 21.800	1760 (mạnh) 1684 (yếu) 1632, 1589, 1562
B <sub>2</sub>	C <sub>17</sub> H <sub>14</sub> O <sub>6</sub>	314	286 - 289	305 - 309	280 - 283	xanh lam	-492 <sup>*</sup> (- 430 <sup>***</sup> )	222 265 362	69.600 9.200 ( <sup>***</sup> 11.00) 14.700 ( <sup>**</sup> 20.800)	
G <sub>1</sub>	C <sub>17</sub> H <sub>12</sub> O <sub>7</sub>	328	244 - 246	247 - 250	246,7 - 247,3	xanh lục	-550	243 257 246 362	11.500 9.900 10.000 16.100	1760 1696 1630 1595

**Bảng 1.18. Tính chất lý hóa của một số aflatoxin (tiếp)**

1	2	3	4	5	6	7	8	9	10	11
G <sub>2</sub>	C <sub>17</sub> H <sub>14</sub> O <sub>7</sub>	330	229-231	237- 240	*	xanh lục	-473	221 245 265 365		
M <sub>1</sub>	C <sub>17</sub> H <sub>12</sub> O <sub>7</sub>	328	299			xanh lam tím	-280	226 265 357		
M <sub>2</sub>	C <sub>17</sub> H <sub>14</sub> O <sub>7</sub>	320	293			tím		221 264 357		

\* : Kết quả của Townsend,

\*\* : Kết quả của Stubblefield và cộng sự

\*\*\* : Kết quả của Beljaars

## TÀI LIỆU THAM KHẢO CHÍNH

- Asau J. et al. 1965  
The structure of aflatoxines B1 et G1. J.Am.Chem.Soc., 87 : 882-886.
- Ba D. et al. 1997  
Activité lipolytique et production d'aflatoxine chez Aspergillus flavus. Ann.Microbiol. /Inst. Pasteur, 128B : 87-93.
- Bùi Xuân Đồng và cs. 1963  
Một số nhận xét sơ bộ về nấm mốc trên dược liệu. Tạp chí Dược học, 3-1963 : 3-6.
- Bùi Xuân Đồng, 1972  
Contributions à l'étude taxonomique des Hyphomycètes /Deuteromycètes/. I. Esquisse d'une nouvelle classification. Ceské Mykol., 26 : 155-166.
- Bùi Xuân Đồng, 1976  
Mầm mốc độc và độc tố nấm mốc (Nấm mốc, bạn và thù, tập 2). Nhà xuất bản Khoa học và Kỹ thuật Hà Nội (NXBKHT).
- Bùi Xuân Đồng, 1997  
Mycotoxin. Các phương pháp kiểm nghiệm. Giáo trình cao học, Đại học Dược Hà Nội.
- Bùi Xuân Đồng, Hà Huy Kế, 1999  
Nấm mốc và phương pháp phòng chống. NXBKHT.
- Celia Sylos M. et al., 1989  
Inexpensive rapid screening method for aflatoxin in peanut and peanut products. J.Sci.Food Agric., 49 : 167 - 172.
- Lanford F. et Lanford J., 1971  
Production d'aflatoxine par des souches d'Aspergillus flavus de différentes origines. Mycopath. et Mycol. appl., 43 : 323-328.
- Lê Văn Bảy, 1993  
Góp phần nghiên cứu một số thông số lên men aflatoxin, loại độc tố nấm mốc gây ung thư gan. Công trình tốt nghiệp Dược sĩ đại học, Đại học Dược Hà Nội.
- Moreau Cl. (1974), 1980  
Nấm mốc độc trong thực phẩm. Đăng Hồng Miên dịch, NXBKHT

Nesterin M.F., V.I.A.Vioxarionova (1966)

Aflatoxin, Kiểu Hữu Ánh dịch, trong Vi sinh vật học, tuyển tập, tập I, NXBKHKT, 1971

Northolt M.D. et al., 1976

Effect of water activity and temperature on aflatoxin production by Aspergillus parasiticus. J.Milk Food Technol., 39 : 170-174.

Nguyễn Huy Văn, 1994

Góp phần nghiên cứu phân loại Aspergillus flavus Link ex Fr. và các loài lân cận - Nghiên cứu lên men aflatoxin. Công trình tốt nghiệp Thạc sĩ Dược học, Đại học Dược Hà Nội.

Nguyễn Lan Dũng, Bùi Xuân Đồng và Lê Dinh Lương, 1982

Vì Nấm. NXBKHKT.

Nguyễn Như Viên, 1990

Tình hình nhiễm aflatoxin B1 trong thức ăn và độc hại của nó đối với gà công nghiệp. Luận án PTS. Nông nghiệp, Đại học Nông nghiệp Hà Nội.

Nguyễn Thùy Châu, 1996

Nghiên cứu mức độ nhiễm nấm mốc sinh độc tố và độc tố nấm (mycotoxin) trên ngô, gạo Việt Nam và biện pháp phòng trừ. Luận án PTS. Sinh học, Đại học Khoa học tự nhiên - Đại học Quốc gia Hà Nội.

Raper K.B. et D.I.Fennell, 1965

The genus Aspergillus. Williams et Wilkins, Baltimore.

Schroecles H.W. et H.Hein., 1967

Aflatoxin production. Appl. Microbiol., 441 : 73-75.

## *Chương II*

# CÔNG NGHỆ BIẾN ĐỔI SINH HỌC

Biến đổi sinh học (biotransformation, microbial transformation) hay nói cho đầy đủ là biến đổi cấu trúc phân tử của các hợp chất hữu cơ ở một số vị trí trong phân tử của các hợp chất đó bằng phương pháp lên men vi sinh vật. Những công trình nghiên cứu đầu tiên thuộc lĩnh vực này là các công trình tạo thành testosterone của L.Mamoli, A.Vercellone (1937), của Koester và Cs. (1941). Năm 1949, Krámlí và Horváth thông báo các loài *Proactinomyces roseus* và *Aerobacter* sp. có thể oxy hóa nguyên tử carbon ở vị trí 7 của phân tử cholesterol để có 7-hydroxycholesterol. Chúng ta nhớ lại cũng năm 1949, Hench và Cs. đã phát hiện thấy tác dụng đối với bệnh viêm thấp khớp của cortison. Tiếp theo đó, cortison và hydrocortison đã được chứng minh có tác dụng điều trị đối với các bệnh hen, xuyễn, dị ứng, viêm ruột kết, v.v., công nghệ sản xuất các thuốc này được chú ý đặc biệt trong thời gian này. Người ta đồng thời cũng phát hiện các hợp chất steroid nói trên có tác dụng điều trị do sự có mặt của nguyên tử 11-Oxy trong phân tử của các hợp chất đó, và người ta đã nghiên cứu gắn nguyên tử oxy vào nguyên tử carbon ở vị trí 11 bằng phương pháp hóa học, nhưng phương pháp này vừa đắt tiền, vừa thực hiện khó khăn. Năm 1952, Peterson và Murray thông báo có thể oxy hóa hợp chất steroid ở các vị trí khác ngoài vị trí C<sub>7</sub> đã biết, bằng phương pháp biến đổi sinh học và đã tạo thành được 11 $\alpha$ -hydroprogesteron từ progesteron bằng một số chủng của loài *Rhizopus arrhizius*. Các thí nghiệm của các tác giả khác cho thấy có thể oxy hóa ở vị trí C<sub>11</sub> với nhiều hợp chất steroid khác ngoài progesteron, với vi nấm thuộc bộ Mucorales. Cũng năm 1952, những thí nghiệm được tiến hành với các loài thuộc chi *Aspergillus* của nhóm Nấm bất toàn (Fungi imperfecti) được phát hiện bởi Fried và Cs., với loài *Streptomyces fradiae* bởi Colingsworth và Cs. cũng cho những kết quả này.

Những nghiên cứu đầu tiên này và nhiều nghìn thông báo khoa học tiếp theo từ đó đến nay về biến đổi sinh học không những đối với các hợp chất steroid, mà cả với một số loại hợp chất khác như các cyclitol,

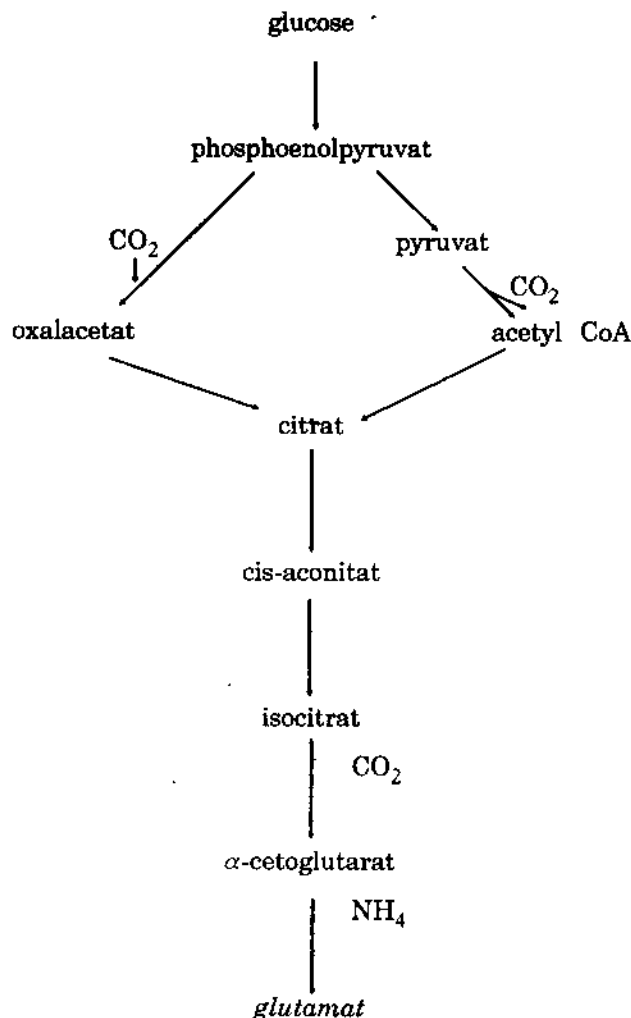
các aminoglycosid, v.v. bởi một loạt các loài vi khuẩn (bao gồm cả xà khuẩn), nấm khác nhau, đã làm tăng hiểu biết về khả năng sinh học này, góp phần phát triển công nghiệp sản xuất các hormon sinh dục, các hợp chất corticoit làm thuốc, một số kháng sinh mới, một số vitamin, v.v., cũng đóng góp vào nghiên cứu phân loại học một số nhóm phân loại (taxon) vi nấm. Ở Việt Nam, từ những năm 1970, một số trường đại học và Viện nghiên cứu đã nghiên cứu thăm dò biến đổi sinh học hợp chất steroid với các loài thuộc chi *Rhizopus*, đặc biệt trước đó, từ những năm 1960, đã tiến hành điều tra cơ bản, nghiên cứu chiết xuất một số hợp chất steroid từ thực vật, động vật có ở nước ta, dùng làm nguyên liệu sản xuất thuốc, như neriolin từ cây trúc đào (*Nerium oleander* L.), các glycosid trợ tim từ cây day (*Crochus olitorius* L.), D-strophanthin từ cây sừng kê (*Strophanthus divaricatus* Hook. et Arn.), để xuất khẩu làm nguyên liệu biến đổi sinh học như hecogenin từ cây thùa (*Agave* sp.), diosgenin từ mía dò (*Costus speciosus* Smith), solasodin từ *Solanum aviculare* Forst. (cây di thực), cây lu lu đực (*Solanum nigrum* L.), một số hợp chất steroid từ nọc cúc, mật gấu, mật trâu, bò, lợn, rắn biển, v.v.

## 1. NHỮNG VI SINH VẬT CÓ HOẠT TÍNH BIẾN ĐỔI SINH HỌC

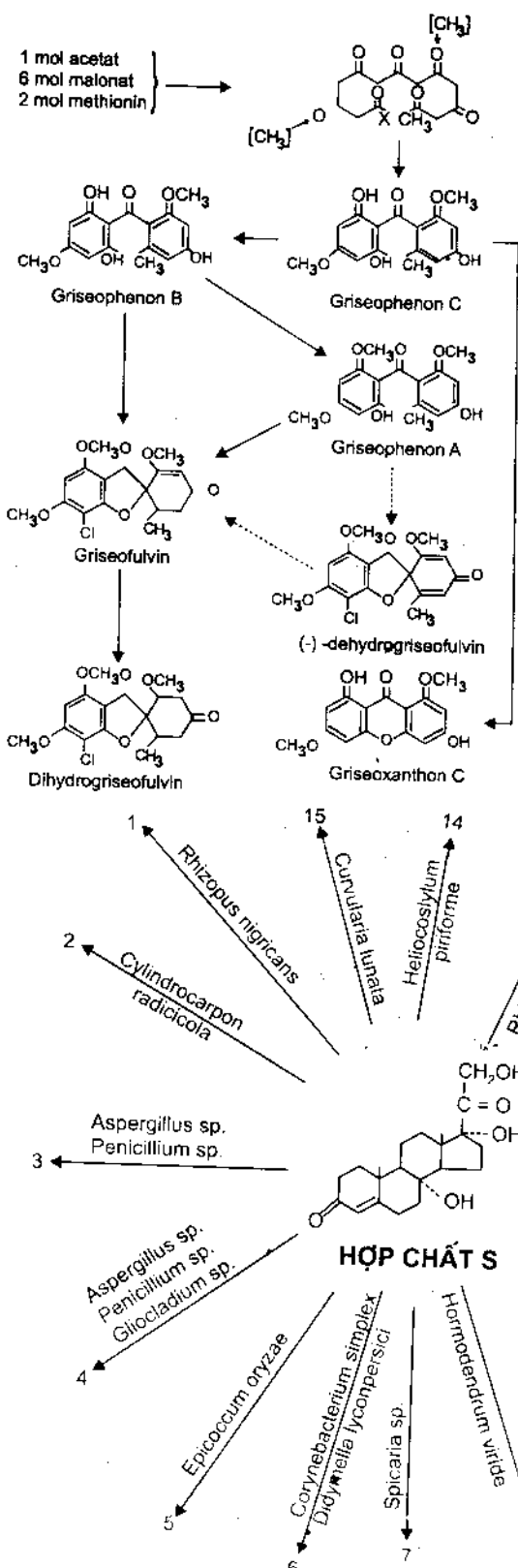
Những vi sinh vật có hoạt tính biến đổi sinh học được nghiên cứu cho đến nay gồm vi khuẩn (bao gồm cả xà khuẩn) và nấm. Trong quá trình lên men ở những điều kiện nhất định (xem phần Phương pháp biến đổi sinh học), những vi sinh vật này thực hiện các phản ứng hóa học ở các vị trí nhất định trong phân tử các hợp chất. Các phản ứng hóa học này thường chỉ thực hiện đơn lẻ, mà không xảy ra liên tiếp nhiều phản ứng thuộc nhiều loại khác nhau để được sản phẩm lên men như trường hợp sinh tổng hợp các chất hữu cơ. Các hình 2.1, 2.2, 2.3 mô tả tóm tắt các phản ứng biến đổi sinh học của hợp chất  $17\alpha$ -hydroxy-cortixon ( $17\alpha$ -hydroxy- $11$ -deoxycorticosterone, hay còn gọi là hợp chất S của Reichstein) bởi nhiều loài vi sinh vật khác nhau, và dãy phản ứng trong sinh tổng hợp acid glutamic bởi vi khuẩn *Corynebacterium glutamicum* và dãy phản ứng trong sinh tổng hợp griseofulvin (một kháng sinh chống nấm bệnh ở người) bởi một số loài thuộc chi *Penicillium* như *P.griseofulvum*, *P.uritiae*, v.v., cho ta ý niệm về sự khác nhau này.

Một điều đáng chú ý nữa là các sản phẩm của sinh tổng hợp là các sản phẩm trao đổi chất sơ cấp, thứ cấp hoặc các sản phẩm trung gian, nên các sản phẩm này được tạo thành và tích lũy trong quá trình sinh trưởng, phát triển của cơ thể vi sinh vật, còn các sản phẩm của biến đổi sinh học chủ yếu được tạo thành trước khi bào tử này分裂 nghĩa là

khi các bào tử được nuôi cấy chưa tạo thành các chồi nẩy sợi (trường hợp xạ khuẩn và nấm), và cho đến nay, người ta cũng chưa xác định được rõ ràng các phản ứng biến đổi sinh học thuộc quá trình đồng hóa hay dị hóa của cơ thể vi sinh vật, và ý nghĩa của các phản ứng đó trong trao đổi chất của vi sinh vật.

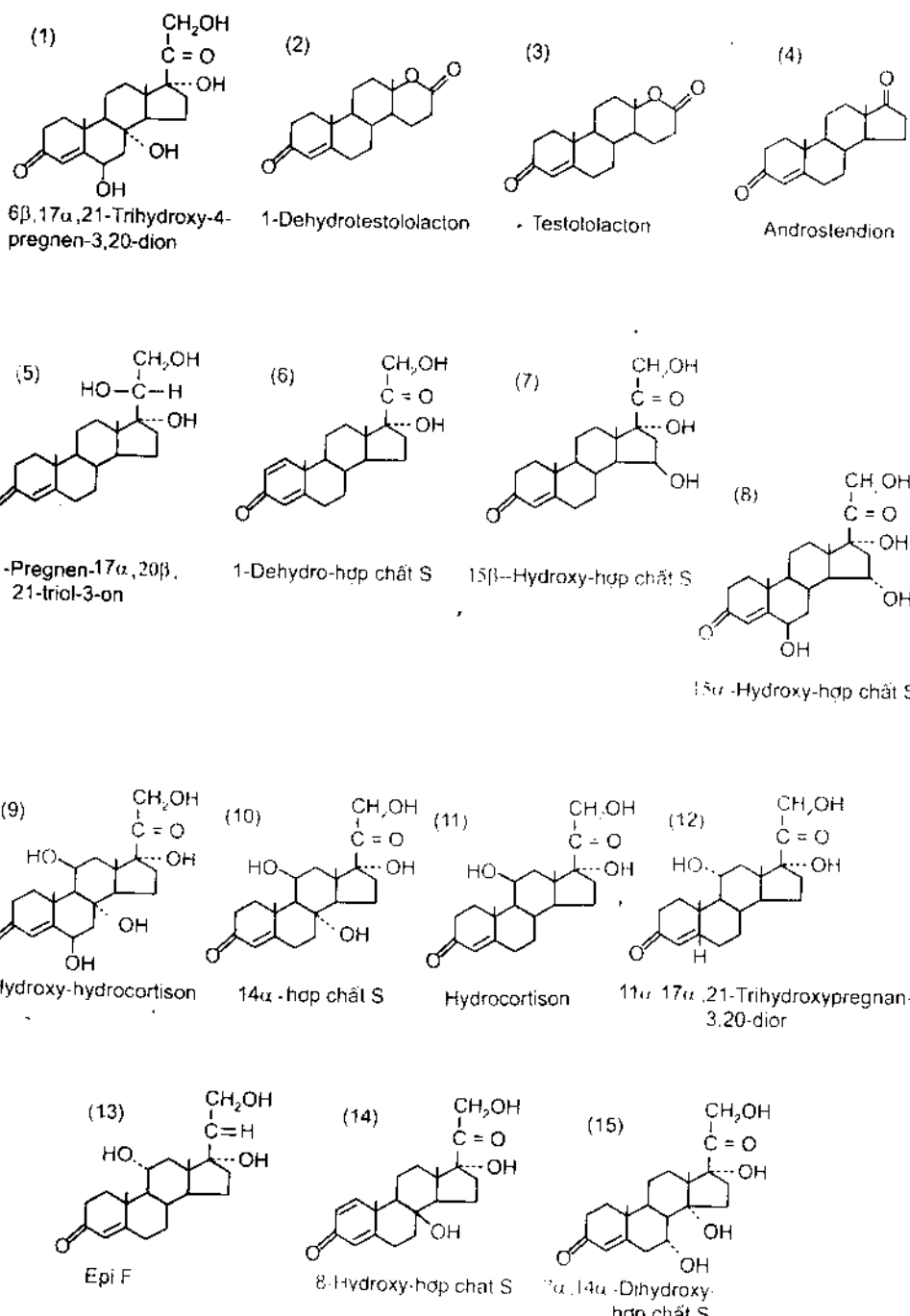


Hình 2.1. Những giai đoạn chính trong sinh tổng hợp acid glutamic  
(theo J.Rivièrè, 1975)



**Hình 2.2.** Những giai đoạn chính trong sinh tổng hợp griseofulvin và các sản phẩm trao đổi chất khác cùng tạo thành trong quá trình lên men (theo W.B.Turner, 1975)

**Hình 2.3.** (Xem tiếp trang 49)



Hình 2.3. Các hợp chất steroid tạo thành từ hợp chất S (của Reichstein, 17 $\alpha$ -hydroxy-11-deoxycorticosteron) bởi các vi sinh vật có hoạt tính biến đổi sinh học

Trong số các vi sinh vật đã được xác định là có hoạt tính biến đổi sinh học steroid, năm chi có số chi và số loài lớn nhất (85 chi với khoảng 380 loài), tiếp theo là vi khuẩn (17 chi với 92 loài), xạ khuẩn (6 chi với 93 loài). Các vi sinh vật này có khả năng thực hiện 13 loại phản ứng hóa học, trong đó loại phản ứng được thực hiện nhiều nhất là phản ứng hydroxy hóa (78,8% tổng số chi), tiếp theo là các phản ứng oxy hóa, khử hydro, khử nhóm keto (tần lượt chiếm 30,2%, 22,8%, 20,1% tổng số chi) (bảng 2.1).

**Bảng 2.1 Các loại phản ứng hóa học thực hiện bởi vi sinh vật trong biến đổi sinh học các hợp chất steroid (tổng hợp theo dữ liệu của Copek và Cs., 1966)**

Số mã nr	Phản ứng hóa học chiến đấu sinh học	Viết tắt	Số lượng chi	% chi so với tổng số chi
1	Hydroxy hóa	H x I	86	78,8%
2	Oxy hóa (alcool - keton)	O	33	30,8%
3	Khử hydro (tạo dây nối kép)	D	25	22,8%
4	Khử nhóm-ceto	R	22	20,1%
5	Cắt nhánh ngang	Cl	11	10,0%
6	Vòng A - nhân thóm	Ar	5	4,5%
7	Loại dây nối kép hydrocarbon	Hdg	5	4,5%
8	Epoxy hóa	Ep	5	4,5%
9	Sà phòng hóa este	S	4	3,6%
10	Cắt vòng B	Sp	4	3,6%
11	Cắt dây nối glucosid	Cl-G1	4	3,6%
12	Este hóa	E	3	2,7%
13	Đóng phân hóa (chuyển dây nối kép 5 - 6 → 4 - 5)	I	1	0,9%

Trong nhóm vi khuẩn, chi *Bacillus* là chi có số loài có hoạt tính biến đổi sinh học lớn nhất và cũng là chi có khả năng tạo ra nhiều phản ứng hóa học nhất (bảng 2.2).

**Bảng 2.2. Các chi vi khuẩn đã được xác định có hoạt tính biến đổi sinh học các hợp chất steroid**

Số thứ tự	Các chi vi khuẩn	Số lượng loài có hoạt tính	Các phản ứng hóa học trong biến đổi sinh học <sup>(1)</sup>
1	<i>Acetobacter</i>	2	O
2	<i>Achromobacter</i>	2	HxI
3	<i>Alcaligenes</i>	2	DR
4	<i>Arthrobacter</i>	1	D
5	<i>Azotobacter</i>	1	DO
6	<i>Azotomonas</i>	1	D
7	<i>Bacillus</i>	11	Ar.D.Cl.Gl.Hdg.HxI.O.R.S.Sp
8	<i>Bacterium</i>	3	D.Hdg.HxI.O.R
9	<i>Catenobacterium</i>	1	R
10	<i>Clostridium</i>	3	Hdg.R
11	<i>Corynebacterium</i>	5	D. O.R
12	<i>Escherichia</i>	2	O.R
13	<i>Flavobacterium</i>	6	Cl.Gl.O.R.S
14	<i>Micrococcus</i>	1	O
15	<i>Protaminobacter</i>	2	D
16	<i>Pseudomonas</i>	7	Ar.D.HxI.O.R.Sp
17	<i>Serratia</i>	1	D

(1) Tên các loại phản ứng được viết tắt, xin xem ở bảng 2.1 có tên đầy đủ.

Trong nhóm xạ khuẩn, chi *Streptomyces* có số loài đã được xác định có hoạt tính biến đổi sinh học lớn nhất, và cùng với chi *Mycobacterium* là các chi tạo ra nhiều phản ứng hóa học nhất (bảng 2.3).

**Bảng 2.3. Các chi xạ khuẩn đã được xác định có hoạt tính biến đổi sinh học các hợp chất steroid**

Số thứ tự	Các chi xạ khuẩn	Số lượng loài có hoạt tính	Các phản ứng hóa học trong biến đổi sinh học <sup>(1)</sup>
1	<i>Actinomycetes</i> Harz	14	I.HxI. O
2	<i>Micromonospora</i> Orskov	1	D
3	<i>Mycobacterium</i> Lehmet Neum.	14	Ar.Cl.D.HxI.O.R.Sp
4	<i>Nocardioides</i> Trevisan	25	Ar.Cl.D.HxI.Sp
5	<i>Proactinomyces</i>	1	HxI. O
6	<i>Streptomyces</i> Waksman et Henrici	37	Cl.D.Hdg.HxI.O.R

(1) Tên các loại phản ứng được viết tắt, xin xem ở bảng 1 có tên đầy đủ.

So với vi khuẩn (kể cả xã khuẩn), trong tự nhiên, nấm (Fungi) có số lượng loài đã biết lớn hơn nhiều, 7579 chi với 71.360 loài (bao gồm cả số chi và loài của nấm bát toàn) (theo D.L.Hawksworth, 1995). Số chi và loài nấm đã được xác định hoạt tính sinh học cũng lớn hơn nhiều so với vi khuẩn, 85 chi với 380 loài, trong đó Nấm tiếp hợp (Zygomycotina) có 18 chi với 101 loài, Nấm túi (Ascomycotina) có 19 chi với 32 loài, Nấm đầm (Basidiomycotina) có 8 chi với 13 loài và Nấm bát toàn (Deuteromycotina) có 40 chi với 232 loài (Hệ thống phân loại ngành Nấm của Ainsworth, 1971). Trong các ngành phụ nấm trên, các chi của ngành phụ Nấm bát toàn tạo ra hầu hết các loại phản ứng hóa học trong biến đổi sinh học (11/13 loại phản ứng) (bảng 2.4).

**Bảng 2.1 Các phản ứng biến đổi sinh học trên phân tử steroid ở các ngành phụ nấm**

Số thứ tự	Các phản ứng hóa học <sup>(1)</sup>	Zygomycotina	Ascomycotina	Basidiomycotina	Deuteromycotina
1	Ar				+
2	Cl	+			+
3	Cl-GI				+
4	D		+	+	+
5	E				+
6	Ep	+			+
7	Hdg		+		+
8	HxL	+	+	+	+
9	O	+	+	+	+
10	R		+	+	+
11	S		+		+

(1) \* Tên các loại phản ứng được viết tắt, xin xem tên đầy đủ ở bảng 1.

\* Dấu + : tạo ra phản ứng biến đổi sinh học.

Trong các phản ứng tạo ra bởi nấm, phản ứng hydroxy hóa là loại phản ứng phổ biến nhất, tạo ra bởi nấm ở cả 4 ngành phụ. Hơn nữa, ở mỗi ngành phụ nấm, số chi (và cả số loài) có hoạt tính này cũng lớn nhất so với các hoạt tính biến đổi sinh học khác. Ở ngành phụ Nấm tiếp hợp, hoạt tính này có ở cả 18 chi, ở ngành phụ Nấm túi, có ở 84,2% tổng số chi, ở ngành phụ Nấm đầm, có ở 87,5% tổng số chi, ở ngành phụ Nấm bát toàn, có ở 87,8% tổng số chi. Hoạt tính biến đổi sinh học của các chi trong mỗi ngành phụ nấm được trình bày trong các bảng 2.5, 2.6, 2.7, 2.8.

**Bảng 2.5. Các chi nấm thuộc ngành phụ Nấm tiếp hợp (Zygomycotina) đã được xác định có hoạt tính biến đổi sinh học các hợp chất steroid**

Số thứ tự	Các chi nấm	Số lượng loài có hoạt tính	Các phản ứng hóa học trong biến đổi sinh học <sup>(1)</sup>
1	<i>Absidia</i> V.Tiegh.	16	HxI, O
2	<i>Blakeslea</i> Thaxt.	1	HxI, O
3	<i>Chaetocladium</i> Fres.	1	HxI
4	<i>Choanephora</i> Currey	1	HxI
5	<i>Circinella</i> v.Tiegh.	3	HxI
6	<i>Cunninghamella</i> Matr.	9	Ep, HxI, O
7	<i>Gongromella</i> Ribaldi	1	HxI
8	<i>Helicosylbum</i> Cda.	1	Epi, HxI, O
9	<i>Mortierella</i> Coem.	8	HxI
10	<i>Mucor</i> Michex Fr.	31	Cl, EpHxI, O
11	<i>Phycomyces</i> Kunze	3	Ep, HxI
12	<i>Protoabsidia</i> Naumov	1	HxI
13	<i>Rhizopus</i> Ehrenberg	17	ClHxI, O
14	<i>Syncephalastrum</i> Schroet.	2	HxI
15	<i>Syncephalis</i> v.Tiegh.et Le Monn.	1	HxI
16	<i>Syzygites</i> Ehrenb. ex Fr. (Syn. của <i>Sporodinia</i> Link)	1	HxI
17	<i>Thamnidium</i> Link ex Wallr.	1	HxI, O
18	<i>Zygozhynchus</i> Vuill.	3	HxI, O

) Tên các loài phản ứng được viết tắt, xin xem tên đầy đủ ở bảng 2.1.

**Bảng 2.6. Các chi nấm thuộc ngành phụ Nấm túi (Ascomycotina) đã được xác định có hoạt tính biến đổi sinh học các hợp chất steroid**

Số thứ tự	Các chi nấm	Số lượng loài có hoạt tính	Các phản ứng hóa học trong biến đổi sinh học <sup>(1)</sup>
1	2	3	4
1	<i>Calonectria</i> de Not.	1	D, HxI, O
2	<i>Chaetomium</i> Kunze ex Fr.	3	HxI
3	<i>Didymella</i> Sacc.	2	D, HxI
4	<i>Eremothecium</i> Borzi	1	O
5	<i>Eurotium</i> Link ex Fr.	1	HxI
6	<i>Gibberella</i> Sacc.	4	HxI, O, S
7	<i>Glomerella</i> Schrenk. ex Spaulding	2	HxI
8	<i>Leptosphaeris</i> Ces.et de Not.	1	HxI
9	<i>Lophotrichus</i> Benjamin	1	HxI
10	<i>Melanospore</i> Cda.	1	HxI
11	<i>Neurospora</i> Shear et Dodge	2	HxI

Bảng 2.6 (tiếp)

1	2	3	4
12	<i>Ophiobolus</i> Riess	3	D, Hxl
13	<i>Peziza</i> Dill'ex Fr.	1	Hxl
14	<i>Phleospora</i> Rabeng. ex Ceset de Not	1	Hxl
15	<i>Saccharomyces</i> Meyen ex Rees	3	E, HCl, R
16	<i>Sclerotinia</i> Fuckel	3	Hxl
17	<i>Sporormia</i> de Not.	1	Hxl
18	<i>Thielavia</i> Zopf	1	Hxl
19	<i>Xylaria</i> Hill ex Grev.	1	Hxl

(1) Tên các loại phản ứng được viết tắt, xin xem tên đầy đủ ở bảng 2.1.

Bảng 2.7. Các chi nấm thuộc ngành phụ Nấm đầm (Basidiomycotina) đã được xác định có hoạt tính sinh học các hợp chất steroid

Số thứ tự	Các chi nấm	Số lượng loài có hoạt tính	Các phản ứng hóa học trong biến đổi sinh học <sup>(1)</sup>
1	<i>Corticium</i> Quél.	1	Hxl
2	<i>Cornucium</i> Pers.ex Gray	5	Hxl, O, R
3	<i>Cyathus</i> Gray ex Grev.	1	Hxl
4	<i>Hypholoma</i> (Fr.) Kummer	1	Hxl
5	<i>Lenzites</i> Fr.	1	Hxl
6	<i>Polyporus</i> (Mich.) Fr. ex Fr.	2	Hxl
7	<i>Portia</i> Pers.ex Gray	1	Hxl
8	<i>Stemonitis</i> Pers.ex Gray	1	D, R

(1) Tên các loại phản ứng được viết tắt, xin xem tên đầy đủ ở bảng 2.1.

Bảng 2.8. Các chi nấm thuộc ngành phụ Nấm bắt toàn (Deuteromycotina) đã được xác định có hoạt tính sinh học các hợp chất steroid

Số thứ tự	Các chi nấm	Số lượng loài có hoạt tính	Các phản ứng hóa học trong biến đổi sinh học <sup>(1)</sup>
1	2	3	4
1	<i>Alternaria</i> Nees ex Wallr.	2	D, Hdg, R
2	<i>Aspergillus</i> Mich.ex Fr	49	Cl, Cl-Gl, Hxl, O, S
3	<i>Beauveris</i> Vuill.	1	Hxl
4	<i>Botryodiplodia</i> Sacc.	1	Hxl
5	<i>Botrytis</i> Pers.ex Fr.	2	Hxl, O
6	<i>Candida</i> Berkhouit	1	R
7	<i>Cephalosporium</i> Cda.	3	Cl, Hxl

Bảng 2.8. (tiếp)

1	2	3	4
8	<i>Cercospora</i> Fres.	1	Hxl
9	<i>Cladobotryum</i> Nees	1	Hxl
10	<i>Cladosporium</i> Link ex Fr.	4	Cl. E. Hxl
11	<i>Colletotrichum</i> Cda.	5	D. Hxl
12	<i>Coniothyrium</i> Cda.	2	Hxl
13	<i>Coryneum</i> Nees ex Fr.	1	Hxl
14	<i>Curvularia</i> Boedijn	9	Ep. Hxl. O. R
15	<i>Cylindrocarpon</i> Wollenw.	2	Cl. D. Hxl
16	<i>Dactylium</i> Nees ex Fr.	1	Hxl
17	<i>Diplodia</i> Fr.	2	Hxl
18	<i>Dothichiza</i> Lib.	1	Hxl
19	<i>Epicoccum</i> Linke ex Wallr.	1	R
20	<i>Fusarium</i> Link ex Fr.	34	Cl. D. Hxl. O. S
21	<i>Gliocladium</i> Cda.	2	Cl. D. Hxl
22	<i>Gloeosporium</i> Desmet Mont.	1	Hxl
23	<i>Haplodiplosis</i> Speg.	1	Hxl
24	<i>Henningsioporum</i> Link ex Fr.	3	D. Hxl
25	<i>Heteromnia</i> Sacc.	5	D. Hxl
26	<i>Leptothyrium</i> Tode ex Fr.	1	Hxl
27	<i>Nigrospora</i> Zimm.	3	Hxl. O
28	<i>Penicillium</i> Link ex Fr.	58	Cl. Cl-Gl. Hxl. O. R
29	<i>Pestalotiopsis</i> de Not.	4	Hxl
30	<i>Phoma scutellata</i> Sacc.	1	Hxl
31	<i>Rhizoctonia</i> DCex Fr.	3	Hxl
32	<i>Rhodotorula</i> Harrison	1	R
33	<i>Sclerotium</i> Tode ex Fr.	1	Hxl
34	<i>Septomyxa</i> Sacc.	5	Ar. Cl. D
35	<i>Spicaria</i> Harting	2	Hxl
36	<i>Stachylidium</i> Link ex Fr.	3	Hxl
37	<i>Sporotrichum</i> Link ex Fr.	2	Hxl. R
38	<i>Trichoderma</i> Persex Fr.	9	L. Hxl
39	<i>Trichothecium</i> Link ex Fr.	5	Hxl. O. R
40	<i>Walnowici</i> Sacc.	1	Hxl. O

(1) Tên các loại phản ứng được viết tắt, xin xem tên đầy đủ ở bảng 1.

Các bảng trên cho chúng ta biết các loại hoạt tính biến đổi sinh học của 108 chi vi sinh vật, bao gồm vi khuẩn, nấm và nấm, nhưng đó mới chỉ là dữ liệu của 593 thông báo của các tác giả khác nhau về biến đổi sinh học của steroid trong số hàng nghìn thông báo đã được công bố, chắc chắn còn một số chi các vi sinh vật cũng có hoạt tính biến đổi sinh học, mà chưa được nói đến. Và cũng vậy đối với một số loài, thí dụ loài

*Acetobacter suboxydans* biến đổi D-sorbitol thành L-sorbose, loài *Whetzelinia sclerotiorum* biến đổi olivomycin thành deisobutyrylolivomycin, v.v.

Mặt khác trong công nghệ biến đổi sinh học, chúng ta không phải chỉ chú ý tới loại phản ứng hóa học tạo ra bởi một loài vi sinh vật, mà còn chú ý tới vị trí biến đổi trong phân tử một hợp chất mà loài vi sinh vật đó có hoạt tính sinh học này. Chính loài mới mang đầy đủ tính đặc trưng này, đặc trưng về loại phản ứng hóa học và vị trí xảy ra phản ứng đó trong phân tử một hợp chất, thí dụ, cũng thuộc chi *Aspergillus*, nhưng loài *A. carbonarius* tạo ra phản ứng hydroxy hóa ở vị trí  $15\beta$ , loài *A. niger* tạo ra cùng loại phản ứng ở  $5\beta$ , và  $11\alpha$ , v.v. (xem bảng ở cuối chương). tuy nhiên chúng ta cũng thấy phổ biến nhiều loài có vị trí phản ứng rất xa nhau lại có hoạt tính biến đổi sinh học giống nhau, không những ở loại phản ứng mà ở cả vị trí trong phân tử hợp chất, thí dụ nhiều loài thuộc các chi *Mucor*; *Rhizopus* (thuộc ngành phụ Nấm tiếp hợp), *Aspergillus*, *Penicillium* (thuộc ngành phụ Nấm bất toàn), và cả một số loài thuộc chi *Pseudomonas*, *Streptomyces* (thuộc ngành Vi khuẩn, giới Prokaryota) cũng có phản ứng hydroxy hóa ở vị trí  $11\alpha$ . Như chúng ta biết, các hoạt động lên men vi sinh vật đều có sự tham gia của các enzym. Như vậy, trong biến đổi sinh học của vi sinh vật, các enzym tham gia vào một phản ứng hóa học nhất định trong những điều kiện nhất định của môi trường, đều được tế bào tạo thành ở các nhóm vi sinh vật ở các nhánh tiến hóa xa nhau. Tuy nhiên, cần nhấn mạnh rằng ở các loài vi sinh vật đã được xác định có hoạt tính biến đổi sinh học, mỗi loài chỉ có một hoặc một số hoạt tính nhất định (kể cả loại phản ứng hóa học và vị trí xảy ra phản ứng trong phân tử hợp chất), nghĩa là các hoạt tính này có đặc trưng loài và chi. Như chúng tôi sẽ nói ở đoạn sau, tính đặc trưng này đã được sử dụng trong phân loại học một số chi nấm.

#### *Ảnh hưởng của cơ chất và sản phẩm biến đổi sinh học đến vi sinh vật*

Trong quá trình lên men biến đổi sinh học, enzym của vi sinh vật làm biến đổi cơ chất, và như chúng ta đã biết, khả năng làm biến đổi cơ chất này của vi sinh vật có tính đặc trưng loài, ngược lại, cơ chất và các sản phẩm của quá trình lên men có ảnh hưởng tới vi sinh vật không? Nhiều nhà nghiên cứu đã chú ý đến vấn đề này, tuy cho đến nay những hiểu biết liên quan chưa nhiều, chưa giải thích được cơ chế ảnh hưởng, nhưng trong trường hợp cơ chất và sản phẩm biến đổi là steroid, hầu hết các hợp chất không phải là các hợp chất của các hoạt động sinh lý của vi sinh vật, trừ một số hợp chất sterol như ergosterol chẳng hạn là sản phẩm tổng hợp của tế bào vi sinh vật.

Một cách tổng quát, một số cơ chất và sản phẩm biến đổi không có ảnh hưởng, một số khác kích thích hoặc ức chế sinh trưởng, phát triển của vi sinh vật.

Trước khi nói tới ảnh hưởng này (ảnh hưởng của cơ chất, sản phẩm biến đổi đến vi sinh vật), chúng ta nói tới một ảnh hưởng đặc biệt của một số loài vi sinh vật gây cản trở cho quá trình lên men biến đổi sinh học, đó là tác dụng gây kết dính steroid của các loài vi sinh vật đó. Tác dụng gây kết dính này có mối liên quan giữa cấu trúc của steroid và vi sinh vật liên quan, thí dụ như ở loài *Penicillium canescens*. Ở loài nấm bất toàn này, tác dụng gây kết dính rõ rệt nhất đối với các steroid có nhánh bên dài, có nhóm  $\beta$ -hydroxy và có dây nối kép ở vị trí 5 - 6 (bảng 2.9). Khả năng gây kết dính mạnh hay yếu cũng tùy từng loài, và khả năng này cao ở các loài nấm, yếu hơn ở vi khuẩn, xạ khuẩn (bảng 2.10).

**Bảng 2.9. Tác dụng gây kết dính steroid của *Penicillium canescens* (theo Capek và Cs., 1966)**

Steroid	% steroid bị kết dính
Cholesterol	69
$\beta$ -sitosterol	65
Stigmasterol	49
Dehydroepiandrosteron	24
$\Delta^4$ -andosten-3, 17-dion	21
$\Delta^5$ -pregnen-3-ol-20-on	19
Testosteron	7
Cortisol	3

**Bảng 2.10. Sự kết dính của  $\beta$ -sitosterol bởi các loài vi sinh vật (nuôi cấy 5 ngày, 200 mg steroid trong 1 ml môi trường) (theo Capek và Cs., 1996)**

Vi sinh vật (Nấm)	% steroid bị kết dính	Vi sinh vật (Vi khuẩn, xạ khuẩn)	% steroid bị kết dính
<i>Gliocladium catenulatum</i>	84	<i>Microspora</i> sp.	23
<i>Penicillium canescens</i>	65	<i>Mycobacterium laticola</i>	
<i>Chaetomium funicola</i>	60	<i>Pseudomonas aeruginosa</i>	16
<i>Aspergillus flavus</i>	45	<i>Corynebacterium</i>	16
<i>Cladosporium</i> sp	35	<i>flaccumfaciens</i>	12
<i>Rhizopus nigricans</i>	35	<i>Staphylococcus aureus</i>	8
<i>Cylindrocephalum aureum</i>	17	<i>Bacillus cereus</i>	6
		<i>Streptomyces lavendulae</i>	3
		<i>Nocardia erythropolis</i>	0

Ảnh hưởng của các chất kháng sinh đến vi sinh vật - Về ảnh hưởng này, có 2 trường hợp. Ở trường hợp thứ nhất, vi sinh vật là tác nhân biến đổi sinh học có khả năng tạo thành chất kháng sinh, thí dụ các loài xạ khuẩn *Streptomyces griseus* tạo thành streptomycin, *Str.rimosus* sản sinh tetracyclin, *Str.fradiae* sản sinh neomycin, v.v. Các vi sinh vật sinh kháng sinh này không mẫn cảm với chính chất kháng sinh do chúng tạo thành, hay nói cách khác, có tính đối kháng với các chất kháng sinh đó. Như vậy, một chủng xạ khuẩn *Streptomyces griseus* tạo thành kháng sinh streptomycin không chịu tác dụng của streptomycin, cũng như vậy đối với các chủng xạ khuẩn của các loài khác thuộc chi *Streptomyces*. Cơ chế đối kháng này với mỗi loài xạ khuẩn không giống nhau, thí dụ đối với loài *Str.griseus*, cơ chế đó bao gồm hoạt động của enzym (aminoglycosit photphototransferaza) làm kháng sinh mất hoạt tính, song song với quá trình "cải biến" của ribosom ; với loài *Str.fradiae*, cơ chế kháng neomycin của loài này chỉ do tế bào xạ khuẩn tạo thành enzym aminoglycosit photphototransferaza làm neomycin mất hoạt tính thông qua quá trình photphorin hóa, v.v. (Lê Thanh Bình, 1995). Nhưng chúng ta cần chú ý là với cùng một loài, thí dụ loài *Str.griseus*, một chủng của loài này không có khả năng tạo thành kháng sinh (ở đây là streptomycin), chủng đó mất tính đối kháng với kháng sinh và do đó vẫn bị kháng sinh này ức chế, như trường hợp các vi sinh vật mẫn cảm với một kháng sinh bị ức chế bởi kháng sinh đó. Vậy trong trường hợp mà vi sinh vật là tác nhân biến đổi sinh học mà có khả năng tạo thành một kháng sinh, nếu chính kháng sinh đó được dùng làm cơ chất, một số kết quả nghiên cứu cho thấy cơ chất này không ảnh hưởng đến vi sinh vật.

Trường hợp thứ hai thường gặp hơn : chất kháng sinh dùng làm cơ chất không phải là chất kháng sinh do vi sinh vật dùng làm tác nhân biến đổi sinh học tạo thành. Ở trường hợp này, chất kháng sinh dùng làm cơ chất sẽ ức chế sinh trưởng, phát triển của vi sinh vật vốn là những vi sinh vật mẫn cảm với kháng sinh đó. Khi lên men biến đổi sinh học một kháng sinh, đương nhiên người ta không dùng tác nhân biến đổi là vi sinh vật mẫn cảm với kháng sinh, dù vi sinh vật này có hoạt tính biến đổi sinh học mong muốn, hoặc nếu dùng, phải nghiên cứu thăm dò nồng độ chất kháng sinh dùng làm cơ chất ít ảnh hưởng đến vi sinh vật.

Ảnh hưởng của các sterol đến vi sinh vật - Trong số các sterol, cholesterol và ergosterol đã được xác định là ức chế sinh trưởng của một số loài vi khuẩn và nấm, như *Mycobacterium tuberculosis*, *Staphylococcus aureus*, *Penicillium chrysogenum*, v.v. Khả năng ức chế này tùy thuộc vào

nồng độ cơ chất, và cũng tùy thuộc vào thành phần môi trường, và do tác dụng trực tiếp của sterol lên hệ thống enzym dehydro hóa của tế bào vi sinh vật, cũng do các hợp chất này làm thay đổi sức căng bề mặt của môi trường từ đó, ảnh hưởng đến tính thẩm của màng tế bào đối với các hợp chất khác nhau (Capek và Cs., 1966).

Ảnh hưởng của các steroid khác đến vi sinh vật - Nhiều hormon steroid đã được xác định là có tác dụng ức chế vi sinh vật. Tác dụng này không giống nhau với mỗi hormon, và với một hormon, tác dụng cũng khác nhau với các loài vi sinh vật (các bảng 2.11 và 2.12).

**Bảng 2.11. Tác dụng ức chế vi sinh vật bởi cortexone (80 - 250 µg/l ml môi trường ; % tác dụng được tính bằng sự thay đổi lượng sinh khối) (theo Capek và Cs., 1996)**

Vì sinh vật	% ức chế
<b>Vì khuẩn gram -</b>	
<i>Aerobacter aerogenes</i>	5
<i>Escherichia coli</i>	5
<i>Proteus vulgaris</i>	5
<i>Pseudomonas aeruginosa</i>	5
<i>Ps. fluorescens</i>	5
<i>Serratia marcescens</i>	5
<b>Vì khuẩn gram +</b>	
<i>Bacillus megaterium</i>	49 - 100
<i>B. subtilis</i>	50 - 100
<i>Micrococcus aureus</i>	73 - 74
<i>Mycobacterium rammiae</i>	97 - 100
<i>Sarcina lutea</i>	90 - 100
<b>Nấm men</b>	
<i>Saccharomyces cerevisiae</i>	65 - 94
<i>Torulopsis utilis</i>	25 - 33
<b>Nấm mèo</b>	
<i>Aspergillus niger</i>	56 - 76
<i>Cunninghamella blakesleiana</i>	38 - 63
<i>Curvularia lunata</i>	60 - 100
<i>Neurospora crassa</i>	40 - 65
<i>Penicillium lilacinum</i>	71 - 86
<i>P. puberulum</i>	76 - 100

**Bảng 2.12. Ảnh hưởng của các steroid đến sự sinh trưởng của *Neurospora crassa*) 250 µg steroid/1 ml môi trường ; % tác dụng ức chế được tính bằng sự thay đổi lượng sinh khối) (theo Lester và Cs., 1958)**

Steroid	% ức chế
Cholesterol	4
Cholestenon	2
Ergosterol	7
Estradiol	2
Estriol	7
Androstanedion	18
Testosteron	26
Dihydrotestosteron	6
Pregnenolon	9
Progesteron	22
17-OH-progesteron	9
Cortexon	55
$\Delta^1$ -dehydrocortexon	2
Cortexon acetat	5
Cortexon glucosid	8
5 $\beta$ -dihydrocortexon	18
5 $\alpha$ -dihydrocortexon	39
7-hydrocortexon	7
11 $\alpha$ -hydrocortexon	5
11 $\beta$ -hydrocortexon	4
14 $\beta$ -hydrocortexon	10
15 $\alpha$ -hydrocortexon	0
17 $\alpha$ -hydrocortexon	3
1 $\beta$ , 17 $\alpha$ -dihydroxy-11-ceto-cortexon	5
9 $\alpha$ -fluoro-1 $\beta$ ,17 $\alpha$ -dihydrocortexon	3

Những hợp chất có các nhóm *ceto*,  $\beta$ -*hydroxy*,  $\beta$ -*acetoxy*,  $\beta$ -*acetyl* ở khung steroid cũng đã được xác định có tác dụng ức chế mạnh với một số vi sinh vật. Ngoài ra, một số thành phần môi trường có ảnh hưởng tới cường độ ức chế này, chẳng hạn thành phần đường, khả năng tiêu thụ các acid amin của vi sinh vật bị ức chế bởi cortexon, v.v. Một điều đáng chú ý nữa là hiện tượng trung hòa tác dụng ức chế vi sinh vật lẫn nhau của 2 hợp chất steroid, chẳng hạn tác dụng ức chế của cortexon bị giảm khi cùng có mặt của stigmasterol.

## 2. NHỮNG PHƯƠNG PHÁP SỬ DỤNG TRONG CÔNG NGHỆ BIẾN ĐỔI SINH HỌC

Những phương pháp sử dụng trong công nghệ biến đổi sinh học về nguyên tắc không khác với các phương pháp lên men vi sinh vật khác,

tất nhiên với những sai khác nhất định. Mặt khác, công nghệ biến đổi sinh học mỗi hợp chất hữu cơ lại có qui trình cụ thể. Vì những lý do này, trong đoạn này, chúng tôi chỉ trình bày những phương pháp tổng quát liên quan đến công nghệ biến đổi sinh học.

## 2.1. Phương pháp dùng sinh khối và phương pháp dùng bào tử nấm

Như ở đoạn trên chúng ta đã biết, các vi sinh vật dùng trong công nghệ biến đổi sinh học bao gồm vi khuẩn, xạ khuẩn và nấm. Với vi khuẩn, người ta dùng toàn bộ hỗn hợp sinh khối thu nhận được khi nuôi cấy để lên men biến đổi sinh học. Bào tử của xạ khuẩn đã được xác định có hoạt tính biến đổi sinh học, còn nội bào tử (endospore) của vi khuẩn không có hoạt tính sinh học này. Hầu hết nấm đã được nghiên cứu hoạt tính biến đổi sinh học là vi nấm thuộc các ngành phụ Nấm tiếp hợp, Nấm túi và Nấm bất toàn. Bào tử kín (còn gọi là bào tử nang, sporangiospore) của Nấm tiếp hợp, bào tử tràn (conidi) của nấm túi và nấm bất toàn có hoạt tính sinh học này mạnh hơn hệ sợi nấm (mycelium), và đặc biệt các loại bào tử này khi chưa nảy sợi (chưa phồng to và chưa có chồi nảy sợi) đã được chứng minh là có hoạt tính mạnh nhất. Gehrig và Knight (1958) là những người đầu tiên nhận xét thấy bào tử nấm có hoạt tính biến đổi sinh học, và đã chứng minh conidi của loài *Penicillium roqueforti* có hoạt tính biến đổi acid octanoic thành 2-heptanon.

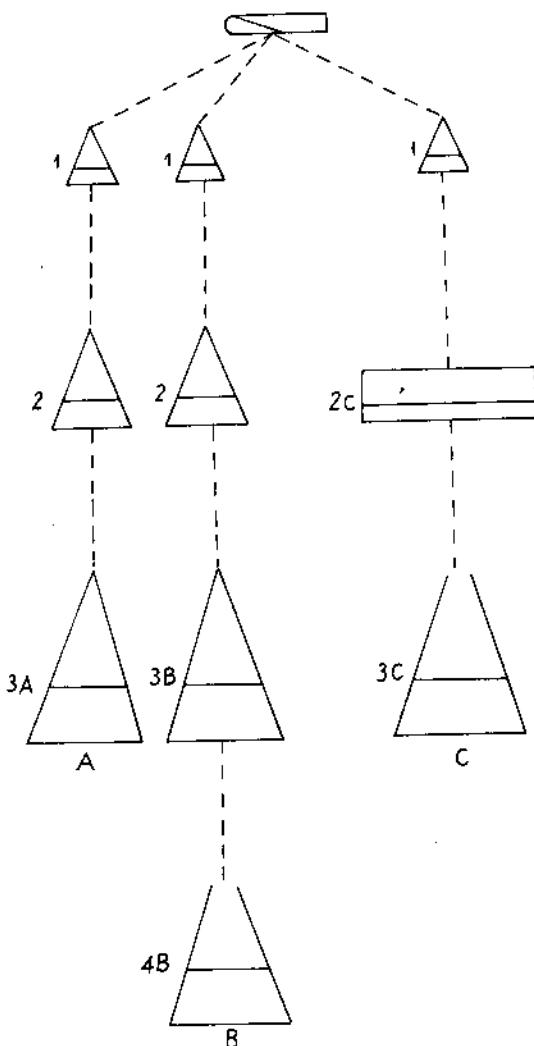
Hoạt tính này cũng đã được chứng minh là tăng tỷ lệ thuận với số lượng bào tử có mặt. Sở dĩ như vậy, theo giải thích của Knight (1966), bào tử nấm là giai đoạn nghỉ trong chu trình sống của nấm. Trong giai đoạn này, tế bào nấm không những có các enzym cần thiết cho các hoạt động trao đổi chất, mà còn có một nhóm enzym tham gia vào việc biến đổi một số cơ chất có trong môi trường xung quanh, không liên quan rõ ràng đến các quá trình đồng hóa, dị hóa của cơ thể nấm, tương ứng với lý thuyết cho rằng giai đoạn nghỉ (như bào tử nấm chẳng hạn) là sự ngắt quãng có tính thuận nghịch của sự phát triển phenotyp của một cơ thể sinh vật. Tương ứng với các nhóm vi sinh vật, có 2 cách dùng vi sinh vật trong biến đổi sinh học.

### *Phương pháp dùng sinh khối*

Ở phương pháp này, vi sinh vật được bảo quản đông khô, trong cát hay trên thạch nghiêng được cấy lại trên thạch nghiêng, rồi được nuôi cấy nhân giống 1 - 2 lần. Đổ toàn bộ dịch nuôi cấy nhân giống cuối cùng vào bình hoặc nồi lên men biến đổi sinh học, cùng với cơ chất lên men. Môi trường lên men cũng là môi trường nuôi cấy nhân giống, hoặc có thành phần khác tùy thuộc vào thí nghiệm, vi sinh vật và cơ chất

nghiên cứu. Sau khi phản ứng biến đổi sinh học kết thúc, chiết xuất sản phẩm từ dịch lên men này (hình 2.4A).

Cần chú ý là quá trình nuôi cấy nhân giống và lên men trên phải được thực hiện vô trùng. Vì hầu hết vi sinh vật dùng trong biến đổi sinh học là các vi sinh vật hiếu khí, nên các bình nuôi cấy, các bình lên men phải được lắc liên tục hoặc có thiết bị thổi không khí vô trùng vào (trường hợp nồi lên men).



Hình 2.4. (Sơ đồ) : A, B - Phương pháp dùng sinh khối ; C- Phương pháp dùng bào tử

1 và 2 : nhân giống ; 3A : nhân giống + lên men; 3B : nhân giống ; 4B : lên men trong dung dịch đệm; 2C : nuôi cấy lấy bào tử trong môi trường rắn; 3C : lên men trong dung dịch đệm.

Phương pháp dùng sinh khối có nhược điểm là dịch lên men không những có các sản phẩm biến đổi, phần cơ chất không biến đổi còn lại, mà còn có nhiều sản phẩm trao đổi chất của vi sinh vật cùng với các thành phần môi trường nuôi cấy, môi trường lên men chưa được vi sinh vật sử dụng hết. Vì vậy phương pháp này đã được cải tiến : bình lên men được dùng làm bình nuôi cấy nhân giống lần ba, sau đó sinh khối được tách riêng và rửa bằng nước cất hoặc một dung dịch đệm vô trùng. Đổ sinh khối này vào bình hay nồi lên men chứa dung dịch đệm để tạo thành một dịch treo, sau đó cho thêm cơ chất vào bình hay nồi lên men này, và cuối cùng chiết xuất sản phẩm sau khi phản ứng biến đổi sinh học kết thúc (hình 2.4B). Ở bình hay nồi lên men trong phương

pháp dùng sinh khối cải tiến này, về nguyên tắc, không cần thực hiện vô trùng, vì dung dịch đệm không phải là dung dịch dinh dưỡng.

Trong một số trường hợp cần thiết, thí dụ như cần theo dõi phản ứng biến đổi sinh học nhiều ngày, người ta cho thêm các chất kháng sinh để tránh nhiễm khuẩn.

Sau đây là vài thí dụ về sử dụng phương pháp dùng sinh khối.

Như đã nói, phương pháp dùng sinh khối của nấm hiện nay ít được sử dụng, mà chủ yếu sử dụng trong trường hợp lên men biến đổi sinh học với vi khuẩn và xạ khuẩn. Thí dụ Argourelis và Coast (1969) đã dùng phương pháp này để thực hiện phản ứng N-demethyl hóa clindamycin với một loài thuộc chi *Streptomyces*. Để thực hiện phản ứng biến đổi sinh học này, *Streptomyces punipalpus* được nuôi cấy trong môi trường gồm glucose monohydrat 25g/lit, "Pharmamedia" (sản phẩm thủy phân của hạt bông) 25g/lit, ở nhiệt độ 28°C, trên máy lắc tròn (250 vòng/min, biên độ 6 cm) trong 72 h. Dịch nuôi cấy này được chuyển sang môi trường lên men với tỷ lệ 5%. Môi trường lên men gồm các thành phần : dextrin 30g/lit, một loại ri đường 20g/lit, bột cá 15g/lit, Pharmamedia 15g/lit. Môi trường lên men này cùng với 5% dịch nuôi cấy xạ khuẩn được nuôi cấy tiếp trong 48h trong cùng điều kiện trên (nhiệt độ, lắc). Sau cùng một lượng clindamycin được cho vào môi trường lên men. Sau 72h lên men, sản phẩm được chiết xuất và xác định hóa học. Clindamycin có hoạt tính kháng sinh mạnh gấp 4 lần lincomycin in vitro với vi khuẩn *Sarcina lutea*, 1'-demethylclindamycin biến đổi sinh học từ clindamycin ở trên có hoạt tính này gấp đôi clindamycin, nghĩa là gấp 8 lần lincomycin.

Về phương pháp dùng sinh khối nấm, chúng ta có thể lấy thí dụ thí nghiệm của Peterson và Cs. (1952) ở thời kỳ đầu nghiên cứu biến đổi sinh học steroid. Ở thí nghiệm này, các loài nấm được dùng là *Rhizopus nigricans* và *Rh. arrhizus*. Môi trường nuôi cấy sau khi tiệt trùng và để nguội, được cấy vào bào tử hay hệ sợi nấm. Bình nuôi cấy nấm được lắc 200 vòng/min. Nuôi cấy nấm ở nhiệt độ 28°C trong 24h hoặc lâu hơn. Các hợp chất steroid hòa tan trong aceton, ethanol hoặc một dung môi hữu cơ khác, được cho vào bình nuôi cấy và để lên men biến đổi sinh học 24 - 48h. Lượng steroid cho vào môi trường lên men (cũng là môi trường nuôi cấy nấm) từ 0,5 đến 1mg trong một lit môi trường. Sản phẩm biến đổi được chiết xuất bằng methylen clorua.

#### *Phương pháp dùng bào tử*

Hiện nay khi dùng nấm làm tác nhân biến đổi sinh học, người ta ít dùng toàn bộ sinh khối, mà dùng bào tử nấm được tách riêng khỏi môi trường nuôi cấy nấm, vì như đã nói ở trên, bào tử nấm chưa sợi cho hiệu suất biến đổi sinh học (hình 2.4C).

Bào tử nấm là một phần của cơ thể nấm, thường có giới hạn rõ ràng với phần chính còn lại của cơ thể, làm nhiệm vụ phát tán, duy trì sự tồn tại, phát triển của loài. Tùy theo đặc điểm của quá trình tạo thành, bào tử nấm được phân biệt làm 2 loại : bào tử hữu tính được tạo thành kèm theo hiện tượng thụ tinh và sự phân chia giảm nhiễm của tế bào mang tính cái đã được thụ tinh bởi tế bào mang tính đực, bào tử vô tính được tạo thành trực tiếp từ một tế bào phân hóa của sợi nấm (tế bào sinh bào tử) và bằng sự phân bào gián phân của tế bào này. Do sự tạo thành bào tử hữu tính thường ít về số lượng và lại cần nhiều thời gian, nên chỉ có bào tử kín và conidi là những loại bào tử vô tính được dùng trong lén men biến đổi sinh học. Số lượng các loại bào tử vô tính này được tạo thành phụ thuộc vào đặc điểm di truyền và điều kiện của môi trường. Do cấu trúc di truyền thể hiện bằng các đặc điểm cấu tạo hình thái, một số loài nấm có các tế bào sinh bào tử chỉ phân bào một lần để tạo thành một bào tử, như trường hợp nhiều nấm bắt toàn thuộc tổ chi *Aleurioconidia* (các loài thuộc các chi *Epicoccum*, *Humicla*, v.v.), một số loài khác có các tế bào sinh bào tử phân bào nhiều lần hoặc bán thân bào tử cũng phân bào để sinh bào tử, do đó loại tế bào sinh bào tử này tạo thành những chuỗi, những khối cầu gồm nhiều bào tử, như trường hợp nấm bắt toàn thuộc các nhóm *Phialoconidiae*, *Blastoconidiae* (các loài thuộc các chi *Aspergillus*, *Penicillium*, *Cladosporium*, v.v.) (B.X. Đồng, 1972).

Chúng ta cũng cần chú ý khi chọn các chủng của một loài để nuôi cấy thu nhận bào tử, vì cùng một loài, do các đột biến tự nhiên hay nhân tạo, có chủng cho nhiều, có chủng cho ít bào tử.

Thành phần dinh dưỡng của môi trường nuôi cấy, cũng như các điều kiện nuôi cấy khác như pH, nhiệt độ, độ ẩm, độ thông khí cũng ảnh hưởng, nhiều khi quyết định đến sự tạo thành nhiều hay ít bào tử của một chủng nấm. Có thể lấy thí dụ ảnh hưởng đến sự tạo thành này của các loại glucid đến một chủng nấm thuộc loài *Colletotrichum capsici* (bảng 2.13).

Về nuôi cấy nấm để thu nhận bào tử, có thể nuôi cấy trên môi trường thạch, trên môi trường rán hay nuôi cấy chìm (trong môi trường lỏng).

Nuôi cấy trên môi trường thạch - Nuôi cấy nấm trên môi trường thạch thường được thực hiện trong phòng thí nghiệm để thu nhận một số lượng không lớn bào tử. Nấm được nuôi cấy trong hộp pêtri hoặc trong bình Roux. Thành phần môi trường và các điều kiện nuôi cấy tùy thuộc

**Bảng 2.13. Ảnh hưởng của các loại glucid đến sự tạo thành bào tử**

ở loài *Colletotrichum capsici* (theo V.I.Bilai, 1974)

(+++ : rất nhiều ; nhiều : ++ ; ít : +)

Glucid	Trọng lượng khô mg/25ml	Bào tử tạo thành	Glucid	Trọng lượng khô mg/25ml	Bào tử tạo thành
Maltose	102	+++	Lactose	60	+++
Xylose	91	+++	Sorbose	52	+++
Tinh bột	70	++	Arabinose	47	+
Dextrin	66	++	Fructose	46	++
Galactose	66	+++	Raffinose	42	+++
Glucose	64	++	Inulin	40	+
Rhamnose	64	++	Sorbit	23	+
Saccharose	62	+++	Mannit	16	+

vào từng loài. Đối với nhiều loài nấm tiếp hợp (nhiều loài thuộc chi *Mucor*, *Rhizopus*), nhiều loài nấm bất toàn (hầu hết các loài thuộc các chi *Aspergillus*, *Cladosporium*, *Fusarium*, *Paecilomyces*, *Penicillium*, v.v.), nấm có thể mọc tốt và cho nhiều bào tử với các môi trường thạch Czapek, thạch khoai tây, thạch khoai tây - dextrose, nuôi cấy ở nhiệt độ 25 - 28°C. Về ảnh hưởng của thành phần môi trường đến số lượng bào tử được tạo thành, có thể kể thí dụ loài *Aspergillus ochraceus* cùng nuôi cấy 6 ngày, ở nhiệt độ 28°C, độ ẩm tương đối 55 - 60%, trên môi trường Sabouraud-dextrose trong một bình Roux cho  $8 \cdot 10^9$  bào tử, trên cùng khối lượng môi trường thạch Disco W.L. trong một bình Roux cho  $1,2 \cdot 10^{11}$  bào tử (C.Vézina và Singh, 1975). Để thu nhận bào tử trên môi trường thạch, có thể dùng chổi sơn mềm dà tiệt trùng thu gom bào tử, cùng với dung dịch Tween 80 hoặc natrimonolauryl sulfat. Lọc dịch treo bào tử qua bông thủy tinh để loại các mảnh sợi nấm, sau đó có thể pha loãng dịch treo để có nồng độ bào tử theo ý muốn. Khi cần giữ bào tử để tiếp tục sử dụng, ly tâm dịch treo để được khôi bột nhão, bảo quản trong tủ đá.

Nuôi cấy trên môi trường rán - Để được số lượng bào tử nhiều hơn dùng trong nghiên cứu hay sản xuất thử, có thể nuôi cấy nấm trên môi trường rán (còn gọi là môi trường xốp). Nguyên liệu để làm môi trường này thường là cám và các hạt ngũ cốc như gạo, lúa mì, lúa mạch, ngô, v.v. Cho nguyên liệu vào bình, bổ sung một lượng nước vừa đủ và hấp tiệt trùng. Để môi trường được xốp hơn, nghĩa là có độ thông khí trong môi trường tốt hơn, tăng cường khả năng tạo thành bào tử ở cả trong khối môi trường trong bình, đặc biệt trong trường hợp không có các bình det lớn như bình Fernbach, bổ sung một lượng chaux với tỷ lệ thích hợp vào môi trường trước khi tiệt trùng. Ngoài ra, với một số loài nấm có

nhu cầu dinh dưỡng đặc biệt, có thể bổ sung vào môi trường các muối khoáng, glucose, pepton, cao men bia, v.v. Ở các phòng thí nghiệm cần thường xuyên một lượng bào tử nấm để nghiên cứu, người ta thường dùng bình Roux hoặc bình Fernbach (một loại bình dẹt có dung tích lớn gấp 5 - 50 lần bình Roux). Các bình này có mặt thoáng lớn, nấm tạo thành bào tử chủ yếu ở trên mặt thoáng của môi trường. Khó khăn chính trong phương pháp này là xác định lượng nước bổ sung vào nguyên liệu trong bình để có môi trường không quá rắn, quá nhão, đồng thời độ ẩm tương đối trong bình thích hợp với sự tạo thành bào tử của mỗi loài nấm, vì như chúng ta biết có loài nấm ưa ẩm nhiều, có loài ưa ẩm ít. Lượng nước này nhiều khi ảnh hưởng quyết định đến số lượng bào tử tạo thành (bảng 2.11). Để thu gom bào tử tạo thành trong bình, cho nước hoặc một dung dịch đậm (dung dịch đắng trưng) vào trong bình, lắc rồi lọc qua bông thủy tinh, loại hạt và các sợi nấm, để được dung dịch treo bào tử. Có thể đếm bào tử bằng thiết bị đếm hồng cầu, pha loãng dịch treo bào tử để được dịch treo có số lượng bào tử mong muốn. Về hiệu suất thu nhận bào tử nấm, thí dụ với loài *Aspergillus ochraceus*, nuôi cấy với 200g lúa mạch hoặc 100g cám trong bình Fernbach, ở nhiệt độ 28°C, độ ẩm tương đối 98%, sau 6 ngày nuôi cấy thu nhận được 6g bào tử (30% trọng lượng khô). Ngoài ra, một phương pháp nuôi cấy nấm đơn giản để thu nhận bào tử đã được thử nghiệm có kết quả đối với nhiều loài *Aspergillus* và *Penicillium* : nuôi cấy nấm trên các miếng bánh mì (Sansing và Ciegler, 1973), tất nhiên ở nhiệt độ, với hàm lượng nước của bánh mì và độ ẩm tương đối thích hợp đối với từng loài.

**Bảng 2.14. Ảnh hưởng của lượng nước cho vào nguyên liệu đến sự tạo thành bào tử nấm (theo J.Rivière, 1975)**

(+ : tạo thành bào tử yếu, - : không tạo thành bào tử)

Lượng nước ml/l bình	<i>Aspergillus</i> <i>ochraceus</i> NRRL 405	<i>Aspergillus niger</i> ATCC 9142	<i>Mucor</i> <i>griseocyanus</i> ATCC 1207A	<i>Penicillium</i> <i>chrysogenum</i> WIS 53.414
40	$10 \cdot 10^{11}$	+	-	-
60	$3.2 \cdot 10^{11}$	$2.1 \cdot 10^{11}$	-	$18 \cdot 10^{11}$
80	$3.8 \cdot 10^{11}$	$2.0 \cdot 10^{11}$	-	$2.0 \cdot 10^{11}$
100	$3.0 \cdot 10^{11}$	+	-	$10 \cdot 10^{11}$
120	+		$6.3 \cdot 10^{11}$	+
140	-		$4.5 \cdot 10^{11}$	-
160	-		-	-

Thí nghiệm được tiến hành trong bình Fernbach có dung tích 2,8 lít, với 200g hạt lúa mạch (tiệt trùng ở 121°C, 1h), nuôi cấy ở 28°C, 6 ngày với *Aspergillus ochraceus* và với 25°C, 14 ngày với các loài khác (RH 50 - 60%). Ở phạm vi công nghiệp, cần có một số lượng lớn bào tử, nấm được nuôi cấy trên môi trường cám trong các khay, các khay được đặt trên các giá ở trong một phòng kín vô trùng, có độ ẩm tương đối cao, được thông khí vô trùng. Để thu gom bào tử, trộn môi trường với nước, lắc mạnh ít phút, rồi cho vào nồi ly tâm có tốc độ quay nhỏ để tách bào tử khỏi sợi nấm và cám, lọc qua bông thủy tinh để được dịch treo bào tử. Mỗi khay có kích thước 762 x 457,2 x 44,5 mm cho  $7 \cdot 10^{12}$  bào tử của loài *Aspergillus ochraceus*.

Nuôi cấy trên môi trường lỏng (nuôi cấy chìm) - Khi cần nghiên cứu các yếu tố ảnh hưởng đến quá trình tạo thành và số lượng bào tử, phương pháp nuôi cấy nấm trên môi trường lỏng có nhiều thuận lợi, vì với phương pháp này, các quá trình trao đổi chất và nhiều quá trình sinh học khác của cơ thể nấm thực hiện mạnh hơn. Với phương pháp này, người ta đã xác định được những thành phần môi trường ảnh hưởng đến số lượng bào tử của nhiều loài nấm (bảng 2.15).

Các môi trường có các thành phần dinh dưỡng khác nhau đã được sử dụng để thu nhận bào tử của một số loài nấm thuộc các ngành phụ Nấm tiếp hợp và Nấm bất toàn :

*Môi trường A* : Cao lúa mạch (Difco Lab. Inc.) 100g

Nước cất 1 lit

(pH 4,7)

*Môi trường B* : Nước ngô 5g

Ri đường 50g

Cereloza (glucose monohydrat) 25g

Natri clorua 25g

Nước cất 1 lit

(pH 6,0)

*Môi trường C* : Glucose 30g

NaNO<sub>3</sub> 3g

K<sub>2</sub>HPO<sub>4</sub> 1g

MgSO<sub>4</sub> · 7H<sub>2</sub>O 0,5g

KCl 0,5g

Nguyên tố vi lượng (B 10  $\mu\text{g}$ , Cu 100  $\mu\text{g}$ ,  
Fe 200  $\mu\text{g}$ , Mn 20 $\mu\text{g}$ , Mo 20 $\mu\text{g}$ , Zn 2000 $\mu\text{g}$ )  
Nước cất 1 lit  
(pH 5,5)

Môi trường D : Môi trường C với glucose được thay bằng saccharose

Môi trường E : Nước ngọt 10g

Saccharose 30g

NaNO<sub>3</sub> 3g

K<sub>2</sub>HPO<sub>4</sub> 1g

MgSO<sub>4</sub> · 7H<sub>2</sub>O 0,5g

KCl 0,5g

FeSO<sub>4</sub> · 7H<sub>2</sub>O 0,01g

Nước cất 1 lit

(pH 6,0)

Môi trường F : Nước ngọt 10g

Edamin 10g

Cao lúa mạch 15g

Nước cất 1 lit

(pH 7,0)

Môi trường G : Glucose 10g

NaNO<sub>3</sub> 1g KCl 0,5g

KH<sub>2</sub>PO<sub>4</sub> 1g

CaCl<sub>2</sub> 1g

MgSO<sub>4</sub> · 7H<sub>2</sub>O 0,5g

Nguyên tố vi lượng (5 lần nồng độ môi trường C)

Nước ngọt 10g

Nước cất 1 lit

(pH 4,0)

**Bảng 2.15. Số lượng bào tử tạo thành của một số loài nấm ở các môi trường khác nhau với phương pháp nuôi cấy chìm**  
 (theo C. Vezina và K. Singh, 1975)

Số thứ tự loài	Nấm	Môi trường nuôi cấy (1 ml)	Số lượng bào tử (sau 5 ngày)
	<b>Nấm tiếp hợp</b>		
1	<i>Conidiobolus</i> sp.	A	$6.5 \cdot 10^7$
2	<i>Cunninghamella blakesleiana</i> Lendl.	A	$17 \cdot 10^8$
3	<i>Mucor griseo-cyanus</i> Wagem.	A	rất ít
	<b>Nấm bết厚厚</b>		
4	<i>Aspergillus fonscăeus</i> Thom et Rap.	B	$< 1.5 \cdot 10^7$
5	<i>Aspergillus ochraceus</i> Wilhelm	B	$2.0 \cdot 10^8$
6	<i>Coniothyrium</i> sp.	C	$3.0 \cdot 10^7$
7	<i>Curvularia lunata</i> (Walker) Boedijn	B	$< 1.0 \cdot 10^7$
8	<i>Curvularia pallescens</i> Boedijn	C	0
9	<i>Fusarium conglomerans</i> (?)	B	0
		E	$9.0 \cdot 10^7$
		C	$3.5 \cdot 10^8$
10	<i>F. decemcellulare</i> Brick	D	$1.6 \cdot 10^7$
11	<i>F. equisetii</i> (Cda.) Sacc.	D	$6.4 \cdot 10^7$
12	<i>F. graminarum</i> Schwabe	D	$1.6 \cdot 10^8$
13	<i>F. merismoides</i> Cda.	D	$1.2 \cdot 10^8$
		C	$2.3 \cdot 10^8$
14	<i>F. moniliforme</i> Sheldon	D	$1.7 \cdot 10^8$
15	<i>F. oxysporum</i> Schlech.	D	$2.5 \cdot 10^8$
16	<i>Pestalotiopsis funerea</i> Desmazière	C	$1.0 \cdot 10^7$
17	<i>Septomyxa affinis</i> (Sherb.) Wollenw.	B	$1.8 \cdot 10^8$
		C	$5.4 \cdot 10^8$
		E	$9.8 \cdot 10^8$
		F	$2.1 \cdot 10^9$
18	<i>Stachyliodium thicbromae</i> Turconi	B	$2.4 \cdot 10^8$
		C	$3.0 \cdot 10^8$
		E	$3.4 \cdot 10^8$
		G	$8.0 \cdot 10^8$
19	<i>Trichoderma viride</i> Pers. ex Fr.	C	$5.0 \cdot 10^7$
20	<i>Trichothecium roseum</i> Link ex Fr.	B	$2.0 \cdot 10^7$

Chúng ta thấy chẳng hạn loài *Curvularia lunata* nuôi cấy trong môi trường C, ngoài glucose, có một loạt các muối vô cơ ( $\text{NaNO}_3$ ,  $\text{K}_2\text{HPO}_4$ ,  $\text{MgSO}_4$ ,  $\text{KCl}$ ), một loạt các nguyên tố vi lượng (B, Cu, Fe, Mn, Mo, Zn), không tạo thành bào tử. Cùng loài nấm này được nuôi cấy ở môi trường B có nước ngọt, rỉ đường, glucose monohydrat và muối vô cơ chỉ có NaCl với hàm lượng khá cao (25 g/lit) lại tạo thành  $1.0 \cdot 10^7/1$  ml bào tử. Trường hợp *Aspergilus ochraceus* cũng như vậy, nếu môi trường nuôi cấy thiếu

NaCl và vài muối vô cơ khác, loài nấm này cũng không tạo thành bào tử. *Aspergillus niger* chỉ tạo thành bào tử nếu nguồn nitơ trong môi trường nuôi cấy là nitrat, còn nitơ ammonium lại ức chế sự sinh sản vô tính này.

Như đã nói, để tiến hành biến đổi sinh học bằng các loài nấm có hoạt tính sinh học này, hiện nay chủ yếu người ta dùng bào tử vô tính. Để thí dụ, có thể lấy thí nghiệm sau của Copek và Cs. (1974) : nuôi cấy nấm (một số loài của các chi *Alternaria*, *Cladosporium*, *Stemphylium* trong môi trường nuôi cấy ở nhiệt độ 28°C, 48h, lắc 80 vòng/(biên độ 8cm), lọc để loại bỏ nấm, dịch treo bào tử và progesteron hòa tan trong rượu ethylic (1mg/0,2ml) được cho vào một dung dịch sinh lý. Lên men 48h trong cùng điều kiện như nuôi cấy nấm.

Khi cất giữ bào tử nấm để dùng lâu dài, thường xuyên, cần chú ý là hoạt tính sinh học của bào tử mỗi loài nấm bền vững không giống nhau, thí dụ cùng giữ ở dạng bột nhão đông lạnh (-20°C), hoạt tính biến đổi sinh học của loài *Aspergillus ochraceus* bền vững đến 2 năm, trong khi đó hoạt tính của loài *Septomyxa affinis* chỉ bền vững ở giới hạn 2 tháng.

Cũng cần thực hiện vô trùng nghiêm ngặt khi nuôi cấy thu nhận bào tử dù bằng phương pháp nào, vì nấm bị nhiễm khi nuôi cấy, không còn riêng loại bào tử của loài nấm sử dụng mà lẫn bào tử của các loài khác, đương nhiên sẽ làm sai lạc kết quả biến đổi sinh học mong muốn. Cuối cùng cũng cần chú ý tìm hiểu khả năng gây bệnh, khả năng sinh độc tố nấm (mycotoxin) của mỗi loài nấm trước khi nuôi cấy, lên men, để phòng tránh bệnh. Chúng ta cần biết một số loài nấm có khả năng tạo thành các mycotoxin gây một số bệnh nguy hiểm như ung thư, v.v. nếu để các mycotoxin này lọt vào đường tiêu hóa thường xuyên với một lượng nhỏ (tính bằng µg cho 1 kg cơ thể), chẳng hạn các loài *Aspergillus flavus*, *A.parasiticus* tạo thành aflatoxin, *Penicillium islandicum* tạo thành islandotoxin, luteoskyrin, v.v. Các mycotoxin này có ở sợi nấm, bào tử và trong dịch nuôi cấy nấm của các loài có khả năng tạo thành các độc tố đó.

## 2.2. Phương pháp lên men biến đổi sinh học

Nếu tác nhân biến đổi là vi khuẩn, môi trường lên men cũng thường là môi trường nuôi cấy vi khuẩn, và thường được lên men chìm. Với nấm và với cả xa khuẩn, thường dùng bào tử và có thể lên men bằng các phương pháp lên men chìm (lên men ở môi trường lỏng), hoặc lên men bề mặt (trên môi trường rắn). Cần chú ý để kết quả biến đổi sinh học

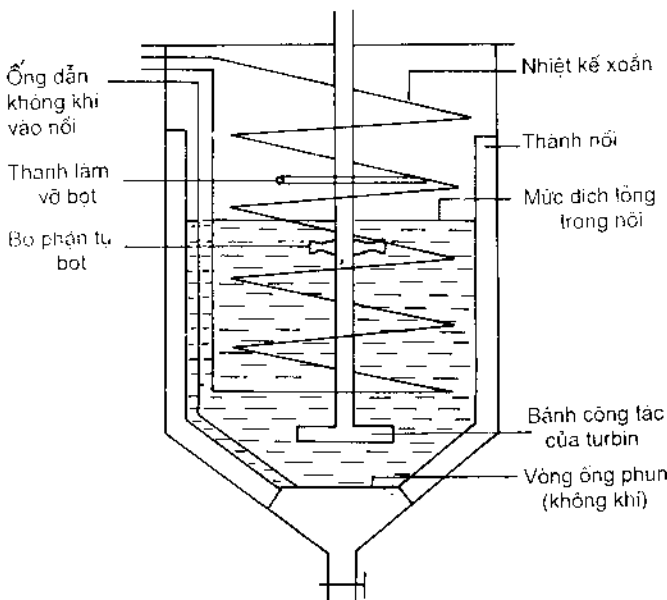
được chính xác, thường người ta rửa bào tử bằng nước hoặc bằng dung dịch đậm (phosphat, citrat hoặc acetat) để làm sạch môi trường nuôi cấy nấm, vừa để sạch tạp chất khi đưa bào tử vào lên men, vừa tránh bào tử này sợi.

### *Phương pháp lên men chìm*

Biến đổi sinh học bằng phương pháp lên men chìm trong phòng thí nghiệm để nghiên cứu hay sản xuất thử, thường được tiến hành trong các bình nón trên máy lắc. Môi trường được lắc để vừa bảo đảm độ thông khí của môi trường, vừa tăng cường sự tiếp xúc của các hạt nhỏ của cơ chất (như các hợp chất steroid) với bào tử nấm. Trong trường hợp các nguyên liệu này không tan trong nước, thường ở dưới dạng hạt có kích thước 3 - 5  $\mu\text{m}$  (phân tán bởi Tween 80). Số lượng bào tử nấm sử dụng ở trong khoảng  $1.10^8$  -  $1.10^9$  trong 1 ml môi trường. Hàm lượng steroid trong môi trường thay đổi theo hoạt tính biến đổi sinh học của bào tử đối với mỗi phản ứng biến đổi, thí dụ hàm lượng này là 5g/lit đối với trường hợp  $\Delta$ -1-dehydro hóa (khử hydro) từ hợp chất S của Reichstein ( $17\alpha$ -hydroxy-11-deoxycorticosteron) A. D.Argoudelis và Cs. (1969, 1977, v.v.) thường dùng hàm lượng clindamycin là 50 mg trong 1 lit môi trường trong lên men biến đổi sinh học chất kháng sinh này. Môi trường lên men biến đổi sinh học bằng bào tử thường là nước hoặc một dung dịch đậm, và không bổ sung nguồn đậm để tránh bào tử này sợi. Tuy nhiên trong một số trường hợp lên men biến đổi sinh học, glucose có vai trò kích thích phản ứng, thí dụ phản ứng hydroxy hóa steroid bởi các loài *Aspergillus ochraceus* và *Mucor griseocyanus* cần có hàm lượng glucoza trong môi trường là 2 - 4g/lit. Về nguyên tắc khi lên men với bào tử nấm, không cần tiến hành trong điều kiện vô trùng. Trong trường hợp lên men kéo dài, có thể bổ sung vào môi trường một số chất kháng sinh như tetracyclin, neomycin để phòng môi trường bị nhiễm vi khuẩn. Bổ sung kháng sinh vào môi trường cũng cần thiết ở trường hợp lên men trong các nồi lên men lớn không có thiết bị thanh trùng không khí đưa vào nồi. Khác với lên men sinh tổng hợp, nhiệt độ và pH trong lên men biến đổi sinh học có giới hạn rộng. pH có giới hạn từ 4,0 đến 8,5, nhưng thường lên men ở pH 5 - 6 để hạn chế sự nhiễm khuẩn cho môi trường. Nhiệt độ lên men thường là 25 - 30°C. Nếu lên men trong bình, bình thường được lắc 200 - 300 vòng/min ở máy lắc tròn hoặc 100 - 200 vòng/min ở máy lắc ngang. Tỷ lệ dịch lên men với dung tích bình lên

men thường là 2/10. Một điều nữa cần chú ý khi lên men chìm là không hòa tan cơ chất là steroid trong nước, cần hòa tan cơ chất này trong các dung môi tan trong nước như aceton, ethanol, methanol, propylenglycol, v.v., để khi hòa vào nước, cơ chất sẽ thành những tiểu phần nhỏ.

Để lên men biến đổi sinh học với khối lượng lớn, người ta dùng các nồi lên men chuyên dùng. Các nồi này có cấu tạo đơn giản hơn loại nồi lên men sinh tổng hợp, vì không cần có các thiết bị giữ cho nồi lên men vô trùng (hình 2.5).



Hình 2.5. Sơ đồ kiểu nồi lên men biến đổi sinh học (Theo Vézina và Singh, 1975)

#### *Phương pháp lên men trên môi trường rắn*

Để nghiên cứu hoạt tính biến đổi sinh học, với mỗi bình môi trường lỏng, chỉ có thể xác định hoạt tính của một hợp chất steroid bởi một chủng vi sinh vật. Với môi trường thạch, có thể tiến hành xác định hoạt tính của một hợp chất steroid bởi nhiều chủng thuộc nhiều loài vi sinh vật đồng thời. Người ta trộn đều vào môi trường thạch đã tiệt trùng cơ chất (thí dụ một steroid) rồi đổ môi trường vào các hộp pêtri. Cấy mỗi chủng nấm ở một điểm trên môi trường thạch. Thuốc thử tạo thành một vòng màu xung quanh khuẩn lạc của chủng có hoạt tính biến đổi sinh học đối với cơ chất (Vézina và Cs., 1969).

Một phương pháp khác phát hiện nhanh hoạt tính biến đổi sinh học của nấm được thực hiện như sau : trên bản mỏng sác ký bằng silicagel G, cách đáy bản mỏng 0,5 cm, rót 1  $\mu$ l dung dịch hòa tan 30  $\mu$ g một cơ chất biến đổi, phủ lên trên vết cơ chất dịch treo bào tử của một chủng nấm ( $2.10^4$  bào tử/1 vết) ; làm đổi chứng vết cơ chất và vết bào tử riêng biệt ; đặt bản mỏng sác ký trong điều kiện nhiệt độ, độ ẩm thích hợp ; dùng các dung môi khác nhau để khai triển bản mỏng sác ký, sấy khô và phun thuốc thử đặc trưng đối với các sản phẩm biến đổi (Hafer-Zedan và Plourde, 1971).

Ngoài ra phương pháp dùng cột trao đổi ion hay cột gel polyacrylamid cũng đã được dùng để nghiên cứu hoạt tính biến đổi sinh học của một số hợp chất như oxy hóa acid octanoic bởi bào tử của loài *Penicillium roqueforti* (Johnson và Ciegler, 1969), một số hợp chất steroid như phản ứng hydroxy hóa ở vị trí  $-11\beta$  bởi *Curvularia lunata* (Mosbach và Larsson, 1970). Về các phản ứng màu và huỳnh quang dùng để xác định một số sản phẩm biến đổi sinh học, xem ở đoạn sau.

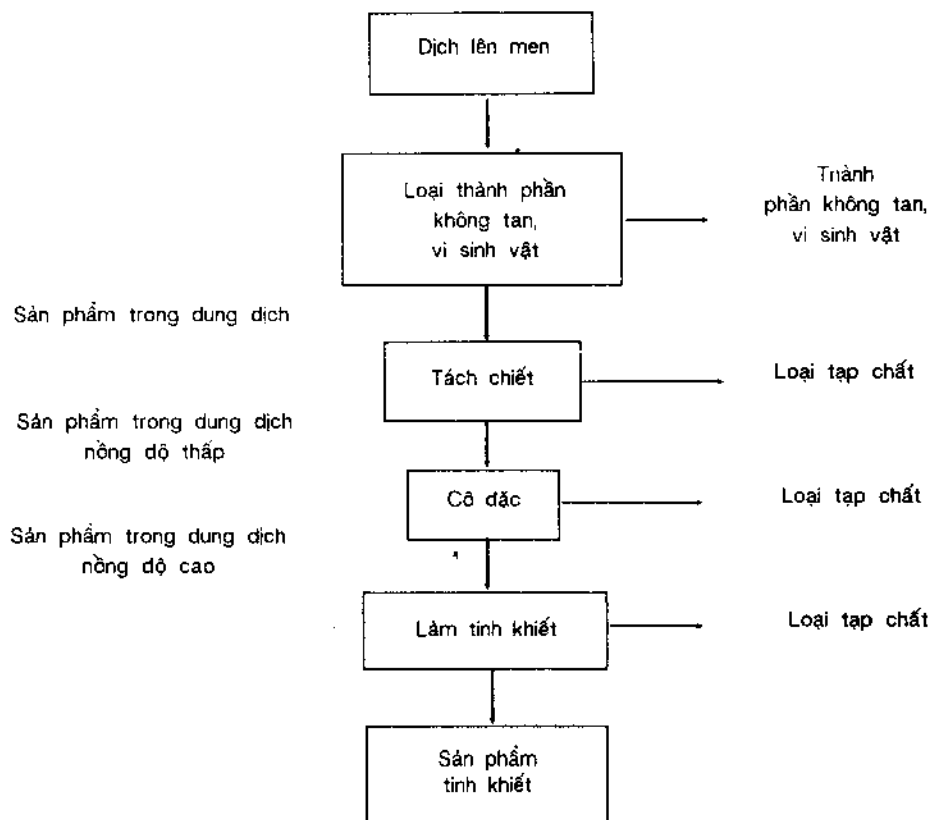
### 2.3. Các phương pháp tách chiết và xác định các sản phẩm biến đổi sinh học

Các sản phẩm biến đổi sinh học có nhiều loại (hydrat cacbon, kháng sinh, steroid, v.v.) và trong từng loại, lại có nhiều hợp chất có cấu trúc hóa học khác nhau, do đó, các phương pháp tách chiết và xác định các sản phẩm này không giống nhau. Trong phạm vi chương này, chúng tôi chỉ trình bày các nguyên tắc chung, và chỉ chọn vài trường hợp để làm thí dụ.

Như đã nói, dịch lên men biến đổi sinh học có thể đồng thời là dịch nuôi cấy, có thể là dịch treo bào tử trong nước hoặc một dung dịch đậm. Ở trường hợp thứ nhất, sau khi lên men kết thúc, dịch lên men ngoài sản phẩm biến đổi và phần nguyên liệu biến đổi cơ chất còn lại, còn một loạt hợp chất vô cơ, hữu cơ của các thành phần dinh dưỡng của dịch nuôi cấy mà vi sinh vật không sử dụng hết, và cả các sản phẩm trao đổi chất của vi sinh vật tạo thành trong quá trình nuôi cấy và lên men. Ở trường hợp thứ hai, dịch lên men khi đó có ít thành phần hơn, chủ yếu chỉ có sản phẩm biến đổi tạo thành, nguyên liệu biến đổi còn lại, và bào tử vi sinh vật (nấm hoặc xạ khuẩn).

Việc tách chiết sản phẩm biến đổi ở trường hợp thứ nhất đương nhiên phức tạp hơn ở trường hợp thứ hai, và phải qua nhiều giai đoạn hơn. Nói chung, việc tách chiết sản phẩm lên men phải qua những giai đoạn sau : loại những thành phần không tan bao gồm cả vi sinh vật,

tách chiết sản phẩm, cô đặc sản phẩm, làm tinh khiết sản phẩm (hình 2.6).



Hình 2.6. Sơ đồ các giai đoạn tách chiết sản phẩm lên men biến đổi sinh học

Với trường hợp lên men bằng bào tử, các giai đoạn chiết xuất và cô đặc thường được gộp làm một. Quy trình chiết xuất trên chỉ áp dụng đối với các sản phẩm biến đổi tan trong nước. Đối với các sản phẩm không tan trong nước, như trường hợp một số hợp chất steroid, sản phẩm cùng với bào tử nấm được tách riêng từ dịch lên men bằng ly tâm hay lọc, sau đó dùng dung môi để tách chiết steroid. Nếu sản phẩm ít tan trong nước, nghĩa là vừa ở dạng hòa tan, vừa ở dạng treo trong dịch lên men, hoặc trong trường hợp nghiên cứu các sản phẩm mới, cần phải tách chiết sản phẩm cả từ dịch lọc, cả từ cặn lọc.

Khi tiến hành tách chiết sản phẩm biến đổi sinh học, đặc biệt đối với steroid, điều cần chú ý đầu tiên là cần tiến hành tách chiết ngay sau khi lên men kết thúc, để tránh tác dụng của các enzym khác nhau của

vi sinh vật lên sản phẩm, nhai là phản ứng cát mạch ngang của phân tử sản phẩm. Thông thường để làm việc này, chỉ cần tách sản phẩm với vi sinh vật (tế bào vi khuẩn, sợi nấm, bào tử nấm hoặc xạ khuẩn). Trường hợp các phản ứng biến đổi sinh học xảy ra nhanh, người ta đun dịch lọc ở nhiệt độ 60 - 80°C tùy từng loại vi sinh vật, hoặc bổ sung ngay vào dịch lên men một lượng acid hay một dung môi vô cơ. Thí dụ, phản ứng oxy hóa cortison thành prednison kết thúc sau 4 - 5h lên men biến đổi sinh học, nếu kéo dài thời gian lên men, sản phẩm sẽ biến đổi thành các dẫn chất  $20\beta$ -hydroxy. Để tránh hiện tượng này, người ta bổ sung vào dịch lên men acid chlorhydric đến pH 3,0 - 3,5 khi lên men kết thúc. Trong trường hợp sản phẩm không bị phân hủy ở nhiệt độ thấp, có thể để dịch lên men khi lên men kết thúc ở nhiệt độ 2 - 5°C. Ở nhiệt độ này, các enzym vi sinh vật trên thực tế không còn hoạt động được.

Trường hợp tách chiết sản phẩm biến đổi sinh học thuận lợi nhất khi sản phẩm hòa tan nhiều trong nước (thường sản phẩm có tính phân cực mạnh hơn cơ chất), đồng thời phản ứng biến đổi chỉ tạo thành một sản phẩm, có thể lên men biến đổi sinh học với nồng độ cao của cơ chất, và việc tách chiết sản phẩm lại đơn giản, thường chỉ cần loại bỏ vi sinh vật và tạp chất không tan bằng phương pháp lọc. Thí dụ, có thể biến đổi progesteron thành  $11\alpha$ -hydroxy-progesteron bằng bào tử *Aspergillus ochraceus*, với nồng độ 20 - 50g cơ chất trong 1 lit, và hiệu xuất biến đổi tới 90%, mà chỉ cần lọc lấy dung dịch sản phẩm (Weaver và Cs., 1960).

Để loại tạp chất khỏi dịch lên men khi lên men kết thúc, ngoài phương pháp lọc, có thể dùng các phương pháp khác nhau tùy trường hợp, như ly tâm, gây vón tế bào vi sinh vật, v.v. Để chiết xuất sản phẩm từ dịch lên men đã loại tạp chất không tan, có thể dùng các phương pháp chiết xuất thông thường như dùng dung môi, hấp phụ, kết tinh, v.v. Để tách chiết phân biệt một steroid khỏi một dung dịch lên men biến đổi sinh học chứa nhiều steroid, có thể dùng dung môi có độ phân cực tăng dần, hoặc dùng một hệ dung môi, thí dụ để tách chiết phân biệt cortexelon với cortisol và epicortisol, hệ dung môi  $\text{CCl}_4$  -  $\text{CHCl}_3$  cho kết quả tốt (Mizsei và Szabo, 1961). Phương pháp kết tinh phân đoạn cũng đã được dùng trong trường hợp này, căn cứ vào độ phân cực và khả năng kết tinh của các hợp chất. Bằng phương pháp này, người ta tách các hợp chất như  $11\alpha$ -hydroxy progesterom và  $6\beta$ - $11\alpha$ -dihydroprogesteron (hợp chất sau được tách bằng kết tinh trong methanol), các hợp chất  $6\beta$ -hydroxy- $17\alpha$ -methytestosteron và  $11\alpha$ -hydroxy- $17\alpha$ -methytestosteron (hợp chất thứ nhất được tách bằng kết tinh trong benzen), các hợp chất

prednison và dẫn chất  $20\beta$ -hydroxy của steroid này bằng cloroform. Trong nghiên cứu biến đổi sinh học, hiện nay người ta còn dùng một số phương pháp tách chiết khác như sác ký bản mỏng, sác ký cột, cột trao đổi ion, phương pháp hóa học (như este hóa, xà phòng hóa, v.v.), sác ký khí, sác ký lỏng cao áp, v.v.

Xác định hóa học các sản phẩm biến đổi sinh học thường được tiến hành ở hai thời kỳ : thời kỳ lên men và khi đã thu được sản phẩm tinh khiết.

Sự tạo thành sản phẩm biến đổi sinh học trong quá trình lên men thường được theo dõi thường xuyên bằng các phản ứng màu, màu huỳnh quang trong UV trên sác ký đồ của sác ký bản mỏng, sác ký giấy, so sánh với các mẫu hợp chất chuẩn. Với các chất kháng sinh, việc theo dõi này có thể thực hiện bằng sự kiểm tra hoạt tính kháng sinh trên sác ký bản mỏng đã khai triển và được cấy vi sinh vật chỉ thị. Các phản ứng màu và màu huỳnh quang thường chỉ cho biến sự biến đổi của các nhóm hóa học, ít khi có thể dùng để theo dõi sự hình thành toàn bộ sản phẩm (bảng 2.16).

**Bảng 2.16. Một số thí dụ về phản ứng màu dùng để theo dõi sự tạo thành sản phẩm trong biến đổi sinh học các steroid**

Thuốc thử	Steroid hoặc nhóm hóa học	Màu tạo thành
$\text{SO}_4\text{H}_2$ đặc	Cortexolone Cortisol Cortison Testosteron	Xanh đậm Vàng đậm $\rightarrow$ nâu Vàng đậm $\rightarrow$ lục Xanh
$\text{SO}_4\text{H}_2 + \text{CH}_3\text{COOH}$ $\text{AgNO}_3$ trong $\text{NH}_4\text{OH}$ (phản ứng Tollen) m-dinitrobenzen/môi trường kiềm (phản ứng Zimmermann)	$\alpha$ -diol 3-ceto 20-ceto 16ceto + 20ceto $\Delta^4$ -3-ceto $\Delta^{1,4}$ -3-ceto	Nâu tối Xanh tím (không bền) Hồng tím (không bền) Nâu da cam Vàng $\rightarrow$ nâu Vàng
Dung dịch $\text{FeCl}_3$ 1% + $\text{K}_3\text{Fe}(\text{CN})_6$ 1% (phản ứng xanh Turnbull) Phenyl hydrazin/dung dịch kiềm m-dinitrobenzen Diphenylamin/dung dịch $\text{CH}_3\text{COOH} + \text{SO}_4\text{H}_2$ (phản ứng Dische)	Phenolic 17 $\alpha$ -hydroxy 17-ceto 11,20-diceto-20-01 11,17,21-triol-20-on	Xanh Huỳnh quang vàng (abs.max.410 nm)* Huỳnh quang tím (abs.max.520 nm) Huỳnh quang lục (abs max. 630-650 nm)

abs.max : Độ hấp thụ cực đại (absorption maximum)

Khi đã thu được các sản phẩm biến đổi sinh học tinh khiết, cũng như các sản phẩm lên men khác hoặc các sản phẩm có nguồn gốc tự nhiên hay tổng hợp hóa học, các sản phẩm này cần được xác định bằng các phương pháp vật lý, hóa học, để khẳng định hợp chất lên men và tách chiết được từ lên men biến đổi sinh học đã thực hiện, và nếu là sản phẩm mới, biết được cấu trúc hóa học của sản phẩm đó. Các phương pháp hóa học, vật lý thường dùng hiện nay là các phương pháp xác định điểm nóng chảy, độ quay cực, các phổ tử ngoại, cộng hưởng từ hạt nhân, cộng hưởng từ điện tử, khối phổ, phân tích nguyên tố, xác định cấu trúc tinh thể, các phản ứng hóa học, v.v.

### 3. CƠ CHẤT BIẾN ĐỔI SINH HỌC

Như chúng ta đã biết, từ những năm 1930 - 1940, đặc biệt từ năm 1949 sau khi biết được tác dụng điều trị của cortison và các hợp chất corticoid khác, nhiều hợp chất hữu cơ khác nhau đã được dùng làm cơ chất biến đổi sinh học, để tạo ra các sản phẩm có hoạt tính sinh học, tác dụng điều trị bệnh, v.v. cao hơn, thí dụ như chất kháng sinh l'-demethylclindamycin có tác dụng kháng khuẩn mạnh gấp 8 lần lincomycin do lên men biến đổi sinh học clindamycin bằng xạ khuẩn *Streptomyces punipalus*, hoặc nhiều sản phẩm mới từ các hợp chất steroid, v.v. Một số phản ứng biến đổi sinh học còn giúp sử dụng các nguồn nguyên liệu tự nhiên, rẻ tiền, tạo thành các sản phẩm có giá trị kinh tế, giá trị phòng chống bệnh, như sử dụng các steroid chiết xuất từ thực vật như diosgenin, solasodin, v.v. Lên men biến đổi sinh học cũng đã được dùng để tạo ra các qui trình, công nghệ sản xuất mới có hiệu quả kinh tế cao, rút ngắn thời gian, nâng cao hiệu xuất, như sản xuất một số hormon sinh dục, sản xuất vitamin C, một số thuốc kháng sinh, sản xuất glucose, v.v. Ngoài ra, các phản ứng biến đổi sinh học trên, một số chất còn được sử dụng để nghiên cứu cơ chế sinh tổng hợp, được dùng trong hóa phân loại một số nhóm phân loại vi sinh vật.

Nhiều hợp chất hữu cơ đã được nghiên cứu và trở thành cơ chất của lên men biến đổi sinh học.

#### 3.1. Cơ chất kháng sinh và biến đổi sinh học một số hợp chất

Penicillin là thuốc kháng sinh đầu tiên được sử dụng để điều trị một số bệnh nhiễm trùng, được coi là mở đầu cho một giai đoạn y học (giai đoạn sử dụng kháng sinh), từ những năm đầu của thập kỷ 40, sản xuất bởi sinh tổng hợp chủ yếu với *Penicillium chrysogenum*. Việc dùng kháng sinh này rộng rãi tiếp sau đó đã tạo ra hiện tượng kháng penicillin của

vì khuẩn ngày càng tăng, do đó người ta đã nghiên cứu biến đổi một phần cấu trúc phân tử hợp chất này bằng hóa học hoặc bằng biến đổi sinh học, để thu nhận được những thuốc kháng sinh mới có tác dụng điều trị như penicillin, nhưng khắc phục được hiện tượng kháng thuốc của vi khuẩn. Một phương pháp sản xuất kháng sinh mới loại này, như ampicillin, là dùng acid 6-aminopenicillanic (6-APA) làm nguyên liệu. Nguyên liệu này được sản xuất hoặc bằng phương pháp sinh tổng hợp, hoặc bằng phương pháp biến đổi sinh học penicillin. Penicillin V chẳng hạn đã biến đổi thành 6-APA bằng bào tử của các loài nấm *Fusarium conglomerans* và *F.moniliforme*, với hiệu suất 80% (thời gian lên men 48h, nồng độ bào tử  $5 \cdot 10^8$ /ml, dung dịch đậm photphat 1%, pH 7,8) (Singh và Cs., 1967).

Với những mục tiêu khác nhau (tạo ra chất kháng sinh mới có hiệu lực điều trị cao hơn cơ chất, nghiên cứu cơ chế sinh tổng hợp một kháng sinh, v.v.), ngoài penicillin, nhiều chất kháng sinh khác đã được dùng làm cơ chất trong lên men biến đổi sinh học, dưới đây là tóm tắt một số thí dụ :

(1) Cơ chất : Chloramphenicol (hình 2.7)

Tác nhân biến đổi sinh học (TNBDSH) :

Dịch nuôi cấy *Streptomyces coelicolor*

Sản phẩm biến đổi sinh học (SPBDSH) :

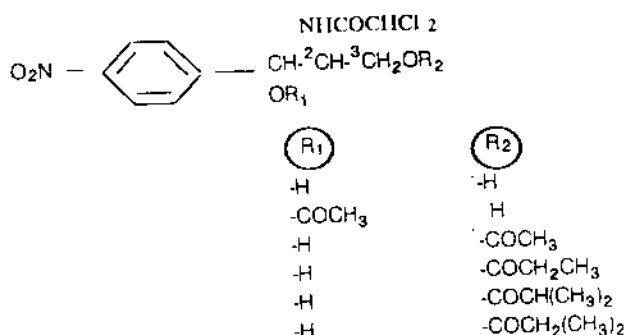
Chloramphenicol acetat

Chloramphenicol propionat

Chloramphenicol butyrat

Lên men biến đổi sinh học (LMBDSH) : môi trường nhiều thành phần, thời gian 24h

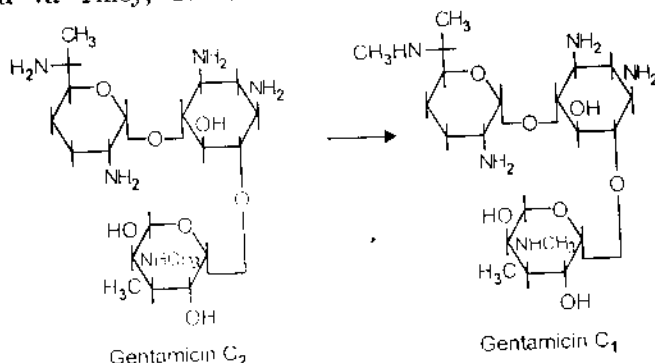
Chú thích : sản phẩm mất hoạt tính kháng sinh invitro. (Coats Argourelis, 1971).



Hình 2.7. Biến đổi sinh học chloramphenicol

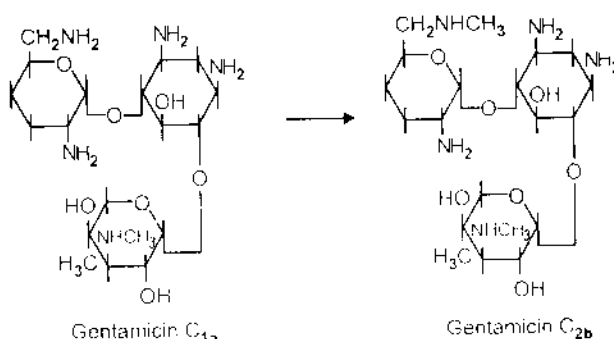
- (2) Cơ chất : Gentamicin C<sub>2</sub> (hình 2.8)
- TNBDSH : Dịch nuôi cây của chủng đột biến của *Micromonospora purpurea* (chủng không tạo thành gentamicin).
- SPBDSH : Gentamicin C<sub>1</sub> (6-N-methyl của gentamicin C<sub>2</sub>)
- LMBDSH : Môi trường (g/lit) : bột đậu nành 35, dextrose 5, dextrin 50, calci carbonat 7, cobalt chlorur, 7H<sub>2</sub>O - 0,00024. Nhiệt độ 28°C. Thời gian 6 - 7 ngày. Lắc tròn 300 vòng/min.

(Testa và Tilley, 1974).



Hình 2.8. Biến đổi sinh học gentamicin C<sub>2</sub>

- (3) Cơ chất : Gentamicin C<sub>1a</sub> (hình 2.9)
- TNBDSH : Dịch nuôi cây của chủng đột biến của *Micromonospora purpurea* (chủng không tạo thành gentamicin).
- SPBDSH : Gentamicin C<sub>2b</sub> (6'-N-methyl của gentamicin C<sub>1a</sub>)
- LMBDSH : Xem ở thí dụ (2)
- (Testa và Tilley, 1976).



Hình 2.9. Biến đổi sinh học gentamicin C<sub>1a</sub>

(4) Cơ chất : Kháng sinh JI.20A (hình 2.10)

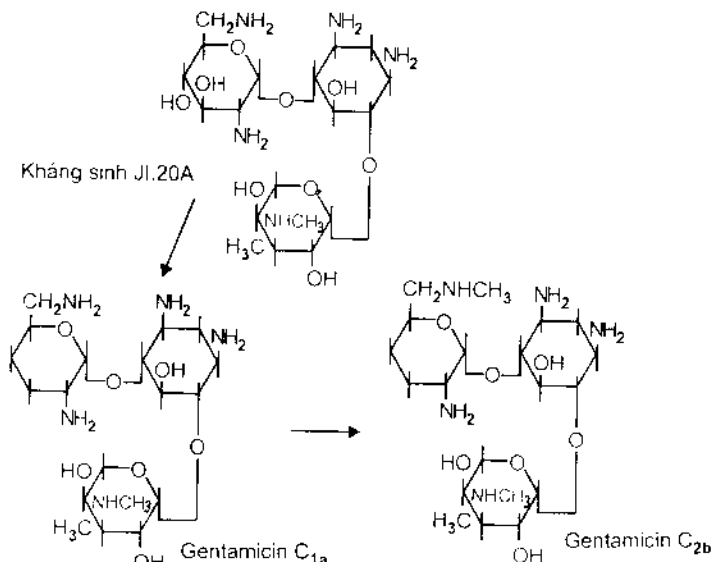
TNBDSH : Dịch nuôi cấy của chủng đột biến của *Micromonospora purpurea* (chủng không tạo thành gentamicin).

SPBDSH : Gentamicin C<sub>1a</sub> (dẫn chất dehydroxy hóa của cơ chất)

Gentamicin C<sub>2b</sub> (dẫn chất dehydroxy hóa và N-methyl hóa của cơ chất, dẫn chất N-methyl hóa của Gentamicin C<sub>1a</sub>)

LMBDSH : xem ở thí dụ (2)

(Testa và Tilley, 1976).



Hình 2.10. Biến đổi sinh học kháng sinh JI.20A và Gentamicin C<sub>1a</sub>

(5) Cơ chất : Kháng sinh JI.20B (hình 2.11)

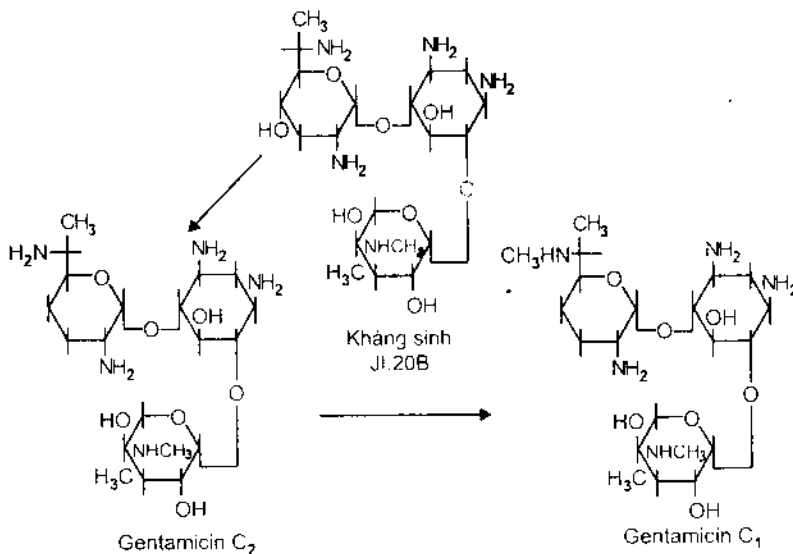
TNBDSH : Dịch nuôi cấy của chủng đột biến của *Micromonospora purpurea* (chủng không tạo thành gentamicin)

SPBDSH : Gentamicin C<sub>2</sub> (dẫn chất dehydroxy hóa của cơ chất)

Gentamycin C<sub>1</sub> (dẫn chất dehydroxy hóa và N-methyl hóa của cơ chất, dẫn chất N-methyl hóa của Gentamycin C<sub>2</sub>)

LMBDSH : xem ở thí dụ (2)

(Testa và Tilley, 1976).



Hình 2.11. Biến đổi sinh học kháng sinh JI.20B và Gentamicin C<sub>2</sub>

(6) Cơ chất : Kháng sinh G.418 (hình 2.12)

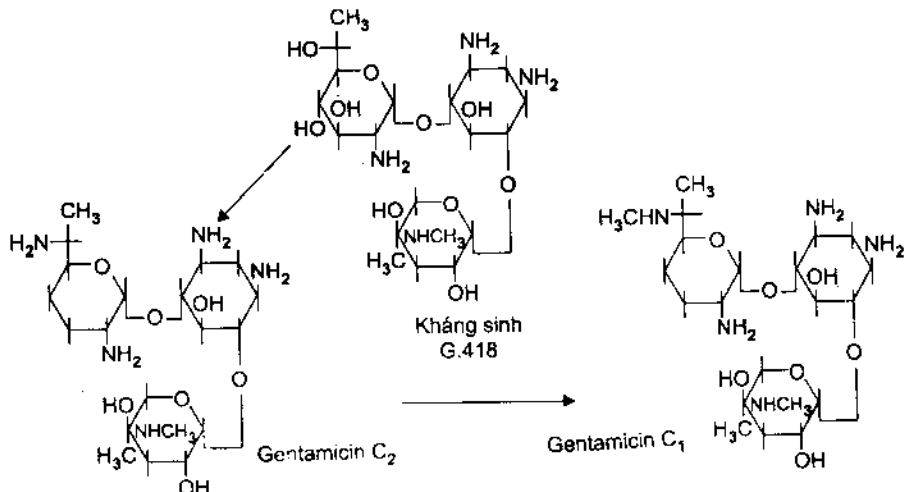
TNBDSH : Dịch nuôi cấy của chủng đột biến của *Micromonospora purpurea* (chủng không tạo thành gentamicin)

SPBDSH : Gentamicin C<sub>2</sub>, (dẫn chất dehydroxy hóa và amin hóa của cơ chất)

Gentamicin C<sub>1</sub> (dẫn chất methyl hóa của gentamicin C<sub>2</sub>).

LMBDSH : xem ở thí dụ (2)

(Testa và Tilley, 1976).



Hình 2.12. Biến đổi sinh học kháng sinh G.418

(7) Cơ chất : Gentamicin A, Gentamicin X<sub>2</sub> (hình 2.13)

TNBDSH : Dịch nuôi cấy của chủng đột biến của *Micromonospora purpurea* (chủng không tạo thành gentamicin).

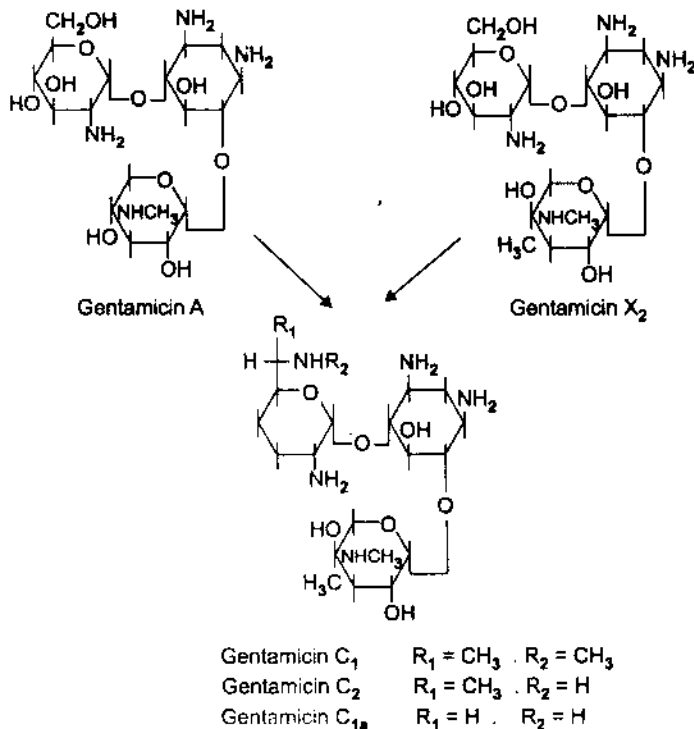
SPBDSH : Gentamicin C<sub>1</sub>

Gentamicin C<sub>2</sub>

Gentamicin C<sub>1a</sub>

LMBDSH : xem ở thí dụ (2)

(Testa và Tilley, 1976)

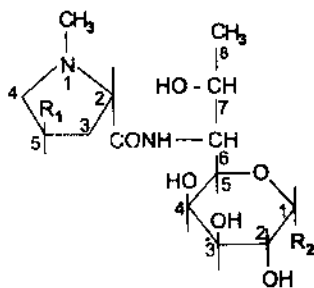


Hình 2.13. Biến đổi sinh học gentamicin A) và gentamicin X<sub>2</sub>

(8) Cơ chất : Lincomycin (hình 2.14)

TNBDSH : Dịch nuôi cấy của *Streptomyces lincolnensis* var. *lincolnensis*

SPBDSH : Lincomycin sulfoxid  
β-demethylthio-1-hydroxylincomycin  
(Argoudelin và Cs., 1969)



Hình 2.14. Biến đổi sinh học lincomycin

Lincomycin :  $R_1 = CH_2CH_2CH_3$  ;

$R_2 = SCH_3$

Lincomycin sulfoxid :  $R_1 = CH_2CH_2CH_3$  ;

$R_2 = -S-CH_3$

$\downarrow$

l-demethylthio-l-hydroxy lincomycin :  $R_1 = CH_3CH_2CH_3$  ;

$R_2 = OH$

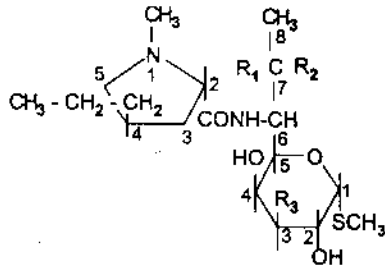
#### (9) Cơ chất : Clindamycin (hình 2.15)

TNBDSH : Dịch nuôi cấy của *Streptomyces coelicolor* BRRL 3542

SPBDDSH : Clindamycin 3-photphat

LMBDDSH : Môi trường (g/lit) : glucose monohydrat 20,0, cao men bia 2,5, NZ-amin B 5,0, natri nitrat 1,5, ammoni sulfat 1,5, calci carbonat 5,0, dipotassium photphat 1,0, kali chlorua 0,5, magiê sulfat 0,5,  $Fe_2Sulfat$  0,001. Dịch nuôi cấy xạ khuẩn 5%. Nhiệt độ 28°C. Cơ chất 50  $\mu g/ml$ , cho vào bình lên men sau 24h cho dịch nuôi cấy. Thời gian lên men 48h, pH môi trường 7,2. Lắc tròn 250 vòng/min.

Chú thích : sản phẩm mất hoạt tính kháng sinh in vitro (Coats và Argoudelis, 1971).



CLINDAMYCIN

$R_1 = -H$

$R_2 = -Cl$

$R_3 = -OH$

CLINDAMYCIN 3-PHOTPHAT

$-H$

$-Cl$

$-OP-OH$

$OH$

LINCOMYCIN

$-OH$

$H$

$-OH$

Hình 2.15. Biến đổi sinh học clindamycin thành clindamycin 3-photphat

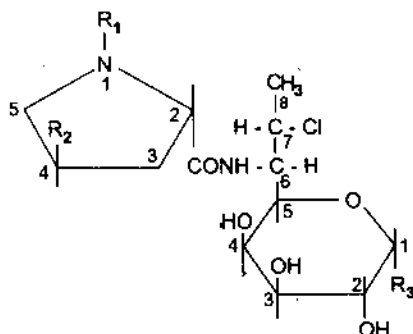
(10) Cơ chất : Clindamycin (hình 2.16)

TNBDSH : *Streptomyces punipalpus* SPBDSH : l'-demethylclindamycin

LMBDSH : Môi trường (g/lit) : dextrin 30, rỉ đường 20, bột cá 15,

Pharmamedia (sản phẩm thủy phân của hạt bông) 15. Cơ chất 5% môi trường. Nhiệt độ 28°C. Dịch nuôi cấy xạ khuẩn cho vào bình lên men, sau 24h, cho cơ chất, lên men 72h. Lắc tròn 250 vòng/min.

*Chú thích* : sản phẩm còn 5% hoạt tính kháng sinh in vitro (Argoudelis và Cs., 1969).



Hình 2.16 và 2.17. Biến đổi sinh học clindamycin thành l'-demethylclindamycin và clindamycin sulfoxid.

Clindamycin

R<sub>1</sub>=CH<sub>3</sub>; R<sub>2</sub>=CH<sub>2</sub>CH<sub>2</sub>CH<sub>3</sub>; R<sub>3</sub>=SCH<sub>3</sub>

l'-demethylclindamycin

R<sub>1</sub>=H; R<sub>2</sub>=CH<sub>2</sub>CH<sub>2</sub>CH<sub>3</sub>; R<sub>3</sub>=SCH<sub>3</sub>

Clindamycin Sulfoxid

R<sub>1</sub>=CH<sub>3</sub>; R<sub>2</sub>=CH<sub>2</sub>CH<sub>2</sub>CH<sub>3</sub>; R<sub>3</sub>=SCH<sub>3</sub>



(11) Cơ chất : Clindamycin (hình 5.17)

TNBDSH : *Streptomyces armentosus*

SPBDSH : Clindamycin sulfoxid

LMBDSH : Môi trường (g/lit) : tinh bột 30, rỉ đường 20, Pharmamedia (sản phẩm thủy ngân của hạt bông) 15, bột cá 15, mờ lợn (mờ nước) 5 ml/lit. Cơ chất 5% (v/v). Dịch nuôi cấy xạ khuẩn cho vào bình lên men, sau 48h cho cơ chất. Nhiệt độ 28°C. Lắc tròn 250 vòng/min. Thời gian lên men 120h.

*Chú thích* : Sản phẩm còn 1% hoạt tính kháng sinh in vitro (Argoudelis và Cs., 1969).

(12) Cơ chất : Clindamycin (hình 5.18)

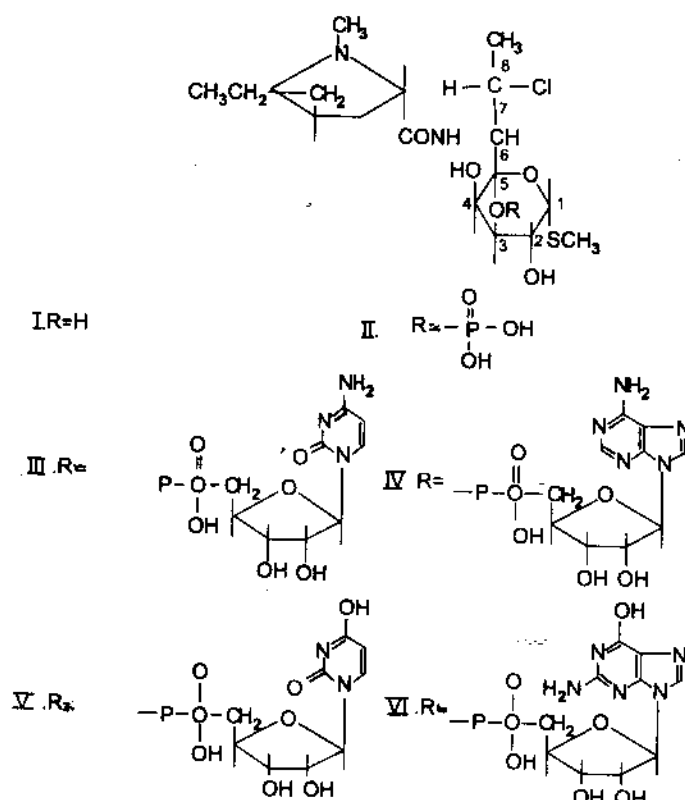
TNBDSH : *Sreptomyces coelicolor* NRRL 3532

SPBDDSH : Clindamycin 3-ribonucleotid

Clindamycin 3-phốtphat

LMBDSH : Môi trường và điều kiện lên men : xem ở thí dụ (9)

Chú thích : sản phẩm mất hoạt tính kháng sinh in vitro (Argouelin và Cs., 1977).



Hình 2.18. Biến đổi sinh học clindamycin thành clindamycin 3-nucleotid và clindamycin 3-photphtat

- I. Clindamycin
- II. Clindamycin 3-Photphát
- III. Clindamycin 3-(5'-cytidylat)
- IV. Clindamycin 3-(5'-adenylat)
- V. Clindamycin 3-(5'-uridylat)
- VI. Clindamycin 3-(5'-guanylat)

(13) Cơ chất : Olivomycin A (hình 2.19)

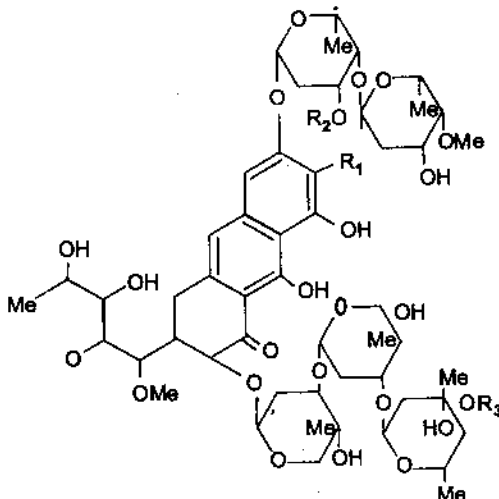
TNBDSH : *Whetzelinia sclerotiorum* ATCC-10939

SPBDSH : Deisobutyrylolivomycin A

IMBD SH : Môi trường (glit) : 37,5, Pharmamedia (sản phẩm thủy phân của hạt bông) 20,0, calci carbonat 5,0, calci sulfat 2,5,

natri sulfat 2,0. Cơ chất 1 mg/ml. Nhiệt độ 27°C. Dịch nuôi cấy nấm cho vào bình lên men, sau 48h, cho cơ chất, lên men 18 - 20h. Lắc tròn 250 vòng/min.

*Chú thích :* sản phẩm có hoạt tính kháng sinh giảm mạnh (vi khuẩn chỉ thị : các chủng khác nhau của *Staphylococcus aureus*, *Streptococcus pneumoniae*, *S. pyogenes*). (Schmitz và Claridge, 1977).



Hình 2.19. Biến đổi sinh học olivomycin A và chromomycin A<sub>2</sub>, A<sub>3</sub>

Olivomycin A : R<sub>1</sub>=H, R<sub>2</sub>=CH<sub>3</sub>CO, R<sub>3</sub>=COCH(CH<sub>3</sub>)<sub>2</sub>

Deisobutyrylolivomycin A : R<sub>1</sub>=H, R<sub>2</sub>=CH<sub>3</sub>CO, R<sub>3</sub>=H

Chromomycin A<sub>2</sub> : R<sub>1</sub>=CH<sub>3</sub>, R<sub>2</sub>=CH<sub>3</sub>CO, R<sub>3</sub>=COCH(CH<sub>3</sub>)<sub>2</sub>

Chromomycin A<sub>2</sub> : R<sub>1</sub>=CH<sub>3</sub>, R<sub>2</sub>=R<sub>3</sub>=CH<sub>3</sub>CO

Deisobutyrylolivomycin A<sub>2</sub> : R<sub>1</sub>=CH<sub>3</sub>, R<sub>2</sub>=CH<sub>2</sub>CO, R<sub>3</sub>=H

(14) Cơ chất : Chromomycin A<sub>2</sub>, A<sub>3</sub> (hình 2.19)

TNBDSH : *Whetzelinia sclerotiorum* ATCC-10939

SPBDSH : Deisobutyrylchromomycin A<sub>2</sub>

IMBDSH : Môi trường và điều kiện lên men : xem ở  
thích dụ (13)

*Chú thích :* sản phẩm có hoạt tính kháng sinh tương tự như chromomycin A<sub>2</sub>. (Schmitz và Claridge, 1977)

Ngoài kháng sinh, một số hợp chất khác cũng đã được sử dụng làm cơ chất cho lên men biến đổi sinh học. *Penicillium roqueforti* và nhiều loài thuộc các chi *Aspergillus*, *Paecilomyces*, *Penicillium* và *Scopulariopsis* biến đổi cơ chất là các acid béo thành các hợp chất - methylceto bằng phản ứng β-oxy hóa. Bào tử của loài *Aspergillus wentii* thủy phân tinh bột thành glucose không qua giai đoạn maltose. *Acetobacter suboxydans*,

*A.xylinum*, *A.xylioides* biến đổi sorbit thành sorbose và thực hiện một số phản ứng biến đổi sinh học khác trong công nghệ sản xuất vitamin C hiện nay. Một số biến đổi sinh học khác cũng đã được biết như biến đổi methionin thành hợp chất - thiol bởi một số loài vi khuẩn thuộc các chi *Brevibacter ia*, *Lactobacillus*, *Lactococcus* (Dias và Weimer, 1998), biến đổi độc tố nấm deoxynivalenol thành hợp chất 3-ceto-4-deoxynivaleol ít độc hơn cơ chất nhiều lần bởi một số vi sinh vật đất thuộc nhóm *Agrobacterium-Rhizobium*, (Shima và Cs., 1997), v.v. Nhưng trong tất cả các loại hợp chất đã được dùng làm cơ chất biến đổi sinh học đã được nghiên cứu nhiều nhất, đã được tổng kết có hệ thống nhất và cũng được dùng nhiều nhất trong công nghiệp dùng công nghệ biến đổi sinh học là các hợp chất steroid.

### 3.2. Cơ chất là steroid trong biến đổi sinh học

Trước khi nói tới các phản ứng biến đổi sinh học mà cơ chất là steroid, chúng ta cần chú ý thêm là trong công nghệ biến đổi sinh học các điều kiện lên men thông thường khác như pH môi trường, nhiệt độ lên men, điều kiện thông khí, v.v., một số điều kiện khác cũng ảnh hưởng ở mức độ khác nhau tới hiệu suất biến đổi và loại phản ứng biến đổi thực hiện bởi vi sinh vật, như nồng độ bào tử (hoặc lượng sinh khối), cách đưa cơ chất vào môi trường lên men (hòa tan hoặc ở dạng dịch treo, kích thước của hạt cơ chất trong dịch treo). Một số kết quả nghiên cứu cũng cho thấy để thực hiện tối ưu phản ứng hydroxy hóa steroid, cần cho vào môi trường một lượng tối thiểu glucose (0,2 - 0,4%), hoặc với tác nhân biến đổi là *Aspergillus ochraceus*, nếu nồng độ progesteron là 5, 10 hoặc 15g trong một lit môi trường lên men, sản phẩm biến đổi sinh học thu được sẽ chỉ là dẫn chất 11 $\alpha$ -hydroxy của cơ chất, nếu nồng độ cơ chất thấp hơn, sản phẩm thu được ngoài dẫn chất 11 $\alpha$ -hydroxy trên, còn có thêm dẫn chất 6 $\beta$ , 11 $\alpha$ -dihydroxy. (Vézina và Cs., 1975).

Khả năng biến đổi của vi sinh vật đối với các hợp chất steroid rất lớn như phản trình bày các phản ứng biến đổi sinh học dưới đây, nhưng chúng ta cần biết hiện nay trong công nghiệp dùng công nghệ biến đổi sinh học steroid mới chỉ có 6 loại phản ứng được dùng phổ biến : 11 $\alpha$ -hydroxy hóa (dùng bào tử của *Aspergillus ochraceus*), 11 $\beta$ -hydroxy hóa (dùng bào tử của *Stachyliidium theobromae*), 14 $\alpha$ -hydroxy hóa (dùng bào tử của *Mucor griseo-cyanus*), 16 $\alpha$ -dehydro hóa (dùng bào tử của *Streptomyces viridis*), 1-dehydroxy hóa và tạo thành nhân thơm A (dùng

bào tử của *Septomyxa affinis*) và phản ứng đồng phân hóa tạo thành nhóm chức  $3\text{-CO-}\Delta^4$  (dùng *Spetomyxa affinis* và vài loài khác).

## CÁC LOẠI PHẢN ỨNG BIẾN ĐỔI SINH HỌC TRÊN CƠ CHẤT STEROID

### • Phản ứng oxy hóa trong biến đổi sinh học

#### (1) Oxy hóa nhóm chức rượu bậc 2 thành nhóm chức keto

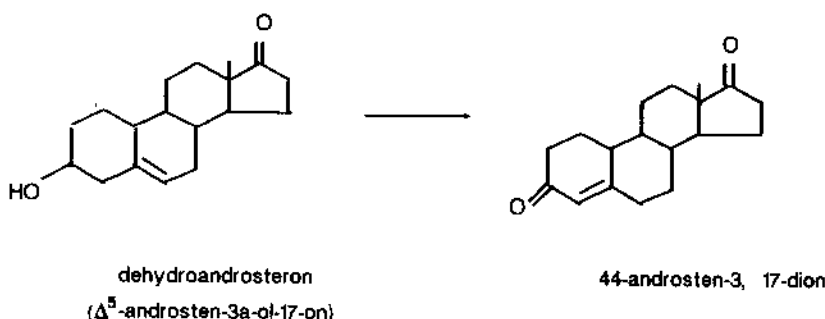


Phản ứng 1 (3-ceto hóa) :

Cơ chất : dehydroandrosteron

Tác nhân biến đổi sinh học (TNBDSH) : *Flavobacterium dehydrogenans*, *Proactinomyces erythropolis*

Sản phẩm biến đổi sinh học (SPBDSH) :  $\Delta^4$ -androstene-3,17-dione.



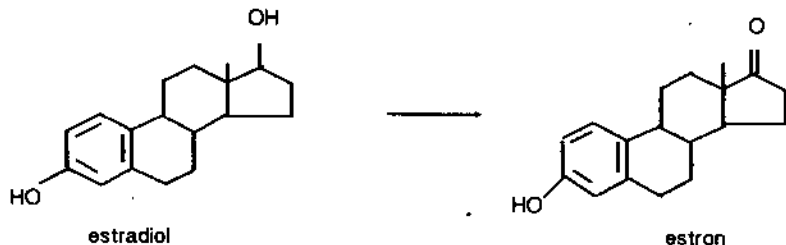
Hình 2.20. Biến đổi sinh học dehydroandrosteron

Phản ứng 2 (17-ceto hóa) :

Cơ chất : estradiol

TNBDSH : *Actinomyces albus*

SPBDSH : estron.



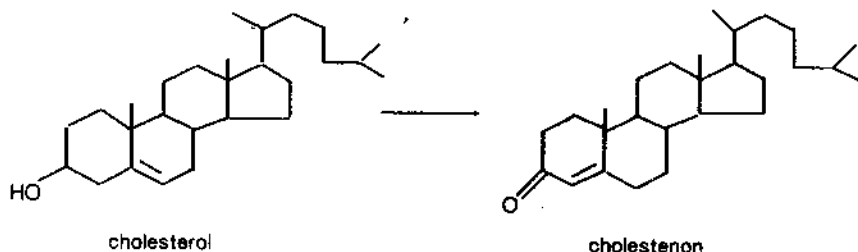
Hình 2.21. Biến đổi sinh học estradiol

*Phản ứng 3 (3-ceto hóa) :*

Cơ chất : Cholesterol

TNDBSH : *Flavobacterium maris*, *Azotobacter* sp.

SPBDSH : Cholestenon



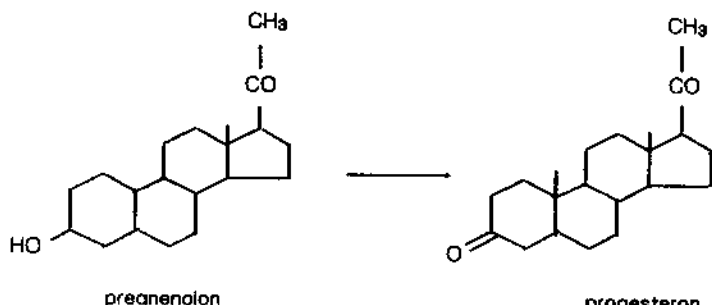
Hình 2.22. Biến đổi sinh học cholesterol

*Phản ứng 4 (3-ceto hóa) :*

Cơ chất : Pregnenolon

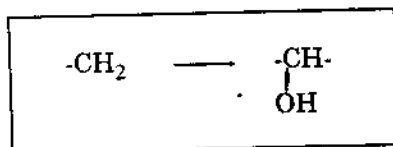
TNDBSH : *Aspergillus* sp.

SPBDSH : Progesteron



Hình 2.23. Biến đổi sinh học pregnenolon

(2) Tạo thành nhóm chức rượu bắc 2 trên khung steroid  
(ở các vị trí  $1\alpha$ ,  $1\beta$ ,  $2\beta$ ,  $6\beta$ ,  $7\alpha$ ,  $7\beta$ ,  $11\alpha$ ,  $11\beta$ ,  $12\beta$ ,  $15\alpha$ ,  $15\beta$ ,  $16\alpha$ ,  
 $16\beta$ ).

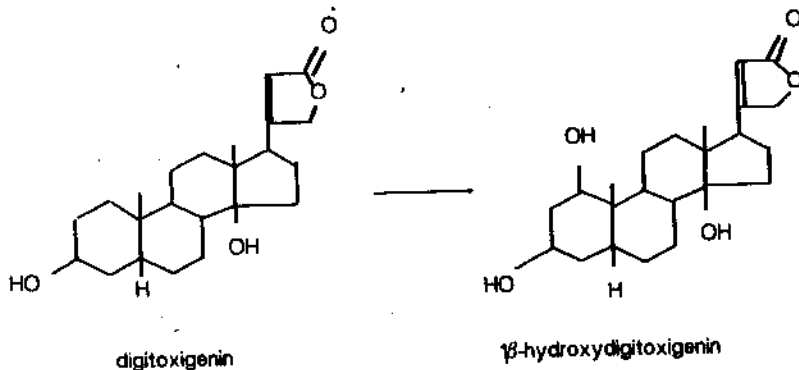


Phản ứng 5 ( $1\beta$  - hydroxy hóa) :

Cơ chất : digitoxigenin

TNBDSH : *Absidia orchidis*

SPBDSH :  $1\beta$ -hydroxydigitoxigenin



Hình 2.24. Biến đổi sinh học digitoxigenin

Phản ứng 6 ( $2\beta$ -hydroxy hóa và  $1\alpha$ -hydroxy hóa) :

Cơ chất :  $\Delta^4$ -androstene-3,17-dione

TNBDSH : *Penicillium* sp.

SPBDSH :  $\Delta^4$ -androstene- $2\beta$ -ol-3,17-dione

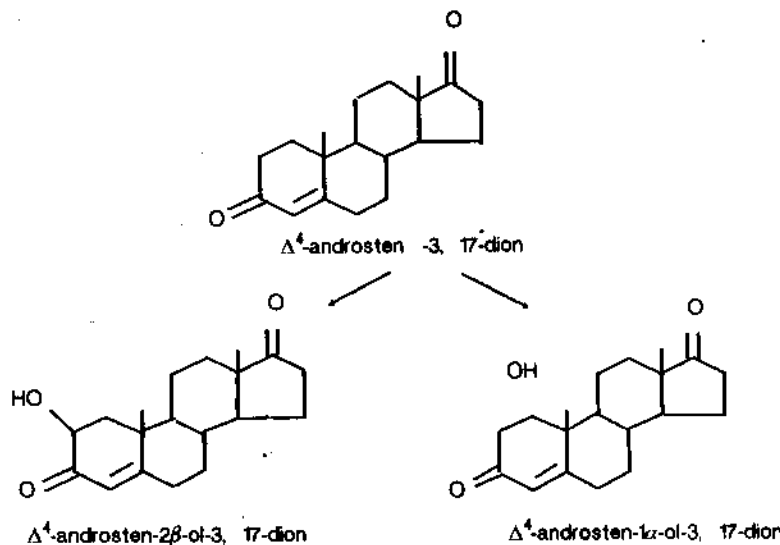
$\Delta^4$ -androstene- $1\alpha$ -ol-3,17-dione

Phản ứng 7 ( $6\beta$ -hydroxy hóa) :

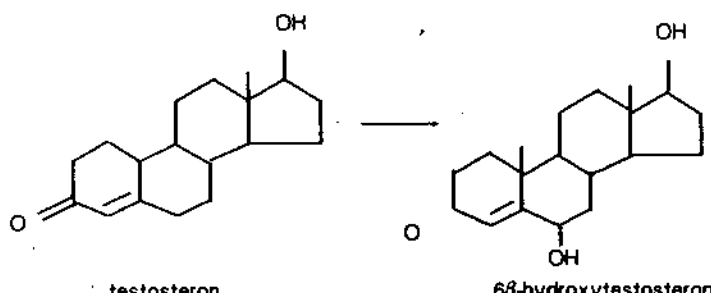
Cơ chất : Testosteron

TNBDSH : *Rhizopus reflexus*, *Rh.arrhizus*

SPBDSH :  $6\beta$ -hydroxy testosteron



Hình 2.25. Biến đổi sinh học  $\Delta^4\text{-androstene-3,17-dione}$



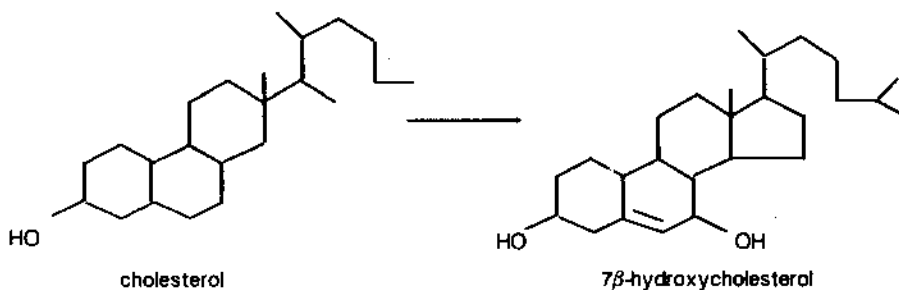
Hình 2.26. Biến đổi sinh học testosterone

*Phản ứng 8 (7β-hydroxy hóa) :*

Cơ chất : Cholesterol

TNBDSH : *Proactinomyces roseus*

SPBDSH : 7β-hydroxycholesterol



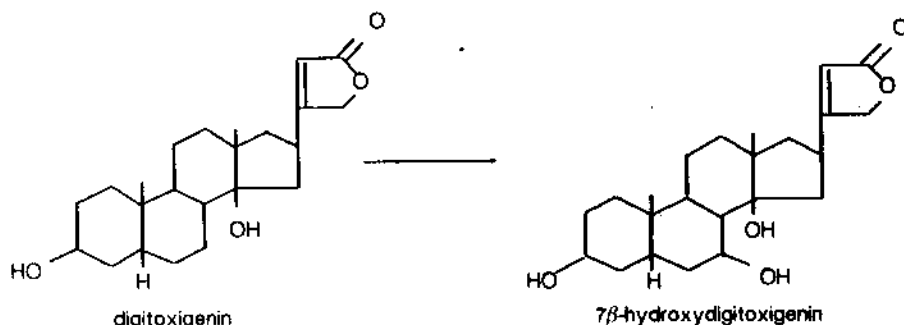
Hình 2.27. Biến đổi sinh học Cholesterol

*Phản ứng 9 (7 $\beta$ -hydroxy hóa) :*

Cơ chất : Digitoxigenin

TNBDSH : *Rhizopus nigricans*, *Rh.arrhizus*, *Absidia orchidis*

SPBDSH : 7 $\beta$ -hydroxydigitoxigenin



Hình 2.28. Biến đổi sinh học digitoxigenin

*Phản ứng 10 (7 $\beta$ -hydroxy hóa, 7 $\alpha$ -hydroxy hóa) :*

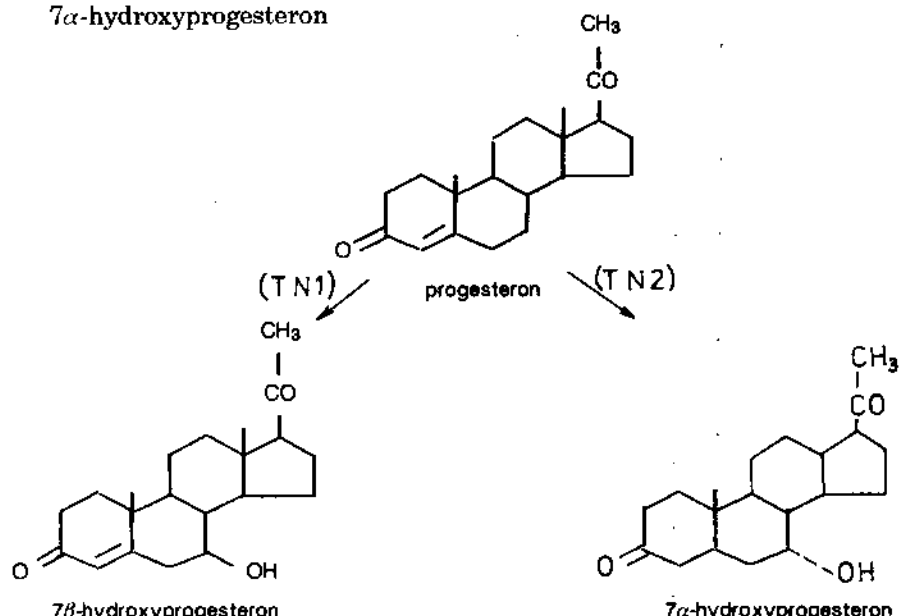
Cơ chất : Progesteron

TNBDSH : *Cladosporium* sp. (TN1)

*Helminthosporium* (TN2)

SPBDSH : 7 $\beta$ -hydroxyprogesteron

7 $\alpha$ -hydroxyprogesteron



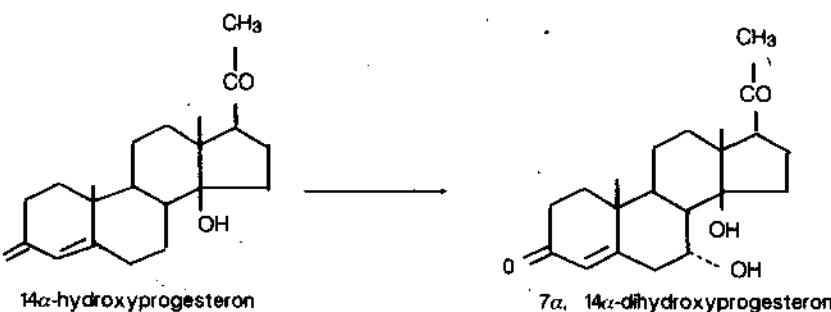
Hình 2.29. Biến đổi sinh học progesteron

*Phản ứng 11 (7 $\alpha$ -hydroxy hóa) :*

Cơ chất : 14 $\alpha$ -hydroxyprogesteron

TNBDSH : *Curvularia* sp.

SPBDSH : 7 $\alpha$ ,14 $\alpha$ -dihydroxyprogesteron



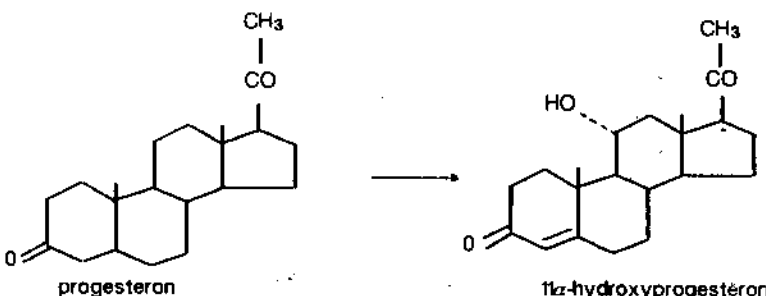
Hình 2.30. Biến đổi sinh học 14 $\alpha$ -hydroxyprogesteron

*Phản ứng 12 (11 $\alpha$ -hydroxy hóa) :*

Cơ chất : Progesteron

TNBDSH : *Rhizopus nigricans*, *Abaidia* sp., *Aspergillus* sp., *Penicillium* sp.

SPBDSH : 11 $\alpha$ -hydroxyprogesteron



Hình 2.31. Biến đổi sinh học progesteron

*Phản ứng 13 (11 $\beta$ -hydroxy hóa, 11 $\alpha$ -hydroxy hóa, 6 $\beta$ -hydroxy hóa) :*

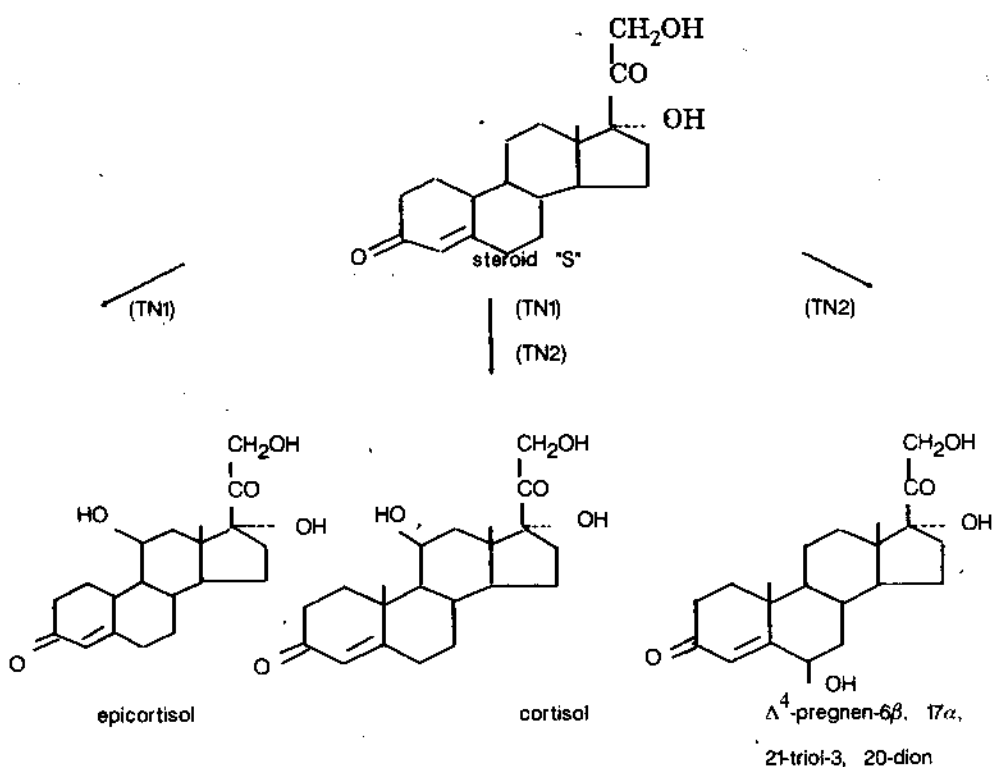
Cơ chất : Hợp chất S của Reichstein ( $\Delta^4$ -pregnen-17 $\alpha$ , 21-diol-3, 20-dion = deoxycortisol)

TNBDSH : *Absidia* sp. (TN1)

*Cunninghamella* sp. (TN2)

SPBDSH : Cortisol, epicortisol (với TN1)

Cortisol,  $\Delta^4$ -pregnen-6 $\beta$ ,17 $\alpha$ ,21-triol-3,20-dion



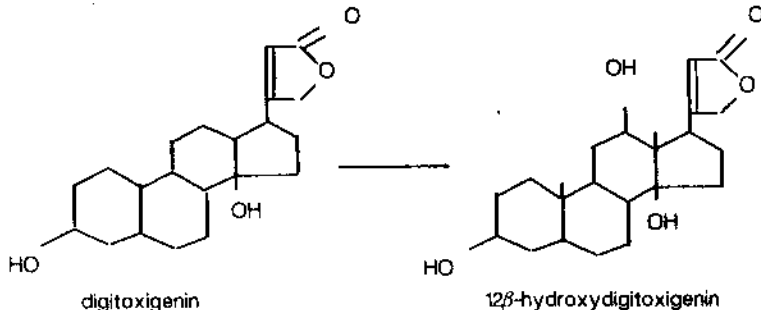
Hình 2.32. Biến đổi sinh học hợp chất S

Phản ứng 14 (12 $\beta$ -hydroxy hóa) :

Cơ chất : Digitoxigenin

TNBDSH : *Fusarium lini*

SPBDSH : 12 $\beta$ -hydroxydigitoxigenin



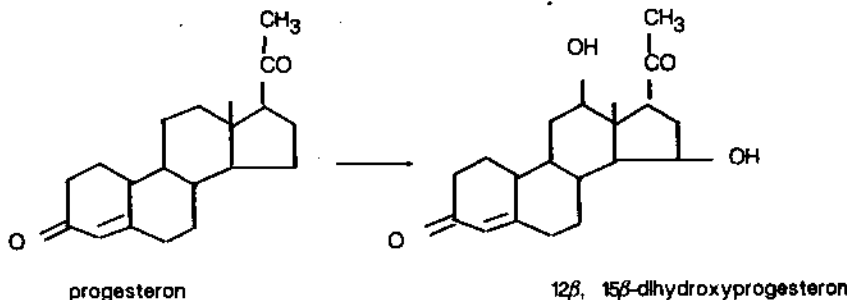
Hình 2.33. Biến đổi sinh học digitoxigenin

*Phản ứng 15* ( $12\beta,15\beta$ -hydroxy hóa) :

Cơ chất : Progesteron

TNBDSH : *Calonectria decora*

SPBDSH :  $12\beta,15\beta$ -dihydroxyprogesteron



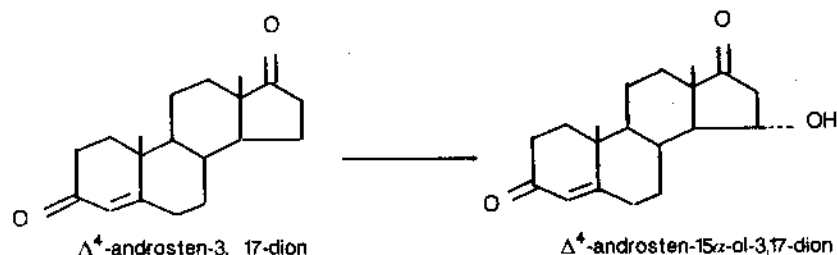
Hình 2.34. Biến đổi sinh học progesteron

*Phản ứng 16* ( $15\alpha$ -hydroxy hóa) :

Cơ chất :  $\Delta^4$  androsten-3,17-dion

TNBDSH : *Fusarium* sp.

SPBDSH :  $\Delta^4$ -androsten- $15\alpha$ -ol-3,17-dion



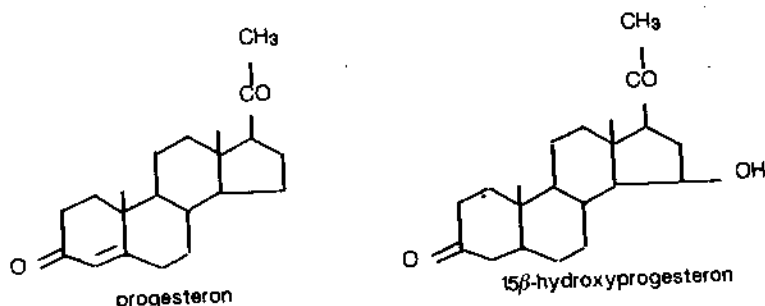
Hình 2.35. Biến đổi sinh học  $\Delta^4$ -androsten-3,17-dion

*Phản ứng 17* ( $15\beta$ -hydroxy hóa) :

Cơ chất : Progesteron

TNBDSH : *Phycomyces blakesleanus*

SPBDSH :  $15\beta$ -hydroxyprogesteron



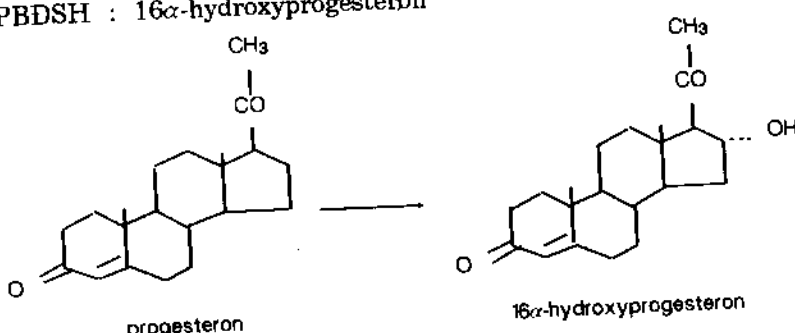
Hình 2.36. Biến đổi sinh học progesteron

*Phản ứng 18 (16 $\alpha$ -hydroxy hóa) :*

Cơ chất : Progesteron

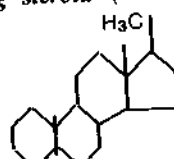
TNBDSH : *Actinomyces* sp.

SPBDSH : 16 $\alpha$ -hydroxyprogesteron



Hình 2.37. Biến đổi sinh học progesteron

(3) *Tạo thành nhóm chức rượu bậc 3 trên khung steroid (ở các vị trí 5 $\beta$ , 9 $\alpha$ , 14 $\alpha$ , 17 $\alpha$ )*

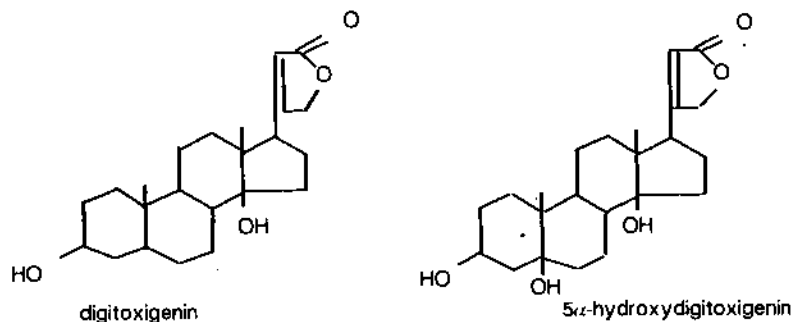


*Phản ứng 19 (5 $\beta$ -hydroxy hóa) :*

Cơ chất : Digitoxigenin

TNBDSH : *Mucor parasiticus*

SPBDSH : 5 $\beta$ -hydroxydigitoxigenin



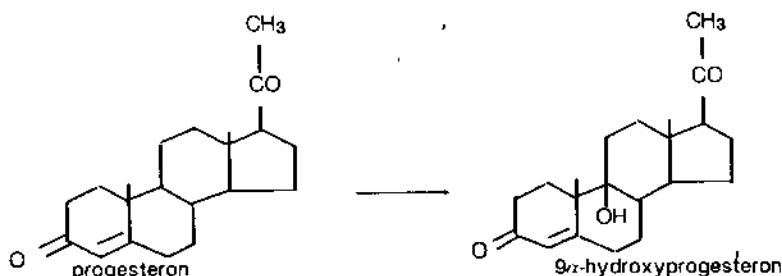
Hình 2.38. Biến đổi sinh học digitoxigenin

Phản ứng 20 ( $9\alpha$ -hydroxy hóa) :

Cơ chất : Progesteron

TNBDSH : *Circinella* sp.

SPBDSH :  $9\alpha$ -hydroxyprogesteron



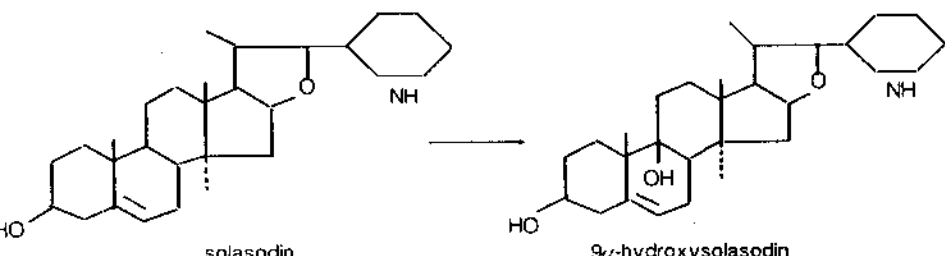
Hình 2.39. Biến đổi sinh học progesteron

Phản ứng 21 ( $9\alpha$ -hydroxy hóa) :

Cơ chất : Solasodin

TNBDSH : *Helicostylum piriforme*

SPBDSH :  $9\alpha$ -hydroxysolasodin



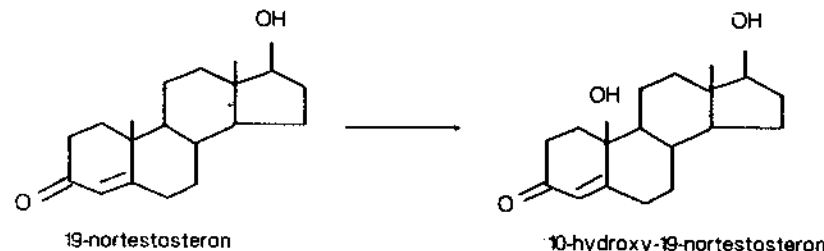
Hình 2.40. Biến đổi sinh học solasodin

*Phản ứng 22* (10-hydroxy hóa) :

Cơ chất : 19-nortesteron

TNBDSH : *Botrytis cinerea*, *Curvularia lunata*

SPBDSH : 10-hydroxy-19-nortestosteron



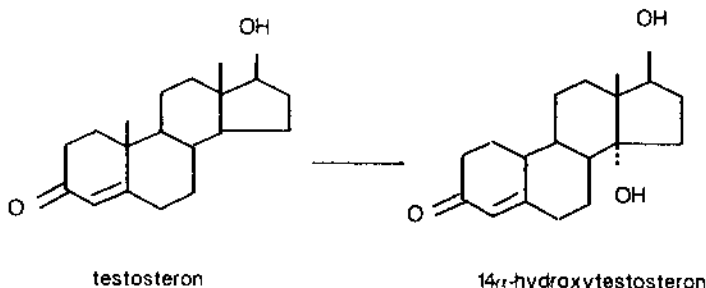
Hình 2.41. Biến đổi sinh học 19-nortestosteron

*Phản ứng 23* (14 $\alpha$ -hydroxy hóa) :

Cơ chất : Testosteron

TNBDSH : *Mucor* sp.

SPBDSH : 14 $\alpha$ -hydroxyprogesteron



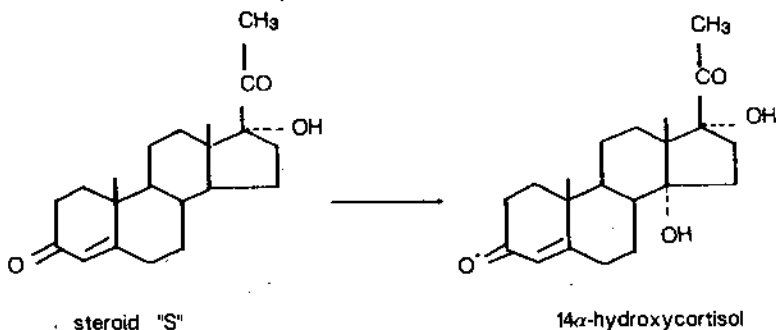
Hình 2.42. Biến đổi sinh học testosterone

*Phản ứng 24* (11 $\beta$ ,14 $\alpha$ -hydroxy hóa) :

Cơ chất : Hợp chất S của Rienchstein (deoxycortisol)

TNBDSH : *Curvularia lunata*

SPBDSH : 14 $\alpha$ -hydroxycortisol



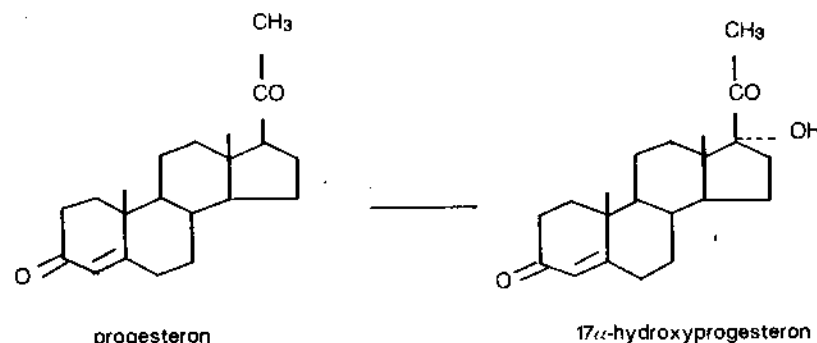
Hình 2.43. Biến đổi sinh học hợp chất S

*Phản ứng 25 (17 $\alpha$ -hydroxy hóa) :*

Cơ chất : Progesteron

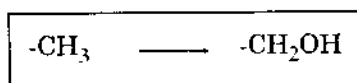
TNBDSH : *Cephalothecium roseum*

SPBDSH : 17 $\alpha$ -hydroxyprogesteron



Hình 2.44. Biến đổi sinh học progesteron

(4) *Tạo thành nhóm chức rượu batur một ở nhánh ngang của phân tử steroid :*

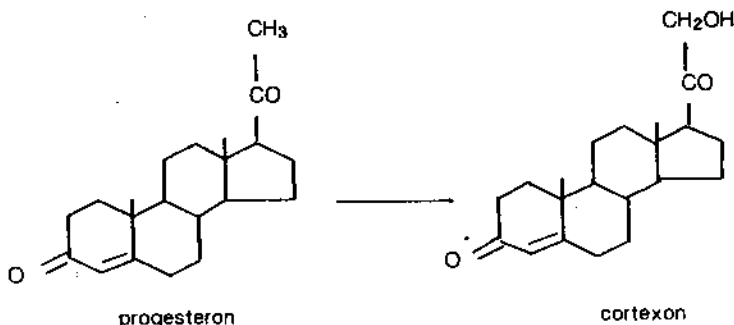


*Phản ứng 26 ( $\alpha$ -hydroxy hóa) :*

Cơ chất : Progesteron

TNBDSH : *Aspergillus niger*

SPBDSH : Cortexon



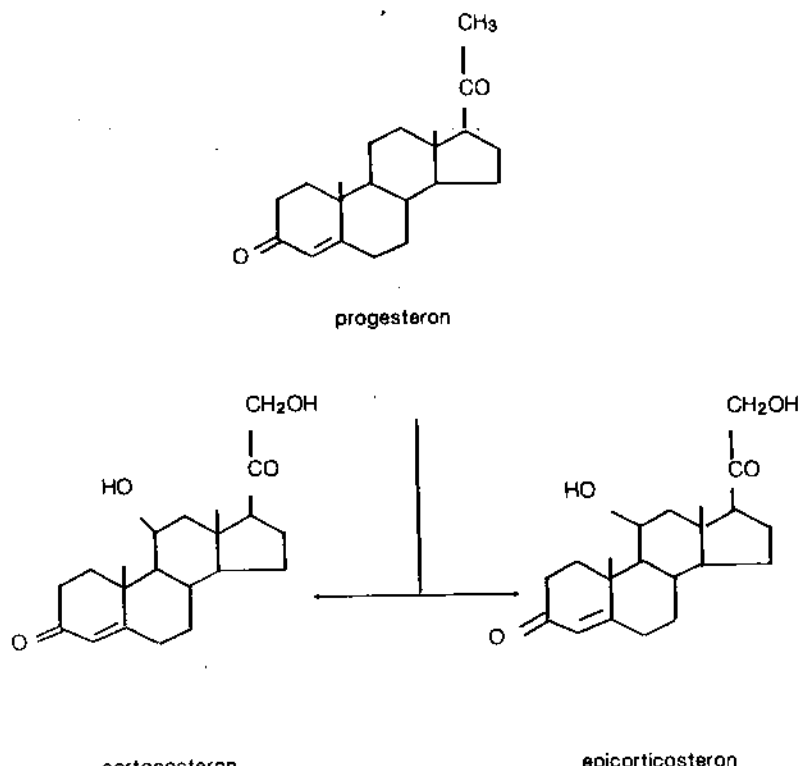
Hình 2.45. Biến đổi sinh học progesteron

*Phản ứng 27 (11α,21-hydroxy hóa, 11β,21-dihydroxy hóa) :*

Cơ chất : Progesteron

TNBDSH : *Aspergillus niger*, *Curvularia lunata*

SPBDSH : Corticosteron, epicorticosteron



Hình 2.46. Biến đổi sinh học progesteron

(5) Dehydro hóa vòng A của phân tử steroid ở các vị trí 1-2 và 4-5



Phản ứng 28 (tạo thành  $\Delta^{1,4}$  cùng với các phản ứng khác) :

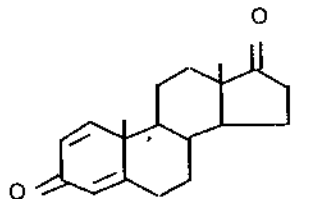
Cơ chất : Progesteron

TNBDSH : *Fusarium* sp.

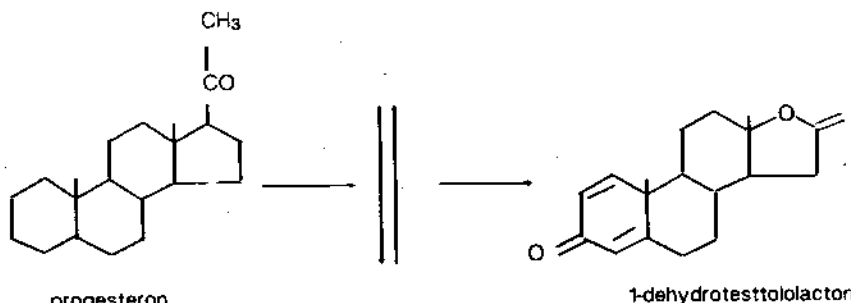
SPBDSH :  $\Delta^{1,4}$ -androstadien-3,17-dion

1-dehydrotestosteron

1-dehydrotestololacton

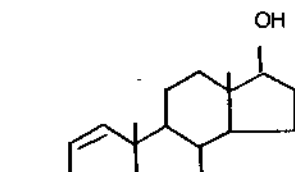


$\Delta^{1,4}$ -androstadien-3, 17-dion



progesteron

1-dehydrotestololacton



1-dehydrotestosteron

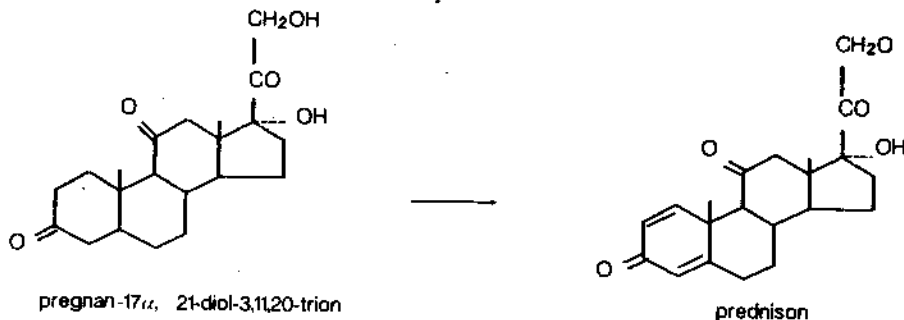
Hình 2.47. Biến đổi sinh học progesteron

*Phản ứng 29* (tạo thành  $\Delta^{1,4}$ ) :

Cơ chất : Pregnan-17 $\alpha$ ,21-diol-3,11,20-trion

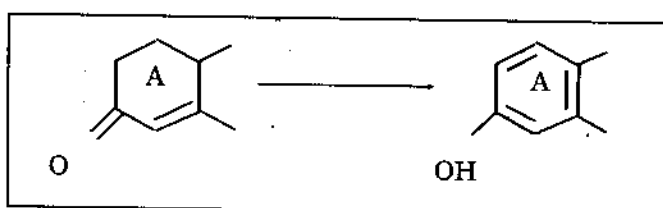
TNBDSH : *Nocardia blackwelli*

SPBDSH : Prednison



Hình 2.48. Biến đổi sinh học pregnan-17 $\alpha$ ,21-diol-3,11,20-trion

(6) *Biến đổi vòng A của phân tử steroid thành nhân thơm*

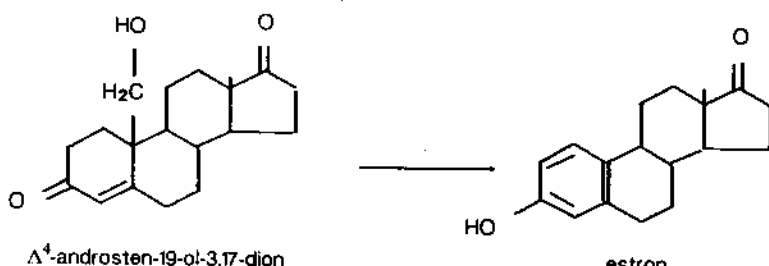


*Phản ứng 30* (biến đổi vòng A thành nhân thơm) :

Cơ chất :  $\Delta^4$ -androsten-19-ol-3,17-dion

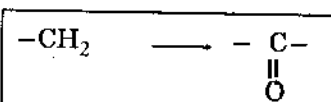
TNBDSH : vi sinh vật (R.M.Dodson et R.D.Muir-J.Am.Chem.Soc., 80 : 5004, 1958)

SPBDSH : Estron



Hình 2.49. Biến đổi sinh học  $\Delta^4$ -androstesten-19-ol-3,17-dion

(7) Oxy hóa nhóm chức methylen thành nhóm chức ceto

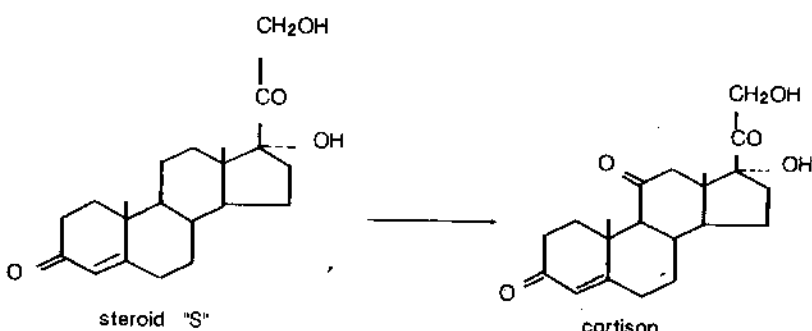


Phản ứng 31 (7-ceto hóa) :

Cơ chất : Hợp chất S của Reinschtein (deoxycortisol)

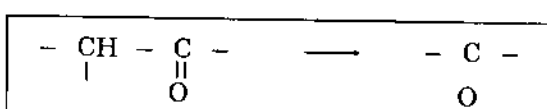
TNBDSH : *Cunninghamella blakesleana*

SPBDSH : Cortison



Hình 2.50. Biến đổi sinh học hợp chất steroid S

(8) Cắt chuỗi ngang của steroid pregnan do tạo thành nhóm chức ceton

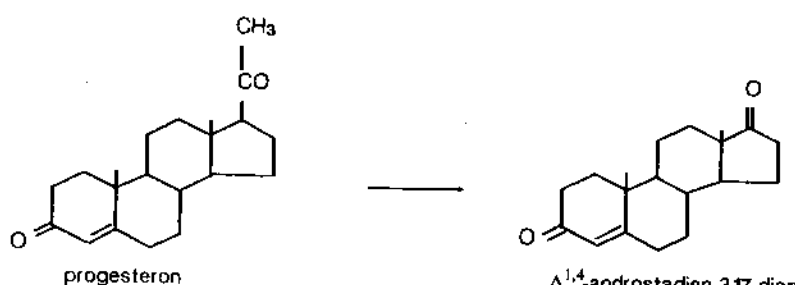


Phản ứng 32 (tạo thành 17-ceto) :

Cơ chất : Progesteron

TNBDSH : *Fusarium solani*, *F.lateritium*, *Streptomyces lavendulae*

SPBDSH :  $\Delta^{1,4}$ -androstadien-3,17-dion



Hình 2.51. Biến đổi sinh học progesteron

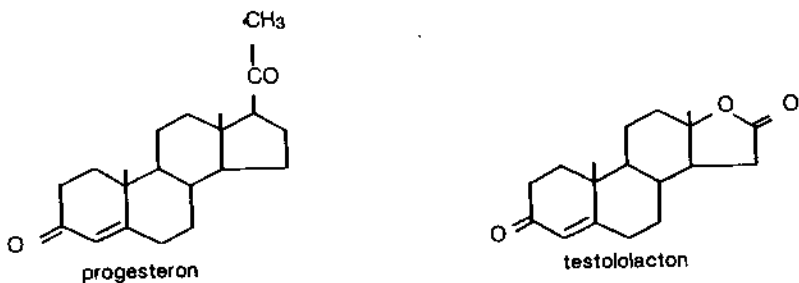
(9) Cắt chuỗi ngang của steroid pregnan ở C-17 và mở vòng D do tạo thành nhóm chức lacton

Phản ứng 32 (tạo thành vòng lacton) :

Cơ chất : Progesteron

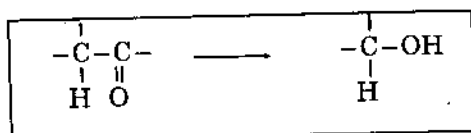
TNBDSH : *Aspergillus* sp., *Penicillium* sp.

SPBDSH : Testololacton



Hình 2.52. Biến đổi sinh học progesteron

(10) Cắt chuỗi ngang của steroid pregnan ở C-17 do tạo thành nhóm chức rượu bắc 2

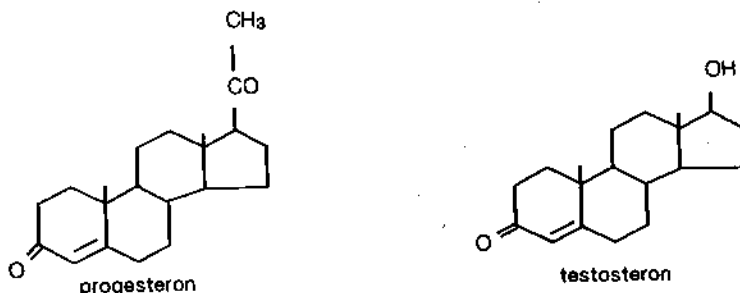


Phản ứng 34 (tạo thành 17-OH) :

Cơ chất : Progesteron

TNBDSH : *Penicillium* sp.

SPBDSH : Testosterone



Hình 2.53. Biến đổi sinh học progesteron

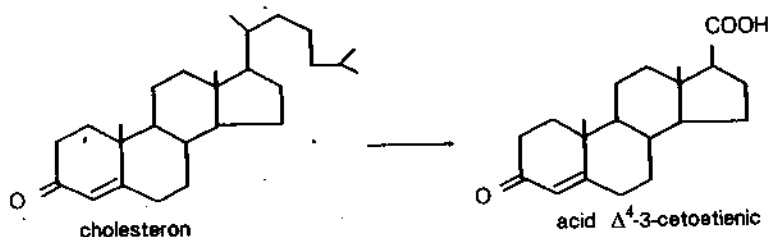
(11) Cắt chuỗi ngang của steroid do tạo thành nhóm chức carboxyl

Phản ứng 35 (tạo thành vòng 17-COOH) :

Cơ chất : Cholestenon

TNBDSH : *Proactinomyces erythropolis*

SPBDSH : Acid  $\Delta^4$ -3-cetoetienic



Hình 2.54. Biến đổi sinh học cholestenon

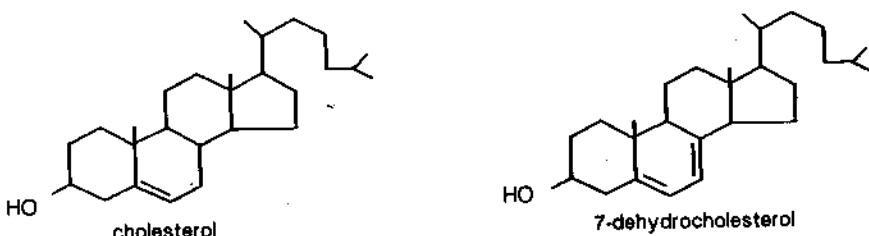
(12) Dehydro hóa ở vòng B của phân tử steroid

Phản ứng 36 (tạo thành  $\Delta^7$ ) :

Cơ chất : Cholesterol

TNBDSH : *Azotobacter* sp.

SPBDSH : 7-dehydrocholesterol



Hình 2.55. Biến đổi sinh học cholesterol

(13) Tạo thành epoxid



Phản ứng 37 (tạo thành epoxid ở các vòng C, D) :

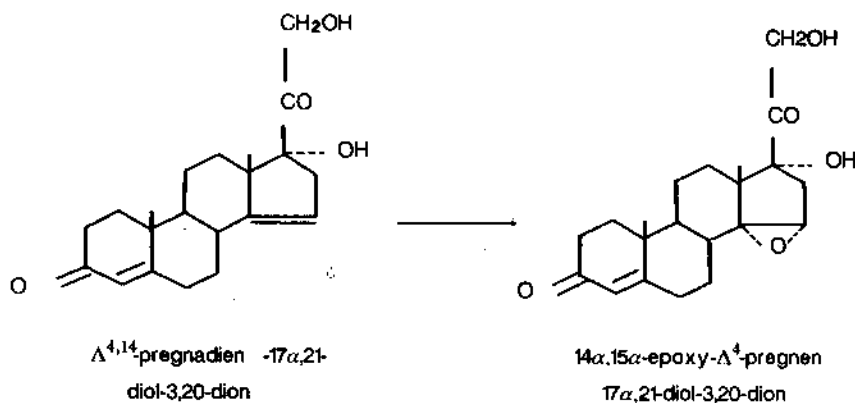
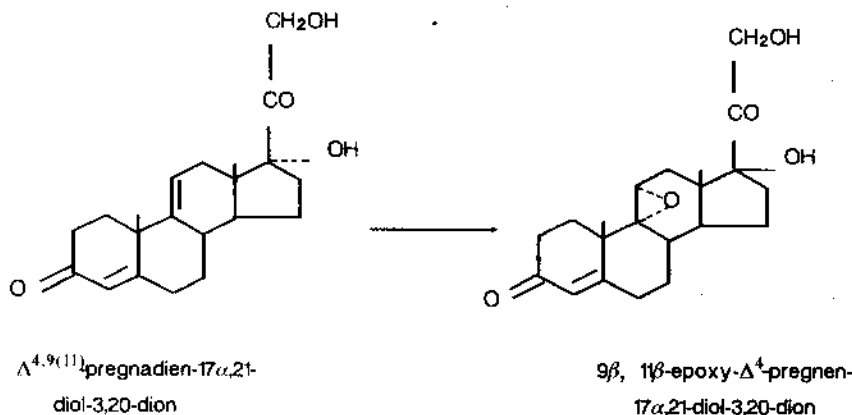
Cơ chất :  $\Delta^{4,9(11)}$ -pregnadien-17 $\alpha$ ,21-diol-3,20-dion

$\Delta^{4,14}$ -pregnadien-17 $\alpha$ ,21-diol-3,20-dion

TNBDSH : *Curvularia lunata*, *Cunninghamella blakesleeana*

SPBDSH : 9 $\beta$ ,11 $\beta$ -epoxy- $\Delta^4$ -pregnen-17 $\alpha$ ,21-diol-3,20-dion

14 $\alpha$ ,15 $\alpha$ -epoxy- $\Delta^4$ -pregnen-17 $\alpha$ ,21-diol-3,20-dion



Hình 2.56. Biến đổi sinh học tạo thành epoxid

- Phản ứng khử trong biến đổi sinh học

(1) Khử nhóm chức ceton thành nhóm chức rượu bậc 2

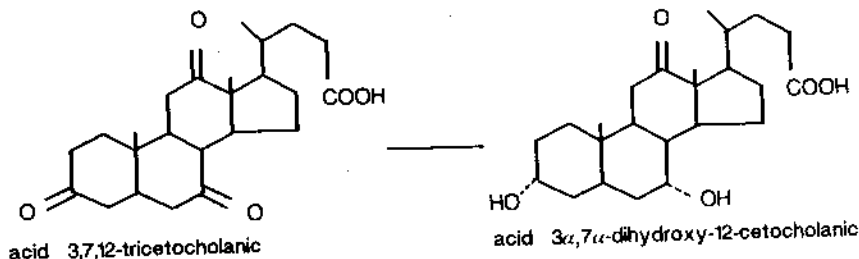


Phản ứng 38 (khử 3,7-ceto) :

Cơ chất : acid 3,7,12-tricetocholanic

TNBDSH : *Escherichia coli*

SPBDDSH : acid  $3\alpha,7\alpha$ -dihydroxy-12-cetocholanic



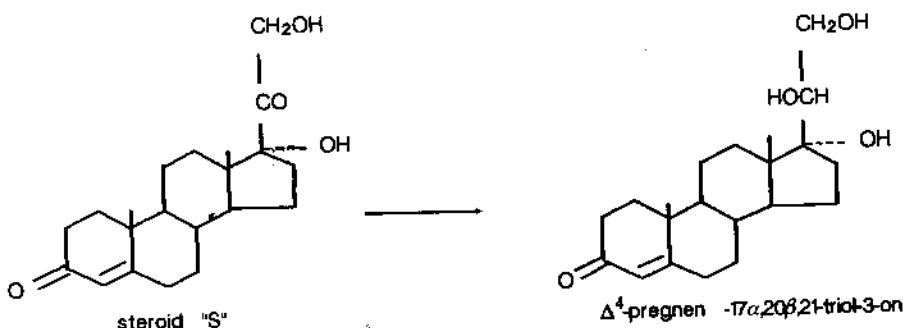
Hình 2.57. Biến đổi sinh học acid 3,7,12-tricetocholanic

Phản ứng 39 (khử 20-ceto) :

Cơ chất : hợp chất S của Rienschtein (deoxycortisol)

TNBDSH : *Fusarium* sp.

SPBDDSH :  $\Delta^4$ -pregnen- $17\alpha,20\beta,21$ -triol-3-on



Hình 2.58. Biến đổi sinh học hợp chất S

(2) Khử nhóm chức aldehyd của phân tử steroid thành nhóm chức rượu bậc I

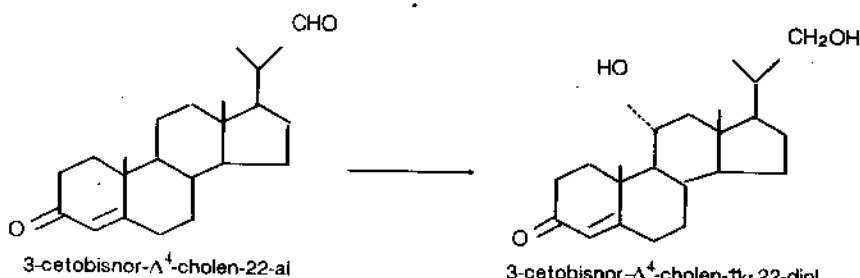


*Phản ứng 40 (khử 22-al)*

Cơ chất : 3-cetobisnor- $\Delta^4$ -cholen-22-al

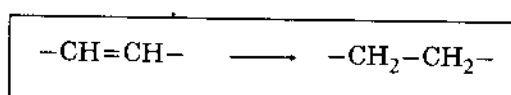
TNBDSH : *Rhizopus arrhizus*, *Penicillium lilacinum*

SPBDSH : 3-cetobisnor- $\Delta^4$ -cholen-11 $\alpha$ ,22-diol



Hình 2.59. Biến đổi sinh học 3-cetobisnor- $\Delta^4$ -cholen-22-al.

(3) *Hydrogen hóa vòng A ở vị trí 1-2 của phân tử steroid*

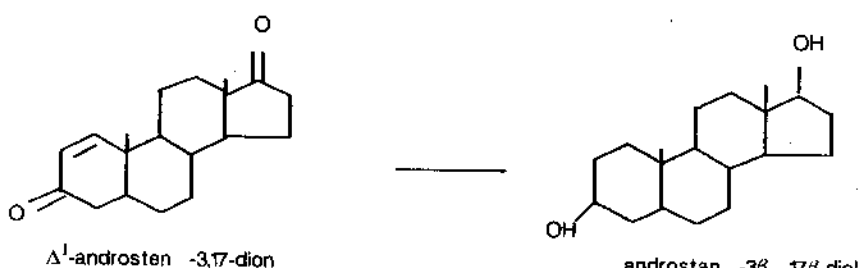


*Phản ứng 41 (khử  $\Delta^1$  đồng thời khử 17-ceto)*

Cơ chất :  $\Delta^1$  androsten-3,17-dion

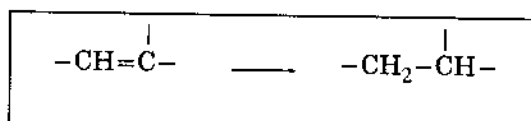
TNBDSH : *Saccharomyces cerevisiae*

SPBDSH : androstan-3 $\beta$ ,17 $\beta$ -diol



Hình 2.60. Biến đổi sinh học  $\Delta^1$ -androsten-3,17-dion

(4) *Hydrogen hóa vòng A ở vị trí 4-5 của phân tử steroid*

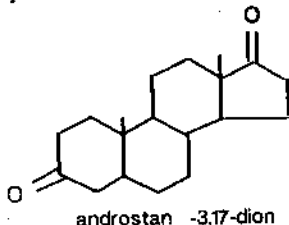
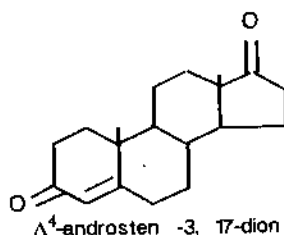


*Phản ứng 42 (khử  $\Delta^4$ )*

Cơ chất :  $\Delta^4$ -androsten-3,17-dion

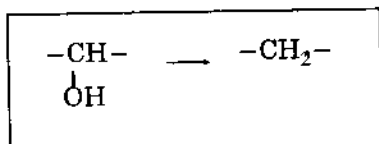
TNBDSH : *Clostridium lentoputrescens*

SPBDSH : androstan-3,17-dion



Hình 2.61. Biến đổi sinh học  $\Delta^4$ -androsten-3,17-dion

(5) *Loại nhóm rượu bắc 2*

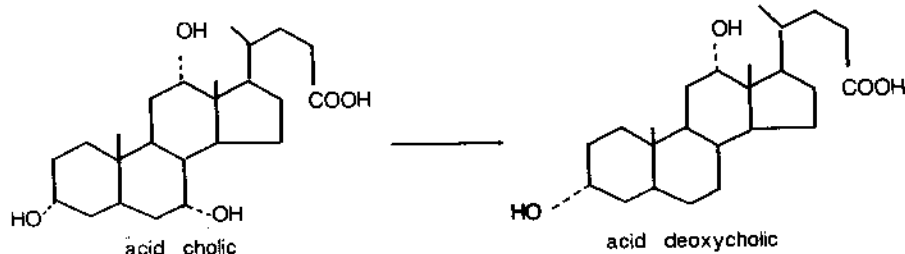


*Phản ứng 43 (loại 7-OH)*

Cơ chất : acid cholic

TNBDSH : vi sinh vật (không định loại)

SPBDSH : acid deoxycholic



Hình 2.62. Biến đổi sinh học acid cholic

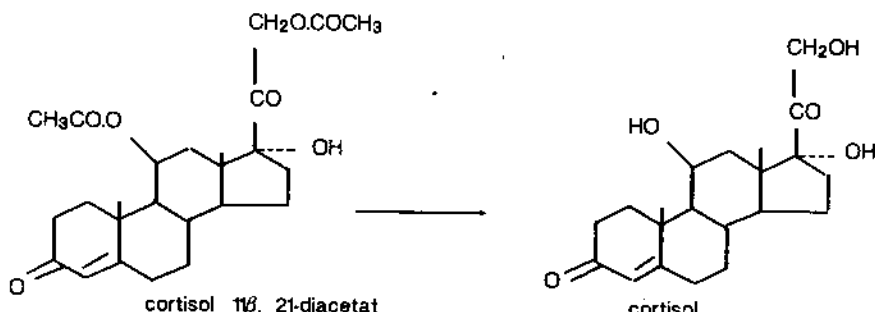
• *Phản ứng thủy phân trong biến đổi sinh học*

*Phản ứng 44 (xà phòng hóa este)* :

Cơ chất : cortisol 11 $\beta$ ,21-diacetat

TNBDSH : *Flavobacterium dehydrogenans* var.*hydrolyticum*

SPBDSH : Cortisol



Hình 2.63. Biến đổi sinh học cortisol 11 $\beta$ ,21-acetat

• Phản ứng este hóa trong biến đổi sinh học

Phản ứng 45 (acetyl hóa) :

Cơ chất : Testosteron

TNBDSH : *Saccharomyces fragilis*

SPBDSH : *Testosteron acetat*



Hình 2.64. Biến đổi sinh học testosteron

#### 4. PHẢN ỨNG BIẾN ĐỔI STEROID CỦA CÁC LOÀI VI SINH VẬT

Một số chi nấm có các phản ứng biến đổi sinh học đặc trưng như các chi *Fusarium*, *Alternaria*, *Stemphylium*, *Cladosporium*, *Humicola* và *Gilmaniella* (Capek và Cs, 1960, 1974, 1975). Các chi lân cận *Humicola* và *Gilmaniella* phân cách nhau bởi khả năng biến đổi progesteron thành  $\Delta^4$ -androsten-3,17-dion và testosterone bởi chi *Humicola* và thành các dẫn chất monohydroxy ở các vị trí 6 $\beta$ , 15 $\alpha$  bởi chi *Gilmaniella*. Ba chi lân cận *Alternaria*, *Stemphylium*, *Cladosporium* lân lượt phân cách nhau bởi

các phản ứng biến đổi progesteron thành các dẫn chất 1-dehydro,  $14\alpha$ -hydroxy,  $7\beta$ -hydroxy của cơ chất này (bảng 2.17).

**Bảng 2.17.** Sản phẩm biến đổi sinh học đặc trưng của progesteron bởi các chi *Humicola*, *Gilmaielia* và *Alternaria*, *Stemphylium*, *Cladosporium*

Chi nấm	Sản phẩm
<i>Humicola</i> <i>Gilmaielia</i>	$\Delta^4$ -andosten-3,17-dion $6\beta$ -hydroxy progesteron $15\alpha$ -hydroxyprogesteron
<i>Alternaria</i> <i>Stemphylium</i> <i>Cladosporium</i>	1-dehydroprogesteron $14\alpha$ -hydroxyprogesteron $7\beta$ -hydroxyprogesteron

Đối với mỗi loài vi sinh vật, các phản ứng biến đổi sinh học cũng có tính đặc trưng : có thể một phản ứng được thực hiện bởi nhiều loài, nhưng mỗi loài chỉ thực hiện một hoặc một số phản ứng nhất định. Một điều đáng chú ý là trong các phản ứng này, có trường hợp là các phản ứng đơn độc, có trường hợp một phản ứng kèm theo một số phản ứng khác (bảng 2.1).

**Bảng 2.18.** Các phản ứng đơn độc và các phản ứng cũng xảy ra trong biến đổi các steroid bởi các loài vi sinh vật

Phản ứng đơn độc	Các phản ứng cũng xảy ra
Hydroxy hóa (mono-di) Tạo thành -ceto Dehydro hóa : Oxy hóa-OH của vòng Tao thành 14-dien-3-on Tao dây nối kép ở vòng B Cắt dây nối C-C : Cắt một phân nhánh bên Tao thành -ceto hoặc -OH ở nhánh bên Cắt vòng D tạo thành vòng lacton Cắt vòng A tạo thành một acid Khử dây nối kép Khử -ceto của vòng Khử ở nhánh bên	Hydroxy hóa, cùng với : khử dây nối kép của vòng Khử các nhóm carbonyl : Oxy hóa -OH Cắt nhánh bên Cắt dây nối C-C : Oxy hóa nhánh bên cùng với : hydroxy hóa ở vòng Oxy hóa -OH Tao thành 14-dien-3-on Tao thành lacton ở vòng D Tao thành $17\beta$ -OH, $17\text{-CO}$ Khử dây nối kép và -ceto của vòng Oxy hóa -OH và khử -ceto của vòng

Như đã nói, mỗi loài thực hiện một hoặc một số phản ứng biến đổi sinh học nhất định. Bảng 2.19 trình bày các loài và các phản ứng thực hiện bởi mỗi loài (Những loài có dấu (+) là những loài vi nấm có ở Việt Nam).

**Bảng 2.19. Phản ứng biến đổi sinh học của các loài vi sinh vật (phản ứng được viết tắt, tên đầy đủ của phản ứng, xem bảng 2.1)**

Số thứ tự	Loài vi sinh vật	Phản ứng biến đổi sinh học
1	2	3
1	<i>Absidia coerulea</i>	HxI : $11\alpha$ -OH, $11\beta$ -OH O : $11\text{-OH} \rightarrow 11\text{-CO}$
2	<i>Absidia cylindrospora</i>	HxI : $11\alpha$ -OH, $11\beta$ -OH O : $11\text{-OH} \rightarrow 11\text{-CO}$
3	<i>Absidia glauca</i>	HxI : $11\alpha$ -OH, $11\beta$ -OH, $6\beta$ -OH O : $11\text{-OH} \rightarrow 11\text{-CO}$
4	<i>Absidia hyalospora</i>	HxI : $11\alpha$ -OH, $11\beta$ -OH, $6\beta$ -OH
5	<i>Absidia licheninii</i>	HxI : $11\alpha$ -OH, $11\beta$ -OH
6	<i>Absidia orchidis</i>	HxI : $11\alpha$ -OH, $5\beta$ -OH, $7\beta$ -OH, $11\alpha$ -OH, $11\beta$ -OH O : $11\text{-OH} \rightarrow 11\text{-CO}$
7	<i>Absidia ramosa</i>	HxI : $11\alpha$ -OH, $11\beta$ -OH, $6\beta$ -OH O : $11\text{-OH} \rightarrow 11\text{-CO}$
8	<i>Absidia regnieri</i>	HxI : $14\alpha$ -OH, $6\beta$ -OH, $7\beta$ -OH, $15\beta$ -OH
9	<i>Absidia repens</i>	HxI : $11\alpha$ -OH, $11\beta$ -OH
10	<i>Absidia</i> sp.	HxI : $7\alpha$ -OH, $11\text{-OH}$
11	<i>Absidia spinosa</i>	HxI : $11\alpha$ -OH, $11\beta$ -OH
12	<i>Absidia tieghemii</i>	HxI : $11\alpha$ -OH, $11\beta$ -OH
13	<i>Absidia turkestanica</i>	HxI : $11\alpha$ -OH, $11\beta$ -OH, $6\beta$ -OH O : $11\text{-OH} \rightarrow 11\text{-CO}$
14	<i>Actinomyces albidus</i>	HxI : $16\alpha$ -OH
15	<i>Actinomyces albus</i>	O : $17\alpha$ -OH $\rightarrow$ 17-CO
16	<i>Actinomyces annulatus</i>	HxI : $16\alpha$ -OH
17	<i>Actinomyces coeruleus</i>	HxI : $16\alpha$ -OH
18	<i>Actinomyces diastraticus</i>	HxI : $16\alpha$ -OH
19	<i>Actinomyces flaveolus</i>	HxI : $16\alpha$ -OH
20	<i>Actinomyces globisporus</i>	O : $3\beta$ -OH $\rightarrow$ 3-CO
21	<i>Actinomyces globosus</i>	HxI : $16\alpha$ -OH
22	<i>Actinomyces praecox</i>	HxI : $16\alpha$ -OH
23	<i>Actinomyces ruber</i>	HxI : $16\alpha$ -OH
24	<i>Actinomyces setonii</i>	HxI : $16\alpha$ -OH
25	<i>Actinomyces</i> sp.	HxI : $16\alpha$ -OH
26	<i>Actinomyces viridochromogenes</i>	O : $3\beta$ -OH, $12\alpha$ -OH $\rightarrow$ 3, 12-di-CO O : $3\beta$ -OH $\rightarrow$ 3-CO
27	<i>Actinomyces viridis</i>	HxI : $16\alpha$ -OH
28	<i>Acetobacter aerogenes</i>	O : $3\beta$ -OH $\rightarrow$ 3-CO
29	<i>Achromobacter</i> sp.	HxI : $6\beta$ -OH, $14\alpha$ -OH
30	<i>Achromobacter kashiwasakienisis</i>	HxI : $6\alpha$ -OH, $14\alpha$ -OH
31	<i>Alcaligenes faecalis</i>	O : $3\alpha$ -OH, $7\alpha$ -OH, $12\alpha$ -OH $\rightarrow$ 3, 7, 12-tri-CO

Bảng 2.19. (tiếp)

1	2	3
32	<i>Alcaligenes</i> sp.	D : 1 - 2 R : 20-CO → 29 $\alpha$ -OH
33	<i>Alternaria bataticola</i>	R : 3-CO → 3 $\beta$ -OH Hdg : 4 - 5
34	<i>Alternaria passiflorae</i>	D : 1 - 2, 4 - 5
35	<i>Arthrobacter simplex</i>	D : 1 - 2
36	<i>Aspergillus afficus</i>	O : 3 $\beta$ -OH → 3-CO Cl : 17 - 20
37	<i>Aspergillus amselodamii</i>	HxI : 1 $\alpha$ -OH, 15 $\beta$ -OH, 6 $\beta$ -OH
38	<i>Aspergillus atropurpureus</i>	O : 3 $\beta$ -OH → 3-CO HxI : 15 $\beta$ -OH
39	<i>Aspergillus awamori</i>	O : 3 $\beta$ -OH → 3-CO HxI : 1 $\alpha$ O : 3 $\beta$ -OH → 3-CO GI-GI :
40	<i>Aspergillus cæpitosus</i>	HxI : 15 $\beta$ -OH
41	<i>Aspergillus candidus</i> (+)	HxI : 1 $\alpha$ -OH, 15 $\beta$ -OH O : 3 $\beta$ -OH → 3-CO
42	<i>Aspergillus carbonarius</i>	HxI : 15 $\beta$ -OH
43	<i>Aspergillus chevalieri</i> (+)	HxI : 1 $\alpha$ -OH Cl : 17 - 20 CI-GI :
44	<i>Aspergillus chinanensis</i>	HxI : 15 $\beta$ -OH
45	<i>Aspergillus clavatus</i> (+)	O : 3 $\beta$ -OH → 3-CO HxI : 1 $\alpha$ -OH HxI : 15 $\beta$ -OH O : 3 $\beta$ -OH → 3-CO
46	<i>Aspergillus conicus</i>	HxI : 1 $\alpha$ -OH
47	<i>Aspergillus effusus</i>	HxI : 1 $\alpha$ -OH, O : 3 $\beta$ -OH → 3-CO
48	<i>Aspergillus echinulatus</i>	HxI : 1 $\alpha$ -OH
49	<i>Aspergillus elegans</i>	HxI : 15 $\beta$ -OH O : 3 $\beta$ -OH → 3-CO
50	<i>Aspergillus fischeri</i> (+)	HxI : 1 $\alpha$ -OH Cl : 17 - 20
51	<i>Aspergillus flavipes</i> (+)	HxI : 1 $\alpha$ -OH Cl : 17 - 20
52	<i>Aspergillus flavus</i> (+)	O : 3 $\beta$ -OH → 3-CO HxI : 1 $\alpha$ -OH Cl : 17 - 20 O : 3 $\beta$ -OH → 3-CO
53	<i>Aspergillus tumigatus</i> (+)	HxI : 1 $\alpha$ -OH, 11 $\beta$ -OH, 15 $\beta$ -OH O : 3 $\beta$ -OH → 3-CO
54	<i>Aspergillus giganteus</i> (+)	HxI : 11 $\alpha$ -OH, 15 $\beta$ -OH
55	<i>Aspergillus glaucus</i>	CI-GI :

Bảng 2.19. (tiếp)

1	2	3
56	<i>Aspergillus gracilis</i> (+)	HxI : 15 $\alpha$ -OH
57	<i>Aspergillus itaconicus</i>	HxI : 1 $\alpha$ -OH
58	<i>Aspergillus luchuensis</i>	HxI : 1 $\alpha$ -OH
59	<i>Aspergillus melaleucus</i>	HxI : 1 $\alpha$ -OH
60	<i>Aspergillus montevidensis</i>	HxI : 1 $\alpha$ -OH
61	<i>Aspergillus nidulans</i> (+)	HxI : 6 $\beta$ -OH, 1 $\alpha$ -OH HxI : 6 $\beta$ -OH, 1 $\alpha$ -OH
62	<i>Aspergillus niger</i> (+)	O : 3 $\beta$ -OH → 3-CO 1 $\alpha$ -OH → 1-CO GI-GI :
63	<i>Aspergillus niveo-glaucus</i>	HxI : 1 $\alpha$ -OH
64	<i>Aspergillus niveus</i> (+)	HxI : 1 $\alpha$ -OH
65	<i>Aspergillus ochraceus</i> (+)	HxI : 6 $\beta$ -OH, 1 $\alpha$ -OH
66	<i>Aspergillus oryzae</i> (+)	HxI : 1 $\alpha$ -OH CI : 17 - 20 S : 16, 17, 20, 21
67	<i>Aspergillus ostianus</i>	HxI : 15 $\alpha$ -OH
68	<i>Aspergillus parasiticus</i> (+)	HxI : 15 $\alpha$ -OH
69	<i>Aspergillus penicilloides</i>	C : 17 - 20
70	<i>Aspergillus phoenicis</i> (+)	CI-GI :
71	<i>Aspergillus rehmii</i>	HxI : 15 $\beta$ -OH
72	<i>Aspergillus restrictus</i> (+)	HxI : 15 $\beta$ -OH
73	<i>Aspergillus ruber</i> (+)	CI : 17 - 20
74	<i>Aspergillus saitoi</i>	HxI : 6 $\beta$ -OH, 1 $\alpha$ -OH
75	<i>Aspergillus sclerotiorum</i>	CL : 17 - 20
76	<i>Aspergillus</i> sp.	HxI : 6 $\beta$ -OH, 1 $\alpha$ -OH, 21-OH
77	<i>Aspergillus sydowi</i> (+)	HxI : 1 $\alpha$ -OH
78	<i>Aspergillus tamarii</i> (+)	HxI : 1 $\alpha$ -OH GI-GI :
79	<i>Aspergillus terreus</i> (+)	HxI : 6 $\beta$ -OH, 1 $\alpha$ -OH CI : 17 - 20 CI-GI :
80	<i>Aspergillus terricola</i> (+)	CI : 17 - 20
81	<i>Aspergillus usamii</i>	HxI : 1 $\alpha$ -OH
82	<i>Aspergillus ustus</i> (+)	HxI : 1 $\alpha$ -OH
83	<i>Aspergillus variecolor</i>	HxI : 1 $\alpha$ -OH
84	<i>Aspergillus versicolor</i> (+)	HxI : 1 $\alpha$ -OH
85	<i>Aspergillus wentii</i> (+)	HxI : 6 $\beta$ -OH, 1 $\alpha$ -OH CI-GI :
86	<i>Azotobacter agilis</i>	D : 1 - 2
87	<i>Azotobacter indicus</i>	D : 1 - 2
88	<i>Azotobacter</i> sp.	O : 3 $\beta$ -OH → 3-CO

Bảng 2.19. (tiếp)

1	2	3
89	<i>Azotomonas fluorescens</i>	D : 1 - 2
90	<i>Bacillus cereus</i>	HxI : 6 $\beta$ -OH, 11 $\alpha$ -OH, 14 $\alpha$ -OH
91	<i>Bacillus coli communis</i>	O : 3,12 $\alpha$ -di-OH $\rightarrow$ 3,12-di-CO
92	<i>Bacillus cyclo-oxydans</i>	D : 1 - 2
*		Ar :
93	<i>Bacillus fusiformis</i>	Sp : B
94	<i>Bacillus macerans</i>	D : 1 - 2
95	<i>Bacillus megatherium</i>	Ci-GI :
96	<i>Bacillus pulvifaciens</i>	HxI : 15 $\alpha$ -OH, 15 $\beta$ -OH
97	<i>Bacillus putrificus</i>	S : 21
98	<i>Bacillus</i> sp.	D : 1 - 2
99	<i>Bacillus sphaericus</i>	O : 3 $\beta$ -OH $\rightarrow$ 3-CO
100	<i>Bacillus subtilis</i>	Hdg : 4 - 5
101	<i>Bacterium coli</i>	R : 3-CO $\rightarrow$ 3 $\alpha$ -OH
102	<i>Bacterium cyclo-oxydans</i>	D : 1 - 2
103	<i>Bacterium</i> sp.	O : 3 $\beta$ -OH $\rightarrow$ 3-CO
104	<i>Beauveria</i> sp. (+)	D : 1 - 2
105	<i>Blakeslea trispora</i> (+)	R : 7-CO $\rightarrow$ 7-OH
106	<i>Botryodiplodia theobromae</i>	D : 1 - 2
107	<i>Botrytis cinerea</i> (+)	R : 20-CO $\rightarrow$ 20 $\beta$ -OH
108	<i>Botrytis peoniae</i>	O : 20 $\beta$ -OH $\rightarrow$ 20-CO
109	<i>Calonectria decora</i>	O : 3 $\beta$ -OH $\rightarrow$ 3-CO
		HxI : 6 $\beta$ -OH, 14 $\alpha$ -OH
		Hdg : 5 - 6
		HxI : 11 $\alpha$ -OH
		HxI : 6 $\beta$ -OH, 11 $\alpha$ -OH, 11 $\beta$ -OH
		O : 11 $\alpha$ -OH $\rightarrow$ 11-CO
		HxI : 11 $\alpha$ -OH
		HxI : 6 $\beta$ -OH, 11 $\beta$ -OH
		11 $\alpha$ -OH, 11 $\beta$ -OH
		15 $\beta$ -OH
		O : 11 $\alpha$ -OH $\rightarrow$ 11-CO
		HxI : 11 $\alpha$ -OH
		HxI : 11 $\alpha$ -OH, 11 $\beta$ -OH, 12 $\beta$ -OH
		15 $\alpha$ -OH, 15 $\beta$ -OH
110	<i>Candida pulcherrima</i>	D : 1 - 2
111	<i>Catenabacterium cateniforme</i>	D : 4 - 5
112	<i>Cephalosporium asperum</i>	O : 3 $\beta$ -OH $\rightarrow$ 3-CO
113	<i>Cephalosporium</i> sp. (+)	R : 22CO $\rightarrow$ 20 $\beta$ -OH
		R : 3-CO $\rightarrow$ 3 $\beta$ -OH
		HxI : 7 $\alpha$ -OH
		HxI : 7 $\alpha$ -OH

Bảng 2.19. (tiếp)

1	2	3
114	<i>Cephalosporium subverticillatum</i>	Cl : 17 - 20
115	<i>Cercospora melonis</i>	HxI : 8 $\beta$ -OH
116	<i>Chaetocladium breteleii</i>	HxI : 6 $\beta$ -OH
117	<i>Chaetomium cochlioides</i>	HxI : 6 $\beta$ -OH
118	<i>Chaetomium venustulum</i>	HxI : 6 $\beta$ -OH
119	<i>Chaetomium swainsoniae</i>	HxI : 6 $\beta$ -OH
120	<i>Choanephora circumscriptum</i> (+)	HxI : 6 $\beta$ -OH, 1 $\alpha$ -OH, 1 $\beta$ -OH
121	<i>Ciriella simplex</i>	HxI : 6 $\beta$ -OH, 1 $\alpha$ -OH, 1 $\beta$ -OH
122	<i>Circinella sp.</i>	HxI : 9 $\beta$ -OH, 14 $\alpha$ -OH
123	<i>Circinella spinosa</i>	HxI : 6 $\beta$ -OH, 1 $\alpha$ -OH
124	<i>Cladosporium resinace</i>	Cl : 17 - 20 E : 17 $\alpha$ -OH
125	<i>Cladosporium</i> sp. (+)	HxI : 7 $\alpha$ -OH
126	<i>Clostridium lentoputressens</i>	R : 17-CO → 17 $\beta$ -OH
127	<i>Clostridium paraputificum</i>	Hdg : 4 - 5 R : 3CO → 3 $\alpha$ -OH
128	<i>Clostridium terium</i>	Hdg : 15 $\alpha$ -OH R : 3CO → 3 $\alpha$ -OH
129	<i>Colletotrichum antirrhini</i>	HxI : 15 $\alpha$ -OH
130	<i>Colletotrichum atramentarium</i>	D : 1 - 2
131	<i>Colletotrichum lindemuthianum</i>	D : 1 - 2
132	<i>Colletotrichum phomoides</i>	HxI : 6 $\beta$ -OH, 11 $\beta$ -OH, 12 $\alpha$ -OH
133	<i>Colletotrichum pisi</i>	HxI : 11 $\beta$ -OH
134	<i>Coniothyrium helleboriniae</i>	HxI : 6 $\beta$ -OH, 7 $\alpha$ -OH, 11 $\beta$ -OH
135	<i>Coniothyrium</i> sp.	HxI : 11 $\alpha$ -OH, 11 $\beta$ -OH
136	<i>Coriolus versicolor</i>	HxI : 6 $\beta$ -OH, 14 $\alpha$ -OH
137	<i>Corticium centrifugum</i>	R : 17-CO → 17 $\beta$ -OH HxI : 6 $\beta$ -OH O : 16 $\beta$ -OH → 16-CO
138	<i>Corticium microsclerotia</i>	HxI : 11 $\beta$ -OH
139	<i>Corticium praticola</i>	HxI : 11 $\beta$ -OH
140	<i>Corticium sasakii</i>	HxI : 11 $\alpha$ -OH, 11 $\beta$ -OH
141	<i>Corticium vagum</i>	HxI : 11 $\alpha$ -OH, 11 $\beta$ -OH
142	<i>Corynebacterium helvolum</i>	D : 1 - 2
143	<i>Corynebacterium hoagii</i>	D : 1 - 2
144	<i>Corynebacterium mediolanum</i>	D : 1 - 2 O : 3 $\beta$ -OH → 3-CO
145	<i>Corynebacterium simplex</i>	D : 1 - 2 R : 20-CO → 20 $\beta$ -OH O : 3 $\beta$ -OH → 3-CO 20 $\beta$ -OH → 20-CO

Bảng 2.19. (tiếp)

1	2	3
146	<i>Corynebacterium</i> sp.	D : 1 - 2
147	<i>Corynium cardinalis</i>	HxI : 1 $\alpha$ -OH
148	<i>Cucurbitaria laburni</i>	HxI : 17 $\alpha$ -OH
149	<i>Cunninghamella albidia</i>	HxI : 6 $\beta$ -OH, 1 $\alpha$ -OH, 1 $\beta$ -OH
150	<i>Cunninghamella striatula</i>	HxI : 1 $\alpha$ -OH, 1 $\beta$ -OH O : 11-OH → 11-CO
151	<i>Cunninghamella bertholdiae</i>	HxI : 9 $\alpha$ -OH
152	<i>Cunninghamella blakesleiana</i>	HxI : 6 $\beta$ -OH, 9 $\alpha$ -OH 1 $\alpha$ -OH, 1 $\beta$ -OH, 14 $\alpha$ -OH Ep : 9-11, 14 $\alpha$ , 15 $\alpha$
153	<i>Cunninghamella echinulata</i>	HxI : 6 $\beta$ -OH, 9 $\alpha$ -OH 1 $\alpha$ -OH, 1 $\beta$ -OH O : 11-OH → 11-CO
154	<i>Cunninghamella elegans</i>	HxI : 6 $\beta$ -OH, 9 $\alpha$ -OH 1 $\alpha$ -OH, 1 $\beta$ -OH, 14 $\alpha$ -OH O : 11-OH → 11-CO
155	<i>Cunninghamella homothallica</i>	HxI : 6 $\beta$ -OH, 1 $\alpha$ -OH, 1 $\beta$ -OH O : 11-OH → 11-CO
156	<i>Cunninghamella ramosa</i>	HxI : 6 $\beta$ -OH, 1 $\alpha$ -OH, 1 $\beta$ -OH O : 11-OH → 11-CO
157	<i>Cunninghamella verticillata</i>	HxI : 1 $\beta$ -OH, 1 $\alpha$ -OH, 9 $\alpha$ -OH O : 11-OH → 11-CO
158	<i>Curvularia brachyspora</i> (+)	HxI : 1 $\beta$ -OH
159	<i>Curvularia falcatae</i>	HxI : 7 $\alpha$ -OH, 1 $\beta$ -OH
160	<i>Curvularia fallax</i> (+)	HxI : 7 $\alpha$ -OH
161	<i>Curvularia geniculata</i> (+)	HxI : 1 $\beta$ -OH
162	<i>Curvularia lunata</i> (+)	HxI : 6 $\beta$ -OH, 7 $\alpha$ -OH, 9 $\alpha$ -OH 10 $\beta$ -OH 11 $\alpha$ -OH, 1 $\beta$ -OH 14 $\alpha$ -OH, 15 $\beta$ -OH 21-OH Ep : 1 $\beta$ -9 $\alpha$ , 11 $\alpha$ -15 $\alpha$ R : 20-CO → 20 $\beta$ -OH O : 11-OH → 11-CO HxI : 1 $\beta$ -OH
163	<i>Curvularia maculans</i>	HxI : 1 $\beta$ -OH
164	<i>Curvularia pallens</i> (+)	HxI : 7 $\alpha$ -OH, 8 $\beta$ -OH 1 $\beta$ -OH, 14 $\alpha$ -OH
165	<i>Curvularia</i> sp.	HxI : 7 $\alpha$ -OH, 1 $\beta$ -OH Ep : 9 $\alpha$ -11 $\alpha$
166	<i>Curvularia tritoli</i>	HxI : 1 $\beta$ -OH
167	<i>Cylindrocarpon radicicola</i>	D : 1 - 2 Cl : 17 - 20
168	<i>Dactylium dendroides</i>	HxI : 1 $\alpha$ -OH, 17 $\alpha$ -OH
169	<i>Delacroixia coronata</i>	HxI : 1 $\alpha$ -OH
170	<i>Didymella lycopersici</i>	D : 1 - 2

Bảng 2.19. (tiếp)

1	2	3
171	<i>Didymella volakii</i>	HxI : $16\alpha$ -OH
172	<i>Didymocladium ternatum</i> *	HxI : $1\alpha$ -OH
173	<i>Diplodia natalensis</i>	HxI : $7\beta$ -OH
174	<i>Diptodia tubericola</i>	HxI : $7\beta$ -OH
175	<i>Dottichia</i> sp.	HxI : $1\beta$ -OH
176	<i>Epicoccum oryzae</i>	R : 20-CO $\rightarrow$ 20 $\beta$ -OH
177	<i>Eremothecium ashbyi</i>	O : 3 $\beta$ -OH $\rightarrow$ 3-CO
178	<i>Escherichia coli</i>	R : 7-CO $\rightarrow$ 7 $\alpha$ -OH
179	<i>Escherichia freundii</i>	O : 3 $\alpha$ -OH $\rightarrow$ 3-CO
180	<i>Eurotium chevalieri</i> (+)	HxI : $1\alpha$ -OH
181	<i>Flavobacterium androstendionicum</i>	O : 3 $\beta$ -OH $\rightarrow$ 3-CO
182	<i>Flavobacterium carbonilicium</i>	O : 3 $\beta$ -OH $\rightarrow$ 3-CO
183	<i>Flavobacterium dehydrogenans</i>	O : 3 $\beta$ -OH $\rightarrow$ 3-CO $17\beta$ -OH $\rightarrow$ 17-CO R : 20-CO $\rightarrow$ 20 $\alpha$ -OH S : $1\beta$ , 21 S : 3 $\beta$
184	<i>Flavobacterium dehydrogenans</i> var. <i>hydrolyticum</i>	O : 3 $\beta$ -OH $\rightarrow$ 3-CO
185	<i>Flavobacterium maris</i>	O : 3 $\beta$ -OH $\rightarrow$ 3-CO
186	<i>Flavobacterium</i> sp.	Cl-GI : HxI : 6 $\beta$ -OH, 15 $\alpha$ -OH
187	<i>Fusarium avenaceum</i> (+)	HxI :
188	<i>Fusarium avenaceum</i> var. <i>herbarum</i>	HxI : 6 $\beta$ -OH, 15 $\alpha$ -OH
189	<i>Fusarium aquaeductum</i>	HxI : 6 $\beta$ -OH, 15 $\alpha$ -OH
190	<i>Fusarium aquaeductum</i> var. <i>dimerum</i>	HxI : 6 $\beta$ -OH, 15 $\alpha$ -OH
191	<i>Fusarium bulbigenum</i> (+)	D : 1 - 2 HxI : 1 $\alpha$ -OH
192	<i>Fusarium buxicola</i>	HxI : 6 $\beta$ -OH, 15 $\alpha$ -OH
193	<i>Fusarium caucasicum</i>	D : 1 - 2 Cl : 17 - 20
194	<i>Fusarium cocophilum</i>	HxI : 6 $\beta$ -OH, 15 $\alpha$ -OH
195	<i>Fusarium culmorum</i> (+)	HxI : 6 $\beta$ -OH, 11 $\alpha$ -OH, 15 $\alpha$ -OH
196	<i>Fusarium dimerum</i> (+)	HxI : 6 $\beta$ -OH
197	<i>Fusarium discolor</i>	HxI : 1 $\alpha$ -OH
198	<i>Fusarium equiseti</i> var. <i>bullatum</i>	HxI : 1 $\alpha$ -OH
199	<i>Fusarium expansum</i>	HxI : 6 $\beta$ -OH, 15 $\alpha$ -OH
200	<i>Fusarium gibbosum</i>	HxI : 6 $\beta$ -OH, 15 $\alpha$ -OH
201	<i>Fusarium gibbosum</i> var. <i>acuminatum</i>	HxI : 6 $\beta$ -OH, 15 $\alpha$ -OH
202	<i>Fusarium gigas</i>	HxI : 6 $\beta$ -OH, 15 $\alpha$ -OH
203	<i>Fusarium graminearum</i> (+)	HxI : 6 $\beta$ -OH, 15 $\alpha$ -OH
204	<i>Fusarium heterosporum</i>	HxI : 6 $\beta$ -OH, 15 $\alpha$ -OH, 1 $\alpha$ -OH

\* Chi *Didymocladium* đã trở thành tên đồng nghĩa (syn.) của chi *Cladobotryum* Nees (Ainsworth và Cs., 1971).

Bảng 2.19. (tiếp)

1	2	3
205	<i>Fusarium javanicum</i>	HxI : 6 $\beta$ -OH, 15 $\alpha$ -OH D : 1-2
206	<i>Fusarium javanicum</i> var. <i>ensiforme</i>	D : 1-2
207	<i>Fusarium lateritium</i> (+)	CI : 17-20 D : 1-2
208	<i>Fusarium lini</i>	HxI : 12 $\beta$ -OH, 15 $\alpha$ -OH D : 1-2 S : 3 $\beta$
209	<i>Fusarium lycopersici</i>	HxI : 6 $\beta$ -OH, 15 $\alpha$ -OH
210	<i>Fusarium macroceras</i>	HxI : 6 $\beta$ -OH, 15 $\alpha$ -OH
211	<i>Fusarium merismoides</i> (+)	HxI : 6 $\beta$ -OH, 15 $\alpha$ -OH
212	<i>Fusarium microcrea</i>	HxI : 6 $\beta$ -OH, 15 $\alpha$ -OH
213	<i>Fusarium moniliforme</i> (+)	HxI : 6 $\beta$ -OH, 15 $\alpha$ -OH
214	<i>Fusarium moniliforme</i> var. <i>subglutinans</i> (+)	HxI : 6 $\beta$ -OH, 15 $\alpha$ -OH
215	<i>Fusarium moniliforme</i> var. <i>tactis</i>	HxI : 6 $\beta$ -OH, 15 $\alpha$ -OH
216	<i>Fusarium nivale</i> (+)	HxI : 6 $\beta$ -OH, 15 $\alpha$ -OH
217	<i>Fusarium oxysporum</i> (+)	HxI : 6 $\beta$ -OH, 15 $\alpha$ -OH, 11 $\alpha$ -OH D : 1-2
218	<i>Fusarium oxysporum</i> var. <i>orthoceras</i>	HxI : 6 $\beta$ -OH, 15 $\alpha$ -OH
219	<i>Fusarium redolens</i>	HxI : 11 $\alpha$ -OH
220	<i>Fusarium reticulatum</i>	HxI : 11 $\alpha$ -OH
221	<i>Fusarium sambucinum</i>	HxI : 6 $\beta$ -OH, 15 $\alpha$ -OH, 11 $\alpha$ -OH
222	<i>Fusarium sarcochroum</i>	HxI : 6 $\beta$ -OH, 15 $\alpha$ -OH
223	<i>Fusarium semitectum</i> (+)	HxI : 6 $\beta$ -OH, 15 $\alpha$ -OH
224	<i>Fusarium solani</i> (+)	HxI : 11 $\alpha$ -OH, 15 $\alpha$ -OH D : 1-2 CI : 17-20
225	<i>Fusarium solani</i> var. <i>aduncisporum</i>	R : 20-CO → 20 $\beta$ -OH
226	<i>Fusarium solani</i> var. <i>argilaccum</i>	HxI : 6 $\beta$ -OH, 15 $\alpha$ -OH
227	<i>Fusarium solani</i> var. <i>coeruleum</i>	HxI : 6 $\beta$ -OH, 15 $\alpha$ -OH
228	<i>Fusarium solani</i> var. <i>redolens</i>	HxI : 6 $\beta$ -OH, 15 $\alpha$ -OH
229	<i>Fusarium</i> sp.	HxI : 6 $\beta$ -OH O : 3 $\beta$ -OH → 3-CO
230	<i>Fusarium sphaeria</i>	HxI : 6 $\beta$ -OH, 15 $\alpha$ -OH
231	<i>Fusarium sporotrichiella</i>	HxI : 6 $\beta$ -OH, 15 $\alpha$ -OH
232	<i>Fusarium sporotrichiella</i> var. <i>poae</i>	HxI : 6 $\beta$ -OH, 15 $\alpha$ -OH
233	<i>Fusarium zonatum</i>	D : 1-2
234	<i>Fusidium</i> sp.	HxI : 7 $\alpha$ -OH
235	<i>Gibberella</i> <i>baccata</i>	HxI : 15 $\alpha$ -OH
236	<i>Gibberella</i> <i>tulikuroi</i>	O : 3 $\beta$ -OH → 3-CO
237	<i>Gibberella</i> <i>saubinetti</i>	HxI : 6 $\beta$ -OH, 12 $\beta$ -OH, 15 $\alpha$ -OH

\* Chi *Fusidium* Link ex Fr. đã trở thành syn. của chi *Cylindrocarpon* Wollenw. (Ainsworth và Gams, 1971)

Bảng 2.19. (tiếp)

1	2	3
238	<i>Gibberella</i> sp.	S : 3β
239	<i>Cliocladium catenulatum</i>	HxI : 6β-OH, 15α-OH HxI : 6β-OH CI : 17-20 D : 1-2
240	<i>Cliocladium roseum</i>	D : 1-2
241	<i>Gloesporium kaki</i>	HxI : 6β-OH, 11α-OH
242	<i>Glomerella lagenarium</i>	HxI : 6β-OH, 11α-OH
243	<i>Cilomerella</i> sp.	HxI : 11α-OH
244	<i>Gongronella urceolifera</i>	HxI : 11α-OH
245	<i>Haplosporella</i> sp.	HxI : 6β-OH, 7β-OH, 15β-OH HxI : 7α-OH, 9α-OH
246	<i>Helicostylum piriforme</i>	11α-OH, 14α-OH  Ep : 14α, 15α O : 11β-OH → 11-CO, 7β-OH → 7-CO
247	<i>Helminthosporium sativum</i>	HxI : 7α-OH, 7β-OH 14α-OH, 15α-OH, 15β-OH
248	<i>Helminthosporium</i> sp. (+)	HxI : 7α-OH, 7β-OH 14α-OH, 15α-OH, 15β-OH
249	<i>Helminthosporium turicum</i>	D : 1-2
250	<i>Hendersonia aberrans</i>	HxI : 21-OH
251	<i>Hendersonia acicola</i>	HxI : 21-OH
252	<i>Hendersonia herpotricha</i>	HxI : 21-OH
253	<i>Hendersonia phragmitis</i>	HxI : 21-OH
254	<i>Hendersonia rubi</i>	HxI : 21-OH
255	<i>Hormodendrum hordii</i> *	HxI : 11α-OH
256	<i>Hendersonia olivaceum</i>	HxI : 15α-OH
257	<i>Hendersonia pallidum</i>	HxI : 11α-OH
258	<i>Hendersonia viride</i>	HxI : 15α-OH
259	<i>Hypholoma</i> sp.	HxI : 15α-OH
260	<i>Lenzites abietina</i>	HxI : 15β-OH
261	<i>Leptosphaeria maculans</i>	HxI : 17α-OH
262	<i>Lichtheimia corymbifera</i> *	HxI : 11α-OH, 11β-OH
263	<i>Lichtheimia ramosa</i>	HxI : 11α-OH, 11β-OH
264	<i>Lophotrichus martinii</i>	HxI : 17α-OH
265	<i>Melanospora parasitica</i>	HxI : 17α-OH
266	<i>Micrococcus dehydrogenans</i>	O : 3β-OH → 3-CO
267	<i>Micromonospora chalcea</i>	D : 1-2
268	<i>Mortierella alphina</i>	HxI : 1-OH

\* Chi *Lichtheimia* đã trở thành syn. của chi *Absidia* v.Tiegh. (Ainsworth và Cs., 1971).Chi *Hormodendrum* đã trở thành syn. của chi *Cladosporium* Link ex Fr. (Ainsworth và Cs., 1971).

Bảng 2.19. (tiếp)

1	2	3
269	<i>Mortierella bainieri</i>	HxI : 1-OH
270	<i>Mortierella candelabrum</i>	HxI : 1-OH
271	<i>Mortierella marburgensis</i>	HxI : 1-OH
272	<i>Mortierella polycephala</i>	HxI : 1-OH
273	<i>Mortierella pusilla</i> var. <i>isobellina</i>	HxI : 1-OH
274	<i>Mortierella tuberosa</i>	HxI : 1-OH
275	<i>Mortierella zonata</i>	HxI : 1-OH
276	<i>Mucor adriaticus</i>	HxI : 6 $\beta$ -OH, 1 $\alpha$ -OH
277	<i>Mucor adventitius</i>	HxI : 6 $\beta$ -OH, 1 $\alpha$ -OH
278	<i>Mucor angulisperorus</i>	HxI : 6 $\beta$ -OH, 1 $\alpha$ -OH
280	<i>Mucor berolinensis</i>	HxI : 6 $\beta$ -OH
281	<i>Mucor buntingii</i>	HxI : 6 $\beta$ -OH
282	<i>Mucor circinelloides</i>	HxI : 6 $\beta$ -OH
283	<i>Mucor corymbifer</i>	HxI : 6 $\beta$ -OH, 14 $\alpha$ -OH
284	<i>Mucor dimorphosporus</i>	HxI : 6 $\beta$ -OH
285	<i>Mucor dubius</i>	HxI : 6 $\beta$ -OH, 1 $\alpha$ -OH
286	<i>Mucor erectus</i>	HxI : 6 $\beta$ -OH, 1 $\alpha$ -OH
287	<i>Mucor genevensis</i>	HxI : 6 $\beta$ -OH, 1 $\alpha$ -OH, 1 $\beta$ -OH
288	<i>Mucor globosus</i>	HxI : 6 $\beta$ -OH, 1 $\alpha$ -OH, 1 $\beta$ -OH
289	<i>Mucor griseo-cyanus</i>	HxI : 9 $\alpha$ -OH, 14 $\alpha$ -OH
		Ep : 14 $\alpha$ -15 $\alpha$
290	<i>Mucor guillermondi</i>	HxI : 7 $\alpha$ -OH, 14 $\alpha$ -OH
291	<i>Mucor hiemalis</i>	HxI : 6 $\beta$ -OH
292	<i>Mucor humicola</i>	HxI : 6 $\beta$ -OH, 1 $\alpha$ -OH
293	<i>Mucor humilis</i>	HxI : 6 $\beta$ -OH
294	<i>Mucor hypochinicus</i>	HxI : 6 $\beta$ -OH
295	<i>Mucor javanicus</i>	HxI : 6 $\beta$ -OH, 1 $\alpha$ -OH
296	<i>Mucor mandshuricus</i>	HxI : 6 $\beta$ -OH, 1 $\alpha$ -OH
297	<i>Mucor microsporus</i>	HxI : 6 $\beta$ -OH, 1 $\alpha$ -OH
298	<i>Mucor mucedo</i> (+)	HxI : 6 $\beta$ -OH, 1 $\alpha$ -OH, 14 $\alpha$ -OH Cl : 17-20
299	<i>Mucor murorum</i>	HxI : 6 $\beta$ -OH
300	<i>Mucor parasiticus</i>	HxI : 5 $\beta$ -OH, 6 $\beta$ -OH, 7 $\beta$ -OH 9 $\alpha$ -OH, 1 $\alpha$ -OH, 14 $\alpha$ -OH Ep : 14 $\alpha$ , 15 $\alpha$ O : 3 $\beta$ -OH → 3-CO
301	<i>Mucor piriformis</i>	HxI : 6 $\beta$ -OH
302	<i>Mucor plumbens</i>	HxI : 6 $\beta$ -OH, 1 $\alpha$ -OH
303	<i>Mucor pusillus</i>	HxI : 6 $\beta$ -OH, 1 $\alpha$ -OH, 1 $\beta$ -OH
304	<i>Mucor racemosus</i> (+)	HxI : 6 $\beta$ -OH, 1 $\alpha$ -OH
305	<i>Mucor ramamianus</i>	HxI : 6 $\beta$ -OH, 1 $\alpha$ -OH
306	<i>Mucor rouxianus</i>	HxI : 6 $\beta$ -OH, 1 $\alpha$ -OH
307	<i>Mucor varians</i>	HxI : 6 $\beta$ -OH

Bảng 2.19. (tiếp)

1	2	3
308	<i>Mycobacterium berolinensis</i>	HxI : 14 $\alpha$ -OH D : 1-2
309	<i>Mycobacterium buryricum</i>	HxI : 14 $\alpha$ -OH D : 1-2
310	<i>Mycobacterium flavum</i>	D : 1-2 R : 20-CC → 20 $\beta$ -OH Cl : 17-20
311	<i>Mycobacterium fortuitum</i>	D : 1-2 Ar : Sp : B
312	<i>Mycobacterium friedmannii</i>	D : 1-2 HxI : 14 $\alpha$ -OH
313	<i>Mycobacterium lacticola</i>	D : 1-2 HxI : 14 $\alpha$ -OH
314	<i>Mycobacterium phlei</i>	R : 20-CO → 20 $\beta$ -OH D : 1-2
315	<i>Mycobacterium ranaceum</i>	HxI : 14 $\alpha$ -OH D : 1-2
316	<i>Mycobacterium rhodochrous</i>	HxI : 14 $\alpha$ -OH D : 1-2 O : 3 $\beta$ -OH → 3-CO, 20 $\beta$ -OH → 20-CO Cl : 20-27 Ar : Sp : B
317	<i>Mycobacterium rubropertinctum</i>	D : 1-2
318	<i>Mycobacterium smegmatis</i>	D : 1-2 Ar : HxI : 14 $\alpha$ -OH Sp : B
319	<i>Mycobacterium sp.</i>	D : 1-2 HxI : 14 $\alpha$ -OH Sp : B D : 1-2
320	<i>Mycobacterium thamnophykos</i>	HxI : 14 $\alpha$ -OH O : 3 $\beta$ -OH → 3-CO R : 20-CO → 20 $\beta$ -OH D : 1-2
321	<i>Mycobacterium tuberculosis</i>	HxI : 14 $\alpha$ -OH D : 1-2 Ar : Sp : B
322	<i>Mycocladus hyalinus</i> *	HxI : 14 $\alpha$ -OH
323	<i>Mycobacterium roridum</i> (+)	HxI : 14 $\alpha$ -OH, 11 $\beta$ -OH
324	<i>Naematoloma sublateritium</i> *	HxI : 6 $\beta$ -OH, 14 $\alpha$ -OH

\* Chi *Mycocladus* Beauv. đã trở thành syn. của chi *Absidia* v. Tiegh.

Chi *Nematoloma* Karst. đã trở thành syn. của chi *Hypholoma* Fr. (Kummer) (Ainsworth và Cs., 1971)

Bảng 2.19. (tiếp)

1	2	3
325	<i>Neurospora crassa</i>	HxI : 9 $\alpha$ -OH
326	<i>Neurospora sitophila</i>	HxI : 1 $\alpha$ -OH
327	<i>Nigrospora oryzae</i> (+)	HxI : 1 $\alpha$ -OH, 15 $\beta$ -OH
328	<i>Nigrospora</i> sp.	HxI : 1 $\alpha$ -OH, 15 $\beta$ -OH
329	<i>Nigrospora sphaerica</i> (+)	HxI : 1 $\alpha$ -OH, 15 $\beta$ -OH O : 3 $\beta$ -OH $\rightarrow$ 3-CO
330	<i>Nocardia asteroides</i>	D : 1-2
331	<i>Nocardia aurantia</i>	D : 1-2
332	<i>Nocardia blackwelii</i>	D : 1-2
333	<i>Nocardi brasiliensis</i>	D : 1-2
334	<i>Nocardia caviae</i>	D : 1-2
335	<i>Nocardia coeliaca</i>	D : 1-2
336	<i>Nocardia convoluta</i>	D : 1-2
337	<i>Nocardia corallina</i>	D : 1-2 HxI : 9 $\alpha$ -OH Cl : 17-20
338	<i>Nocardia cuniculi</i>	D : 1-2
339	<i>Nocardia erythropolis</i>	D : 1-2
340	<i>Nocardia farcinica</i>	D : 1-2
341	<i>Nocardia formica</i>	D : 1-2
342	<i>Nocardia gardneri</i>	D : 1-2
343	<i>Nocardia globerculata</i>	D : 1-2
344	<i>Nocardia leishmanii</i>	D : 1-2
345	<i>Nocardia madurae</i>	D : 1-2
346	<i>Nocardia minima</i>	D : 1-2
347	<i>Nocardia opaca</i>	D : 1-2
348	<i>Nocardia polychromogenes</i>	D : 1-2
349	<i>Nocardia restrictus</i>	D : 1-2 Ar : Sp : B HxI : 9 $\alpha$ -OH
350	<i>Nocardia rubra</i>	D : 1-2
351	<i>Nocardia salmonicolor</i>	D : 1-2
352	<i>Nocardia</i> sp.	D : 1-2 Ar : Sp : B HxI : 9 $\alpha$ -OH Cl : 17-20 O : 3 $\alpha$ -OH $\rightarrow$ 3-CO
353	<i>Nocardia sylvicola</i>	D : 1-2
354	<i>Nocardia transvalensis</i>	D : 1-2
355	<i>Ophiobolus herpotrichus</i>	HxI : 21-OH
356	<i>Ophiobolus miyabeanus</i>	D : 1-2
357	<i>Ophiobolus</i> sp.	HxI : 21-OH

Bảng 2.19. (tiếp)

1	2	3
358	<i>Penicillium adametzi</i>	Cl : 17-20
359	<i>Penicillium albidum</i>	Cl : 17-20
360	<i>Penicillium asperum</i>	Cl : 17-20
361	<i>Penicillium atramentosum</i>	HxI : 11 $\alpha$ -OH
362	<i>Penicillium canescens</i> (+)	Cl : 17-20
363	<i>Penicillium citreo-viride</i> (+)	Cl : 17-20
364	<i>Penicillium citrinum</i> (+)	Cl : 17-20
365	<i>Penicillium commune</i>	HxI : 11 $\alpha$ -OH
366	<i>Penicillium corylophilum</i> (+)	Cl : 17-20 HxI : 11 $\alpha$ -OH
367	<i>Penicillium cyaneofulvum</i>	Cl : 17-20
368	<i>Penicillium cyclopium</i>	Cl-GI :
369	<i>Penicillium daleae</i>	Cl : 17-20
370	<i>Penicillium decumbens</i> (+)	Cl : 17-20
371	<i>Penicillium diversum</i>	HxI : 15 $\beta$ -OH
372	<i>Penicillium egyptaceum</i>	Cl : 17-20
373	<i>Penicillium chlrichii</i>	HxI : 11 $\alpha$ -OH
374	<i>Penicillium frequentans</i> (+)	Cl : 17-20
375	<i>Penicillium fuscum</i>	Cl : 17-20
376	<i>Penicillium godlewskii</i>	Cl : 17-20
377	<i>Penicillium chrysogenum</i> (+)	O : 3 $\beta$ -OH → 3-CO HxI : 11 $\alpha$ -OH Cl-GI :
378	<i>Penicillium implicatum</i> (+)	Cl : 17-20
379	<i>Penicillium Janthinellum</i> (+)	Cl : 17-20
380	<i>Penicillium Javanicum</i> (+)	Cl : 17-20
381	<i>Penicillium Jensenii</i> (+)	Cl : 17-20
382	<i>Penicillium kapuscinskii</i>	Cl : 17-20
383	<i>Penicillium lilacinum</i> (+)	Cl : 17-20 R : 20-CO → 20 $\beta$ -OH HxI : 11 $\alpha$ -OH
384	<i>Penicillium lividum</i> (+)	Cl : 17-20
385	<i>Penicillium maclearginum</i>	Cl : 17-20
386	<i>Penicillium melinii</i>	Cl : 17-20
387	<i>Penicillium miczynskii</i> (+)	Cl : 17-20
388	<i>Penicillium multicolor</i> (+)	Cl : 17-20
389	<i>Penicillium nalgiovensis</i> (+)	Cl : 17-20
390	<i>Penicillium nigricans</i>	Cl : 17-20
391	<i>Penicillium notatum</i> (+)	Cl : 17-20 HxI : 15 $\alpha$ -OH
392	<i>Penicillium ochro-chlorum</i>	Cl : 17-20
393	<i>Penicillium oxalicum</i> (+)	HxI : 11 $\alpha$ -OH
394	<i>Penicillium parvum</i>	Cl : 17-20
395	<i>Penicillium piscarium</i>	Cl : 17-20

Bảng 2.19. (tiếp)

1	2	3
396	<i>Penicillium psitacimun</i>	Cl : 17-20
397	<i>Penicillium pulvillorum</i>	Cl : 17-20
398	<i>Penicillium purpureescens</i>	Cl : 17-20
399	<i>Penicillium pusillum</i>	Cl : 17-20
400	<i>Penicillium raciborskii</i>	Cl : 17-20
401	<i>Penicillium raistrickii</i> (+)	Cl : 17-20
402	<i>Penicillium restrictum</i>	Cl : 17-20
403	<i>Penicillium restriculoseum</i>	Cl : 17-20
404	<i>Penicillium rugulosum</i> (+)	HxI : 15 $\beta$ -OH
405	<i>Penicillium sclerotiorum</i>	Cl : 17-20
406	<i>Penicillium simplicissimum</i> (+)	Cl : 17-20
407	<i>Penicillium soppi</i>	Cl : 17-20
408	<i>Penicillium</i> sp.	Cl : 17-20 HxI : 2 $\beta$ -OH, 6 $\beta$ -OH, 1 $\alpha$ -OH 12 $\beta$ -OH, 15 $\alpha$ -OH, 15 $\beta$ -OH
409	<i>Penicillium spinulosum</i> (+)	Cl : 17-20
410	<i>Penicillium steckii</i> (+)	Cl : 17-20
411	<i>Penicillium subalteritium</i>	Cl : 17-20
412	<i>Penicillium tardum</i> (+)	HxI : 11 $\alpha$ -OH, 15 $\beta$ -OH
413	<i>Penicillium terlikowski</i> (+)	Cl : 17-20
414	<i>Penicillium thomii</i> (+)	HxI : 19-OH
415	<i>Penicillium urticace</i>	HxI : 15-OH
416	<i>Pestalotia foedans</i>	HxI : 11 $\alpha$ -OH
417	<i>Pestalotia funera</i>	HxI : 16 $\alpha$ -OH
418	<i>Pestalotia roseniae</i>	HxI : 11 $\alpha$ -OH
419	<i>Pestalotia</i> sp.	HxI : 11 $\alpha$ -OH
420	<i>Peziza</i> species	HxI : 7 $\alpha$ -OH
421	<i>Phoma</i> sp.	HxI : 11 $\beta$ -OH
422	<i>Phycomyces blakesleanus</i>	HxI : 6 $\beta$ -OH, 7 $\alpha$ -OH, 7 $\beta$ -OH 15 $\beta$ -OH Ep : 14 $\alpha$ , 15 $\alpha$
423	<i>Phycomyces blakesleanus</i> - <i>thecobromatus</i>	HxI : 6 $\beta$ -OH, 11 $\alpha$ -OH
424	<i>Phycomyces nitens</i>	HxI : 6 $\beta$ -OH
425	<i>Pleospora gacumanni</i>	HxI : 14 $\alpha$ -OH
426	<i>Polyporus cinnabarinus</i>	HxI : 6 $\beta$ -OH, 14 $\alpha$ -OH, 15 $\beta$ -OH
427	<i>Polyporus tulipiferus</i>	HxI : 6 $\beta$ -OH, 14 $\alpha$ -OH, 15 $\beta$ -OH
428	<i>Poria cocos</i>	HxI : 6 $\beta$ -OH, 14 $\alpha$ -OH, 15 $\beta$ -OH
429	<i>Protaminobacter alboflavum</i>	D : 1-2
430	<i>Protaminobacter rubrum</i>	D : 1-2
431	<i>Proactinomyces erythropolis</i>	O : 3 $\beta$ -OH $\rightarrow$ 3-CO
432	<i>Proactinomyces rousseaui</i>	HxI : 7 $\alpha$ -OH O : 3 $\beta$ -OH $\rightarrow$ 3-CO
433	<i>Proactinomyces</i> sp.	O : 3 $\beta$ -OH $\rightarrow$ 3-CO Cl : 17-20
434	<i>Protoabsidia blakesleana</i>	HxI : 11 $\alpha$ -OH
435	<i>Pseudodiphtheria bacilli</i>	O : 17 $\beta$ -OH $\rightarrow$ 17-CO 3 $\beta$ -OH $\rightarrow$ 3-CO
436	<i>Pseudomonas boronopolis</i>	HxI : 11 $\beta$ -OH

Bảng 2.19. (tiếp)

1	2	3
437	<i>Pseudomonas dacunhae</i>	D : 1-2
438	<i>Pseudomonas fluorescens</i>	R : 20-CO → 20β-OH
439	<i>Pseudomonas marcescens</i>	DL 1-2
440	<i>Pseudomonas oleovorans</i>	D : 1-2 R : 20-CO → 20β-OH
441	<i>Pseudomonas</i> sp.	HxI : 1β-OH R : 20-CO → 20β-OH D : 1-2 O : 3β-OH → 3-CO 17β-OH → 17-CO
442	<i>Pseudomonas testosteroni</i>	D : 1-2 O : 3β-OH → 3-CO 17β-OH → 17-CO Ar : Sp : B
443	<i>Pycnodothis</i> sp.	D : 1-2 O : 3β-OH → 3-CO HxI : 1α-OH
444	<i>Pycnosporium</i> sp.	HxI : 1-OH, 2β-OH
445	<i>Rhizoctonia ferrugina</i>	HxI : 1-OH, 6β-OH
446	<i>Rhizoctonia solani</i>	HxI : 1-OH, 2β-OH, 6β-OH
447	<i>Rhizoctonia</i> sp. (+)	HxI : 6β-OH, 7α-OH, 7β-OH
448	<i>Rhizopus arrhizus</i>	11α-OH 22-OH
449	<i>Rhizopus cambodiac</i>	HxI : 6β-OH, 11α-OH
450	<i>Rhizopus cohnii</i>	HxI : 6β-OH, 11α-OH, 1β-OH
451	<i>Rhizopus delemar</i>	O : 11α-OH → 11-CO
452	<i>Rhizopus chinensis</i>	HxI : 6β-OH, 11α-OH
453	<i>Rhizopus japonicus</i>	HxI : 6β-OH, 11α-OH
454	<i>Rhizopus kazamensis</i>	HxI : 6β-OH, 11α-OH
455	<i>Rhizopus nidulans</i>	HxI : 6β-OH, 11α-OH
456	<i>Rhizopus nigricans</i> (+)	HxI : 6β-OH 7β-OH 11α-OH 1β-OH
457	<i>Rhizopus oryzae</i> (+)	HxI : 6β-OH, 11α-OH
458	<i>Rhizopus pygmaeus</i>	HxI : 6β-OH
459	<i>Rhizopus refflexus</i>	HxI : 6β-OH, 11α-OH
460	<i>Rhizopus shanghaiensis</i>	HxI : 6β-OH, 11α-OH
461	<i>Rhizopus</i> sp.	HxI : 7α-OH, 7β-OH, 6β-OH
462	<i>Rhizopus stomaticus</i>	Cl : 17-20
463	<i>Rhizopus tonkinensis</i>	HxI : 6β-OH, 11α-OH

Bảng 2.19. (tiếp)

1	2	3
464	<i>Rhizopus tritici</i>	HxI : 6 $\beta$ -OH, 1 $\alpha$ -OH
465	<i>Rhodocephisia</i> sp.	HxI : 1 $\beta$ -OH
466	<i>Rhodotorula glutinis</i>	R : 20-CO $\rightarrow$ 20 $\alpha$ -OH
467	<i>Rhodotorula longissima</i>	R : 20-CO $\rightarrow$ 20 $\beta$ -OH
468	<i>Saccharomyces cerevisiae</i> (+)	R : 17-CO $\rightarrow$ 17 $\beta$ -OH 3-CO $\rightarrow$ 3 $\alpha$ -OH 3-CO $\rightarrow$ 3 $\beta$ -OH Hdg : 1-2
469	<i>Saccharomyces fragilis</i>	R : 17-CO $\rightarrow$ 17 $\beta$ -OH E : 17 $\beta$ -OH
470	<i>Saccharomyces pastorianus</i>	HxI : 1 $\beta$ -OH
471	<i>Sansevieria zeylanica</i>	D : 1-2 Hdg : 1-2
472	<i>Scenedesmus</i> sp.	HxI : 6 $\beta$ -OH, 1 $\alpha$ -OH, 15 $\beta$ -OH
473	<i>Sclerotinia fructicola</i>	HxI : 21-OH
474	<i>Sclerotinia libertiana</i>	HxI : 2 $\beta$ -OH, 1 $\alpha$ -OH, 1 $\beta$ -OH, 15 $\beta$ -OH
475	<i>Sclerotinia</i> sp.	HxI : 2 $\beta$ -OH
476	<i>Sclerotium hydrophilum</i>	HxI : 6 $\beta$ -OH, 1 $\alpha$ -OH, 15 $\beta$ -OH
477	<i>Septomyxa aesculi</i>	D : 1-2
478	<i>Septomyxa affinis</i>	D : 1-2
		Ar : Cl : 17-20
479	<i>Septomyxa corni</i>	D : 1-2
480	<i>Septomyxa salicina</i>	D : 1-2
481	<i>Septomyxa tulasnei</i>	D : 1-2
482	<i>Serratia plymuthicum</i>	D : 1-2
483	<i>Spicaria simplicissima</i>	HxI : 15 $\beta$ -OH
484	<i>Spicaria</i> sp.	HxI : 15 $\beta$ -OH
485	<i>Spondylocladium</i> sp.	HxI : 1 $\beta$ -OH
486	<i>Sporodinia minimâ</i>	HxI : 17 $\beta$ -OH
487	<i>Sporormiæ minima</i>	HxI : 17 $\beta$ -OH
488	<i>Sporotrichum bombycinum</i>	HxI : 1 $\beta$ -OH
489	<i>Sporotrichum epigaeum</i>	HxI : 1 $\beta$ -OH D : 1-2
490	<i>Sporotrichum gougeroti</i>	R : 20-CO $\rightarrow$ 20 $\beta$ -OH
491	<i>Sporotrichum sulphuregens</i>	HxI : 1 $\beta$ -OH
492	<i>Stachylidium bicolor</i> *	HxI : 1 $\alpha$ -OH, 1 $\beta$ -OH, 14 $\alpha$ -OH
493	<i>Stachylidium theobromae</i>	HxI : 1 $\alpha$ -OH, 1 $\beta$ -OH
494	<i>Stereum fasciatum</i>	D : 1-2 R : 2-CO $\rightarrow$ 20 $\beta$ -OH

\* Chi *Sporodinia* Link đã trở thành syn. của *Syzygitex* Ehr. ex Fr.

Chi *Stachylidium* Link ex Fr. đã trở thành syn. của *Spondylocladium* Mart. (Ainsworth và Cs., 1971).

Bảng 2.19. (tiếp)

1	2	3
495	<i>Streptomyces achromogenes</i>	HxI : 16 $\alpha$ -OH
496	<i>Streptomyces albus</i>	O : 17 $\beta$ -OH $\rightarrow$ 17-CO R : 20-CO $\rightarrow$ 20 $\beta$ -OH 17-CO $\rightarrow$ 17 $\beta$ -OH
497	<i>Streptomyces annulatus</i>	HxI : 16 $\alpha$ -OH
498	<i>Streptomyces antibioticus</i>	D : 1-2
499	<i>Streptomyces aureofaciens</i>	HxI : 6 $\beta$ -OH, 9 $\alpha$ -OH O : 3 $\beta$ -OH $\rightarrow$ 3-CO R : 3-CO $\rightarrow$ 3 $\beta$ -OH
500	<i>Streptomyces aureus</i>	HxI : 15 $\alpha$ -OH, 16 $\alpha$ -OH
501	<i>Streptomyces bobiae</i>	D : 1-2
502	<i>Streptomyces coelicolor</i>	R : 20-CO $\rightarrow$ 20 $\beta$ -OH
503	<i>Streptomyces diastaticus</i>	R : 20-CO $\rightarrow$ 20 $\beta$ -OH
504	<i>Streptomyces diastochromogenes</i>	HxI : 16 $\alpha$ -OH
505	<i>Streptomyces flimicarius</i>	HxI : 6 $\beta$ -OH
506	<i>Streptomyces flaveolus</i>	HxI : 16 $\alpha$ -OH
507	<i>Streptomyces flavogriseus</i>	HxI : 16 $\alpha$ -OH
508	<i>Streptomyces fradiae</i>	R : 20-CO $\rightarrow$ 20 $\beta$ -OH HxI : 6 $\beta$ -OH, 11 $\alpha$ -OH, 11 $\beta$ -OH O : 3 $\beta$ -OH $\rightarrow$ 3-CO
509	<i>Streptomyces gelatinicus</i>	D : 7-8 O : 3 $\alpha$ -OH $\rightarrow$ 3-CO 12 $\alpha$ -OH $\rightarrow$ 12-CO
510	<i>Streptomyces griseocatineus</i>	HxI : 6 $\beta$ -OH
511	<i>Streptomyces griseoluteus</i>	HxI : 16 $\alpha$ -OH
512	<i>Streptomyces griseus</i>	HxI : 16 $\alpha$ -OH O : 3 $\beta$ -OH $\rightarrow$ 3-CO R : 20-CO $\rightarrow$ 20 $\beta$ -OH 3-CO $\rightarrow$ 3 $\beta$ -OH Hdg : 4-5
513	<i>Streptomyces halstedii</i>	HxI : 16 $\alpha$ -OH
514	<i>Streptomyces hydrogenans</i>	R : 20-CO $\rightarrow$ 20 $\beta$ -OH
515	<i>Streptomyces chrysomallus</i>	HxI : 16 $\alpha$ -OH
516	<i>Streptomyces lavendulae</i>	D : 1-2 Cl : 17-20 R : 20-CO $\rightarrow$ 20 $\beta$ -OH
517	<i>Streptomyces lipmanii</i>	HxI : 16 $\alpha$ -OH
518	<i>Streptomyces mediocidicus</i>	HxI : 16 $\alpha$ -OH
519	<i>Streptomyces microtuberculata</i>	HxI : 16 $\alpha$ -OH
520	<i>Streptomyces olivaceus</i>	HxI : 16 $\alpha$ -OH
521	<i>Streptomyces olivochromogenes</i>	D : 1-2 D : 1-2
522	<i>Streptomyces parvus</i>	HxI : 16 $\alpha$ -OH
523	<i>Streptomyces phaeochromogenes</i>	HxI : 16 $\alpha$ -OH
524	<i>Streptomyces purpeochromogenes</i>	HxI : 16 $\alpha$ -OH
525	<i>Streptomyces rimosus</i>	HxI : 6 $\beta$ -OH O : 3 $\beta$ -OH $\rightarrow$ 3-CO

Bảng 2.19. (tiếp)

1	2	3
526	<i>Streptomyces roseochromogenes</i>	HxI : $2\beta$ -OH 16 $\alpha$ -OH, $20\beta$ -OH R : $20$ -CO $\rightarrow$ $20\beta$ -OH
527	<i>Streptomyces rugersensis</i>	HxI : $16\alpha$ -OH
528	<i>Streptomyces</i> sp.	HxI : $2\beta$ -OH, $6\beta$ -OH $1\beta$ -OH, $16\alpha$ -OH
529	<i>Streptomyces sulphureus</i>	O : $3\beta$ -OH $\rightarrow$ 3-CO
530	<i>Streptomyces verne</i>	R : $3$ -CO $\rightarrow$ $3\beta$ -OH
531	<i>Streptomyces viridis</i>	Hdg : 4-5
532	<i>Syncephalastrum cinereum</i>	HxI : $16\alpha$ -OH
533	<i>Syncephalastrum racemosum</i> (+)	HxI : $16\alpha$ -OH
534	<i>Syncephalis nodosa</i>	HxI : $16\alpha$ -OH
535	<i>Thamnidium elegans</i>	HxI : $1\alpha$ -OH HxI : $6\beta$ -OH, $7\alpha$ -OH, $11\alpha$ -OH $1\beta$ -OH, $14\alpha$ -OH, $15\beta$ -OH
536	<i>Thielavia terricola</i>	HxI : $16\alpha$ -OH
537	<i>Tieghemella cylindrospora</i> *	HxI : $17\alpha$ -OH
538	<i>Tieghemella hyalospora</i>	HxI : $17\alpha$ -OH
539	<i>Tieghemella</i> sp.	HxI : $17\alpha$ -OH, $1\alpha$ -OH
540	<i>Tieghemella spinosa</i>	HxI : $17\alpha$ -OH
541	<i>Trichoderma album</i>	HxI : $17\alpha$ -OH
542	<i>Trichoderma glaucum</i>	HxI : $17\alpha$ -OH E : 21
543	<i>Trichoderma konigii</i> (+)	HxI : $17\alpha$ -OH
544	<i>Trichoderma lignorum</i>	HxI : $17\alpha$ -OH
545	<i>Trichoderma narsisi</i>	HxI : $17\alpha$ -OH
546	<i>Trichoderma nigroviride</i>	HxI : $17\alpha$ -OH
547	<i>Trichoderma nuberghii</i>	HxI : $17\alpha$ -OH
548	<i>Trichoderma</i> sp.	HxI : $17\alpha$ -OH
549	<i>Trichoderma viride</i> (+)	HxI : $17\alpha$ -OH, $1\alpha$ -OH R : $17\alpha$ -OH
550	<i>Trichommas gallinae</i>	HxI : $17\alpha$ -OH
551	<i>Trichothecium arrhenopum</i>	HxI : $17\alpha$ -OH
552	<i>Trichothecium candidum</i>	HxI : $17\alpha$ -OH
553	<i>Trichothecium plasmoparae</i>	HxI : $17\alpha$ -OH
554	<i>Trichothecium polybrochum</i>	HxI : $6\beta$ -OH, $11\alpha$ -OH, $1\beta$ -OH $14\alpha$ -OH, $17\alpha$ -OH O : $11$ -OH $\rightarrow$ $11$ -CO
555	<i>Trichothecium roseum</i> (+)	HxI : $6\beta$ -OH, $16\alpha$ -OH O : $16\alpha$ -OH $\rightarrow$ $16$ -CO
556	<i>Woloshynia grammis</i>	HxI : $1\beta$ -OH, $6\beta$ -OH, $7\beta$ -OH, $15\beta$ -OH HxI : $6\beta$ -OH, $11\alpha$ -OH, $1\beta$ -OH O : $11\alpha$ -OH $\rightarrow$ $11$ -CO
557	<i>Xylaria</i> species	HxI : $6\beta$ -OH, $1\beta$ -OH, $11\alpha$ -OH, $15\beta$ -OH
558	<i>Zygorhynchus heteropanus</i>	HxI : $6\beta$ -OH, $11\alpha$ -OH, $1\beta$ -OH O : $11\alpha$ -OH $\rightarrow$ $11$ -CO
559	<i>Zygorhynchus moelleri</i>	HxI : $6\beta$ -OH, $11\alpha$ -OH, $1\beta$ -OH
560	<i>Zygorhynchus vulniferum</i>	HxI : $6\beta$ -OH

\* Chi *Tieghemella* Berl. et de Toni da trúô thành syn. của chi *Absidia* V. Tiegh. (Ainsworth và Bisby 1971)

## TÀI LIỆU THAM KHẢO CHÍNH

*Argoudelis A.D. et al, 1969, 1971*

Microbial transformation of antibiotics

I. Production of lincomycin sulfoxide and l-demethylthio l-hydroxylincomycin by *S.linconensis*. J.Antibiotics, 22(6) : 289-291.

II. Phosphorylation of lincomycin by Streptomyces species. J. Antibiotics, 22(7) : 341-343, 1969.

III. Conversion of clindamycin to l-demethylclindamycin and clindamycin sulfoxide by Streptomyces species. J.Antibiotics, 22(7) : 309-314, 1969.

V. Clindamycin ribonucleotides. J.Am.Chem.Soc., 93(2) : 534-535, 1971

VI. Acylation of chloramphenicol by Streptomyces coelicolor. J. Antibiotics, 24(3) : 206-209, 1971 Bayman P. et G.V.Radker, 1971

*Bayman P. et G.V.Radker, 1997*

Transformation and tolerance of TNT (2,4,6-trinitrotoluene) by fungi. Intern. Biotransf. Biodegrad., 39(1) : 45-53.

*Bùi Xuân Đồng, 1972*

Contributions à l'étude taxonomique des Hyphomycetes. I.Eskissse d'une nouvelle classification. Cesk.Mykol., 26 : 155-166.

*Bùi Xuân Đồng, 1986*

Hyphomycetes ở Việt Nam. tập 1 và 2. NXB Khoa học và Kỹ thuật. Hà Nội 1984, 1986.

*Casida L., 1968*

Industrial microbiology. John Wiley and Sons, New York.

*Capek A. et al., 1966*

Microbial transformation of steroids. Acad. Publ. House, Prague.

*Capek A. et al., 1974*

Progesterone transformation as a diagnostic feature in the genera Alternaria Stemphylium and Cladosporium. Folia Mikrobiol., 19 : 378-380

*Capek A. et al., 1975*

Progesterone transformation as a diagnostic feature of the genera

*Humicola* and *Gilmaniella*. *Folia Mikrobiol.*, 20 : 166-167.

*Coasts J.H. et A.D.Argoudelis.*, 1971

Microbial transformation of antibiotics. Phosphorylation of clindamycin by *Streptomyces coelicolor* Müller. *J.Bacteriol.*, Oct. : 459-464.

*Dias B. et Bart Weimer.*, 1998

Conversion of methionine to thiols by Lactococci, Lactobacilli and Brevibacteria. *Appl. Env. Microbiol.*, 64(9) : 3320-3326

*Lê Thanh Bình*, 1995.

Nghiên cứu cơ chế kháng kháng sinh của một số chủng xạ khuẩn (*Streptomyces*) với kháng sinh do chúng tổng hợp ra và ứng dụng trong việc phân lập, tạo giống vi sinh vật Luận án PTS., Viện Công nghệ sinh học - TT. Khoa học tự nhiên và Công nghệ quốc gia, Hà Nội.

*Nguyễn Lan Dũng, Bùi Xuân Đồng, Lê Dinh Luong*, 1982

Vi năm. NXB Khoa học và Kỹ thuật. Hà Nội.

*Phan Quốc Kinh*, 1984

Các chất steroid dùng làm thuốc. NXB Y học, Hà Nội.

*Rivière J.*, 1975

Les applications industrielles de la microbiologie. Masson et Cie, Paris.

*Schmitz H. et C.a.Claridge.*, 1977

Biotransformation of antitumor agents by a strain of *Whetzelinia sclerotiorum*. *J.Antibiotics*, 30(8) : 335-338.

*Shima J. et al.*, 1997

Novel detoxification of the trichothecene mycotoxin Deoxynivalenol by a soil bacterium isolated by enrichment culture. *Appl. Env. Microbiol.*, 63(10) : 8825-3830.

*Testa R.T et B.C.Tilley.*, 1976

Biotransformation, a new approach to aminoglycoside biosynthesis. II. Gentamicin. *J.Antibiotics*, 29(2) : 140-146.

*Vézina C. et K.singh.*, 1975

Transformation of organic compounds by fungal spores, in : The filamentous fungi, vol. I, eds. J.E.Smith et D.R.Berry, pp.158-192. Edward Arnold. London.

### *Chương III*

## **VI NẤM DÙNG TRONG CÔNG NGHỆ SINH HỌC**

Công nghệ sinh học là một ngành khoa học mũi nhọn của thế giới ở cuối thế kỷ 20 và thế kỷ tiếp theo, và cũng đã được xác định là một trong vài ngành khoa học ưu tiên phát triển của nước ta trong những năm tới.

Công nghệ sinh học hiện nay tiếp thu và sử dụng kiến thức của nhiều ngành và chuyên ngành khoa học kỹ thuật khác nhau, trước hết các chuyên ngành của sinh học, và của cả hóa học, vật lý, toán, v.v. để khai thác, sử dụng năng lực của tế bào sinh vật, của phân tử các hợp chất mang thông tin di truyền (ADN, ARN), các hợp chất cấu trúc, sinh lý, sinh hóa của tế bào. Đương nhiên việc khai thác sử dụng này, kể cả đối với các hợp chất tách chiết khỏi tế bào, không tách rời các hoạt động sống của tế bào ở các cơ thể sinh vật. Vậy dù đối tượng khai thác sử dụng là đối tượng nào (phân tử các hợp chất, tế bào hay cơ thể sinh vật) thì cả quá trình khai thác sử dụng hay một giai đoạn của quá trình đó, ít nhất gán liền với một sinh vật cụ thể, hay cũng có thể nói, với một loài nào đó trong sinh giới. Rõ ràng chúng ta phải biết chính xác các loài này để khai thác sử dụng năng lực nói trên có hiệu quả.

Cũng thế, việc khai thác sử dụng vi nấm trong một công nghệ sinh học cụ thể chỉ thực hiện được với các chủng của một hay một số loài vi nấm có các hoạt tính sinh học tương ứng. Công nghệ sinh học mà vi nấm được sử dụng bao gồm các công nghệ enzim, kháng sinh, acid hữu cơ, rượu cồn, acid amin, vitamin, chế biến thực phẩm, chế biến thức ăn gia súc, kích thích tố cây trồng, thuốc diệt côn trùng, biến đổi sinh học, xử lý chất thải, chất độc hại bảo vệ môi trường.

Ở Việt Nam do nhiều nguyên nhân, việc khai thác sử dụng vi sinh vật nói chung và vi nấm nói riêng trong công nghệ sinh học còn rất hạn chế, nhưng từ những năm 1960 đến nay, cũng đã có những nghiên cứu tiếp cận và ở vài lĩnh vực đã có những ứng dụng trong thực tế sản xuất, phục vụ đời sống. Trong phạm vi chương sách này, chúng tôi trình bày

các loài chủ yếu và các nhóm phân loại trên loài tương ứng dùng trong công nghệ sinh học, đặc biệt các nhóm phân loại (taxon) đã được sử dụng, nghiên cứu khai thác sử dụng ở nước ta, như trên đã nói, để có thể khai thác sử dụng các loài vi nấm này có hiệu quả hơn.

Vi nấm dùng trong công nghệ sinh học ở tài liệu này gồm :

Thuộc ngành phụ Nấm tiếp hợp (Zygomycotina), các chi :

*Absidia* van Tieghem

*Mucor* Mich. ex Fr.

*Rhizopus* Ehrenb. ex Corda

*Thamnidium* Link ex Wallroth

Thuộc ngành phụ Nấm bắt toàn (Deuteromycotina), các chi :

*Aspergillus* Mich. ex Fr.

*Beauveria* Vuillemin

*Cephalosporium* Corda

*Fusarium* Link ex Fr.

*Metarrhizium* Sorokin

*Paecilomyces* Bainier

*Penicillium* Link ex Fr.

## 1. NẤM TIẾP HỢP DÙNG TRONG CÔNG NGHỆ SINH HỌC

Ngành phụ Nấm tiếp hợp (Zygomycotina) có khoảng 610 loài thuộc 115 chi, tất cả đều là vi nấm. Ngành phụ nấm này gồm 2 lớp khác biệt hẳn nhau về điều kiện sống : lớp Nấm tiếp hợp (Zygomycetes) gồm khoảng 510 loài, hầu hết sống hoại sinh trên cạn (bộ Mucorales), một số nhỏ ký sinh trên côn trùng, amip hoặc giun tròn (các bộ Entomophthorales và Zoopagales), lớp Nấm thích ty (Trichomycetes) gồm khoảng 100 loài sống ký sinh trên da và ống tiêu hóa của những động vật có vỏ kitin.

Các loài Nấm tiếp hợp được dùng trong công nghệ sinh học không nhiều, chủ yếu là một số loài thuộc các chi *Mucor*, *Rhizopus* được dùng làm nguồn amylaza thủy phân tinh bột trong lên men rượu, trong công nghiệp sản xuất đường glucose, một số loài khác có hoạt tính biến đổi sinh học được dùng trong công nghiệp sản xuất một số hợp chất steroid làm thuốc.

### Chi *Absidia* van Tieghem

Chi *Absidia* gồm khoảng 20 loài Nấm tiếp hợp, đặc trưng bởi sự có mặt của các đoạn sợi nấm bò (stolon) và rễ già (rhizoid). Đoạn sợi nấm bò là các đoạn sợi nấm khí sinh, không phân nhánh, thẳng hoặc hình

cung, phát sinh từ các sợi nấm nền, có các đầu mút chạm vào cơ chất và phát triển thành một số sợi rất ngắn bám vào cơ chất. Các sợi rất ngắn này gọi là rễ giả, nom giống như rễ cây ở các thân bò ở Thực vật hạt kín. Các nang bào tử kín (sporangium) mọc trên các đoạn sợi nấm bò, không mọc từ đầu mút của các đoạn sợi nấm này như trường hợp các loài thuộc chi *Rhizopus*. Các nang bào tử kín thường nhỏ, hình quả lê và có mấu nối (apophysis) hình phễu ở phần gốc nang. Các bào tử tiếp hợp (zygosporum) nếu có được bao bởi sợi thô ráp, các sợi thô ráp này mọc từ một hay từ cả hai sợi treo của hợp tử.

Các loài thuộc chi *Absidia* phân bố rộng rãi ở đất, vài loài ưa nhiệt (nhiệt độ tăng trưởng tối ưu ở 37°C). Một số loài đã được xác định là có hoạt tính biến đổi sinh học, như biến đổi digitoxigenin thành  $1\beta$ -hydroxydigitoxigenin,  $7\beta$ -hydroxydigitoxigenin, progesteron thành  $11\alpha$ -hydroxyprogesteron, v.v. (xem Chương 2).

*Absidia spinosa* Lendner - Khuẩn lạc xốp bông, trắng sau xám nâu. Nang bào tử kín thành cụm 2-4 chiếc, cuống nang không phân nhánh, thường có 1 vách ngang ở gần mấu nối, trụ nang hình bán cầu. Bào tử kín hình trụ, dài 4 - 5  $\mu\text{m}$ . Bào tử tiếp hợp hình gân cầu, 50 - 80  $\mu\text{m}$  đường kính.

*Absidia ramosa* (Lindt) Lendner - Khuẩn lạc xốp bông, trắng sau xám. Cuống nang bào tử phân nhánh, không có vách ngang. Trụ nang màu xanh nhạt hoặc tím. Nang bào kín mọc vòng. Bào tử kín hình trái xoan hoặc hình trụ, hầu hết 4,8 - 2,8  $\mu\text{m}$ . Chưa thấy bào tử tiếp hợp. Nhiệt độ tăng trưởng tối ưu 37°C. Có khả năng gây bệnh trên động vật (G.Smith, 1971).

#### Chi *Mucor* Michel ex Fries

Chi *Mucor* là chi tiêu biểu của họ Mucoraceae (bộ Mucorales), đặc trưng bởi hệ sợi nấm không có các đoạn sợi nấm bò và rễ giả, các nang bào tử kín với cuống nang phân nhánh hoặc không phân nhánh, đơn độc hay thành cụm, mọc từ các sợi nấm. Các đặc điểm hình thái (kích thước, hình dạng, màu sắc, v.v.) của khuẩn lạc, nang bào tử kín và các bộ phận của nang, bào tử kín và bào tử tiếp hợp (nếu có) đặc trưng cho mỗi loài của chi.

Số lượng loài của chi *Mucor* khác nhau tùy theo quan niệm phân loại học đối với chi vi nấm này của mỗi tác giả : Saccardo (1886) 150 loài, Lendner (1908) 51 loài, Zycha (1935) 42 loài, Naumov (1939) 88 loài. Các chuyên luận phân loại chi *Mucor* của Zycha và Naumov vẫn được sử dụng, tuy nhiên tùy theo quan niệm phân loại học của mỗi chuyên luận,

giới hạn phân cách các loài không giống nhau. Gần đây hơn, Hesseltine và Cs. từ năm 1952, và Schipper từ 1973 đã nghiên cứu phân loại lại chi *Mucor*, nhưng các đặc điểm phân loại dùng trong nghiên cứu vẫn chủ yếu là các đặc điểm của cơ quan sinh sản vô tính (nang bào tử kín), do đó phân loại học chi vi nấm này vẫn chưa có những đổi mới cơ bản. Có thể phân loại học chi *Mucor* căn cứ chủ yếu vào các đặc điểm phát sinh chủng loại và các đặc điểm hình thái của bào tử tiếp hợp (bào tử hữu tính) sẽ dẫn đến quan niệm về loài trong chi vi nấm này vững chắc hơn, và từ đó phương pháp định loại cũng được ổn định hơn (Schipper, 1973).

Nhiều loài thuộc chi *Mucor* phân bố rộng rãi trong đất, không khí, gây mốc các sản phẩm công nghiệp. Một số loài có hoạt tính biến đổi sinh học các hợp chất steroid (phần lớn hydroxy hóa ở các vị trí  $6\beta$  và  $11\alpha$ ). Các loài *M.racemosus*, *M.tonkinensis* được dùng để lên men rượu, thủy phân tinh bột.

#### *Mucor mucedo* Lex Fr.

Khuẩn lạc trên cơ chất tự nhiên (phân súc vật) màu xám, có thể cao tới 15cm. Trên môi trường nuôi cấy (môi trường thạch - khoai tây, môi trường cao men bia), khuẩn lạc cao 2-3 cm. Phần lớn nang bào tử kín hình cầu, gần cầu, 100 - 200  $\mu\text{m}$  đường kính, màu xám, xám nâu, có gai. Trụ nang hình trái xoan, hình elip, 160 x 125  $\mu\text{m}$ , hoặc hình trụ, hình gần elip, 85 x 53  $\mu\text{m}$ . Bào tử kín hình trụ, hình elip, dài 6 - 13  $\mu\text{m}$ . Cuống nang không phân nhánh, dài 2 - 3 cm, cuống nang phân nhánh ngắn hơn. Tạo thành bào tử tiếp hợp. Phân lập từ tài liệu giấy lưu trữ, vài sản phẩm khác ở Việt Nam.

#### *Mucor racemosus* Fres.

Khuẩn lạc trên môi trường cao men bia màu xám, xám nâu, xốp bong, cao dưới 1 cm. Cuống nang không phân nhánh, sau phân nhánh không đều. Nang bào tử kín hình cầu, phần lớn trong khoảng 20 - 70  $\mu\text{m}$  đường kính. Vò nang sần sùi, vỡ từng mảng. Trụ nang hình trái xoan, hình quả lê, elip, có phần phụ bao quanh gốc do vò nang khi vỡ còn sót lại. Bào tử kín phần lớn hình elip, 6-10 x 5-8  $\mu\text{m}$ . Bào tử áo có nhiều trên các sợi nấm khỉ sinh, trên cả cuống nang, hình cầu, hình trứng, v.v., phần lớn 10 - 20  $\mu\text{m}$  đường kính, không màu hoặc màu vàng, nhẵn. Tạo thành bào tử tiếp hợp (hiếm). Phân lập từ bánh men rượu cổ truyền và một số sản phẩm khác ở Việt Nam (hình 3.1).

**Bảng 3.1. Khóa định loại loài *Mucor mucedo* và các loài lân cận (Các loài có nang bào tử kín lớn, d > 100  $\mu\text{m}$ )**  
 (Theo M.A.A.Schipper, 1974)

1. Khuẩn lạc thường chỉ cao 1 mm . . . . .	
	<i>M.aligarcensis</i> B.S. et B.R.Mehrotra
1. Khuẩn lạc cao hơn 1 mm	2
2. Bảo tử kín hình cầu, gần cầu khi nuôi cấy nấm ở 20°C, hình elip khi nuôi cấy ở 10°C . . . . .	
	<i>M.strictus</i> Hagem
2. Hình dạng của bào tử kín không thay đổi với nhiệt độ nuôi cấy nấm . . . . .	3
3. Bảo tử kín hình cầu, gần cầu, 4 - 5 $\mu\text{m}$ đường kính . . . . .	
	<i>M.minutus</i> (Baijal et B.S.Mehrotra) Schipper.
3. Bảo tử kín lớn hơn, thường hình elip	4
4. Trụ nang hình trứng hay hình nón	5
4. Trụ nang hình trứng, elip hoặc hình quả lê	6
5. Nang bào tử kín tới 400 $\mu\text{m}$ đường kính, chiều dài bào tử kín trung bình 25 $\mu\text{m}$ . . . . .	
	<i>M.plasmaticus</i> v.Tiegh.
5. Nang bào tử kín tới 200 $\mu\text{m}$ đường kính, bào tử kín thường dài 7.5 - 10.0 $\mu\text{m}$ . Loài chịu lạnh . . . . .	
	<i>M.psychrophilus</i> Milko
6. Loại cuống nang to không phân nhánh ở phần ngọn, trụ nang hình trứng, elip hoặc hình quả lê	7
6. Loại cuống nang to phân nhánh hợp trực, trụ nang hình trứng rõ rệt	8
7. Mọc nhanh trên môi trường thạch cao men bia, bào tử kín thường hình elip, dài tới 10 $\mu\text{m}$ . . . . .	
	<i>M.piriformis</i> Fischer
7. Mọc kém trên môi trường thạch-cao men bia, nang bào tử kín hình trụ elip, dài tới 14 $\mu\text{m}$ . . . . .	
	<i>M.mucedo</i> L. ex Fr.

8. Nuôi cấy trong tối, khuẩn lạc màu xám gio, thường có nhiều cuống nang ngắn . . .

. . . *M.saturninus* Hagem

8. Nuôi cấy trong tối, khuẩn lạc màu nâu da bò, rất ít cuống nang ngắn . . .

. . . *M.flavus* Bainier

**Bảng 3.2. Khóa định loại các loài *Mucor racemosus* và các loài lân cận  
(Các loài có bào tử kín < 100  $\mu\text{m}$  đường kính)**  
*(Theo M.A.A.Schipper, 1976)*

1. Cuống nang phân nhánh hợp trực. Trụ nang hình elip, hình trứng hoặc cầu. Bào tử kín elip hay hình cầu 4 - 6  $\mu\text{m}$  đường kính, nhẵn. Hầu như không có bào tử áo ở cuống nang . . .

. . . *M.hainieri* Mehrotra et Baijal

, . . . *M.ramoisissimus* Samutsevitsch

*M.zonatus* Milko

*M.circinelloides* v.Tiegh. f.circinelloides

*M.circinelloides flusitanicus* (Bruderlein) Schipper  
(= *M.lusitanicus* Bruderlein)

*M.circinelloides f.griseo-cyanus* (Hagem) Schipper (= *M.griseo-cyanus* Hagem)

*M.circinelloides flanssenii* (Lendner) Schipper (= *M.Jansschii* Lendener)

1. Cuống nang phân nhánh hợp trực, hợp trực không đều và đơn trực. Trụ nang elip với đáy cắt phẳng, hình trứng hay gần cầu. Bào tử kín elip rộng hoặc hình cầu 8 - 10  $\mu\text{m}$  đường kính, nhẵn hoặc có nốt sần. Bào tử áo có ít hoặc nhiều trên cuống nang . . . . .

2

2. Cuống nang phân nhánh hợp trực nhiều lần. Các nhánh dài mọc cách nang bào tử kín tạo thành trước một quãng ngắn . . . . .

. . . *M.fuscus* Bainier

3

2. Cuống nang phân nhánh hợp trực không đều hoặc đơn trực  
3. Bào tử kín hình cầu, gần cầu, màu nâu, mặt ngoài có nhiều chấm. Rất ít bào tử áo trên cuống nang . . . . .

. . . *M.plumbicus* Bon.

4

3. Bào tử kín hình gần cầu hoặc elip rộng, màu xám, nhẵn. Cuống nang có nhiều bào tử áo . . . . .

. . . *M.racemosus* Fres.*I.sphaerosporus* (Hagem); Schipper  
(= *Msphaerosporus* Hagem)

4. Bào tử kín hình elip rộng

5

5. Trụ nang cao tới  $50 \mu\text{m}$  hoặc hơn. Các nhánh (đon trực) ngắn . . .

. . . *M.racemosus racemosus* Fres.  
(= *M.racemosus* Fres.)

5. Trụ nang cao tới  $20 \mu\text{m}$ , hiếm khi cao tới  $40 \mu\text{m}$ . Các nhánh (đơn trực) dài . . .

. . . *M.racemosus Ichibinensis* (Neophytova) Schipper  
(= *M. chibinesis* Neophytova)

### Chi *Rhizopus* Ehrenb. ex Cda.

Chi *Rhizopus* có khoảng 10 loài phân bố rộng rãi, đặc trưng bởi hệ sợi nấm có đoạn sợi nấm bò và rễ già như trường hợp chi *Absidia*, nhưng các nang bào tử kín ở chi *Rhizopus* mọc ở đầu mút các đoạn sợi nấm bò, đối diện với rễ già.

Một số loài của chi *Rhizopus* được dùng trong công nghệ biến đổi sinh học và trong công nghệ enzym. *Rh.arrhizus* biến đổi testosterone và digitoxigenin lần lượt thành  $6\beta$ -hydroxytestosterone và  $7\beta$ -hydroxytestosterone. *Rh.stolonifer* cũng thực hiện các phản ứng hydroxy hóa tương tự, biến đổi progesterone thành  $11\alpha$ -hydroxytestosterone, v.v. Các loài *Rh.taiwanensis*, *Rh.japonicus* phân giải tinh bột. Nhiều loài khác thuộc chi nấm này có  $\alpha$ -amylaza hoặc glucoamylaza, hoặc cả 2 loại enzym thủy phân tinh bột này. Một hướng nghiên cứu lên men rượu hiện nay là sử dụng chủng vi sinh vật vừa có gen mã hóa amylaza, vừa có các gen mã hóa lên men rượu ethylic. Gen mã hóa glucoamylaza của loài *Rh.oryzae* đã được dùng để chuyển vào tế bào loài nấm men bia (*Saccharomyces cerevisiae*) và tạo được các tế bào nấm men bia có thể chuyển hóa trực tiếp tinh bột sолод thành rượu ethylic (A.Toshihito và Cs., 1989).

Ở Việt Nam, một số chủng của chi *Rhizopus* đã được tuyển chọn để sản xuất sinh khối phục vụ chăn nuôi (D. N. Bích và Ct., 1981). Một chủng (chung TH3.85) thuộc loài *Rh.chinensis* có hoạt tính phân giải cellulose đã được phân lập từ một chế phẩm vi sinh vật dùng để chế biến rác thành thức ăn chăn nuôi của nước ngoài, đã được nghiên cứu dùng để xử lý rác ở Hà Nội (N.B.Ngà và Cs., 1984). Các loài *Rh.artocarpi*, *Rh.stolonifer*, *Rh.oryzae* có ở nước ta (B.X.Dồng, 1998).

*Rhizopus arrhizus* Fischer - Rễ già ngắn, nhỏ, màu nhạt. Nhiều cuống nang mọc từ các đoạn sợi nấm phồng to không có rễ già. Nang bào tử kín hình cầu,  $100 - 200 \mu\text{m}$  đường kính. Bào tử kín nhiều hình dạng, dài  $5 - 7 \mu\text{m}$ .

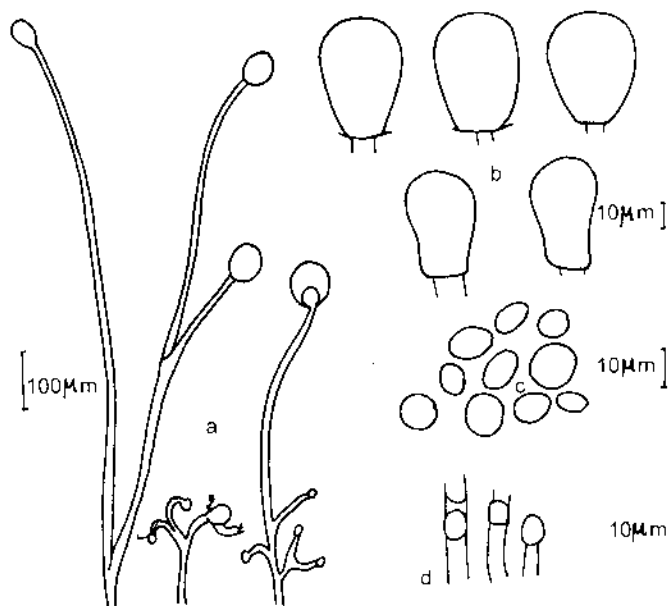
*Rhizopus oryzae* Went et P. Geerlings - Bào tử kín 7 - 9  $\mu\text{m}$  trục lớn, nhỏ hơn bào tử kín của *Rh. stolonifer*, có khả năng sinh trưởng ở 37 - 40°C. Các đặc điểm khác giống như ở loài *Rh. stolonifer* dưới đây.

*Rhizopus stolonifer* (Ehrenb. ex Fr.) Lindner (Các tài liệu trước đây ở nước ta vẫn dùng tên đồng nghĩa của loài là *Rh. nigricans* Ehrenb.). Trên môi trường thạch khoai tây và nhiều môi trường khác, khuẩn lạc phát triển dây hộp lồng sau vài ngày. Cuống nang thẳng, đơn độc hay thường thành cụm, dài 1 - 3 mm, rộng 15 - 25  $\mu\text{m}$ . Rễ già màu nâu. Nang bào tử kín hình cầu, trắng sáng sau chuyển thành đen khi già, 120 - 200  $\mu\text{m}$  đường kính. Bào tử kín có nhiều hình dạng (trứng, nhiều cạnh, gân cầu), 10 - 15  $\mu\text{m}$  trục lớn, có các khía dọc ở mặt ngoài (hình 3.2).

### Chi *Thamnidium* Link ex Wallroth

Chi *Thamnidium* đặc trưng bởi sự có mặt của 2 loại nang bào tử kín: nang bào tử kín (sporangium) có kích thước lớn và chứa nhiều bào tử kín, ở ngọn cuống ngang, các nang bào tử kín nhỏ (sporangiolum sporangioli) chỉ có 2 - 12 bào tử kín, ở ngọn các nhánh ngang thường ở phần gần gốc của cuống nang.

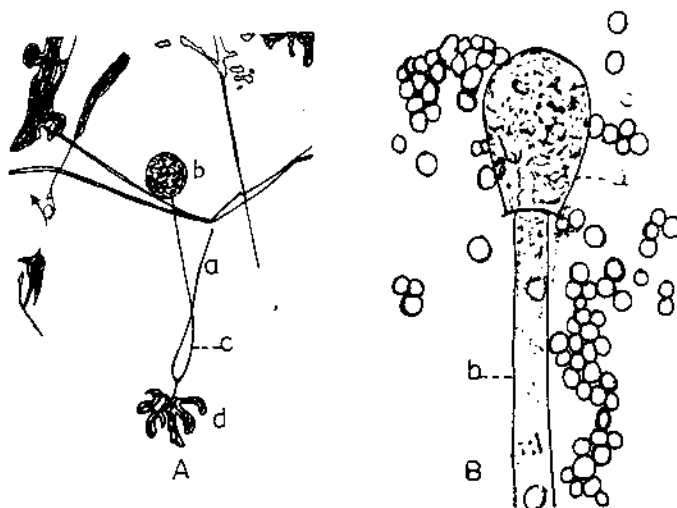
Loài *T. elegans* có hoạt tính hydroxy hóa ở các vị trí 11 $\alpha$ - và 11 $\beta$ - của các hợp chất steroid.



Hình 3.1. *Mucor racemosus* *racemosus* Fres (= *M.racemosus* Fres.)

a- Nang bào tử kín, b- Trụ nang, c- Bào tử kín, d- Bào tử áo.

*Thamnidium elegans* Link ex Fr. - Mọc tốt trên nhiều loại môi trường, khuẩn lạc có mặt dạng hạt, màu xám, cao 2 - 3 mm với chùm các nang bào tử kín nhỏ, sau cuống nang phát triển, dài 10 mm hoặc hơn, nang ở ngọn nang bào tử kín, màu nâu. Bào tử kín ở nang bào tử kín và nang bào tử kín nhỏ giống nhau, hình trứng, hình hạt đậu, 8 - 12  $\mu\text{m}$  trục lớn. Ít gập, thường hay gập nhất trên thịt bị nhiễm mốc trong kho lạnh.



Hình 3.2. *Rhizopus stolonifer* (Ehrenb.ex Fr.) Lindner

- A. Nang bào tử kín. a- Đoạn sợi nấm bò, b- Nang bào tử kín, c- Cuống nang, d- Rễ giả (x50)
- B. Trụ nang. a- Trụ nang, b- Cuống nang, c- Bào tử kín (x500)

## 2. NẤM BẤT TOÀN DÙNG TRONG CÔNG NGHỆ SINH HỌC

Ngành phụ Nấm bất toàn (Deuteromycotina) có khoảng 2600 chi với 15.000 loài (Hawksworth và ct., 1995), trong đó có một số loài được dùng rộng rãi trong công nghiệp sản xuất những hợp chất sinh học.

Ở các loài Nấm bất toàn, các đặc điểm phân loại bao gồm các đặc điểm phát sinh hoặc hình thái của bào tử trần, bộ máy mang bào tử trần và các đặc điểm hình thái của hệ sợi nấm. Như chúng ta biết, bào tử trần là loại bào tử vô tính, không phải là kết quả của các quá trình hữu tính, nên không mang đầy đủ các đặc điểm phát sinh chủng loài. Mặt khác, càng ngày người ta càng tìm thấy cơ quan sinh sản hữu tính (bào tử túi, bào tử đâm và các cơ quan tương ứng) của nhiều loài Nấm

bất toàn, và khi đó các loài này với các đặc điểm của các cơ quan sinh sản hữu tính và cơ quan sinh sản vô tính được xếp vào các nhóm phân loại thích hợp trong ngành phụ Nấm túi (Ascomycotina) hay ngành phụ Nấm đàm (Basidiomycotina). Tuy nhiên cho đến nay Luật quốc tế về danh pháp vẫn công nhận tên loài của các loài Nấm bất toàn với các đặc điểm chỉ của cơ quan sinh sản vô tính, tức là của bào tử trần và cơ quan mang bào tử đó. Như vậy một loài nấm có thể có 2 tên và 2 vị trí phân loại khác nhau : một là tên loài Nấm túi hoặc Nấm đàm và đương nhiên có vị trí phân loại trong ngành phụ Nấm túi hoặc ngành phụ Nấm đàm và một là tên loài Nấm bất toàn và cũng có vị trí phân loại trong ngành phụ Nấm bất toàn.

Vì loài và chi Nấm bất toàn, như vừa nói, không phải là loài và chi thực sự (chỉ là một giai đoạn trong chu trình sống của loài : giai đoạn có bào tử trần), một số tác giả không coi nhóm phân loại Nấm bất toàn là một nhóm phân loại chính thức trong hệ thống phân loại hệ thống sinh sản của Nấm (Kendrick 1992, Hawksworth và Ct., 1995, v.v.). Có lẽ vì truyền thống và ý nghĩa thực tiễn, nhiều tác giả khác vẫn giữ nhóm phân loại Nấm bất toàn trong hệ thống phân loại Nấm (Bessey 1950, Ainsworth và ct, 1973, Moore 1994, v.v.).

Để định loại Nấm bất toàn, hiện nay có 2 hệ thống : hệ thống phân loại hình thái (Saccardo, 1880, 1886) và hệ thống phân loại trước hết căn cứ vào đặc điểm phát sinh của bào tử trần.

Trong hệ thống phân loại hình thái, các nhóm phân loại cùng bậc phân cách nhau hoàn toàn bởi các đặc điểm hình thái của bào tử trần, bộ mày bào tử trần, hệ sợi nấm. Lớp Nấm bất toàn (Deuteromycetes, Fungi imperfecti) trong hệ thống Saccardo gồm 4 bộ :

Bộ Nấm túi giá (bộ Tú khí khuẩn, Sphaeropsidales) gồm các Nấm bất toàn có túi giá (pycnidium) và có 1 họ (Sphaeropsidaceae) gồm các loài ký sinh trên thực vật.

Bộ Nấm dìa giá (bộ Nấm đóm nâu, Melanconiales) gồm các Nấm bất toàn có dìa giá (acervulus) và cũng có 1 họ (Melanconiaceae) gồm các loài ký sinh trên thực vật.

Bộ Nấm bông (Moniliales, Hyphomycetales) gồm các Nấm bất toàn không có túi giá hoặc dìa giá, nghĩa là các giá bào tử trần (conidiophore) mọc từ các sợi nấm không phân hóa, các sợi nấm không tập hợp thành các bộ phận đặc biệt của hệ sợi nấm, gồm các loài vi nấm hoai sinh hoặc ký sinh.

Bộ Nấm bất thụ (*Mycetalia sterilia*, Agonomycetales) gồm các Nấm bất toàn không có một dạng bào tử thực nào kể cả bào tử trần.

Trong 4 bộ nấm trên, bộ Nấm bông có số loài đông nhất (khoảng 7500 loài) và được chia làm 4 họ. Họ Nấm bông (*Moniliaceae*) có sợi nấm, giá bào tử trần và bào tử trần không màu hoặc màu nhạt, giá bào tử trần rời nhau. Họ Nấm bông sẫm (*Dematiaceae*) cũng có giá bào tử trần rời nhau, nhưng sợi nấm hoặc giá bào tử trần hoặc bào tử trần hoặc cả 3 thành phần này có màu sẫm. Họ Nấm bó (*Stilbaceae*) có các giá bào tử trần dài, hợp lại thành bó giá (*synnema*, *coremium*). Họ Nấm đệm (*Tuberculariaceae*) có các giá bào tử trần ngắn, hợp lại thành đệm giá (*sporodochium*).

Dựa vào số lượng vách ngăn và hình dạng bào tử trần mỗi họ được chia làm các tổ chi (hoặc họ phụ) như : tổ chi *Amerosporae* có bào tử trần không ngăn vách, tổ chi *Didymosporae* có bào tử trần 1 vách ngang, tổ chi *Phragmosporae* có bào tử trần có 2 hoặc trên 2 vách ngang, tổ chi *Dictyosporae* có bào tử trần có vách ngang và vách dọc, tổ chi *Staurosporae* có bào tử trần hình sao, tổ chi *Helicosporae* có bào tử trần hình xoáy ốc. Mỗi tổ chi lại được chia làm 2 phân tổ : phân tổ *Micronemeae* có giá bào tử trần không khác sợi nấm về hình thái (kích thước, màu sắc, v.v.), phân tổ *Macronemeae* có giá bào tử trần phân biệt hẳn về hình thái với sợi nấm.

Trong từng tổ chi hay phân tổ, các chi Nấm bất toàn ngăn cách với nhau bởi một số đặc điểm hình thái của bào tử trần, giá bào tử trần và hệ sợi nấm, bởi cách sắp xếp của bào tử trần.

Hệ thống Saccardo trước đây và hiện nay giúp cho việc định loại Nấm bất toàn dễ dàng, nhanh chóng, tuy nhiên vì dùng một số dấu hiệu phân loại kém chính xác, nên thiếu độ tin cậy cần thiết ở một số nhóm phân loại.

Hệ thống phân loại phát sinh bào tử trần gọi tắt là hệ thống phát sinh hoàn chỉnh nhất từ hệ thống của Hughes (1953) đối với nhóm *Hyphomycetes* của Nấm bất toàn.

Trong hệ thống phân loại phát sinh, trừ loài và chi là những nhóm phân loại được thành lập với nghĩa là những giai đoạn vô tính (giai đoạn bào tử trần, *status conid.*) của các nhóm phân loại tương ứng ở Nấm túi và Nấm đệm, nhiều nhà nấm học không dùng các đơn vị phân loại chính thức trên chỉ cho các nhóm phân loại khác Nấm bất toàn.

(Deuteromycetes, Deuteromycotina, Deuteromycota, Deuteromycetia, Fungi imperfecti) được chia làm 3 nhóm tương đương với 3 lớp :

Nhóm Hyphomycetes gồm các Nấm bất toàn không có túi giá và dĩa giá.

Nhóm Coelomycetes gồm những Nấm bất toàn có túi giá hoặc dĩa giá.

Nhóm Agonomycetes gồm những Nấm bất toàn không có bào tử thực (bào tử trần).

Nấm Hyphomycetes chia thành các tổ chi (tương đương với họ) (Hughes 1953, Tubaki 1958, Barron 1969), hoặc thành họ (Subramanian 1962), hoặc thành nhóm phụ sau đó là các tổ chi (B.X.Đồng, 1972) (bảng 3.3).

**Bảng 3.3. Giả thuyết tiến hóa các tip phát sinh của bào tử trần và các nhóm phân loại tương ứng của Hyphomycetes**

(B.X.Đồng, 1972) (Mũi tên chỉ hướng tiến hóa)

Dắc điểm phát sinh bào tử trần	Bào tử trần tạo thành do sự cắt đoạn các sợi nấm (= những yếu tố có sẵn)	Bào tử trần do các sợi nấm và cả của bản thân các bào tử trần tạo thành. Về nguyên tắc, bào tử trần vừa có chức năng phát tán, vừa có chức năng của một tế bào sinh bào tử trần. Bào tử trần đơn độc hoặc thành chuỗi hướng ngược (acropetal)*	Bào tử trần chỉ do sợi nấm (tế bào sinh bào tử trần phát sinh từ sợi nấm) tạo thành. Bào tử trần hoàn toàn phân hóa làm nhiệm vụ phát tán. Bào tử trần đơn độc hoặc thành chuỗi hướng gốc (basipetal)*
Tip có bàn bào tử trần	Arthroconidi	Proconidi	Euconidi

\* Chuỗi : Chuỗi hướng ngược : Các bào tử trần cung cấp về phía ngược chuỗi, cung non (chuỗi gốc già).

Chuỗi hướng gốc : Các bào tử trần cung cấp về phía gốc chuỗi, cung non (chuỗi gốc non).

Bảng 3.3 (tiếp)

Tip bào tử trần và các tổ chi tương ứng	arthroconidi ARTHROCONDIAE (tổ chi VII, Hughes 1953)	blastoconidi BLASTOCONDIAE (tổ chi IA, VIII, Hughes 1953) botryo-blastoconidi BOTRYO- BLASTOCONDIAE (tổ chi IB, Hughes 1953) sympoduloconidi SYMPODOULOCONDIAE (tổ chi II, Hughes 1953) pococonidi POROCONDIAE (tổ chi VI, Hughes 1953)	aleuroconidi ALEURIOCONDIAE (tổ chi III, Hughes 1953) Meristem-aleuroconidi MERISTEM- ALEURIOCONDIAE (tổ chi V, Hughes 1953) phialoconidi PHIALOCONDIAE (tổ chi IV, Hughes 1953)
Các phân nhóm của nhóm Hyphomycetes	ARTHROHYPHO- MYCETIDAE	BLASTOHYPHOYCETIDAE	EUHYPHOMYCETIDAE

Theo bảng 3.3, mức độ phân hóa của bào tử trần càng ngày càng cao từ tip cơ bản arthroconidi (bào tử trần được tạo thành từ yếu tố cổ sên, nghĩa là bằng cách phân đoạn các sợi nấm), đến tip cơ bản proconidi (bào tử trần là các yếu tố mới được tạo thành, từ các tế bào sinh bào tử trần của hệ sợi nấm, nhưng các bào tử trần này chưa phân hóa hoàn toàn, do đó vừa có chức năng phát tán, vừa có chức năng của tế bào sinh bào tử trần của sợi nấm), và cuối cùng là euconidi (tip cơ bản có mức độ phân hóa cao nhất, chỉ có chức năng duy nhất là chức năng phát tán của cơ thể nấm). Tương ứng với 3 tip cơ bản trên của bào tử trần của nhóm Hyphomycetes là 3 phân nhóm : Arthrophymycetidae, Blastohyphomycetidae và Euhyphomycetidae với các tổ chi trong từng phân nhóm. Các chi Nấm bắt toàn thuộc nhóm Hyphomycetes được tập hợp trong các tổ chi và các phân nhóm này (các bảng 3.4, 3.5, 3.6).

**Bảng 3.4. Khóá định loại các chi Nấm bất toàn thuộc phân nhóm Arthrohyphomycetidae (nhóm Hyphomycetes) có ở Việt Nam (B.X.Đồng, 1984)**

1. Giá bào tử trần không phân hóa hình thái (không phân biệt với sợi nấm). Bào tử trần không màu, không ngăn vách, nhẵn, thuộc típ arthroconidi . . .
 

. . . *Geotrichum* Link ex Pers.
2. Giá bào tử trần phân hóa hình thái rõ rệt. Bào tử trần không màu, màu vàng da cam khi tu lại thành khối, không ngăn vách, trong cùng một chuỗi ngăn cách nhau bởi các đoạn nối hình trụ . . .
 

. . . *Amblyosporum* Fres.

**Bảng 3.5. Khóá định loại các chi Nấm bất toàn thuộc phân nhóm Blastophyphomycetidae (nhóm Hyphomycetes) có ở Việt Nam (B.X.Đồng, 1984)**

1. Bào tử trần không tạo thành qua các lỗ nhỏ trên vách của các tế bào sinh bào tử trần
 

2

  1. Bào tử trần tạo thành qua lỗ nhỏ trên vách của các tế bào sinh bào tử trần (tổ chi Poroconidiae)
 

13

    2. Bào tử trần đơn độc, tạo thành đồng thời trên các gai nhỏ ở vách ngoài của các tế bào sinh bào tử trần (tổ chi Botryoblastoconidiae)
 

3
    2. Bào tử trần tạo thành chuỗi hướng ngon (tổ chi Blastoconidiae)
 

5
    3. Giá bào tử trần tiếp tục tăng trưởng qua đỉnh cũ. Nhiều bào tử trần đơn độc trên bọng hình cầu ở đỉnh giá và ở một số dốt trên giá. Bào tử trần không ngăn vách . . .
 

. . . *Gonatobotryum* Sacc.
  3. Giá bào tử trần ngừng tăng trưởng khi bào tử trần đã được tạo thành trên tế bào sinh bào tử trần ở đỉnh
 

4

    4. Giá bào tử trần phân nhánh không đều nhiều lần. Tế bào sinh bào tử trần phồng thành bọng hình cầu ở đỉnh các nhánh. Bào tử trần không ngăn vách . . .
 

. . . *Botrytis* Mich. ex Fr.
    4. Giá bào tử trần phân nhánh theo kiểu chia đôi nhiều lần ở phần ngọn. Tế bào sinh bào tử trần là các nhánh không phồng thành bọng. Bào tử trần không ngăn vách . . .
 

. . . *Chromelosporium* Cda.
    5. Giá bào tử trần và tế bào sinh bào tử trần không phân hóa hình thái. Bào tử trần không ngăn vách, thành chuỗi ngắn . . .
 

. . . *Auricularioides* Viala et Boyer
    5. Giá bào tử trần hay tế bào sinh bào tử trần phân hóa ít hay nhiều
 

6

6. Bào tử trần không màu hoặc màu nhạt	7
6. Bào tử trần màu sẫm	8
7. Giá bào tử trần màu sẫm, phân nhánh theo kiểu <i>Penicillium</i> . Bào tử trần không ngăn vách, nhẵn, thành khối cầu . . . .	
	<i>Haplographium</i> Berk. et Br.
7. Giá bào tử trần không màu, phân nhánh không đều. Bào tử trần không ngăn vách, thành chuỗi . . . .	
	<i>Momilia</i> Pers. emend Sacc.
8. Bào tử trần không ngăn vách	9
8. Bào tử trần bao giờ cũng ngăn vách	11
9. Tế bào sinh bào tử trần không phòng to thành hình cầu, phân nhánh ở đỉnh hoặc không. Bào tử trần không ngăn vách hoặc có vách ngang . . . .	
	<i>Cladosporium</i> Link ex Fr.
9. Tế bào sinh bào tử trần (ở đỉnh giá bào tử trần) hình cầu	10
10. Tế bào sinh bào tử trần là đỉnh giá phòng to, tạo thành 2 - 3 chuỗi bào tử trần ở phần đỉnh. Sợi cứng (seta) màu nâu . . . .	
	<i>Laccellinopsis</i> Subramanian
10. Nhiều tế bào sinh bào tử trần trên đỉnh giá phòng to, mỗi tế bào tạo thành một chuỗi bào tử trần. Không có sợi cứng . . . .	
	<i>Periconia</i> Tode ex Fr.
11. Bào tử trần thường chỉ có một vách ngang. Giá bào tử trần không phân nhánh . . . .	
	<i>Bispora</i> Cda.
11. Bào tử trần thường có nhiều vách ngang	12
12. Bào tử trần có một hoặc nhiều vách ngang. Mỗi bào tử trần trong chuỗi có một phần phụ hình cầu ở gốc . . . .	
	<i>Bahusandhika</i> Subramanian.
12. Bào tử trần thường có 2 vách ngang trở lên. Các bào tử trần trong chuỗi liên nhau . . . .	
	<i>Septomema</i> Cda.
13. Bào tử trần có vách ngang	14
13. Bào tử trần có vách ngang và vách dọc	21
14. Bào tử trần thường chỉ có một vách ngang. Giá bào tử trần thường phân nhánh . . . .	
	<i>Diphycocystis</i> Grove
14. Giá bào tử trần có nhiều vách ngang	15
15. Giá bào tử trần thành chuỗi	16

15. Bảo tử trần đơn độc hoặc thành chuỗi ngắn . . . . . 18
16. Chuỗi bảo tử trần gãy thành các phần không đều. Giá bảo tử trần thường không phân nhánh . . . . .  
    . . . . . *Torula* Pers.ex Fr.
16. Mỗi bảo tử trần rời khỏi chuỗi riêng biệt. Giá bảo tử trần thường phân nhánh . . . . . 17
17. Giá bảo tử trần ngừng tăng trưởng khi đã tạo thành bảo tử trần ở đỉnh.  
    Bảo tử trần trưởng thành từ ngắn gốc đến ngắn đỉnh . . . . .  
    . . . . . *Dendryphion* Wallroth
17. Giá bảo tử trần tăng trưởng theo kiểu hợp trực. Bảo tử trần trưởng thành đồng thời ở tất cả các ngắn . . . . .  
    . . . . . *Dendryphicella* Bubak et Ranojevic
18. Giá bảo tử trần ngừng tăng trưởng khi đã tạo thành bảo tử trần ở đỉnh.  
    Bảo tử trần hình trụ hoặc gần chày . . . . .  
    . . . . . *Holminthosporium* Link ex Fr. 19
18. Giá bảo tử trần tăng trưởng theo kiểu hợp trực . . . . . 19
19. Bảo tử trần hình trụ tròn đều, thẳng hoặc hơi cong, vách dày, ngắn giữa thường lớn nhất . . . . .  
    . . . . . *Drechslera* Ito
19. Bảo tử trần hình thoi, hình gần chày, hình gần cầu . . . . . 20
20. Bảo tử trần thường có một ngắn cong, ngắn đỉnh hoặc ngắn gốc hoặc cả hai có màu nhạt rõ rệt hơn các ngắn khác . . . . .  
    . . . . . *Curvularia* Boedijn
20. Bảo tử trần không như trên . . . . . 21
21. Bảo tử trần có sẹo lồi lên rõ rệt, màu nâu sẫm ở gốc . . . . .  
    . . . . . *Exosporium* Link ex Schlechtendal
21. Bảo tử trần không có sẹo lồi lên rõ rệt . . . . . 22
22. Bảo tử trần hình trúng hoặc hình chày, có đỉnh kéo dài thành phần phụ hình trụ hẹp . . . . .  
    . . . . . *Alticaria* Nees ex Wallroth
22. Bảo tử trần hình gần cầu, đỉnh tròn . . . . . 23
23. Giá bảo tử trần tăng trưởng qua đỉnh cũ . . . . .  
    . . . . . *Stemphylium* Wallroth
23. Giá bảo tử trần tăng trưởng theo kiểu hợp trực . . . . .  
    . . . . . *Ulocladum* Preuss

**Bảng 3.6. Khóa định loại các chi Nấm bút toàn thuộc phân nhóm  
Euhyphomycetidae (nhóm Hyphomycetes) có ở Việt Nam (B.X.Đồng, 1984)**

1. Giá bào tử trần tăng trưởng theo kiểu hợp trực. Bào tử trần đơn độc (tổ chi <i>Sympodulocomidiace</i> )	2
1. Giá bào tử trần không tăng trưởng theo kiểu hợp trực	16
2. Bào tử trần hình elip, tạo thành bởi các vòng xoắn . . . . .	
. . . . . <i>Helicoon</i> Morgan	
2. Bào tử trần không tạo thành bởi các vòng xoắn	3
3. Giá bào tử trần không màu hoặc màu nhạt	4
3. Giá bào tử trần hoặc bào tử trần hoặc cả hai màu sẫm	10
4. Bào tử trần không ngăn vách	5
4. Bào tử trần ngăn vách	9
5. Không có giá bào tử trần hoặc nếu có, giá bào tử trần không phân nhánh	6
5. Giá bào tử trần phân nhánh hoặc mang cụm tế bào sinh bào tử trần ở đỉnh	7
6. Tế bào sinh bào tử trần không tạo thành gai khi tăng trưởng . . . . .	
. . . . . <i>Sporothrix</i> Hektoen et Perkins	
6. Tế bào sinh bào tử trần (phần ngọn giá bào tử trần) tạo thành gai khi tăng trưởng . . . . .	
. . . . . <i>Spicellum</i> Nicot et Roquebert	
7. Tế bào sinh bào tử trần có phần gốc phình to . . . . .	
. . . . . <i>Beauveria</i> Vuill.	
7. Tế bào sinh bào tử trần thẳng hoặc thon dần	8
8. Bào tử trần hình con quay. Có sợi cứng hoặc dính giá biến đổi thành sợi cứng . . . . .	
. . . . . <i>Beltraniella</i> Subramanian	
8. Bào tử trần hình gần cầu. Không có sợi cứng . . . . .	
. . . . . <i>Tritirachium</i> Limber	
9. Bào tử trần có một vách ngang với 2 ngăn không đều. Giá bào tử trần thường dài . . . . .	
. . . . . <i>Arthrobotrys</i> Cda.	
9. Bào tử trần có 1 hoặc nhiều vách ngang. Giá bào tử trần thường ngắn . . . . .	
. . . . . <i>Dactylaria</i> Sacc.	
10. Bào tử trần không ngăn vách	11
10. Bào tử trần ngăn vách . . . . .	12

Bào tử trần hoàn toàn không ngăn vách, cong hình luỗi liềm. Giá bào tử trần không ngăn vách . . . .	
	. . . . <i>Iridiole</i> Nelson et Wilhelm
Bào tử trần dài khi có vách ngang, hình elip thẳng. Giá bào tử trần ngăn vách . . . .	
	. . . . <i>Veronaea</i> Cif. et Mont. (in part)
Bào tử trần có một vách ngang . . . .	13
Bào tử trần có nhiều vách ngang . . . .	14
Bào tử trần cong, không màu. Có sợi cứng . . . .	
	. . . . <i>Neta</i> Shearer et Crane
Bào tử trần thẳng, màu sẫm. Không có sợi cứng . . . .	
	. . . . <i>Cordana</i> Preuss
Bào tử trần cong, không màu. Giá bào tử trần màu nâu . . . .	
	. . . . <i>Pleurothecium</i> Hohnel
Bào tử trần thẳng . . . .	15
Bào tử trần không màu, đơn độc dọc theo phần ngọn nhánh của giá bào tử trần . . . .	
	. . . . <i>Veronaea</i> Cif. et Mont. (in part)
Bào tử trần màu nâu nhạt, đơn độc, sát nhau ở phần đỉnh giá bào tử trần, trên các gai nhô . . . .	
	. . . . <i>Pleurophragmium</i> Costantin
Bào tử trần đơn độc (tổ chi <i>Aleuroconidiace</i> ) . . . .	17
Bào tử trần thành chuỗi hoặc khối hình cầu ở miệng tế bào sinh bào tử trần (tổ chi <i>Phialoconidiace</i> , tổ chi <i>Anelloconidiace</i> ) . . . .	39
Bào tử trần hình xoắn ốc . . . .	
	. . . . <i>Helicosporium</i> C.G.Nees
Bào tử trần có hình dạng khác hình xoắn ốc . . . .	18
Giá bào tử trần và bào tử trần không màu (màu nhạt) . . . .	19
Giá bào tử trần hoặc bào tử trần hoặc cả hai có màu sẫm . . . .	23
Bào tử trần không ngăn vách . . . .	20
Bào tử trần ngăn vách . . . .	21
Giá bào tử trần không phân hóa hình thái, có thể có đồng thời bào tử trần thuộc tip arthroconidi . . . .	
	. . . . <i>Chrysosporium</i> Cda.
Giá bào tử trần phân hóa hình thái, chỉ có bào tử trần thuộc tip aleuroconidi . . . .	
	. . . . <i>Sporotrichum</i> Link ex Fr.

21. Bào tử trần hình gần trụ, có 0 - 2 vách ngang, không có ngăn nào hình cầu . . .	<i>Scolecochesidium</i> Abbott
21. Bào tử trần có 1 vách ngang, ngăn đỉnh hình cầu	22
22. Bào tử trần có ngăn đỉnh hình cầu, ngăn gốc hình nửa cầu . . .	
	<i>Mycogone</i> Link ex Chevalier
22. Bào tử trần có ngăn đỉnh hình gần cầu (vách ngang thẳng), ngăn gốc hình nón . . .	
	<i>Chlamydomyces</i> Bainier
23. Bào tử trần không ngăn vách	24
23. Bào tử trần ngăn vách	32
24. Bào tử trần hình cầu	25
24. Bào tử trần không có hình dạng trên	29
25. Giá bào tử trần có phần ngọn (tế bào sinh bào tử trần) phồng to hình trứng. Bào tử trần màu đen . . .	
	<i>Nigrospora</i> Zimmermann
25. Giá bào tử trần không như trên	26
26. Bào tử trần có vách dày đặc biệt và lỗ này sợi lớn . . .	
	<i>Gilmaniella</i> Barron
26. Bào tử trần không như trên	27
27. Giá bào tử trần phân nhánh không đều. Có sợi cứng . . .	
	<i>Berryotrichum</i> Sacc. et Marchal
27. Giá bào tử trần không phân nhánh	28
28. Bào tử trần bao giờ cũng màu sẫm và có nốt sần. Chịu nhiệt hoặc ưa nhiệt . . .	
	<i>Thermomyces</i> Tsiklinsky
28. Bào tử trần có gai hoặc nhẵn. Không chịu nhiệt hoặc ưa nhiệt . . .	
	<i>Humicola</i> Traaen
29. Giá bào tử trần tăng trưởng ở gốc, các vách ngang màu sẫm tối. Bào tử trần có rãnh này sợi màu nhạt . . .	
	<i>Arthrinium</i> Kunze ex Fr.
29. Giá bào tử trần không như trên	30
30. Phần ngọn giá bào tử trần (tế bào sinh bào tử trần) tăng trưởng qua đỉnh, có khuyên seo . . .	
	<i>Acrogenospora</i> MBEllis
30. Tế bào sinh bào tử trần không như trên	31

31. Bảo tàng tròn có phần gốc hình cầu, phần đỉnh thon nhỏ và ngắn, sát nhau thành cụm ở phần đỉnh của giá bảo tàng . . . .	<i>Echinobotryum</i> Cda.
31. Bảo tàng tròn hình tròn với rãnh này sợi lớn, thành cụm ở phần đỉnh hoặc ở dọc thân giá bảo tàng . . . .	<i>Mammaria</i> Cesati
32. Bảo tàng tròn có vách ngang . . . .	33
32. Bảo tàng tròn có vách ngang và vách dọc . . . .	37
33. Bảo tàng tròn cầu tạo bởi các nhánh ngắn vách ngang, các nhánh sát nhau thành cụm . . . .	
	<i>Dictyosporium</i> Cda.
33. Bảo tàng tròn không nhu trên . . . .	34
34. Bảo tàng tròn có vách rất dày, hình elip. Giá bảo tàng ngắn, không phân hóa hình thái . . . .	
	<i>Murogenella</i> Goos et Morris
34. Bảo tàng tròn có vách dày bình thường . . . .	35
35. Bảo tàng tròn có một vách ngang . . . .	
	<i>Balanium</i> Wallroth
35. Bảo tàng tròn có nhiều vách ngang . . . .	36
36. Giá bảo tàng tròn đơn độc, ngắn hoặc không có . . . .	
	<i>Trichocladium</i> Harz
36. Giá bảo tàng tròn dài, tụ họp thành bó giá . . . .	
	<i>Nyctalospora</i> Morris
37. Bảo tàng tròn hình cầu. Bảo tàng tròn ngắn, thành cụm . . . .	
	<i>Epicoccum</i> Link ex Schlechtendal
37. Bảo tàng tròn khác hình cầu . . . .	38
38. Giá bảo tàng tròn là các nhánh ngang, ngắn của sợi nấm . . . .	
	<i>Pithomyces</i> Berk. et Br.
38. Giá bảo tàng tròn dài, phân hình thái rõ rệt, tăng trưởng qua đỉnh . . . .	
	<i>Acrodictys</i> M.B.Ellis
39. Giá bảo tàng tròn tụ họp thành bó giá, thành cụm hoặc thành từng lớp rõ rệt . . . .	40
39. Giá bảo tàng tròn phần lớn đơn độc . . . .	43
40. Giá bảo tàng tròn thành bó giá . . . .	41
40. Giá bảo tàng tròn thành cụm hoặc thành lớp . . . .	42
41. Bó giá không có lớp sợi bao bọc, phần ngon giá phân nhánh theo	

kiểu Penicillium. Bào tử trần (không ngăn vách) màu sẫm . . .

. . . *Doratomyces* Cda.

41. Bóng giá (cả phần thân và phần ngọn) có các sợi bất thụ bao bọc. Phần ngọn giá phân nhánh ở đỉnh nhiều lần. Bào tử trần (không ngăn vách) không màu hoặc màu nhạt . . .

. . . *Heterocephalum* Thaxter.

42. Giá bào tử trần thành từng lớp, ngăn vách không sát với nhau. Bào tử trần (không ngăn vách) không màu, thành chuỗi . . .

. . . *Merarhizium* Sorokin

42. Giá bào tử trần thành cụm, dài, sát với nhau. Bào tử trần (không ngăn vách) màu nhạt hoặc sẫm, tụ họp thành khối cầu . . .

. . . *Myrothecium* Tode ex Fr.

43. Tế bào sinh bào tử trần có các khuyên sẹo

44

43. Tế bào sinh bào tử trần không có khuyên sẹo

45

44. Giá bào tử trần màu sẫm. Bào tử trần (không ngăn vách) không màu, tụ họp thành khối nhày . . .

. . . *Leptographium* Lagerberg et Melin

44. Giá bào tử trần và bào tử trần không màu. Bào tử trần (không ngăn vách) thành chuỗi . . .

. . . *Scopulariopsis* Bainier

45. Giá bào tử trần và bào tử trần không màu (màu nhạt)

46

45. Giá bào tử trần hoặc bào tử trần hoặc cả hai màu sẫm

54

46. Bào tử trần không ngăn vách

47

46. Bào tử trần có vách ngang

53

47. Giá bào tử trần không phân nhánh. Tế bào sinh bào tử trần không thành cụm rõ rệt

48

47. Giá bào tử trần thường phân nhánh. Tế bào sinh bào tử trần thành cụm

50

48. Tế bào sinh bào tử trần phồng to ở phần giữa, thon nhỏ ở phần gốc và phần ngọn . . .

. . . *Monocillium* Saksena

48. Tế bào sinh bào tử trần thon dần từ gốc đến đỉnh

49

49. Chuỗi bào tử trần bền, không có mấu nối giữa các bào tử trần trong chuỗi . . .

. . . *Acremonium* Link ex Fr.

49. Chuỗi bào tử trần bền, có mấu nối giữa các bào tử trần trong chuỗi . . .

. . . *Sagenomella* W.Gams

50. Thân giá bào tử trần không có nhánh, đỉnh giá phồng to

51

50. Thân giá bào tử trần có nhánh, đỉnh giá không phồng to	52
51. Bào tử trần khô, thành chuỗi dài. Giá bào tử trần phồng to thành bọng ở đỉnh, trên mặt bọng có các thể bình hoặc cuống thể bình mọc sát nhau . . . . .	
. . . . . <i>Aspergillus</i> Mich.ex Fr.	
51. Bào tử trần tu lại thành khối nhày với các nhánh sợi bất thụ bao bọc bên ngoài. Giá bào tử trần mang các nhánh cấp 1, cấp 2 và các thể bình ở đỉnh các nhánh cấp 2 . . . . .	
. . . . . <i>Gliocephalotrichum</i> J.J.Ellis et Hesseltine	
52. Thể bình có phần ngọn thon nhỏ, phần ngọn bao giờ cũng ngắn hơn phần gốc, xếp sát nhau thành cụm đặc trưng . . . . .	
. . . . . <i>Penicillium</i> Link ex Fr.	
53. Bào tử trần cong hình luôi liềm. Có hoặc không bào tử trần nhỏ hình cầu, trúng elip . . . . .	
. . . . . <i>Fusarium</i> Link ex Fr.	
53. Bào tử trần thẳng, hình trụ. Không có bào tử trần nhỏ . . . . .	
. . . . . <i>Cylindrocarpon</i> Wollenweber	
54. Bào tử trần không ngăn vách	55
54. Bào tử trần có vách ngang	62
55. Giá bào tử trần màu sẫm. Bào tử trần màu nhạt	56
55. Giá bào tử trần và bào tử trần màu sẫm	60
56. Ngọn giá bào tử trần biến đổi thành sợi cứng hoặc có sợi cứng riêng biệt	57
56. Hoàn toàn không có sợi cứng	58
57. Ngọn giá bào tử trần biến đổi thành sợi cứng. Tế bào sinh bào tử trần mọc thành cụm dọc thân giá. Bào tử trần thành khối nhỏ ở miệng thể bình . . . . .	
. . . . . <i>Gonytrichum</i> Nees et Nees ex Walkroth	
57. Sợi cứng riêng biệt. Tế bào sinh bào tử trần đơn độc trên sợi nấm hoặc trên đỉnh giá bào tử trần. Bào tử trần 0 - 1 vách ngang, thành chuỗi . . . . .	
. . . . . <i>Chaetochalara</i> Sutton et Pirozynski	
58. Giá bào tử trần tăng trưởng qua đỉnh cũ. Bào tử trần tụ họp thành khối nhỏ ở miệng thể bình . . . . .	
. . . . . <i>Chloridium</i> Link ex Fr.	
58. Giá bào tử trần ngừng tăng trưởng khi đã sinh bào tử trần	59
59. Bào tử trần ngoại sinh (hoặc nửa nội sinh), hình gần cầu. Thể bình ở đỉnh và dọc thân giá bào tử trần . . . . .	
. . . . . <i>Angulimaya</i> Subramanian et Lodha	

59. Bào tử trần nội sinh rõ rệt, hình trụ. Thể bình đơn độc ở đỉnh giá bào tử trần . . .	. . . <i>Chalara</i> (Cda.) Rabenh.
60. Bào tử trần nội sinh, hình nón cụt với đáy hình nhiều cạnh, thành chuỗi . . .	. . . <i>Catenularia</i> Grove
60. Bào tử trần nửa nội sinh, hình trúng, tụ họp thành khối ở miếng thể bình	61
61. Thể bình thon dẫu từ gốc đến đỉnh. Có bá sợi . . .	. . . <i>Gliomastix</i> Guéguen
61. Thể bình phình to ở phần giữa, sau thon nhô đến đỉnh, có miệng gờ rõ rệt . . .	. . . <i>Phialophora</i> Medlar
62. Giá bào tử trần không phân nhánh hoặc có ít nhánh dọc thân	63
62. Giá bào tử trần phân nhánh ở đỉnh	64
63. Thường có sợi cứng và thể bình kép. Bào tử trần (0-3 vách ngang, không màu), hình elip, cong . . .	. . . <i>Codonace</i> Maire
63. Không có sợi cứng. Thể bình đơn. Bào tử trần (0-3 vách ngang, không màu), hình trụ thẳng . . .	. . . <i>Cylindrotrichum</i> Bonorden
64. Giá bào tử trần phân nhánh không đều, mỗi nhánh có một thể bình ở đỉnh. Bào tử trần màu sẫm, cong, thành chuỗi gói kung lên nhau . . .	. . . <i>Fusariella</i> Sacc.
64. Giá bào tử trần phân nhánh theo kiểu <i>Penicillium</i> . Bào tử trần không màu, thẳng, thành chuỗi . . .	. . . <i>Penicillifer</i> van Emden

Trong phạm vi chương này, chúng tôi chỉ trình bày các chi Nấm bắt toàn dùng trong công nghệ sinh học đã có ứng dụng rộng rãi trong sản xuất.

### Chi ASPERGILLUS Michel ex Fries

Chi *Aspergillus* do Meicheli mô tả lần đầu tiên năm 1729, sau đó năm 1809, Link mô tả loài *Aspergillus glaucus* và loài Nấm túi *Eurotium herbariorum* phát hiện thấy trên cùng một tiêu bản mẫu cây khô. Fries (1832) chấp nhận chi nấm này của Micheli, như vậy theo Luật quốc tế về danh pháp thực vật (điều 13f), chi *Aspergillus* chính thức mang tên *Aspergillus* Michel ex Fries. De Bary (1850) phát hiện giai đoạn bào tử trần của *Eurotium herbariorum* chính là *Aspergillus glaucus*. Cuối thế kỷ 19, một số công trình nghiên cứu cho biết một số sản phẩm lên men của một số loài thuộc chi *Aspergillus* là các acid hữu cơ như acid oxalic,

acid citric, v.v. và do đó chi *Aspergillus* được chú ý nghiên cứu cả về mặt hóa sinh, lén men vi sinh vật và cả về phân loại học. Wehmer ngoài các công trình nghiên cứu về hóa sinh, lén men các loài thuộc chi *Aspergillus*, đã có một chuyên luận về phân loại chi Nấm bát toán này (1901). Nhiều loài thuộc chi *Aspergillus* được phát hiện thấy những đặc tính lén men mới, nhiều loài *Aspergillus* khác được tìm thấy trên những loại cơ chất khác nhau (dược phẩm, lương thực, thực phẩm, v.v.) và cũng nhiều loài mới thuộc chi nấm này được mô tả. Thom và Church (1926) nghiên cứu phân loại học các loài đã được mô tả của chi *Aspergillus*, đề nghị chấp nhận 69 tên loài và thứ trong tổng số 350 loài và thứ đã mô tả. Hai nhà nấm học này đã sắp xếp 69 tên loài và thứ được chấp nhận đó vào 11 tập hợp dưới chi (nhóm loài, group). Chuyên luận tiếp theo về phân loại chi *Aspergillus* của Thom và Raper (1945) gồm 80 loài và 10 thứ được chấp nhận hoặc mô tả mới, các loài và thứ đó được tập hợp trong 14 nhóm loài. Chuyên luận về chi *Aspergillus* xuất bản gần đây nhất và vẫn đang được sử dụng rộng rãi để định loại các loài của chi nấm này là chuyên luận của Raper và Fennell (1965). Tiếp tục quan niệm phân loại học về chi *Aspergillus* từ Thom và Church (1926), Thom và Haper (1945), Raper và Fennell chấp nhận và mô tả mới 136 loài và 18 thứ tập hợp trong 18 nhóm loài.

Một điều đáng chú ý về phân loại học chi *Aspergillus* là từ Fischer (1897), Wehmer (1901), tiếp theo Thom và Church (1926), Thom và Raper (1945), Raper và Fennell (1965) đều giữ quan điểm : chỉ dùng một tên chi (tên *Aspergillus*) cho tất cả các loài tạo thành bộ máy mang bào tử trần có các đặc điểm của chi nấm này, dù các loài đó có hoặc không có giai đoạn tạo thành bào tử túi (giai đoạn hữu tính). Chi *Aspergillus* như vậy có 2 vị trí phân loại : vị trí phân loại trong Nấm bát toán (họ Mucedinaceae, bộ "Hyphomycetes", lớp "Fungi imperfecti"), và vị trí phân loại trong lớp Nấm túi (họ Aspergillaceae, bộ "Plectascineae", lớp Ascomycetes) (Raper và Fennell 1965).

Một khuynh hướng khác không coi chi *Aspergillus* là một trường hợp ngoại lệ của Luật quốc tế về danh pháp thực vật và như vậy, tên *Aspergillus* chỉ dùng cho các loài Nấm bát toán, dù các loài đó có hay không tạo thành bào tử túi. Một khác, những loài nấm có giai đoạn bào tử trần thuộc chi *Aspergillus* và tạo thành bào tử túi được tập hợp riêng trong các chi Nấm túi. Các chi Nấm túi này được thành lập căn cứ chủ yếu vào các đặc điểm phân loại của bộ máy sinh bào tử túi (thể quả túi, các túi bào tử và các bào tử túi - ascocarpium, ascus, ascosporum). Như vậy một loài Nấm túi có giai đoạn bào tử trần thuộc chi *Aspergillus*, mang 2 tên : một tên loài thuộc chi *Aspergillus*, một tên loài thuộc chi Nấm túi (Benjamin 1955, Sarbhoy et Elphick 1968, Subramanian 1972, v.v.). Sau nhiều năm 2 quan điểm này cùng tồn tại, Fennell (1977) cũng đã chấp nhận điều 59 của Luật quốc tế về danh pháp thực vật đối với

chi *Aspergillus*. Đó cũng là quan điểm phân loại học của hầu hết các tài liệu phân loại về chi *Aspergillus* hiện nay.

Các loài Nấm túi có giai đoạn bào tử tràn thuộc chi *Aspergillus* (38 loài, 8 thứ) thuộc 11 chi Nấm túi (Fennell 1977), 11 chi Nấm túi này có giai đoạn bào tử tràn thuộc 8 nhóm loài trong tổng số 18 nhóm loài của chi *Aspergillus* (bảng 3.7).

**Bảng 3.7. Các chi Nấm túi có giai đoạn bào tử tràn thuộc chi *Aspergillus***

Mich ex Fr. và các nhóm loài tương ứng thuộc chi Nấm bất toàn này  
(Fennell 1977).

Nhóm loài của chi <i>Aspergillus</i>	Các chi Nấm túi tương ứng
Nhóm loài <i>A. glaucus</i>	<i>Edvullia Subramanian</i> <i>Eurotium Link ex Fr.</i> <i>Marougiella Subramanian</i> <i>Hemisarmentales Sarbhoy et Elphick</i>
Nhóm loài <i>A. ornatius</i>	<i>Dichlaena Montagne et Dericie</i> <i>Scleroschistis Subramanian</i>
Nhóm loài <i>A. fumigatus</i>	<i>Neosartorya Malloch et Cain</i>
Nhóm loài <i>A. ochraceus</i>	<i>Petromyces Malloch et Cain</i>
Nhóm loài <i>A. cretaceus</i>	<i>Chaetosartorya Malloch et Cain</i>
Nhóm loài <i>A. nidulans</i> (và loài <i>A. niveus</i> Blochw.)	<i>Emericella Berk et Br.</i>
Nhóm loài <i>A. flavipes</i>	<i>Fennellia Wiley et Simmons</i>

Một điều đáng chú ý là hầu như mỗi nhóm loài của chi *Aspergillus* có giai đoạn hữu tính (giai đoạn bào tử túi) tương ứng với một chi hoặc một số chi Nấm túi, chứng tỏ các đặc điểm của bộ máy mang bào tử tràn ở chi *Aspergillus* có khả năng phản ánh tính chất hệ thống sinh của các loài trong chi Nấm bất toàn này, do đó cũng chứng tỏ các nhóm loài của Raper và Fennell (1965) thuộc chi *Aspergillus* có ý nghĩa hệ thống sinh. Tất nhiên ý nghĩa này còn hạn chế : còn 10 trong tổng số 18 nhóm loài thuộc chi *Aspergillus* không có hoặc chưa tìm thấy giai đoạn bào tử túi.

Chi *Aspergillus* Mich. ex Fr. đặc trưng bởi những đặc điểm sau (hình 1.2, chương một ; hình 3.3).

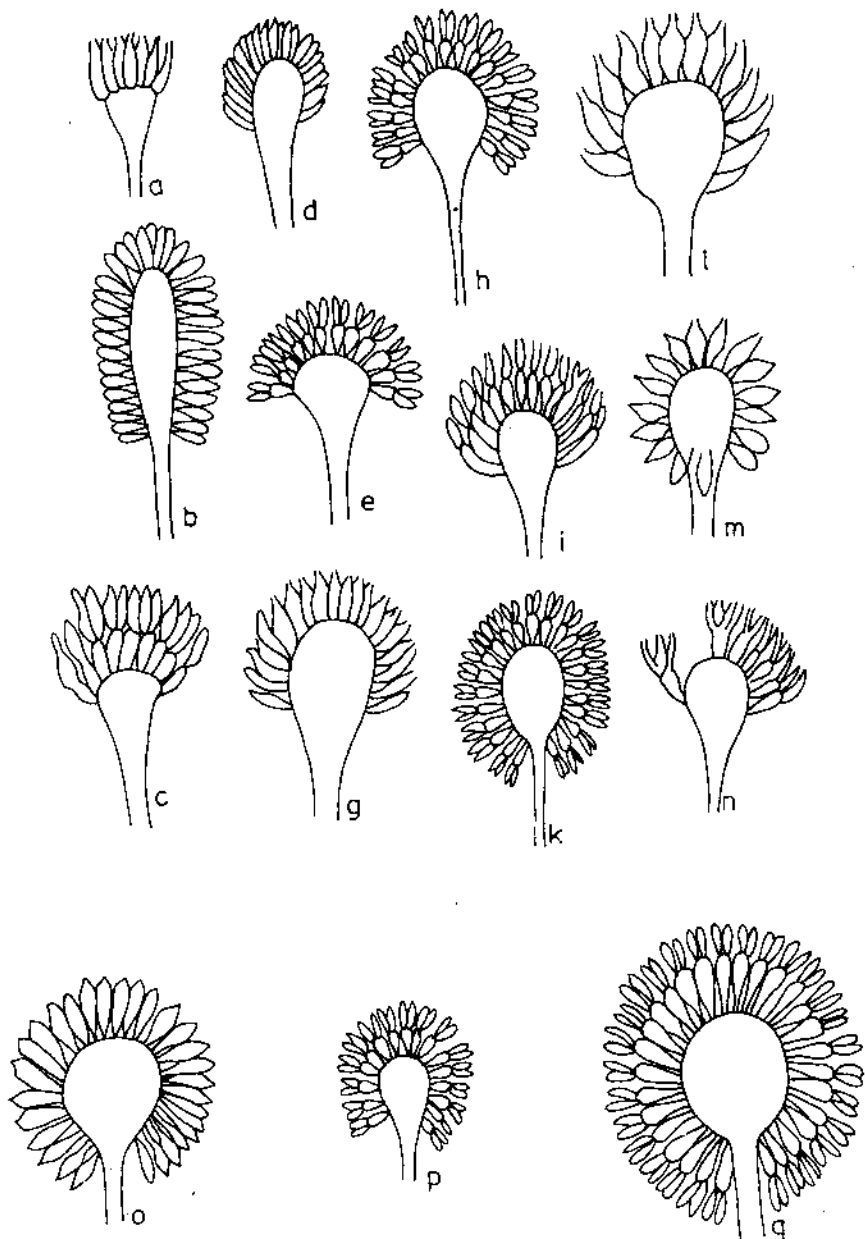
Hệ sợi nấm gồm các sợi ngăn vách, phân nhánh, không màu, màu nhạt hoặc trong một số trường hợp trở thành nâu hay màu sẫm khác ở các vùng nhất định của khuẩn lạc. Bộ máy mang bào tử tràn phát triển

từ một tế bào có đường kính lớn hơn, màng dày hơn các đoạn lân cận của sợi nấm (tế bào chân - foot cell). Giá bào tử tràn phát triển từ tế bào chân, như là một nhánh của sợi nấm, gần thẳng góc với trục của tế bào chân và thường ở trên mặt cơ chất. Giá bào tử tràn không có nhánh, không có hoặc có ít vách ngang, có phần đỉnh to ra thành bong hình chùy, hình elip, hình nửa cầu hoặc hình cầu. Bong hữu thụ này (bong đỉnh giá) mang các thể bình. Các thể bình này hoặc song song và hợp thành cụm ở phần đỉnh bong, hoặc xếp thành hình tia sát nhau trên toàn bộ bề mặt bong. Thể bình hoặc chỉ có một tầng hoặc có 2 tầng. Trong trường hợp sau, mỗi thể bình cấp 1 (cũng gọi là *củi*ng thể bình, metula) mang một cụm gồm 2 - 3 (hoặc nhiều hơn) thể bình cấp 2 (gọi là *thể bình*) ở phần đỉnh. Các bào tử tràn được tạo thành nối tiếp nhau trong miệng thể bình, thành chuỗi hướng gốc (bào tử ở ngay miệng thể bình là bào tử non nhất, càng xa miệng thể bình càng già), không phân nhánh. Bào tử tràn không ngăn vách, thay đổi về hình dạng, kích thước, màu sắc, dấu vết ở mặt ngoài (nhẵn, có gai, có nốt sần) tùy từng loài. Tất cả các chuỗi bào tử tràn tạo thành từ các thể bình của một bong đỉnh giá họp thành khối bào tử tràn đỉnh bong (conidial head). Khối bào tử tràn đỉnh bong có thể có các dạng hình cột (các chuỗi bào tử tràn song song, sát nhau), hình cầu hoặc hình tia tỏa tròn. Một số loài có bào tử túi (ascosporum) trong các thể quả kín (cleitothecium).

Như đã nói, các loài có bào tử túi này thuộc các chi Nấm túi khác nhau, trong số đó, chi *Eduvillia* không có thể quả thực sự, các túi bào tử (ascus) nằm ở giữa các sợi nấm sinh túi, chi *Eurotium* có thể quả có vách mỏng không nằm trong đệm nấm, ở các chi còn lại thể quả nằm trong đệm nấm. Các đệm nấm này có thể cứng dạng hạch nấm (sclerotium) hoặc mềm, có thể không có khoang, có 1 hoặc 2 - 3 khoang.

Về phân loại học chi *Aspergillus* như trên vừa trình bày, các đặc điểm phân loại ngăn cách chi nấm này với các chi nấm khác trong họ Mucedinaceae (Moniliaceae) trong hệ thống phân loại Saccardo, hay trong tổ chi Phialoconidiace (phân nhóm Euhyphomycetidae, nhóm Hyphomycetes) trong hệ thống phân loại phát sinh (B.X.Đông, 1972), cũng như các đặc điểm ngăn cách các loài trong chi vẫn chủ yếu căn cứ vào các đặc điểm hình thái (hình thái phát sinh hoặc hình thái cấu tạo). Từ giữa thế kỷ 20, một số nhà nấm học đã nghiên cứu các đặc điểm khác như các đặc điểm hóa sinh, hóa tế bào, v.v., dùng làm đặc điểm phân loại cho chi *Aspergillus*.

Về các đặc điểm hóa sinh, một số nhà nấm học Nhật Bản trên cơ sở nghiên cứu phân loại học nhóm loài *A.flavus* kết luận rằng có thể kết hợp các đặc điểm sinh lý - hóa sinh với các đặc điểm hình thái để ngăn cách các loài trong nhóm loài này (O'Hara 1951 - 1952, Murakami 1970 - 1973, v. v.). Nhưng cũng cùng nghiên cứu theo hướng đó với cùng nhóm loài, các kết quả lại cho kết luận ngược lại (Heseltine, Sorensen et Smith



Hình 3.3. Bong đinh già mang thê bình hoặc mang cà cuồng thê bình và thê bình ở một số loài thuộc chi *Aspergillus* Mich. ex Fr.

a- *A. conicus* Blochwitz., b- *A. clavatus* Desm., c- *A. nidulans* (Eid.) Wint., d- *A. fumigatus* Fres., e- *A. versicolor* (Vuill.) Tirab., g- *A. malignus* Lindt., h- *A. sydowi* (Bain. et Sart.) Thom et Church, i- *A. niveus* Blochwitz., k- *A. varians* Wehm., l- *A. glaucus* Link, m- *A. citrinipes* Hohn., n- *A. terreus* Thom., o- *A. lachnensis* Inui, p- *A. austus* (Bain.) Thom et Church, q- *A. sulphureus* (Fres.) Thom et Church (M.A.Litmov 1967).

1970). Một loạt các nghiên cứu khác đối với các loài trong cùng một nhóm loài hay đối với một số loài trong các nhóm loài khác nhau thuộc chi *Aspergillus* về thành phần cấu tạo của tế bào, về các đặc điểm của điện di đồ các protein và các enzym, về các thành phần nhiệt phân với sắc ký khí, sắc ký lỏng, về các đặc điểm cấu tạo của acid nucleic, về các đặc điểm sinh tổng hợp các acid amin, về các đặc điểm trao đổi chất glucid, về các thành phần nguyên tố với kỹ thuật vi phân tích bằng tia X, nhằm tìm các đặc điểm phân loại mới, tin cậy hơn các đặc điểm hình thái với các loài thuộc chi nấm này, cho đến nay, vẫn chỉ có tính chất thăm dò, chưa có công trình nào cho kết quả có ý nghĩa phân loại học rõ rệt.

Vì những lẽ trên, hệ thống phân loại chi *Aspergillus* của Raper và Fennell (1965) gồm 18 nhóm loài đến nay vẫn ổn định và được sử dụng rộng rãi, không sửa đổi về cơ bản, mặc dù từ chuyên luận phân loại về chi *Aspergillus* của Raper và Fennell (1965) đến nay, một số loài mới thuộc chi nấm này đã được công bố ở một số nước.

Nhiều loài thuộc chi *Aspergillus* phân bố rộng rãi trên các cơ chất tự nhiên, trong các sản phẩm nông công nghiệp, ở nhiều vùng địa lý khác nhau trên thế giới. Một số loài, đặc biệt loài *A.oryzae* đã được dùng rộng rãi trong công nghệ lên men truyền thống để chế biến thực phẩm ở nhiều nước châu Á như Việt Nam (làm tương), Trung Quốc, Nhật Bản, Indonesia, Philipin, v.v.. Hiện nay, công nghệ sinh học sử dụng một số loài thuộc chi *Aspergillus* chủ yếu là các loài *A.niger*, *A.oryzae* trong công nghiệp sản xuất enzym ( $\alpha$ -amylaza, glucoamylaza, pectinaza, proteaza, cellulaza), trong công nghiệp chế biến thực phẩm, công nghiệp sản xuất một số acid hữu cơ như acid citric, acid gluconic, v.v. Một số loài khác có khả năng tạo thành các chất kháng sinh, như *A.fumigatus* tạo thành fumagilin có tác dụng trên *Entamoebae histolyca*, *A.humicola*, *A.nidulans* tạo thành lân lượt humicolin, nidulin có tác dụng ức chế đối với một số loài vi nấm, *A.candidus* tạo thành candidulin, *A.oryzae*, *A.tamattii* và một số loài khác tạo thành acid kojic có tác dụng ức chế đối với một số vi khuẩn, v.v., trong đó đã thực sự được dùng trong công nghiệp dược phẩm chi có loài *A.fumigatus* để sản xuất fumagilin làm thuốc chữa lị amip. Nhiều loài thuộc chi nấm này có hoạt tính biến đổi sinh học (xem chương 1), một số loài tạo thành các độc tố (mycotoxin), đặc biệt đáng chú ý là các loài tạo thành các độc tố gây ung thư gan như các loài *A.flavus*, *A.parasiticus* tạo thành aflatoxin, *A.versicolor* tạo thành sterigmatocystin.

Ở Việt Nam, một số chế phẩm enzym như các chế phẩm glucoamylaza từ *A.awamori* (L.V.Chứ và Đ.T.Thu, 1977), từ *A.niger* (D.V. Hợp, 1974); nghiên cứu chọn lọc các chủng thuộc các loài *A.awamori*, *A.niger*, *A.oryzae*

có hoạt tính  $\alpha$ -amylaza và glucoamylaza cao để thủy phân tinh bột sắn (N.B.Ngà và N. L.Dũng, 1984) ; nghiên cứu thu nhận và sử dụng proteaza từ *A.oryzne* trong sản xuất nước chấm (Q.V.Thịnh, 1977), để khử lông da súc vật (L.V.Nhương và Cs., 1977) ; thu nhận và sử dụng pectinaza, amylaza từ *A.niger* để xử lý được liệu nguồn gốc thực vật (L.V.Nhương và Cs., 1977) ; nghiên cứu sử dụng sinh khối của một số chủng thuộc loài *A.niger* để nâng cao chất lượng thức ăn chăn nuôi (N.L.Dũng và Cs., 1984) ; nghiên cứu khả năng sinh tổng hợp acid citric của một số chủng lựa chọn của loài *A.niger* (N.T.Hương và N.L. Dũng, 1984) ; nghiên cứu chọn lọc được chủng *A.niger* TH3-19K của Nhật Bản có hoạt tính glucoamylaza cao dùng để thủy phân tinh bột sắn (D.V.Hợp và Cs., 1993), nghiên cứu hoạt tính phân giải phosphat khó tan và cellulose của *A.japonicus* (P.V.Ty và Đ.T.Lương, 1998), khả năng phân giải cellulose của một chủng ưa nhiệt thuộc loài *A.unilateralis* (P.V.Ty và Đ.T.Lương, 1998) ; nghiên cứu hệ vi nấm đối kháng đối với các vi khuẩn kháng sinh ở Việt Nam, trong đó có 14 loài thuộc chi *Aspergillus* có hoạt tính này (B.X.Đồng và Cs., 1978), v.v.

Như vậy ở trên thế giới cũng như ở nước ta, các loài thuộc chi *Aspergillus* đã được sử dụng hay được nghiên cứu sử dụng vào công nghệ sinh học chủ yếu là một số loài trong các nhóm loài *A.fumigatus*, *A.flavus*, *A.niger*. Ngoài ra loài *A.flavus* trong nhóm loài cùng tên và loài *Aversicolor* trong nhóm loài cùng tên cũng cần chú ý vì khả năng tạo thành các mycotoxin gây ung thư gan của chúng.

Để định loại các loài trong các nhóm loài nói trên, đặc biệt các loài *A.fumigatus*, *A.flavus*, *A.oryzae*, *A.niger*, *A.awamori* và *A.versicolor*, chúng ta cần phải xác định các nhóm loài (khóa định loại các nhóm loài của chi *Aspergillus*, bảng 3.8), và định loại các loài trong mỗi nhóm loài tương ứng (khóa định loại các loài thuộc các nhóm loài *A.fumigatus*, *A.flavus*, *A. niger*, *A.versicolor*, các bảng 3.9, 3.10, 3.11, 3.12).

**Bảng 3.8. Khóa định loại các nhóm loài của chi *Aspergillus* Mich.ex Fr.  
(Raper và Fennell, 1965, có sửa đổi)**

1. Bọng đinh giá chỉ mang thể bình (cụm nhóm loài Uniseriata)	2
1. Chỉ có bọng đinh giá mang cả cuống thể bình và thể bình, hoặc có loại bọng này đồng thời có cả bọng chỉ mang thể bình	7
2. Khối bào từ trần đinh bọng hình chùy, sau tách thành nhiều cột nhỏ, màu lục xanh. Bọng đinh giá hình chùy . . . . . Nhóm loài <i>A.clavatus</i>	
2. Khối bào từ trần đinh bọng hình tia tóe tròn hoặc hình cột lớn. Bọng đinh giá hình cầu, gần chùy, hình con quay	3

3. Khối bào tử tràn dính bong hình tia tỏa tròn (hoặc phần lớn hình tia tỏa tròn)	4
3. Khối bào tử tràn dính bong hình cột	6
4. Khối bào tử tràn dính bong chỉ có một loại hình tia tỏa tròn, màu lục xanh, lục nâu (một loài màu nâu). Thể quả túi màu vàng tươi có ở nhiều loài. Chịu được áp suất thẩm thấu cao . . . . .	
	Nhóm loài <i>A.glaucus</i>
4. Khối bào tử tràn dính bong phần lớn hình tia tỏa tròn, đôi khi hình cột	5
5. Khối bào tử tràn dính bong hình tia tỏa tròn hoặc hình cột lớn, màu lục xanh, lục vàng, nâu lục. Thể quả nếu có màu tím hoặc lục nâu . . . . .	
	Nhóm loài <i>A.ornatus</i>
5. Khối bào tử tràn dính bong hình tia tỏa tròn (một loài hình cột), nhỏ, màu vàng, tím hồng. Không có thể quả . . . . .	
	Nhóm loài <i>A.cervinus</i>
6. Khối bào tử tràn dính bong hình cột, màu lục. Bào tử tràn hình trụ khi non, sau hình elip, đôi khi hình cầu, gần cầu	
	Nhóm loài <i>A.restrictus</i>
6. Khối bào tử tràn dính bong hình cột, màu lục sẫm, xanh lục sẫm, xám lục. Bào tử tràn hình cầu. Thể quả nếu có màu vàng . . . . .	
	Nhóm loài <i>A.lumigatus</i>
7. Phần lớn bong dính giá mang thể bình trên cuống thể bình, một số nhỏ bong chỉ có thể bình. Có thể có bong mang thể bình trên cuống thể bình và cả thể bình trực tiếp trên bong . . . (cum nhóm loài <i>Biscriata</i> I)	8
7. Chỉ có bong dính giá mang thể bình trên cuống thể bình (cum nhóm loài <i>Biscriata</i> II)	14
8. Khối bào tử tràn dính bong thường hình cầu, sau tách thành nhiều cột nhỏ, đôi khi hình cột ngay khi còn non. Bong dính giá hình cầu, gần cầu hoặc hình trứng ngắn. Giá bào tử tràn không thắt lại ở phần dưới bong	9
8. Khối bào tử tràn dính bong hình tia tỏa tròn, lớn. Bong dính giá hình cầu. Giá bào tử tràn thắt lại ở phần dưới bong	13
9. Khối bào tử tràn dính bong hình cầu khi non, sau hình tia tỏa tròn với các chuỗi bào tử tràn tách rời nhau, đôi khi hình cột	10
9. Khối bào tử tràn dính bong hình cầu khi non, sau hình tia tỏa tròn với các chuỗi bào tử tràn tách rời nhau, đôi khi hình cột	12
10. Khối bào tử tràn màu đen, nâu đen, lục đen . . . . .	
	Nhóm loài <i>A.niger</i>
10. Khối bào tử tràn không có màu đen	11
11. Khối bào tử tràn dính bong màu vàng, vàng nâu vàng đất. Giá bào tử	

trần thường ráp . . .

. . . Nhóm loài *A.ochraceus*

11. Khối bào tử trần dính bong màu trắng, trắng ngà. Giá bào tử trần nhẵn . . . . . Nhóm loài *A.candidus*

12. Khối bào tử trần dính bong màu lục vàng, lục nâu. Giá bào tử trần ráp . . . . . Nhóm loài *A.luteus*

12. Khối bào tử trần dính bong màu vàng nâu nhạt hoặc sẫm. Giá bào tử trần nhẵn . . . . . Nhóm loài *A.wentii*

13. Khối bào tử trần dính bong màu nâu vàng, lục vàng nhạt hoặc lục xanh. Giá bào tử trần không màu, nhẵn . . . . .

. . . Nhóm loài *A.cremicus*

13. Có 2 loại khối bào tử trần dính bong. Khối lớn màu xám nhạt, lục, nâu lục. Giá bào tử trần màu nâu. Khối nhỏ có kích thước giá bào tử trần và bong dính giá nhỏ hơn hẳn so với khối lớn . . . . .

. . . Nhóm loài *A.sparsus*

14. Khối bào tử trần dính bong màu lục. Tế bào Hulle nếu có, hình cầu, ít khi hình tròn . . . . .

15

14. Khối bào tử trần dính bong không có màu lục. Tế bào Hulle nếu có thường dài, cong và xoắn . . . . .

16

15. Khối bào tử trần dính bong hình tia tóe tròn, sau thành hình cột ở vài loài. Giá bào tử trần không màu hoặc màu nâu nhạt, thường dài trên 100  $\mu\text{m}$ . Không có hoặc có ít tế bào Hulle. Không có thể quả . . . . .

. . . Nhóm loài *A.versicolor*

15. Khối bào tử trần dính bong hình cột, thường màu lục vàng sẫm, đôi khi lục xanh sẫm hoặc nâu. Giá bào tử màu nâu, thường dài dưới 300  $\mu\text{m}$ . Nhiều tế bào Hulle xếp thành cụm hoặc bao bọc các thể quả túi. Thể quả túi nếu có, màu tím . . . . .

. . . Nhóm loài *A.nidulans*

16. Khối bào tử trần dính bong tạo thành hình cột dài, các chuỗi xếp chật vào nhau, màu da cam xám, nâu da cam, nâu da cam nhạt. Giá bào tử trần không màu. Bảo tử trần nhỏ, đường kính hoặc trực lớn không quá 2.5  $\mu\text{m}$  . . . . .

. . . Nhóm loài *A.terreus*

16. Khối bào tử trần dính bong hình tia tóe tròn hoặc hình cột, các chuỗi không xếp sát nhau, ngắn hoặc không đều. Bảo tử trần có đường kính trên 2.5  $\mu\text{m}$  . . . . .

17

17. Khối bào tử trần dính bong hình tia tóe tròn hoặc hình cột rộng và ngắn, màu nâu xám. Giá bào tử trần màu nâu. . . . .

... Nhóm loài *A.ustus*

17. Khối bào tử trần định bong hình cột rộng và ngắn, màu trắng, xám da cam, xám tím. Giá bào tử trần không màu hoặc màu nâu ... .  
... Nhóm loài *A.flavipes*

**Bảng 3.9. Khóá định loài các loài thuộc phân nhóm *Aspergillus fumigatus* của nhóm loài *A.fumigatus* (chi *Aspergillus* Mich ex. Fr.)**

1. Có thể quả túi. Tạo thành ít bào tử trần ... Phân nhóm *A.lischeri*

(Các loài : *A.aureolus* Fenn. et Rap.

*A.lischeri* Wehmeyer

*A.quadrivinctus* Vuill.

*A.stramenius* Novak et Raper)

- 1 Không có thể quả túi. Tạo thành nhiều bào tử trần (Môi trường Czapek, nhiệt độ nuôi cấy 28°C, 10 ngày tuổi) (Phân nhóm *A.fumigatus*) 2  
 2. Khối bào tử trần thẳng so với giá bào tử trần 3  
 2. Khối bào tử trần nghiêng so với giá bào tử trần 4  
 3. Bào tử trần hình cầu 2,0 - 3,5  $\mu\text{m}$  đường kính, có gai ...  
 ... *A.fumigatus* Fres.  
 3. Bào tử trần hình elip 2,3 - 3,0  $\times$  3,5 - 5,5  $\mu\text{m}$  ...  
 ... *A.fumigatus* Fres.var.*ellipticus* Rap. et Fenn.  
 4. Bong đinh giá thẳng, nhưng thường có một ít thê bình ở phần gốc bong, nên tạo ra hình ảnh giống như bong đinh giá lệch. Bào tử trần hình cầu 2,5 - 3,5  $\mu\text{m}$  đường kính, có gai. Giá bào tử trần dài 5 - 30  $\mu\text{m}$  ...  
 ... *A.unilateralis* Tarower  
 4. Bong đinh giá (do đó khối bào tử trần) nghiêng thực sự so với giá bào tử trần 5  
 5. Chỉ có ít bong đinh giá nghiêng so với giá bào tử trần. Thê bình thường có vách ngang, tạo thành chuỗi bào tử trần rất ngắn (5 - 6 bào tử trần/1 chuỗi). Giá bào tử trần dài 130 - 250  $\mu\text{m}$  ...  
 ... *A.phialiscpus* Kwon-Chung  
 5. Hầu hết bong đinh giá nghiêng so với giá bào tử trần 6  
 6. Bào tử trần nhẵn, hơi ráp, đường kính dưới 28  $\mu\text{m}$ . Khuẩn lục 3,5 - 4,0 cm đường kính ...  
 ... *A.viridi-mutans* Ducker et Throver  
 6. Bào tử trần có gai, đường kính tới 35  $\mu\text{m}$ . Khuẩn lục dưới 2 cm đường kính hoặc tạo thành ít bào tử trần 7  
 7. Khuẩn lục 1,5 - 2,0 cm, tạo thành nhiều bào tử trần. Khối bào tử trần định bong 45  $\times$  75  $\mu\text{m}$  ...

... *A.duricaulis* Rapet Fenn.

7. Khuẩn lạc thưa thớt bảo tử trần. Khối bào tử trần định bong (môi trường thạch cao lúa mạch) hình cột dài tới 200  $\mu\text{m}$  . . . . .

... *A.brevipes* Smith

**Bảng 3.10. Khóá định loại các loài thuộc nhóm loài *Aspergillus niger* (chi *Aspergillus* Mich. ex Fr.) (Môi trường Czapek, nhiệt độ nuôi cấy 28°C, 10 ngày tuổi)**

1. Bong định giá chỉ có thể bình	2
1. Bong định giá hầu hết có cuống thể bình và thể bình	3
2. Khối bào tử trần định bong hình tia tóe tròn. phần lớn dưới 300 $\mu\text{m}$ đường kính. sau tách hình cột dài tới 600 - 700 $\mu\text{m}$ . Bảo tử trần hình cầu. 4 $\mu\text{m}$ đường kính . . . . .	
	... <i>A.japonicus</i> Saito
2. Khối bào tử trần định bong hình cầu. sau tách thành nhiều cột nhô. dài 500 - 1000 $\mu\text{m}$ . Bảo tử trần elip 4 ,x 5 $\mu\text{m}$ . . . . .	
	... <i>A.aculeatus</i> Iizuka
3. Khối bào tử trần có màu đen thực sự (đen than)	4
3. Khối bào tử trần màu đen nâu, đen đỏ nâu	8
4. Bảo tử trần lớn. hình cầu. 6.5 - 10.0 $\mu\text{m}$ đường kính . . . . .	
	... <i>A.carbonarius</i> (Bain.) Thom
4. Bảo tử trần có đường kính dưới 5 $\mu\text{m}$	5
5. Giá bảo tử trần dài trên 5 mm, thường dài 7 - 8 mm. Bảo tử trần hình cầu. 3.5 - 5.0 $\mu\text{m}$ đường kính nhẵn, hoặc sần sùi . . . . .	
	... <i>A.pulverulentus</i> (McAlpine) Thom
5. Giá bảo tử trần phần lớn dài dưới 4 mm	6
6. Khuẩn lạc rộng. 5 - 6 cm đường kính. Cuống thể bình 6-8 x 20-40 $\mu\text{m}$ . . . . .	
	... <i>A.ticum</i> (Reichardt) Rennings
6. Khuẩn lạc dưới 4.5 cm đường kính	7
7. Khuẩn lạc 3.0 - 3.4 cm đường kính. Cuống thể bình 5.5-7.5 x 40-60 $\mu\text{m}$ . có ít cuống thể bình có vách ngang và dài tới 100 - 110 $\mu\text{m}$ . . . . .	
	... <i>A.phoenicis</i> Cda. Thom
7. Khuẩn lạc 2.5 - 3.0 cm đường kính. Cuống thể bình phần lớn 5-6 x 20-30 $\mu\text{m}$ dài khi 8-10 x 60-70 $\mu\text{m}$ . . . . .	
	... <i>A.niger</i> v Tiegh.
8. Khuẩn lạc khi già màu nâu đen đỏ nâu đen	9

8. Khuẩn lạc khi già màu xám nâu	10
9. Khuẩn lạc 4 - 5 cm đường kính. Khối bào tử trần đỉnh bong hình cầu, hình tia tỏa tròn, 200 - 300 $\mu\text{m}$ đường kính. Giá bào tử trần 15 - 30 $\mu\text{m}$ đường kính, dài 2 - 3 mm, dài khi già 5 - 6 mm . . .	
	<i>A.tubingensis</i> (Schoer) Mossaray
9. Khuẩn lạc 5 - 7 cm đường kính. Khối bào tử trần đỉnh bong hình cầu, hình tia tỏa tròn, sau tách thành các cột, dài 200 - 300 $\mu\text{m}$ . Giá bào tử trần 25 - 50 $\mu\text{m}$ đường kính dài 2 - 3 mm . . .	
	<i>A.awamori</i> Nakazawa
10. Bào tử trần hình elip, phần lớn 3,5-3,8 x 5,0-5,5 $\mu\text{m}$ , dài khi già 2,5-3,0 x 7,5-9,0 $\mu\text{m}$ , có gai . . .	
	<i>A.ellipticus</i> Rap. et Fenn.
10. Bào tử trần hình cầu	11
11. Bào tử trần có gai, 3 - 5 $\mu\text{m}$ đường kính. Khuẩn lạc màu lục nâu, nâu den, môi trường xung quanh màu nâu lục sẫm . . .	
	<i>A.heteromorphus</i> Batista et. Naia
11. Bào tử trần chỉ hơi ráp, 4,0 - 4,5 $\mu\text{m}$ đường kính. Khuẩn lạc màu lục nâu den, den nâu . . .	
	<i>A.foetidus</i> (Hakazawa) Thom et Rap. ( <i>A.foetidus var.pallidus</i> Nak., Simo et Wat. <i>A.foetidus var.acidus</i> Nak., Simo et Wat.)

**Bảng 3.11. Khóá xác định các loài thuộc nhóm loài *A.flavus* (chi *Aspergillus* Mich. ex Fr.)**

Xem bảng 1.7, chương 1

**Bảng 3.12. Khóá định loại các loài thuộc phân nhóm *Aspergillus versicolor* của nhóm loài *A.versicolor* (chi *Aspergillus* Mich.ex Fr.) (Môi trường Czapek, nhiệt độ nuôi cấy 28°C, 10 ngày tuổi)**

1. Các khối bào tử trần trên cùng một khuẩn lạc có 2 màu :

Phân nhóm *A.janus*  
(Các loài và thứ : *A.janus* Rap. et Thom  
*A.janus var.brevis* Rap. et Thom  
*A.allahabadii* Mehrotra et. Agnihotri  
*A.ambiguus* Sappa  
*A.microcysticus* Sappa)

1. Các khối bào tử trần trên cùng một khuẩn lạc thường cùng màu (Phân nhóm *A.versicolor*)

2. Bóng dính giá thường hình cầu, hình cầu hơi thon dài. Cuống thể bình gần kín hoặc hoàn toàn kín mặt bóng. Thường có tế bào Hulle và không có hạch nấm	3
2. Bóng dính giá thường hình con quay. Chỉ mang cuống thể bình ở nửa phần trên mặt bóng. Thường không có tế bào Hulle và có hạch nấm	11
3. Bào tử trần thường có đường kính dưới 4 $\mu\text{m}$ , hình cầu	4
3. Bào tử trần có đường kính hoặc trục lớn trên 4 $\mu\text{m}$ , hình cầu hoặc elip	8
4. Giá bào tử trần không màu hoặc màu vàng nhạt	5
4. Giá bào tử trần màu nâu rõ rệt	6
5. Khuẩn lạc 2-3 cm đường kính. Chỉ có một loại khối bào tử trần dính bong hình gần cầu, hình tia tỏa tròn, đường kính 100 - 125 $\mu\text{m}$ . . .	
	<i>A. versicolor</i> (Vuill.) Tirkaboschi
5. Khuẩn lạc 3 - 4 cm đường kính. Có 2 loại khối bào tử trần dính bong, hình gần cầu, hình tia tỏa tròn, 100 - 150 $\mu\text{m}$ và 15 - 25 $\mu\text{m}$ đường kính . . .	
	<i>A. sydowi</i> (Bainet Sart.) Thom et Church
6. Giá bào tử trần ráp, phần lớn dài 700 $\mu\text{m}$ . . .	
	<i>A. pulvinus</i> Kwon et Fennell
6. Giá bào tử trần nhẵn, phần lớn dài dưới 300 $\mu\text{m}$	7
7. Khối bào tử trần dính bong hình tia tỏa tròn, 200 - 300 $\mu\text{m}$ đường kính. Bào tử trần ráp, 3,0 - 3,5 $\mu\text{m}$ đường kính . . .	
	<i>A. silvaricus</i> Fennet Rap.
7. Khối bào tử trần dính bong gồm nhiều chuỗi tách rời nhau hoặc hình cột không chật, dài 200 - 300 $\mu\text{m}$ , và các khối bào tử trần nhỏ mang ít thể bình và ít bào tử trần . . .	
	<i>A. speluncus</i> Rap et Fenn.
8. Giá bào tử trần phần lớn dài 1,5 - 2,5 mm (không màu khi quan sát trong giọt nước) . . .	
	<i>A. varians</i> (Wehmeyer) Rap et Fenn.
8. Giá bào tử trần màu nâu kể cả khi nhìn trong giọt nước	
9. Tạo thành 1 loài bào tử trần, hình cầu và elip ở các khuẩn lạc non (3,5-4,5 x 4-6 $\mu\text{m}$ ), hình cầu và ráp rõ rệt ở các khuẩn lạc 2 tuần lão tuổi . . .	9
	<i>A. asperrascens</i> Stolk
9. Tạo thành 2 loại bào tử trần, hình cầu	
10. Khuẩn lạc 4 - 6 cm đường kính. Tế bào Hulle màu nâu, vàng nâu, tạo thành các vùng dạng hạt trên mặt khuẩn lạc . . .	10
	<i>A. granulosus</i> Rap et Thom

10. Khuẩn lạc 3 - 4 cm đường kính. Tế bào Hulle màu tím đỏ, xếp thành các vòng đồng tâm hay thành cụm rái rác trên mặt khuẩn lạc . . . . .  
 . . . . . *A.cacspitosus* Rapet Thom 12
11. Khuẩn lạc 1.0 - 1.5 cm đường kính. Bào tử trần dưới 3.2  $\mu\text{m}$  đường kính  
 11. Khuẩn lạc 2 - 3 cm đường kính. Bào tử trần trên 3.8  $\mu\text{m}$  đường kính hoặc  
 trục lớn 13
12. Cuống thể bình mọc ở gần hết mặt bong. Khối bào tử trần hình tia tỏa  
 tròn sau hình cột lồng 40-60 x 100-200  $\mu\text{m}$  . . . . .  
 . . . . . *A.arcarius* Rapet Fenn.
12. Cuống thể bình 3 - 6 chiếc trên đỉnh bong. Khối bào tử trần nhỏ, với  
 cuống thể bình và thể bình có dạng chồi như ở chi *Penicillium* . . . . .  
 . . . . . *A.pcyromelii* Sappa
13. Khuẩn lạc trên môi trường cao lúa mạch (nhiệt độ nuôi cấy 24 - 26°C, 10  
 ngày tuổi) 3 cm đường kính. Bào tử trần hình trúng, sип, phần lớn 3.5 -  
 4.0  $\mu\text{m}$  trục lớn . . . . .  
 . . . . . *A.malodoratus* Kwon et Fenn.
13. Khuẩn lạc ở điều kiện nuôi cấy trên, 5.5 - 6.0 cm đường kính. Bào tử trần  
 4 - 7  $\mu\text{m}$  đường kính, có mặt các tinh thể hình kim của hợp chất  
 pachybasin ( $C_{15}H_{10}O_3$ ) xếp thành dạng cành cây . . . . .  
 . . . . . *A.crystallinus* Kwon et Fenn.

\* \* \*

Sau khi xác định một chủng vi nấm thuộc các loài *A.fumigatus*, *A.flavus*, *A.oryzae*, *A.parasiticus*, *A.awamori*, *A.niger* và *A.versicolor* ở các  
 khóa định loại các nhóm loài và phân nhóm tương ứng thuộc chi  
*Aspergillus*, kiểm tra chi tiết các đặc điểm phân loại của chủng vi nấm  
 cần xác định đó với các đặc điểm tương ứng của chủng mẫu của một  
 Bảo tàng giống theo tóm tắt mô tả dưới đây.

*Aspergillus fumigatus* Fres. - Khuẩn lạc trên môi trường Czapek, nuôi  
 cấy ở nhiệt độ 27°C, 10 ngày tuổi, màu lục xám, xanh xám, xám, đường  
 kính 4 - 5 cm, mượt nhung, đôi khi xốp bong. Khối bào tử trần đỉnh  
 bong hình cột, dài tới 400  $\mu\text{m}$ . Giá bào tử trần nhẵn, thường dài 500  
 $\mu\text{m}$ . Bong đỉnh giá hình bình, 20 - 30  $\mu\text{m}$  đường kính, mang thể bình ở  
 phần nửa bong trên. Thể bình 2-3 x 6-8  $\mu\text{m}$ . Bào tử trần hình cầu 2.0  
 - 3.5  $\mu\text{m}$  đường kính, có gai, mọc thành chuỗi gốc non (hình 3.3).

*Aspergillus oryzae* (Ahlgberg) Cohn - Khuẩn lạc trên môi trường  
 Czapek (nhiệt độ nuôi cấy 27°C, 10 ngày tuổi) 5 - 6 cm đường kính,  
 màu lục, vàng lục, lục nâu sau chuyển thành nâu lục, nâu. Khối bào tử

trần định bọng hình tia tòa tròn, phần lớn 150 - 300 đến 400 - 500  $\mu\text{m}$  đường kính. Giá bào tử trần nhẵn hoặc ráp, thường dài 1,0 - 2,5 cm, có thể tới 4 - 5 cm. Bọng định giá hình gần cầu, 40 - 50  $\mu\text{m}$  đường kính, hoặc mang cuống thể bình và thể bình, hoặc chỉ mang thể bình. Cuống thể bình 4,5 x 8-12  $\mu\text{m}$ . Thể bình mọc trực tiếp trên bọng định giá 3-5 x 12-15  $\mu\text{m}$ , thể bình mọc trên cuống thể bình 3,0-3,5 x 8-10  $\mu\text{m}$ . Bào tử trần phần lớn hình cầu, đôi khi hình elip 4,5 - 7,0  $\mu\text{m}$  đường kính hoặc 8 - 10  $\mu\text{m}$  trực径, nhẵn hoặc ráp, có gai mịn.

*Aspergillus flavus* Link ex Fr. - Xem bảng 1.8, chương một (hình 1.3, chương một).

*Aspergillus parasiticus* Speare - Xem bảng 1.8, chương một

*Aspergillus awamori* Nakazawa - Khuẩn lạc trên môi trường Czapek (nhiệt độ nuôi cấy 27°C, 10 ngày tuổi) 5 - 7 cm đường kính, màu nâu đen. Khối bào tử trần định bọng hình cầu, sau hình tia tòa tròn và tách thành các cột, phần lớn 200 - 300  $\mu\text{m}$  đường kính. Giá bào tử trần nhẵn, dài 200 - 300  $\mu\text{m}$  đến 2 - 3 mm. Bọng định giá hình cầu, phần lớn 25 - 50  $\mu\text{m}$  đường kính, mang cuống thể bình và thể bình hoặc chỉ mang thể bình. Cuống thể bình 3,5 - 10  $\mu\text{m}$  x 4,5-40  $\mu\text{m}$ . Thể bình 3-4 x 5-10  $\mu\text{m}$ . Bào tử trần hình cầu, 3,5 - 5,0  $\mu\text{m}$  đường kính, nhẵn, có gai hoặc có các vết ráp dọc, thành chuỗi gốc non.

*Aspergillus niger* v.Tiegh. - Khuẩn lạc trên môi trường Czapek (nhiệt độ nuôi cấy 27°C, 10 ngày tuổi) 2,5 - 3,0 cm đường kính, màu đen. Khối bào tử trần định bọng hình cầu, sau hình tia tòa tròn hoặc tách thành các cột 700 - 800  $\mu\text{m}$  đường kính, đôi khi có các khối bào tử trần nhỏ màu nâu đen. Giá bào tử trần nhẵn, dài 1,5 - 3,0 cm. Bọng định giá hình cầu, 45 - 75  $\mu\text{m}$  đường kính. Cuống thể bình phần lớn 5-6 x 20-30  $\mu\text{m}$ , đôi khi 6-10 x 60-70  $\mu\text{m}$ . Thể bình 3,0-3,5 x 8-10  $\mu\text{m}$ . Bào tử trần hình cầu, phần lớn 4 - 5  $\mu\text{m}$  đường kính, ráp hoặc có gai không đều, thành chuỗi gốc non.

*Aspergillus versicolor* (Vuill.) Tiraboschi - Khuẩn lạc trên môi trường Czapek (nhiệt độ nuôi cấy 27°C, 10 ngày tuổi), 2 - 3 cm đường kính, màu trắng, sau vàng, vàng da cam, lục vàng, lục tùy từng chủng. Khối bào tử trần thường chỉ có một loại, hình cầu, hình tia tòa tròn, 100 - 125  $\mu\text{m}$  đường kính. Giá bào tử trần nhẵn, 5-6 x 500-700  $\mu\text{m}$ , sát bong tới 10  $\mu\text{m}$  đường kính. Bọng định giá hình cầu, hình cầu hơi thon dài, 12 - 16  $\mu\text{m}$  đường kính, mang cuống thể bình và thể bình. Cuống thể bình phần lớn 3 x 8  $\mu\text{m}$ . Thể bình 2,0-2,5 x 5,0-7,5  $\mu\text{m}$ . Bào tử trần hình cầu, 2,9-3,5  $\mu\text{m}$  đường kính, có gai. Đôi khi có tế bào Hulle (hình 3.3).

## Chi BEAUVERIA Vuillemin

Chi *Beauveria* do Vuillemin thành lập năm 1912 từ loài *Botrytis bassiana* Balsamo. Chi *Beauveria* tách khỏi chi *Botrytis* Pers.ex Fr. và phân cách với chi này bởi các đặc điểm của tế bào sinh bào tử trần. Tế bào sinh bào tử trần của chi *Botrytis* là các tế bào ở đỉnh của giá bào tử trần hoặc ở đỉnh các nhánh của giá, phồng to, mang các gai nhỏ. Bào tử trần đơn độc được tạo thành trên các gai đó. Tế bào sinh bào tử trần của chi *Beauveria* tiếp tục mọc dài theo kiểu hợp trực, do đó ngoằn ngoèo hình chữ chi và có gai nhỏ ở đầu mút của các đoạn hình chữ chi đó. Bào tử trần được tạo thành trên các gai nhỏ này.

Chi *Beauveria* đặc trưng bởi các đặc điểm : giá bào tử trần phân hóa, thường là những tế bào lớn, không ngăn vách, không màu, ở đỉnh sợi nấm hoặc là các nhánh ngang của sợi nấm. Các tế bào sinh bào tử trần ở phần đỉnh của giá, đơn độc hoặc thành cụm dày đặc, hoặc thành vòng, không màu, không ngăn vách, gồm 2 phần. Phần gốc hình cầu hoặc hình thoi, phần ngọn có dạng cuống hép, ngoằn ngoèo thành hình chữ chi, có răng ngắn mang bào tử trần. Bào tử trần không ngăn vách, hình cầu hoặc elip, gốc tròn, nhẵn, vách mỏng, thuộc tip sympoduloconidi (tip cơ bản proconidi).

Chi *Beauveria* Vuill. ngăn cách với chi *Tritirachium* Limber lân cận bởi các đặc điểm sau của chi *Tritirachium* : sợi nấm thường có màu, tế bào sinh bào tử trần không có gai mà có sẹo, giá bào tử trần mọc ra từ các sợi nấm thẳng đứng.

Các loài của chi *Beauveria* là các loài vi nấm diệt côn trùng, phân bố rộng rãi ở nhiều vùng địa lý, trên côn trùng, đất hoang, đất trồng trọt. Hoạt tính diệt côn trùng của loài *B.bassiana* là các enzym có khả năng phân giải biểu bì và protein của các loài động vật này (Shimizu và ct., 1993), và bởi độc tố bovericin ( $C_{45}H_{57}O_9N_3$ , cyclo (N-methyl-L-phenylalanin-D- $\alpha$ -hydroxyisovaleryl)<sub>3</sub>). Người ta đã phát hiện 175 loài côn trùng ở Bắc Mỹ và 60 loài côn trùng ở Liên Xô (cũ) bị loài *B.bassiana* ký sinh. Ở Việt Nam, T.K.Chinh (1996) đã phát hiện 111 mẫu trong tổng số 936 mẫu côn trùng thuộc bộ Cánh vảy (Lepidoptera) và bộ Cánh giông (Isoptera) bị ký sinh bởi các loài *B.bassiana* và *B.brongniati* và đã thử nghiệm chế phẩm B.75 từ *B.bassiana* dạng bột để phòng trừ sâu róm thông (*Dendrolimus punctatus* Walker) và cho biết sâu chết 80% sau một năm xử lý bằng chế phẩm này.

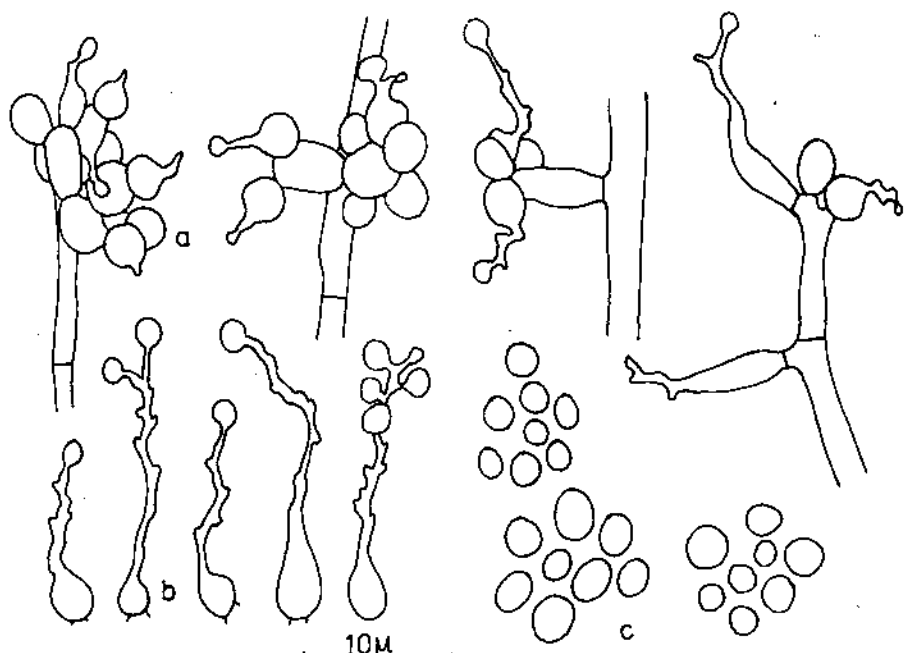
Các tác giả đã mô tả 14 loài thuộc chi *Beauveria*. De Hoog (1972) chấp nhận và mô tả 3 loài *B.alba* (Limber) Saccas, *B.bassiana* (Vuill.) Bals. và *B.brongniartii* (Sacc.) Petch (bảng 3.13) (hình 3.4 và 3.5).

**Bảng 3.13. Khóá định loại các loài thuộc chi *Beauveria* Vuill.**  
 (Theo De Hoog, 1972)

1. Tế bào sinh bào tử trần phần lớn mọc thành vòng dọc sợi nấm thẳng đứng, phần gốc  $1.5-2.5 \times 10-24 \mu\text{m}$ , dài khi rộng tới  $3.5 \mu\text{m}$ , phần ngon dài tới  $35 \mu\text{m}$ , rộng  $1 \mu\text{m}$ , gai dài  $1 \mu\text{m}$  . . .  
     . . . *B.alba* (Limber) Saccas.
1. Tế bào sinh bào tử trần mọc rải rác hoặc thành cụm trên giá bào tử trần phân hóa rõ rệt  
 2. Bào tử trần hình cầu hoặc gần cầu, dài khi hình elip rộng,  $2-2.5 \times 2-3 \mu\text{m}$ .  
 Tế bào sinh bào tử trần có phần gốc hình cầu, hình bình, thành cụm dày đặc . . .  
     . . . *B.bassiana* (Vuill.) Bals.
2. Bào tử trần phần lớn hình elip, dài khi hình gần cầu,  $2.0-2.5 \times 2.5-4.5 \mu\text{m}$ .  
 Tế bào sinh bào tử trần thon nhô, ít khi thành cụm . . .  
     . . . *B.brounianii* (Sacc.) Patch

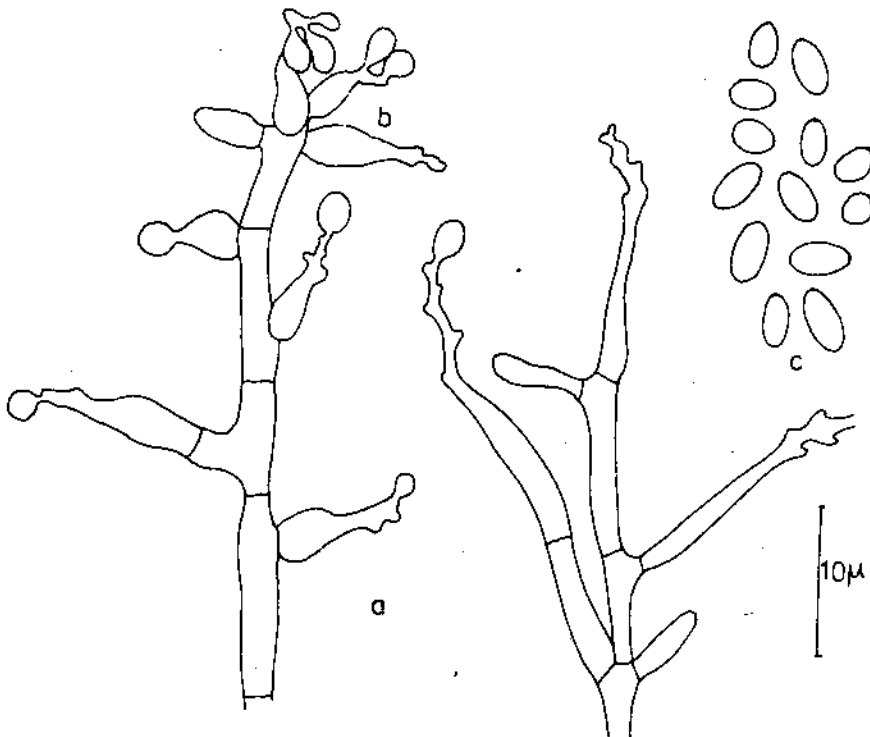
Sau đây là mô tả tóm tắt các loài đã thấy ở Việt Nam.

*Beauveria bassiana* (Vuill.) Bals. - Khuẩn lạc trên môi trường thạch



**Hình 3.4. *Beauveria bassiana* (Vuill.) Bals.**

a- Bộ máy mang bào tử trần với giá bào tử trần và tế bào sinh bào tử trần,  
 b- Các dạng tế bào sinh bào tử trần, c- Bào tử trần (De Hoog 1972).



Hình 3.5. *Beauveria brongniartii* (Sacc.) Petch

a- Bộ mای mang bào tử trần, b- Tế bào sinh bào tử trần,  
c- Bào tử trần (De Hoog, 1972).

- khoai tây (nhiệt độ nuôi cấy  $25^{\circ}\text{C}$ , 7 ngày tuổi) 1 - 2 cm đường kính, dạng bột, nhung, len hoặc xốp bông, màu trắng, trắng ngà vàng, đôi khi các sợi nấm tập hợp thành bó sợi. Các sợi nấm khi sinh mang các giá bào tử trần ngắn, phồng to,  $3-5 \times 3-6 \mu\text{m}$ . Các giá bào tử trần này hoặc tạo thành các nhánh ở phần ngọn, hoặc trực tiếp tạo thành các tế bào sinh bào tử trần.

Các tế bào sinh bào tử trần mọc thành cụm, đôi khi được tạo thành từ giá bào tử trần hoặc nhánh của giá. Phần gốc của tế bào sinh bào tử trần hình cầu, hình bình,  $2,5-3,5 \times 3-6 \mu\text{m}$  hoặc  $2,5 - 4,0 \mu\text{m}$  đường kính, phần ngọn dạng cuống hẹp, ngoằn ngoèo hình chữ chi hoặc ngoằn ngoèo không đều, có răng,  $1 \times 5-20 \mu\text{m}$ . Bào tử trần không ngăn vách, hình cầu đôi khi hình elip, đáy tròn đôi khi nhọn, nhẵn,  $2,0-2,5 \times 2-3 \mu\text{m}$ . Có bào tử áo.

*Beauveria brongniartii* (Sacc.) Petch.- Khuẩn lạc trên môi trường thạch - khoai tây (nhiệt độ nuôi cấy  $25^{\circ}\text{C}$ , 7 ngày tuổi) 1,0 - 1,5 cm, trắng sau vàng, hồng tím, đỏ tím hoặc tím dạng len, xốp bông, mượt nhung hay dạng bột, đôi khi có bó sợi. Giá bào trần  $5 - 9 \mu\text{m}$  đường kính hoặc chiều dài. Tế bào sinh bào tử trần có phần gốc hình gần cầu, hình bình,  $2,0-3,5 \times 4-25 \mu\text{m}$ , phần ngọn  $1,0-1,5 \times 25 \mu\text{m}$ , ngoằn ngoèo hình chữ

chi, gai dài 1,0 - 1,5  $\mu\text{m}$ . Bào tử trần không ngắn vách, không màu, nhẵn, hình elip, đôi khi gần cầu,  $2,0-2,5 \times 2,5-4,5 \mu\text{m}$ . Không có bào tử áo.

### Chi CEPHALOSPORIUM Corda

Giá bào tử trần không có hoặc ngắn, nếu có, không phân nhánh hoặc phân nhánh ít. Tế bào sinh bào tử trần là các thể bình, ở đỉnh giá bào tử trần, nhưng phần lớn mọc trực tiếp, rái rác trên sợi nấm. Các thể bình thon dần từ gốc đến đỉnh. Bào tử trần thuộc tip phialoconidi (tip cơ bản euconidi), không ngắn vách, nhiều hình dạng (hình cầu, hình trứng, elip, hình trụ), không màu hoặc màu nhạt, thành khối cầu nhạy ở miệng thể bình.

Chi *Cephalosporium* được Corda mô tả năm 1839. Các loài của chi này được Gams (1971) chuyển sang các chi *Acremonium* Link ex Fr., *Monocillium* S. B. Saksena và *Verticillium* Nees ex Wallroth. Trong tài liệu này chúng tôi vẫn giữ *Cephalosporium* Cda. với loài *C.acremonium* Cda., vì các tài liệu về kháng sinh học hiện nay vẫn dùng tên loài vì nấm tạo thành kháng sinh cephalosporin này, để tiện việc tra cứu (hình 3.6).

*Cephalosporium acremonium* Cda.- Khuẩn lạc trên môi trường thạch khoai tây (nhiệt độ nuôi cấy  $27^\circ\text{C}$ , 10 ngày tuổi) có đường kính 16 - 25 cm, sinh nhiều bào tử trần, dạng mặt thay đổi từ mượt đến xốp bong, với các vết nhạy, màu trắng, hồng hoặc da cam nhạt. Giá bào tử trần nếu có rất ngắn, gần thẳng góc với sợi nấm, không phân nhánh. Thể bình thẳng hoặc hơi cong, dài 20 - 40  $\mu\text{m}$ , đường kính 1,4 - 2,5  $\mu\text{m}$  ở gần đáy, giảm dần đến 0,5 - 1,0  $\mu\text{m}$  ở phần đỉnh. Bào tử trần hầu hết hình trụ, đôi khi hình gần cầu hoặc hình quả lê, phần lớn  $0,9-1,8 \times 3,3-5,5 \mu\text{m}$ , tụ họp thành khối cầu hơi nhạy ở đỉnh thể bình. Không có bào tử áo.

Theo W.Gams (1971) tên *Acremonium strictum* W.Gams là tên chính và tên, *Cephalosporium acremonium* sensu auct. plur. non Corda là tên đồng nghĩa *C.acremonium* cho kháng sinh tự nhiên là cephalosporin C, dễ dàng biến đổi thành acid 7-aminocephalosporanic (7-ACA). Cephalosporin C có tác dụng trên *Staphylococcus aureus* và *Salmonella typhi*, nhưng hoạt phổ hẹp và tác dụng yếu. Hiện nay người ta dùng 7-ACA để sản xuất các kháng sinh bán tổng hợp như cephalotin, cephaloridin, cephalecin, v.v.

### Chi FUSARIUM LINK ex Fries

Chi *Fusarium* là một chi nấm có số lượng loài đã được mô tả đặc biệt lớn, trên một nghìn loài, nhưng cũng là một chi nấm mà số lượng loài đến nay còn được chấp nhận so với số lượng loài đã được mô tả nói

trên chiếm một tỉ lệ rất nhỏ : trên dưới 1% hoặc 3 - 4% tùy các tác giả khác nhau. Nguyên nhân cơ bản của tình hình trên là khả năng biến dị rất cao của các chủng của chi *Fusarium* trên các cơ chất tự nhiên. Nhiều đặc điểm hình thái hoặc nuôi cấy của các chủng thuộc cùng một loài thay đổi trong một giới hạn rất lớn. Nghiên cứu các đặc điểm này của 8 chủng có nguồn gốc khác nhau thuộc loài *F.oxysporum* Schlecht lưu trữ ở Viện Nghiên cứu quốc gia nông nghiệp ở Dijon (Pháp), chúng tôi thấy chủng hạn 4 trong số 8 chủng này không tạo thành đệm giá nhảy, 4 chủng còn lại tạo thành đệm giá nhảy điển hình, hoặc 2 chủng có màu trắng hồng nhạt, 2 chủng có màu trắng ánh bạc, 2 chủng có màu hồng da cam và 2 chủng còn lại màu trắng hoặc tím hồng nhạt (trên môi trường thạch - khoai tây), v.v. Sự có mặt của bào tử trần lớn (macroconidium) và bào tử trần nhỏ (microconidium) là các đặc điểm cơ bản của các loài thuộc chi nấm này, tính chất đó cũng phụ thuộc vào nguồn gốc các chủng, đặc biệt phụ thuộc vào số lượng lần đã cấy truyền các chủng đó. Tính chất đa dạng của các bào tử trần lớn và nhỏ của mỗi loài cũng là một trong những nguyên nhân tạo ra tình hình mô tả quá nhiều loài nói trên. Những nghiên cứu về phân loại học chi *Fusarium* từ đầu thế kỷ này, đặc biệt từ những năm 1950 trở lại đây, nhờ kỹ thuật nuôi cấy đơn bào tử, các kỹ thuật hiển vi khác được cải tiến, đã có những đổi mới, trước hết là các đặc điểm phân loại của mỗi loài đã được nghiên cứu có hệ thống và do đó đã có những giới hạn cho mỗi đặc điểm đó khá rõ rệt.

Hệ thống phân loại chi *Fusarium* theo hướng đó bắt đầu từ Wollenweber (1910) và tiếp đó là hệ thống của Wollenweber và Reinking (1935) gồm 142 loài và thứ, dạng (form) tập hợp trong 16 nhóm loài. Raillo (1950) chấp nhận hệ thống của 2 nhà nấm học này với những sửa đổi nhỏ. Tiếp tục theo hướng đó, Bilal (1955) đề nghị một hệ thống gồm 26 loài tập hợp trong 9 nhóm loài và sau đó (1977), bổ sung vào chi này 5 loài nữa. Booth (1971) bổ sung thêm các đặc điểm của bộ máy mang bào tử trần của nhiều loài và căn cứ vào các đặc điểm này cùng với các đặc điểm hình thái và nuôi cấy khác, đã đề nghị 12 nhóm loài với 44 loài và thứ được chấp nhận hoặc mô tả mới của chi *Fusarium*. Theo một quan điểm phân loại khác về chi *Fusarium*, Snyder và Hansen (1940), sau đó Toussoun và Nelson (1968), Messiaen và Cassini (1968), ngoài các đặc điểm khác, dùng đặc điểm của gót ngắn gốc bào tử trần lớn là một trong các đặc điểm cơ bản, đã tập hợp các loài của Wollenweber và Reinking (1935) vào 9 loài và một số thứ. Loài của chi *Fusarium* theo quan điểm phân loại của các nhà nấm học đó có giới hạn rất rộng và do đó nhiều nhóm chủng của cùng một loài có những đặc

điểm hóa sinh trước hết là đặc điểm về sự có mặt của các mycotoxin khá xa nhau hoặc hoàn toàn khác nhau. Loài *F. tricinctum* (Cda.) Snyder et Hansen chẳng hạn trong hệ thống của Snyder và Hansen tương đương với 4 loài trong hệ thống của Booth, trong 4 loài này chỉ có loài *F. sporotrichoides* Sherb. có mycotoxin gây tăng bạch cầu. Vì các loài theo quan điểm phân loại của Snyder và Hansen quá rộng như vậy, nên hệ thống phân loại chi *Fusarium* của Booth (1971) và của Bilai (1977) hiện được sử dụng rộng rãi trong các cơ sở phân loại ở các nước.

Giai đoạn hữu tính (giai đoạn bào tử túi) của trên 10 loài và thứ thuộc chi *Fusarium* thuộc các loài của các chi Nấm túi *Calonectria* de Not., *Giberella* Sacc., *Micronectriella* Speg. và *Nectria* Fr.

Về chi *Fusarium* ở 3 nước Đông Dương, Bugnicourt (1939) đã phát hiện và mô tả 29 loài và thứ ký sinh trên 112 loài cây Hạt kín (ngành Ngọc Lan) và 3 loài côn trùng. Các loài và thứ này đã được kiểm tra lại và được xác định là thuộc 11 loài và thứ còn giá trị, 18 nhóm phân loại khác đã trở thành các tên đồng nghĩa (B.X.Đồng 1986). Sau Bugnicourt, một số loài và thứ khác thuộc chi *Fusarium* đã được phát hiện và mô tả.

Công nghệ sinh học dùng loài *F. moniforme* Sheldon để sản xuất chất kích thích sinh trưởng thực vật giberillin đã có những ứng dụng trong thực tiễn nông nghiệp ở nhiều nước. Ở nước ta, một số công trình nghiên cứu phân lập tuyển chọn các chủng nấm thuộc loài *F. moniforme*, nghiên cứu nuôi cấy, chiết xuất giberillin và nghiên cứu ứng dụng kích thích tố sinh trưởng thực vật này đối với một số cây trồng đã được thực hiện trong hơn 30 năm qua (N.L.Đặng 1965, L.K.Bàng và Cs. 1975, 1988, L.V.Tri và Cs. 1988, v.v.). Một số loài thuộc chi *Fusarium* cũng đã được nghiên cứu về mycotoxin (N.T.Châu 1996).

**Bảng 3.14. Khảo định loại các loài thuộc chi *Fusarium* Link ex Fr. có ở Việt Nam (B.X.Đồng, 1986). (Môi trường thạch - khoai tây, nhiệt độ nuôi cấy 27°C, 7 ngày tuổi)**

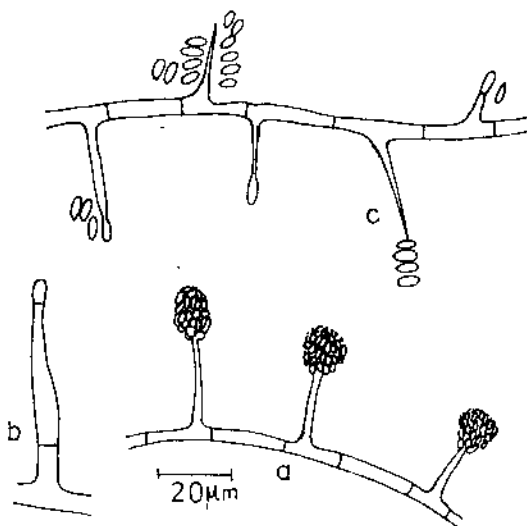
1. Khuẩn lạc trên 2,5 cm đường kính	2
1. Khuẩn lạc dưới 2,5 cm đường kính	16
2. Có bào tử trần nhỏ	3
2. Không có bào tử trần nhỏ	9
3. Bào tử trần nhỏ xếp thành chuỗi	4
3. Bào tử trần nhỏ không xếp thành chuỗi	5
4. Khuẩn lạc màu đỏ carmin . . .	

*F. decemcellulare* Brick

4. Khuẩn lạc màu hồng, tím da cam, hồng tím . . .	<i>F.moniliforme</i> Sheldon	
5. Bào tử tràn nhỏ được tạo thành trên các thể bình nhiều miệng		6
5. Bào tử tràn nhỏ được tạo thành trên các thể bình một miệng		7
6. Khuẩn lạc có sắc tố màu đỏ. Bào tử tràn nhỏ có loại thuộc tip blastoconidi . . .		
	<i>F.sporotrichoides</i> Sherb.	
6. Khuẩn lạc có sắc tố nâu nhạt, tím hồng. Không có bào tử tràn thuộc tip blastoconidi . . . <i>F.moniliforme</i> Sheldon var. <i>subglutinans</i> Wollenw. et Reinking		
7. Bào tử tràn nhỏ hình gần cầu (tạo thành trên các thể bình ngắn, phồng to)		
	<i>F.poae</i> (Peck) Wollenw.	
7. Bào tử tràn nhỏ hình elip, hình trứng		8
8. Giá bào tử tràn phân hóa rõ rệt, có nhánh mang các thể bình dài . . .		
	<i>F.solani</i> (Martius) Sacc.	
8. Giá bào tử tràn rất ngắn hoặc không có. Thể bình tạo thành các bào tử tràn nhỏ ngắn, phồng to, phần lớn mọc từ sợi nấm . . .		
	<i>F.oxyponum</i> Schlecht.	
9. Bào tử tràn lớn có nhiều hình dạng và kích thước		10
9. Bào tử tràn lớn phần lớn có cùng hình dạng và kích thước		13
10. Bào tử tràn lớn có loại thuộc tip blastoconidi		11
10. Bào tử tràn lớn hoàn toàn thuộc tip phialoconidi		12
11. Bào tử tràn lớn hình trứng, nhọn ở 2 đỉnh, 3-5 vách ngang . . .		
	<i>F.camptoceras</i> Wollenw. et Reinking	
11. Bào tử tràn lớn hình thoi, 3 - 7 vách ngang . . .		
	<i>F.semitectum</i> Berk. et Rav. var. <i>malus</i> Wollenw.	
12. Bào tử tràn lớn có ngăn gốc rộng hoặc hình nêm, cong . . .		
	<i>F.tumidum</i> Sherb.	
12. Bào tử tràn lớn có ngăn gốc thon nhỏ thành hình cuống nhỏ ở phần cuối		
	<i>F.equiseti</i> (Cda.) Sacc.	
13. Phần lớn bào tử tràn lớn thẳng		14
13. Phần lớn bào tử tràn lớn có mặt lùng và mặt bụng		15
14. Khuẩn lạc màu đỏ carmin. Giá bào tử tràn lớn phân nhánh ở đỉnh nhiều lần theo kiểu <i>Penicillium</i> . . .		
	<i>F.stilboides</i> Wollenw.	
14. Khuẩn lạc có màu sắc khác nhau, nhưng không có màu đỏ carmin. Giá bào tử tràn kín có 2 - 3 nhánh ở đỉnh . . .		

15. Ngắn dính của bào tử trần lớn nhọn hoặc cong hình mó ...  
... *F. culmorum* (W.G.Smith) Sacc.
15. Ngắn dính của bào tử trần lớn thon nhỏ dần ...  
... *F. graminearum* Schwabe
16. Khuẩn lạc rất hẹp, 1 cm đường kính. (Giá bào tử trần lớn rất ngắn hoặc không có) ...  
... *F. merismoides* Cda.
16. Khuẩn lạc 2.0 - 2.5 cm đường kính 17  
17. Bào tử trần lớn hầu hết có 1 vách ngang. Có bào tử áo. Thể bình dài 10 - 18  $\mu\text{m}$  ...  
... *F. dimerum* Penzig
17. Bào tử trần lớn có 1 - 3 vách ngang. Không có bào tử áo. Thể bình dài 7 - 9  $\mu\text{m}$  ...  
... *F. nivale* (Fr.) Cda.

*Fusarium graminearum* Schwabe (Perf.st. : *Gibberella zeae* (Schw.) Petch) - Khuẩn lạc trên môi trường thạch-khoai tây, nhiệt độ nuôi cấy 27°C, 7 ngày tuổi, 9 - 10 cm đường kính, màu nâu, hồng tim nâu, không có hoặc hiếm đệm giá (sporodochium). Giá bào tử trần lớn ngắn, mang nhánh ở phân đỉnh, nhánh dài 5 - 12  $\mu\text{m}$ . Thể bình thường đơn độc ở



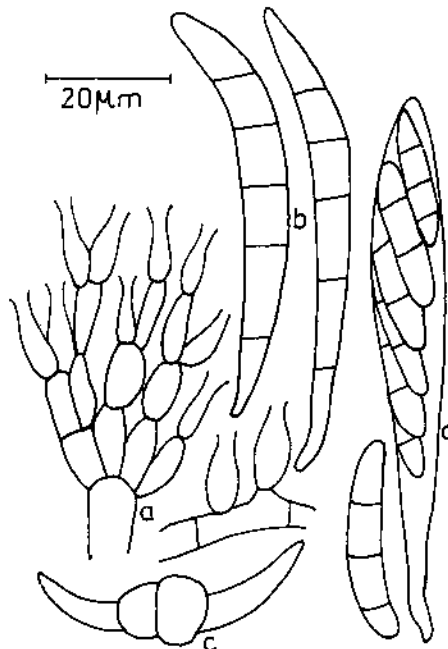
Hình 3.6. *Cephalosporium* sp.

- a. Thể bình mang khói bào tử trần hình cầu ở trên miếng.  
b. Thể bình, c. Thể bình với các bào tử trần vừa được tạo thành.

dinh các nhánh và xen lắn với các nhánh ở đỉnh giá, đôi khi tăng sinh tạo thành nhánh của giá ở miệng, có kích thước  $3,5-4,5 \times 10-15 \mu\text{m}$ . Bào tử lớn hầu hết  $3 - 7$  vách ngang, 3 vách ngang  $2,5-4,0 \times 25-35 \mu\text{m}$ , 4 vách ngang  $2,5-4,0 \times 25-42 \mu\text{m}$ , 5 - 7 vách ngang  $2,5-5,0 \times 35-60 \mu\text{m}$ . Không có bào tử trần nhỏ. Bào tử áo  $10 - 12 \mu\text{m}$  đường kính. Thể quả túi  $140 - 250 \mu\text{m}$  trục lớn, túi bào tử chứa 8 bào tử túi. Bào tử túi hình thoi, cong, phần lớn 3 vách ngang,  $3-4 \times 19-24 \mu\text{m}$  (Hình 3.7).

Tạo thành các trichothecen (mycotoxin gây nôn mửa, ỉa chảy, tổn thương tế bào ở tuy xương, tuyến giáp trạng, giảm bạch cầu) và zearalenon (mycotoxin tác dụng xấu đến đồng hóa ở động vật, gây phù nề bộ phận sinh dục của lợn cái, làm teo buồng trứng, gây sảy thai).

*Fusarium moniliforme* Sheldon (Perf.st. : *Gibberella fujikuroi* (Saw.) Ito et Kimura)- Khuẩn lạc trên môi trường thạch-khoai tây nhiệt độ nuôi cấy  $27^\circ\text{C}$ , 7 ngày tuổi,  $4 - 5$  cm đường kính, xốp bóng, màu trắng ngà, hồng tím, vài vùng có dạng bột. Giá bào tử trần lớn ngắn,  $10 - 20 \mu\text{m}$  dài, đơn hoặc có  $2 - 3$  nhánh ở phần đỉnh. Thể bình thành cụm  $2 - 3$  chiếc trên đỉnh giá hoặc đỉnh nhánh,  $3,5-4,0 \times 20-25 \mu\text{m}$ . Bào tử trần

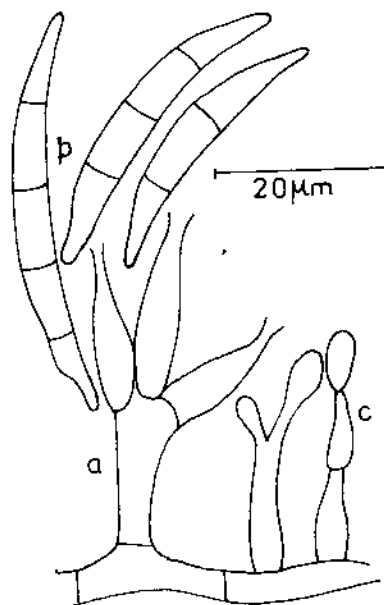


Hình 3.7. *Fusarium graminearum* Schwabe

a- Giá bào tử trần, b- Bào tử trần lớn, c- Bào tử áo tạo thành trên bào tử trần lớn, d- Túi bào tử và bào tử túi (B.X.Dòng, 1986).

lớn có ngắn dình dài, cong, ngắn gốc thon dột ngót thành cuống ngắn và hẹp, 3 - 7 vách ngang 2,5-4,0 x 30-50  $\mu\text{m}$ , loại 7 vách ngang 3-4 x 30-65  $\mu\text{m}$ . Thể bình tạo thành bào tử trần nhỏ ở trên sợi nấm, đơn độc 3-8  $\mu\text{m}$ , thành chuỗi. Không có bào tử áo. Hạch nấm hình cầu, màu 5-12  $\mu\text{m}$ , thành chuỗi. Không có bào tử áo. Hạch nấm hình cầu, màu xanh sẫm. Theo Booth (1971), thể quả túi ở trên lá cây đã rụng (Hình 3.8).

Tạo thành giberellin (kích thích tố sinh trưởng thực vật), fumonisin (mycotoxin gây viêm gan, tràn dịch phổi).

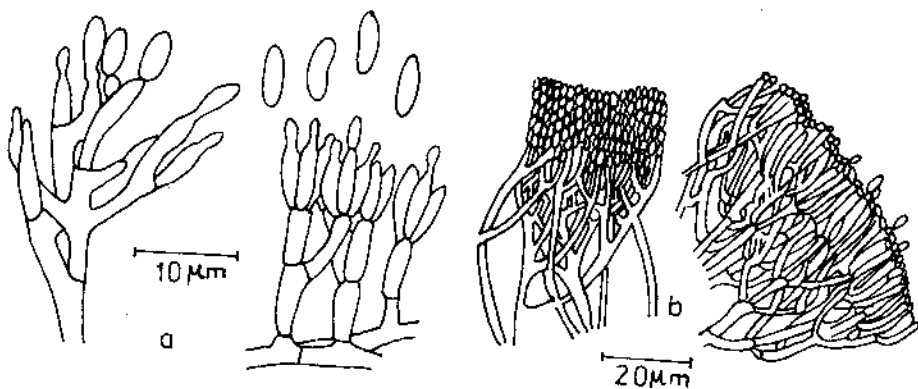


Hình 3.8. *Fusarium moniliforme* Sheldon

a. Giá bào tử trần, b. Bào tử trần lớn, c. Thể bình tạo thành các bào tử trần nhỏ (B.X.Đồng, 1986).

### Chi METARHIZIUM Sorokin

Chi *Metarhizium* được mô tả bởi Sorokin năm 1883 với loài *M.anisopliae* (Metsch.) Sorokin. Sau đó vài loài được mô tả mới (Petch 1931, 1935, Pope 1944, Borowska 1970, v.v.). Tulloch (1976) kiểm tra và chấp nhận các loài *M.anisopliae* (Metsch.) Sorokin với 2 thứ và loài *M.flavoviride* Gams et Rozsypal. Loài *M.anisopliae* với 2 thứ *M.anisopliae* var.*anisopliae* Sorokin và *M.anisopliae* var.*major* (Johnstom) Tulloch đã được phân lập từ một số mẫu côn trùng thuộc các bộ Cánh vảy (Lepidoptera) và Cánh giông (Isoptera) ở nước ta, và đã được dùng để



Hình 3.9. *Metarhizium* sp.

a- Giá bào tử trần mang thể bình và bào tử trần, b- Thể bình và chuỗi bào tử trần thành lớp (Litvinov, 1967).

nghiên cứu sản xuất các chế phẩm diệt một số côn trùng và mối hai cây trồng (*Odontotermes hainanensis* Light), hại công trình (*Coptotermes formosanus* Shir) (T.K.Chinh 1996).

Chi *Metarhizium* đặc trưng bởi các giá bào tử trần mọc sát nhau trên sợi nấm, do đó tạo thành một lớp dày. Phần ngọn các giá đó mang các nhanh ngắn hoặc các thể bình. Thể bình đơn độc từng đôi hay thành vòng. Bào tử trần thuộc tip phialoconidi (tip cơ bản euconidi), không ngắn vách, hình trứng dài hoặc hình trụ, không màu hoặc màu nhạt, thành chuỗi gốc non, thường tụ lại thành dạng cột (hình 3.9).

**Bảng 3.15. Khóa định loại các loài và thứ thuộc chi *Metarhizium* Sorokin  
(Theo M. Tulloch, 1976)**

1. Bào tử trần hình trụ hoặc hình trứng, thường hơi hép lại ở giữa và vuông vắn ở 2 đỉnh. Khuẩn lạc có những màu lục khác nhau, màu xám da cam, xám vàng . . .
  - . . . *M.flavoviride* Gams et Rozsypal
1. Bào tử trần hình elip với 2 hoặc 1 đỉnh tròn. Khuẩn lạc màu lục xám vàng, lục xám . . .
  - . . . *M.anisopliae* (Metsch.) Sorokin
- Bào tử trần 3.5 - 9.0  $\mu\text{m}$  dài (thường 5 - 8  $\mu\text{m}$ ) . . .
  - . . . *M.anisopliae* var. *anisopliae* (Metsch.) Sorokin
- Bào tử trần 9 - 18  $\mu\text{m}$  dài (thường 10 - 14  $\mu\text{m}$ ) . . .
  - . . . *M.anisopliae* var. *malor* (Johnston) Tulloch

*Metarhizium anisopliae* (Metsch.) Sorokin - Khuẩn lạc trên môi trường thạch-khoai tây (nhiệt độ nuôi cấy 27°C, 7 ngày tuổi) màu trắng sau chuyển thành màu lục xám nhạt, lục xám vàng. Giá bào tử trần ngắn vách, nhẵn, không phân nhánh hoặc có 1 - 2 nhánh ở phần ngọn, thường tập hợp thành một lớp dày gồm các thể bình ở đỉnh giá và đỉnh các nhánh. Thể bình mọc đối hoặc mọc vòng, ít khi đơn độc,  $2,3-2,5 \times 7-11 \mu\text{m}$ , hình trụ hoặc hình bình. Bào tử trần không màu hoặc màu lục nhạt, lục xám nhạt, hình elip thẳng hoặc hơi cong,  $3,5 - 9 \mu\text{m}$  hoặc  $9 - 18 \mu\text{m}$  trục dài, thành chuỗi.

#### Chi PAECILOMYCES Bainier

Chi *Paecilomyces* do Bainier mô tả năm 1907, sau đó được nhiều tác giả chấp nhận chi mới này và bổ sung nhiều loài mới. Chuyên luận về chi nấm này của Samson (1974) chấp nhận 16 loài đã mô tả, đồng thời tổ hợp mới 9 loài và đề nghị 6 loài mới, tất cả tập hợp trong 2 nhóm loài. Nhóm loài thứ nhất là nhóm loài *Paecilomyces* có các giai đoạn bào tử túi thuộc các chi *Byssochlamys* Westling, *Talaromyces* C.R.Benjamin và *Thermoascus* Miehe, gồm các loài ưa nhiệt ôn hòa (mesophile), chịu nhiệt và ưa nhiệt, có khuẩn lạc màu nâu vàng hoặc các màu nâu khác. Nhóm loài thứ hai là nhóm loài *Isariooides* gồm các loài không có giai đoạn bào tử túi, ưa nhiệt ôn hòa và có khuẩn lạc màu tím hồng, màu lục và màu vàng. Nhiều loài trong nhóm loài thứ hai này ký sinh gây bệnh côn trùng.

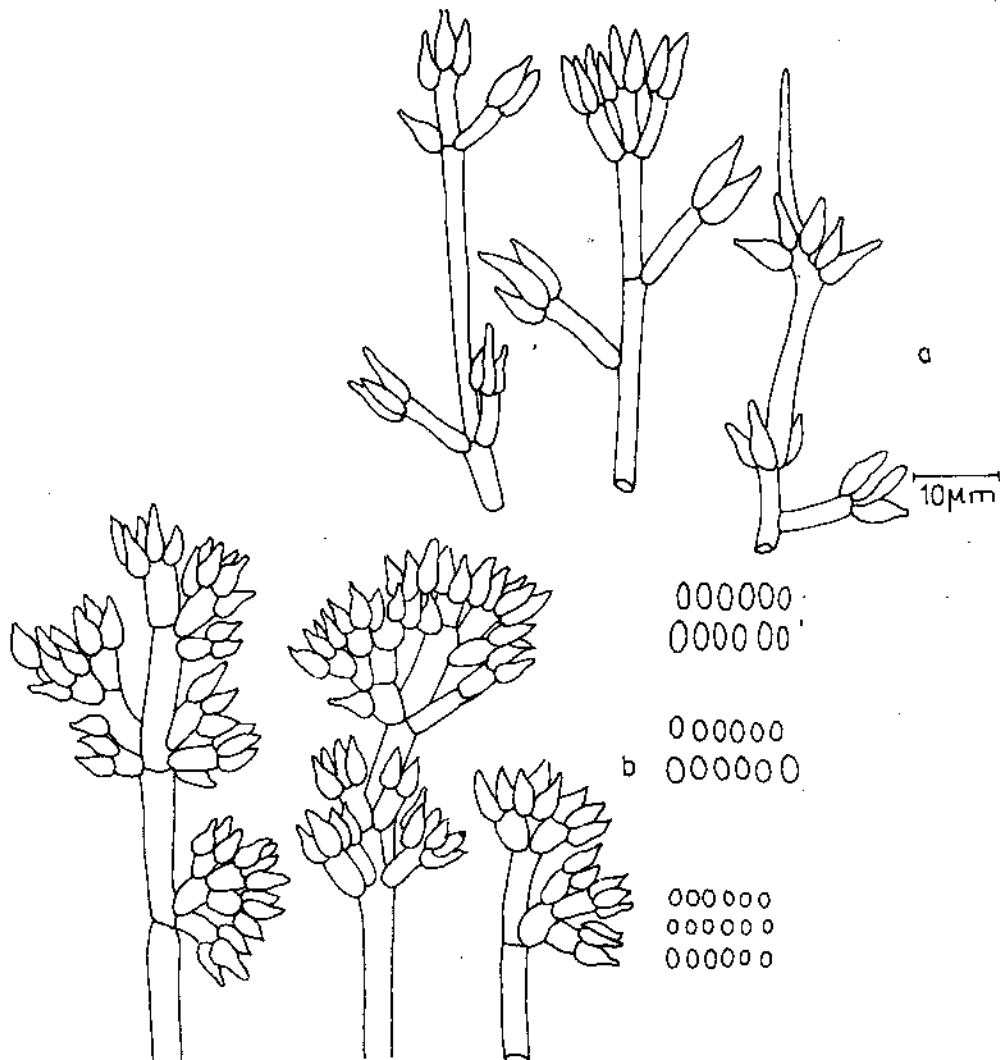
Chi *Paecilomyces* đặc trưng bởi những đặc điểm :

Khuẩn lạc màu trắng, lục, tím nhạt, vàng hoặc vàng nâu. Giá bào tử trần đơn độc hoặc thành bó giá, phân nhánh không đều hoặc thành vòng. Nhánh mang ở đỉnh thể bình mọc thành vòng. Thể bình đôi khi đơn độc trên các sợi nấm không phân hóa. Thể bình gồm phần gốc hình trụ hoặc hình gân trứng và phần ngọn thon nhỏ đột ngột thành một cỗ dài. Bào tử trần thuộc tip phialoconidi (tip cơ bản euconidi), không ngắn vách, không màu hoặc màu nhạt, nhẵn hoặc có gai, thành chuỗi gốc non. Các chuỗi bào tử trần tách xa nhau, ít khi tụ họp thành khối.

Chi *Acremonium* Link ex Fr. phân cách với chi *Paecilomyces* bởi các thể bình thường đơn độc trên sợi nấm không phân hóa hoặc trên các giá bào tử trần ngắn, và bởi các thể bình hình dùi. Chi *Penicillium* Link ex Fr. phân cách với chi *Paecilomyces* bởi các thể bình hình bình, cũng có phần ngọn hẹp nhưng không dài như ở *Paecilomyces* và sắp xếp thành dạng chổi. Ngoài ra 2 chi nấm này phân cách nhau bởi sự có mặt của bào tử áo ở nhiều loài của chi *Paecilomyces* và không có bào tử áo ở các loài thuộc chi *Penicillium*. Các chi lân cận với chi *Paecilomyces* về các đặc điểm phát sinh conidi và các đặc điểm hình thái còn có các chi :

*Acrophialophora* Edward, *Akanthomyces* Lebert, *Gabarnaudia* Samson et W.Gams, *Mariannaea* Arnaud, *Nalanthamala* Subram., *Nomuraea* Maublanc, *Phialocladius* Kreisel, *Phialotubus* Roy et Leelavathy, *Septofusidium* W.Gams, *Sesquicillium* W.Gams, *Tolypocladium* W.Gams và *Verticillium* Nees ex Wallr.

Loài *P.variotii* Bainier là loài thường gặp nhất ở không khí, đất và trên các sản phẩm công nông nghiệp ở nước ta (Đ.H.Miên, 1980), tạo thành kháng sinh variotin (kháng sinh chống nấm), cũng tạo thành



Hình 3.10. *Paecilomyces farinosus* (Holm ex S.F.Gray) Brown et Smith

a- Các dạng khác nhau của già bão tử trần, b- Bão tử trần ở các chủng khác nhau (Samson, 1974).

mycotoxin là acid byssochlamic và một số sản phẩm trao đổi chất khác. Thường sống hoai sinh, nhưng loài vi nấm này có khả năng gây bệnh trên người và súc vật.

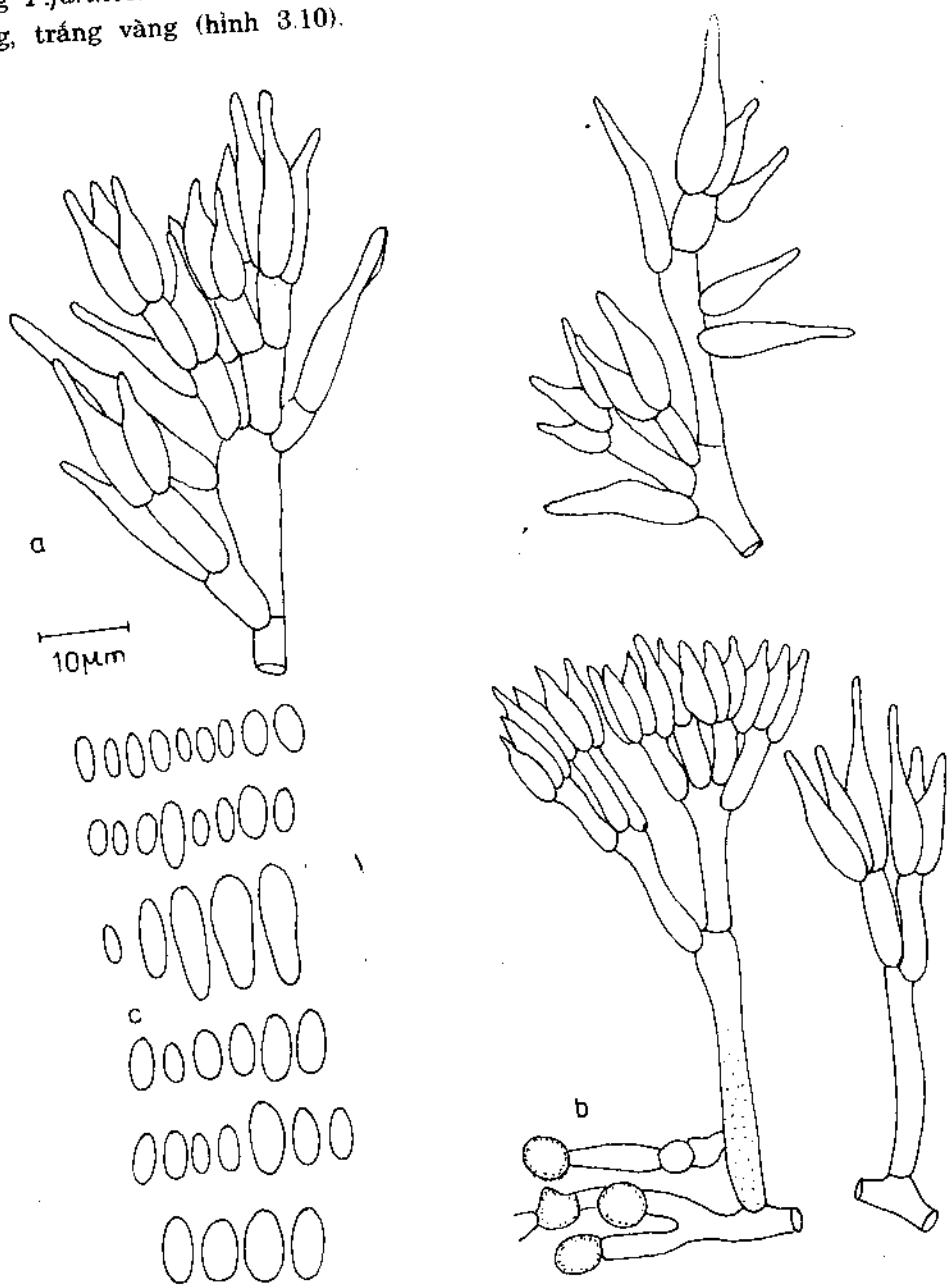
Loài *P.farinosis* (Holm ex S.F.Gray) Brown et Smith gây bệnh nhiều loài côn trùng, phân bố rộng rãi ở nhiều vùng trên thế giới, đã được phân lập từ một số loài côn trùng thuộc bộ cánh vảy (Lepidoptera) và bộ cánh giông (Isoptera) ở nước ta (T.K.Chinh, 1996).

**Bảng 3.16. Khóá định loại các loài *Paecilomyces variotii* Bain. và *P.farinosis* (Holm ex S.F.Gray) Brown et Smith và các loài lân cận thuộc chi *Paecilomyces* Bain. (môi trường thạch-cao lúa mạch, nhiệt độ nuôi cây 27°C, 10 ngày tuổi)**

1. Khuẩn lạc màu nâu vàng, nâu	2
1. Khuẩn lạc màu trắng hoặc màu tươi nhạt	3
2. Khuẩn lạc dạng bột, đôi khi xốp bông nhẹ, 8 cm đường kính. Bảo tử trần nhiều hình dạng, phân lớn 2-4 x 3-5.0 $\mu\text{m}$ . . . . .	
	<i>P.variotii</i> Bain.
2. Khuẩn lạc dạng xốp bông, 6 cm đường kính. Bảo tử trần phân lớn 1.7-4.3 x 7.0-11.5 $\mu\text{m}$ . . . . .	
	<i>P.clavisporus</i> Hammill
3. Thể bình hau hết đơn độc trên các sợi nấm không phân hóa hoặc trên các giá bảo tử trần ngắn. (Bảo tử trần hình hạt chanh, 2-3 x 3-4 $\mu\text{m}$ ) . . . . .	
	<i>P.inflatus</i> (Burnside) Carmichael
3. Thể bình hau hết mọc trên các giá bảo tử trần	4
4. Bảo tử trần hình elip hay hình thoi, 10-18 x 2-3 $\mu\text{m}$ . Khuẩn lạc màu trắng đến vàng nhạt. Bó giá trên cơ chất tự nhiên màu trắng đến vàng . . . . .	
	<i>P.farinosis</i> (Holm ex SF.Gray) Brown et Smith
4. Bảo tử trần hình gần cầu đến elip. Khuẩn lạc màu trắng đến đỏ. Bó giá trên cơ chất tự nhiên màu đỏ tối . . . . .	
	<i>P.amoenosporus</i> (P.Henn.) Samson

*Paecilomyces farinosus* (Holm ex S.F.Gray) Brown et Smith - Khuẩn lạc trên môi trường thạch-cao lúa mạch (nhiệt độ nuôi cây 27°C, 10 ngày tuổi) 4 - 5 cm đường kính, mặt dạng bột, đôi chỗ dạng xốp bông nhẹ, trắng sau màu vàng tươi nhạt với các bó giá màu vàng. Giá bảo tử trần hau hết mọc từ các sợi nấm nền, nhẵn, không màu, 1.0-2.5 x 100-300  $\mu\text{m}$ , mang 1-5 nhánh ở đỉnh và phần ngọn giá. Thể bình ở đỉnh giá hoặc đỉnh các nhánh thành cụm, đôi khi mọc trực tiếp trên giá, 1.5-2.5 x 5-15  $\mu\text{m}$ , gồm phần gốc hình gần cầu hoặc trứng và phần cổ hẹp 0.5  $\mu\text{m}$  chiều

ngang. Bào tử trắn hình elip, hình thoi, đôi khi hình hạt chanh, 1,0-1,8  $\mu\text{m}$ , nhẵn, không màu, thành chuỗi. Không có bào tử áo. Trên côn x 2-3  $\mu\text{m}$ , nhẵn, không màu, thành chuỗi. Không có bào tử áo. Trên côn trùng *P.farinosus* có dạng một lớp bột màu trắng với nhiều bó già màu trắng, trắng vàng (hình 3.10).



Hình 3.11. *Puccinomyces variotii* Bainier

a- Các dạng của già bào tử trắn, b- Bào tử áo,  
c- Bào tử trắn của các chủng khác nhau (Samson, 1974).

*Paecilomyces varioti* Bainier - Khuẩn lạc trên môi trường thạch-cao lúa mạch (nhiệt độ nuôi cấy 27°C, 10 ngày tuổi) 6 - 8 cm đường kính, mặt dạng bột, đôi khi xốp bong hoặc có ít bó sợi, màu lục nâu, vàng lục. Giá bào tử tràn nhẵn hoặc hơi xù xì, 4-7 x 30-12  $\mu\text{m}$ , mang các nhánh xếp thành vòng hoặc không đều. Thể binh 2,5-5,0 x 15-25  $\mu\text{m}$  mọc thành cụm 2 - 7 chiếc hoặc đơn độc, phần gốc hình trụ hoặc gần elip, phần cổ hình trụ dài, 1,0 - 1,5  $\mu\text{m}$ . chiều ngang. Bào tử tràn hình gần trụ, hình elip, 2,5-4,0 x 3,5-5,0  $\mu\text{m}$ , nhẵn, không màu hoặc màu vàng nhạt thành chuỗi. Bào tử áo đơn độc hoặc thành chuỗi ngắn, hơi xù xì, màu nâu, hình cầu hoặc hình quả lê, 5,5 - 8,0  $\mu\text{m}$  đường kính (hình 3.11).

### Chi *PENICILLIUM* Link ex Fries

Chi *Penicillium* do Link mô tả đầu tiên năm 1809 với 3 loài *P.candidum*, *P.expansum* và *P.glaucum*, sau đó được S.F.Gray (1821), Fries (1932) chấp nhận nhưng loại bỏ loài *P.glaucum* vì giới hạn loài này quá rộng (tất cả các loài có bộ máy mang bào tử tràn dạng chổi và mọc thành khuẩn lạc màu lục). Tên loài *P.glaucum* sau đó đều không được chấp nhận trong tất cả các chuyên luận phân loại của chi nấm này. Sau Fries, nhiều loài thuộc chi *Penicillium* đã được phát hiện và mô tả. Trong chuyên luận về chi *Penicillium* của Biourge (1923) đã mô tả mới và tập hợp các loài đã mô tả trước đó, đã có tới 128 loài. Biourge đề nghị 2 phân chi của chi *Penicillium* : phân chi *Eupenicillium* gồm các loài có giá bào tử tràn mang các nhánh và các vòng thể binh và phân chi *Monoveticillium* chỉ có giá bào tử tràn mang vòng thể binh. Chuyên luận của Thom (1930) mở đầu cho quan điểm phân loại học về chi *Penicillium* mà hiện nay vẫn được sử dụng rộng rãi. Thom đề nghị 4 nhóm loài (sectio) của chi nấm bắt toàn này căn cứ vào cấu tạo của bộ máy mang bào tử tràn : *Monoveticillata*, *Asymmetrica*, *Biverticillata-Symmetrica* và *Polyverticillata*. Nhóm loài *Asymmetrica* được chia làm 6 phân nhóm (subsectio, series) căn cứ vào dạng mặt khuẩn lạc và một phần vào đặc điểm hình thái của bộ máy mang bào tử tràn. Chuyên luận về chi *Penicillium* của Raper và Thom (1949) hiện nay đang được dùng rộng rãi về cơ bản theo quan điểm phân loại học của Thom (1930) về chi nấm này với vài thay đổi nhỏ : Nhóm *Asymmetrica* còn 5 phân nhóm (*Divaricata*, *Velutina*, *Lanata*, *Funiculosa* và *Fasciculata*), quan niệm về nhóm loài *Polyverticillata* hẹp hơn trước, chỉ còn loài *P.albicans* Bain. Điều đáng chú ý là Thom (1930), Raper và Thom (1949) không theo Luật quốc tế về danh pháp thực vật (điều 59), chỉ chấp nhận tên chi *Penicillium* cho cả các loài thuộc chi nấm này có hoặc không có giai đoạn hữu tính (giai đoạn bào tử túi). Đóng góp quan trọng của Thom và

sau đó của Raper và Thom là trên cơ sở nghiên cứu nhiều chủng khác nhau của hầu hết các loài thuộc chi *Penicillium* đã được công bố (cho đến 1949), đã xây dựng một quan niệm về loài đối với chi nấm này và đã kiểm tra, chọn lựa để mô tả mới và mô tả lại 141 loài và thử được chấp nhận với các tên đồng nghĩa. Chuyên luận của Raper và Thom (1949) sau đó được tái bản nhiều lần, không có thay đổi và bổ sung. Từ Raper và Thom (1949) đến nay, chúng ta có thể thấy một số công trình nghiên cứu phân loại học về chi *Penicillium* đáng chú ý như Abe (1956), Pidoplichtsko (1972), Fassatiová (1975), Samson và ct. (1976) với một số thay đổi ở một số nhóm loài và quan trọng hơn là thay đổi về quan niệm loài (do đó về giới hạn các loài) ở các phân nhóm *Fasciculata*, *Funiculosa* và *Lanata* thuộc nhóm loài *Asymmetrica*<sup>(1)</sup>. Tiếp sau đó, 2 chuyên luận phân loại về chi *Penicillium* đáng chú ý là chuyên luận của Pitt (1979) và chuyên luận của Ramirez (1982). Trong chuyên luận của Pitt, quan niệm về loài ở tất cả các nhóm loài thuộc chi *Penicillium* được xác định lại, các chi Nấm túi có giai đoạn bào tử trần được chấp nhận theo đúng Luật danh pháp quốc tế về thực vật. Do quan niệm mới đó, chỉ còn 67 loài mô tả trong chuyên luận của Raper và Thom (1949) được Pitt chấp nhận, đồng thời Pitt mô tả lại và mô tả mới (loài mới - sp.nov., tên mới - nom.nov., tổ hợp mới-comb.nov.) 37 loài thuộc chi *Eupenicillium* Ludwig, 16 loài thuộc chi *Talaromyces* C.R. Benjamin và 150 loài thuộc chi *Penicillium*, cùng với các nhóm loài và các phân nhóm mới trong các chi. Chuyên luận của Ramirez không thay đổi về quan điểm phân loại so với chuyên luận của Raper và Thom (1949), chỉ bổ sung các loài mới được mô tả sau 1949, với các tổ hợp mới (*Penicillium* series *atrosanguineum* ser.nov. gồm 2 loài *P.atro-sanguineum* B.X.Đồng, 1973 và *P.griseo-purpureum* Smith, 1966, và một số tổ hợp mới khác).

Chi *Penicillium* thuộc họ Moniliaceae, bộ Moniliales, lớp Nấm bắt toàn (Deuteromyces, Fungi imperfecti) trong hệ thống phân loại hình thái (Saccardo 1886), hoặc tổ chi VI (section VI), nhóm Hyphomycetes trong hệ thống phân loại nhóm Nấm bắt toàn này của B.X.Đồng (1972). Các loài có giai đoạn bào tử túi đã phát hiện được thuộc các chi Nấm túi *Eupenicillium* Ludwig, *Talaromyces* C.R.Benjamin, *Hamigera* Stolk et Samson, *Trichoskytale* Cda., *Dichiaena* Montagne et Durieux. Các chi Nấm túi này thuộc họ Trichocomataceae (bộ Eurotiales, lớp Plectomycetes, ngành phụ Ascomycotina, ngành Nấm - Mycota).

(1) Xem chi tiết ở "Nhóm nấm Hyphomycetes ở Việt Nam", tập II. NXB. Khoa học và Kỹ thuật. Hà Nội, 1986.

Chi *Penicillium* đặc trưng bởi các đặc điểm :

Sợi nấm ngăn vách, phân nhánh, không màu hoặc màu nhạt, đôi khi màu sẫm.

Khuẩn lạc màu lục, vàng lục, xanh lục, lục xám, xám, đôi khi có màu vàng, đỏ, tím hoặc trắng. Mặt trái khuẩn lạc không màu hoặc có màu sắc khác nhau, môi trường thạch nuôi cấy không màu hoặc có màu sắc do có mặt các sắc tố hòa tan tương ứng. Khuẩn lạc có hoặc không có vết khía xuyên tâm hay đồng tâm, có hoặc không các giọt tiết (exudat).

Bộ mày mang bào tử trần (còn gọi là "chổi", penicillus) hoặc chỉ gồm giá bào tử trần với một vòng thể bình ở đỉnh giá (cấu tạo 1 vòng, monoverticillate), hoặc gồm giá bào tử trần với 2 đến nhiều cuống thể bình (metulae) ở phần ngọn giá, trên đỉnh của mỗi cuống thể bình đó có các thể bình (cấu tạo 2 vòng, biverticillate). Trường hợp các giá bào tử trần mang 1 hoặc nhiều nhánh (branch) ở phần ngọn giá, sau đó các nhánh mang các cuống thể bình và các cuống thể bình lại mang các thể bình cũng được coi là cấu tạo 2 vòng. Khi các cuống thể bình xếp đều đặn và sát nhau trên ngọn giá, cấu tạo 2 vòng đó được gọi là cấu tạo 2 vòng đối xứng, trường hợp các cuống thể bình xếp không đều trên phần ngọn giá hoặc có nhánh, cấu tạo này được gọi là cấu tạo 2 vòng không đối xứng. Trường hợp giá bào tử trần mang nhiều nhánh và các nhánh này cùng với các cuống thể bình, các thể bình xếp đều đặn và sát nhau, bộ mày mang bào tử trần có cấu tạo nhiều vòng (polyverticillate).

Giá bào tử trần có thể phát triển từ các sợi nấm nấm sát cơ chất, sát mặt môi trường thạch nuôi cấy (các sợi nền), khi đó thường có chiều dài đều nhau, và khuẩn lạc có dạng mặt nhung (velutinate). Giá bào tử trần có thể là nhánh của các sợi nấm khí sinh, khuẩn lạc trong trường hợp này có dạng len hoặc xốp bông (lanate, floccose). Trường hợp các giá bào tử trần là các nhánh của các bó sợi hoặc bản thân chúng tụ họp lại với nhau thành các bó giá, khuẩn lạc đặc trưng bởi sự có mặt của các bó sợi (funiculose) hoặc của các bó giá (fasciculate).

Tế bào sinh bào tử trần của các loài thuộc chi *Penicillium* là các thể bình. Thể bình ở nhiều loài của chi nấm này có phần đỉnh ngắn và thon nhỏ dần, phần đỉnh này thường có đường kính vào khoảng 1/3 đường kính của phần thân. Một số loài thuộc nhóm loài Biverticillata-Symmetrica có thể bình hình mũi dão (thể bình có phần đỉnh tương đối dài và thon nhỏ dần).

Bào tử trần của các loài thuộc chi *Penicillium* thuộc tip phialoconidi (tip cơ bản euconidi), không có vách ngăn, hình cầu, gần cầu, hình trứng, elip, đôi khi hình trụ. Khi riêng rẽ, các bào tử trần không màu hoặc màu

nhạt, khi tụ họp thành đám, thường có màu lục, vàng lục, lục xanh, lục xám, xám. Các bào tử trần này tạo thành chuỗi dài trên miệng thể bình.

Bào tử trần cũng như giá bào tử trần, các nhánh, các cuống thể bình, các thể bình tùy từng loại có mặt ngoài nhẵn, ráp, có gai hoặc sần sùi, gồ ghề (hình 3.12, 3.13).

Một số ít loài tạo thành hạch nấm (sclerotium). Hạch nấm cấu tạo bởi các tế bào có vách dày, có thể rất cứng hoặc mềm, hình cầu, gần cầu, không màu hoặc có màu sắc khác nhau, đơn độc hoặc thành cụm. Một số loài như đã nói, có bào tử túi (ascosporum). Thể quả túi là những thể quả kín (cleistothecium), có vỏ thể quả cứng hoặc mềm, có hoặc không có các sợi nấm bao quanh, thể sinh túi cuộn xoắn hoặc thẳng, túi bào tử (ascus) đơn độc hoặc thành chuỗi, bào tử túi không ngăn vách, có hoặc không có rãnh và gờ qui đạo.

Nhiều loài thuộc chi *Penicillium* phân bố rộng rãi ở nhiều vùng địa lý trên trái đất, có mặt ở nhiều cơ chất tự nhiên, trên nhiều sản phẩm công nông nghiệp và gây mốc cho các sản phẩm này. Nhiều loài đã được phát hiện có ở Việt Nam trên các cơ chất tự nhiên và các sản phẩm nói trên (B.X.Đồng 1977, 1986), D.H.Miên 1980, v.v.). *P.notatum* là loài vi nấm, cũng là loài vi sinh vật đầu tiên được dùng để lên men sản xuất chất kháng sinh đầu tiên (penicillin), tạo ra tiến bộ mới của y học hiện đại, với phát hiện của Fleming về khả năng ức chế vi khuẩn của một chủng thuộc loài vi nấm này. Tiếp đó loài *P.chrysogenum* được phát hiện cũng cho penicillin với nhiều chủng có hiệu suất lên men cao, đặc biệt sau khi đã xử lý đột biến. Trong công nghiệp sản xuất kháng sinh hiện nay, một số chủng đã xử lý đột biến của *P.chrysogenum* có thể cho tới 30g penicillin hoặc hơn trong 1 lit môi trường lên men. Các chủng nấm này dùng để sản xuất penicillin tự nhiên (penicillin G, penicillin V, v.v.) và acid 6-aminopenicillamic (dùng để sản xuất các penicillin bán tổng hợp như ampicillin, oxacillin, v.v.). Các penicillin tự nhiên và bán tổng hợp này dùng trong điều trị các bệnh có nguồn gốc vi khuẩn (gram + hoặc vừa gram + vừa gram - tùy loại kháng sinh). Một số loài *Penicillium* khác như *P.griseofulvum*, *P.nigricans*, *P.urticae*, v.v. cho griseofulvin. Griseofulvin là một kháng sinh được dùng trong điều trị một số bệnh nấm ngoài da, tóc, gây ra bởi các nấm bệnh như *Microsporum* spp., *Epidermophyton floccosum*, *Trichophyton* spp. Nhiều loài thuộc chi nấm *Penicillium* cho các kháng sinh khác, nhưng không được dùng trong điều trị vì hoạt tính kháng sinh yếu hoặc vì độc tính cao.

Ngoài các loài được dùng trong công nghệ kháng sinh, một số loài khác thuộc chi *Penicillium* được dùng trong công nghệ chế biến thực phẩm như công nghệ sản xuất phomat (*P.roquefortii*). Nhiều loài cũng đã được

nghiên cứu khả năng tạo thành các acid hữu cơ, về các hoạt tính enzym và một số sản phẩm trao đổi chất khác. Chúng ta cũng cần chú ý trong chi *Penicillium*, một số loài có khả năng tạo thành mycotoxin, đặc biệt các mycotoxin có khả năng gây ung thư gan như các loài *P.islandicum* tạo thành islandotoxin và luteoskyrin, loài *P.urticae* tạo thành patulin, v.v.

Để định loại các loài thuộc chi *Penicillium* đã được dùng rộng rãi trong công nghệ sinh học (*P.griseofulvum*, *P.chrysogenum*, *P.notatum*, *P.roqueforti*) và các loài tạo thành độc tố nguy hiểm (*P.islandicum*, *P.urticae*), sau khi xác định các chủng nấm thuộc chi nấm này, cần xác định các chủng nấm đó lần lượt thuộc nhóm loài, phân nhóm, sau đó mới xác định được loài của các chủng nấm đó (các bảng 3.17, 3.18, 3.19).

**Bảng 3.17. Khóa định loại các nhóm loài (sectio) và các phân nhóm (subsectio) của chi *Penicillium* Link ex Fr.**

(Theo Pidoplisitsko 1972, B.X.Đồng 1976)

1 Chổi 1 vòng (Sectio MONOVERTICILLATA)	2
1. Chổi 2 vòng-nhiều vòng . . . . .	6
2. Có thể quả túi hoặc hạch nấm . . . . .	3
2. Không có thể quả túi hoặc hạch nấm . . . . .	4
3. Có thể quả túi . . . . .	
. . . . . Subsectio Monoverticillata-Ascogena	
3. Có hạch nấm . . . . .	
. . . . . Subsectio Monoverticillata-Sclerogena	
4. Chổi 1 vòng nhưng có 1-2 nhánh . . . . .	
. . . . . Subsectio Monoverticillata-Ramigena	
4. Chổi 1 vòng, không có nhánh . . . . .	5
5. Giá bào tử trần dài, phần lớn trên 100 $\mu\text{m}$ . . . . .	
. . . . . Subsectio Monoverticillata-Longiphora	
5. Giá bào tử trần ngắn, phần lớn dưới 100 $\mu\text{m}$ . . . . .	
. . . . . Subsectio Monoverticillata-Breviphora	
6. Chổi 2 vòng . . . . .	7
6. Chổi 3-4 vòng . . . . (Sectio POLYVERTICILLATA)	
7. Chổi 2 vòng không đối xứng . . . . .	8
7. Chổi 2 vòng đối xứng (Sectio BIVERTICILLATA-SYMMETRICA)	15

8. Cuống thể bình 2-4 cái, tách xa nhau (Sectio DIVARICATA)	9
8. Cuống thể bình 3-6 cái, xếp gần nhau, thường có 2-3 nhánh (Sectio ASYMMETRICA)	12
9. Có thể quả túi hoặc hạch nấm	10
9. Không có thể quả túi hoặc hạch nấm	11
10. Có thể quả . . .	
	<i>Subsectio Divaricata-Ascogena</i>
10. Có hạch nấm . . .	
	<i>Subsectio Divaricata-Sclerotigena</i>
11. Khuẩn lạc có mặt dạng nhung . . .	
	<i>Subsectio Divaricata-Velutina</i>
11. Khuẩn lạc mặt dạng len, dạng bông sôp . . .	
	<i>Subsectio Divaricata-Lanata</i>
12. Có thể quả . . .	
	<i>Subsectio Asymmetrica-Ascogena</i>
12. Không có thể quả	13
13. Khuẩn lạc mặt dạng nhung mướt . . .	
	<i>Subsectio Asymmetrica-Velutina</i>
13. Khuẩn lạc không nhu trên	14
14. Khuẩn lạc mặt dạng len, xốp bông . . .	
	<i>Subsectio Asymmetrica-Lanata</i>
14. Khuẩn lạc có bó giá . . .	
	<i>Subsectio Asymmetrica-Fasciculata</i>
15. Khuẩn lạc có thể quả hoặc hạch nấm	16
15. Khuẩn lạc không có thể quả hoặc hạch nấm	17
16. Có thể quả . . .	
	<i>Subsectio Symetrica-Ascogena</i>
16. Có hạch nấm . . .	
	<i>Subsectio Symetrica-Sclerotigena</i>
17. Thể bình có phần đỉnh thon nhỏ dột ngọt . . .	
	<i>Subsectio Symetrica-Cyathophora</i>
17. Thể bình có phần đỉnh thon nhỏ dần . . .	
	<i>Subsectio Symetrica-Lanceolata</i>

**Bảng 3.18. Khóa định loại các loài *Penicillium chrysogenum* Thom, *P.notatum* Westling, *P.roqueforti* Thom và các loài lân cận trong phân nhóm Asymmetrica-Velutina (Theo Raper và Thom 1949, Samson, Stolk và Hadlok 1976, B.X.Đồng 1986) (Môi trường Czapek, nhiệt độ nuôi cấy 27°C, 10 ngày tuổi)**

1. Giá bào tử trần hiếm khi có nhánh . . . . .	2
1. Giá bào tử trần thường có nhánh . . . . .	5
2. Bào tử trần hình tròn, hình elip, tạo thành các chuỗi song song hoặc chồng chéo lên nhau . . . . .	3
2. Bào tử trần hình cầu, gần cầu, xếp thành các chuỗi sát nhau (dạng cột) . . . . .	4
3. Khuẩn lạc màu lục, mép màu xanh, mặt trái không màu. Bào tử trần hình tròn 3,0 - 3,2 $\mu\text{m}$ trực lớn . . . . .	
	<i>P.coeruleoviride</i> G.Smith
3. Khuẩn lạc màu lục xanh, mặt trái màu nâu. Bào tử trần hình elip hoặc gần cầu, 2,5 - 3,2 $\mu\text{m}$ trực lớn . . . . .	
	<i>P.corylophylum</i> Dierckx
4. Khuẩn lạc màu lục xanh tươi, mặt trái màu vàng, vàng da cam. Bào tử trần 2,2 - 3,2 $\mu\text{m}$ đường kính . . . . .	
	<i>P.citrinum</i> Thom
4. Khuẩn lạc màu xanh, lục vàng, mặt trái màu vàng, vàng nâu. Bào tử trần 2,0 - 2,5 $\mu\text{m}$ đường kính . . . . .	
	<i>P.steckii</i> Zaleski
5. Các thành phần của chồi có kích thước bình thường . . . . .	6
5. Các thành phần của chồi ngắn và xếp sát nhau . . . . .	20
6. Giá bào tử trần và bào tử trần nhẵn . . . . .	7
6. Giá bào tử trần hoặc bào tử trần, hoặc cả hai ráp . . . . .	15
7. Khuẩn lạc phát triển tốt trên môi trường Czapek, 4-5 cm đường kính, tạo thành nhiều bào tử trần . . . . .	8
7. Khuẩn lạc mọc kém trên môi trường Czapek, 1 cm đường kính, tạo thành ít bào tử trần . . . . .	14
8. Mặt trái khuẩn lạc màu vàng, vàng lục, vàng nâu. Giọt tiết màu vàng . . . . .	9
8. Mặt trái khuẩn lạc, đỏ nâu, đỏ da cam hoặc vàng, tím. Không có giọt tiết hoặc nếu có, giọt tiết không màu . . . . .	12
9. Bào tử trần phần lớn hình elip . . . . .	10
9. Bào tử trần phần lớn hình cầu, gần cầu . . . . .	11
10. Khuẩn lạc màu lục vàng, lục xám vàng. Bào tử trần 2,8-3,5 x 3-4 $\mu\text{m}$ . . . . .	
	<i>P.chrysogenum</i> Thom

10. Khuẩn lạc màu lục xanh. Bào tử trần  $2,5-3,0 \times 3,0-3,5 \mu\text{m}$  . . . . .  
     . . . . . *P.meleagrinum* Biourge
11. Khuẩn lạc màu lục xanh. Giọt tiết màu vàng tươi. Bào tử trần  $3,0 - 3,5 \mu\text{m}$   
     dường kính . . . . .  
     . . . . . *P.notatum* Westling
11. Khuẩn lạc màu lục vàng, lục xám. Giọt tiết màu vàng hoặc không màu. Bào  
     tử trần  $3,0 - 3,8 \mu\text{m}$  đường kính . . . . .  
     . . . . . *P.cyaneo-sulvum* Biourge
12. Bào tử trần hình elip  $2,8-3,5 \times 3-4 \mu\text{m}$ . Mặt trái khuẩn lạc màu đỏ da  
     cam sẫm . . . . .  
     . . . . . *P.astramentosum* Thom
12. Bào tử trần hình elip, hình quả lê, trục lớn dài tối  $6 - 7 \mu\text{m}$                          13  
     . . . . .
13. Khuẩn lạc màu lục, với các "khối bột" bào tử trần, mặt trái không màu,  
     màu vàng hoặc tím. Bào tử trần hình elip,  $3-4 \times 4,5-6,6 \mu\text{m}$  . . . . .  
     . . . . . *P.oxalicum* Currie et Thom
13. Khuẩn lạc màu lục xanh nhạt, mặt trái đỏ nâu. Bào tử trần hình trứng, dôi  
     khi hình quả lê,  $3-4 \times 3,5-7,0 \mu\text{m}$  . . . . .  
     . . . . . *P.japonicum* G.Smith
14. Khuẩn lạc màu lục vàng (môi trường cao lúa mạch). Bào tử trần elip,  $3-5 \mu\text{m}$ , sau  $6-8 \mu\text{m}$  ( $10-12 \mu\text{m}$ ) trục lớn  
     . . . . . *P.digitatum* Sacc.
14. Bào tử màu trắng, khuẩn lạc hoàn toàn không có màu lục . . . . .  
     . . . . . *P.digitatum* Sacc.var.*californicum* Thom
15. Bào tử trần ráp, giá bào tử trần nhẵn                                 16  
     . . . . .
15. Bào tử trần nhẵn hoặc có gai, giá bào tử trần ráp                 17  
     . . . . .
16. Bào tử trần hình cầu, ráp rõ rệt  $3,0 - 3,6 \mu\text{m}$  đường kính, xếp thành nhiều  
     cột . . . . .  
     . . . . . *P.attrovenetum* G.Smith
16. Bào tử trần hình trụ hoặc elip, hơi ráp  $1,2-2,3 \times 3,5-5,0 \mu\text{m}$ , dôi khi  $10 \mu\text{m}$   
     trục lớn, xếp thành các chuỗi tách xa nhau . . . . .  
     . . . . . *P.rennelline* Stolk
17. Bào tử trần hình cầu   18  
     . . . . .
17. Bào tử trần hình elip   19  
     . . . . .
18. Bào tử trần nhẵn  $3,5-5,0 \mu\text{m}$ , dôi khi  $7 - 8 \mu\text{m}$  đường kính . . . . .  
     . . . . . *P.roqueforti* Thom
18. Bào tử trần có gai  $3,5 - 4,5 \mu\text{m}$  đường kính . . . . . *P.haraonense* Baghdadi
19. Khuẩn lạc  $2,0 - 2,5 \text{ cm}$  đường kính, mặt trái màu vàng nâu, gần đen. Bào  
     tử trần  $3,0 - 3,5 \mu\text{m}$  trục lớn . . . . .  
     . . . . . *P.casei* Staub

19. Khuẩn lạc 5,0 - 5,5 cm đường kính, mặt trái không màu hoặc màu vàng nhạt. Bảo tử trần 3,1 - 4,1  $\mu\text{m}$  trực lớn . . . . . *P.pseudocasci* Abe
20. Giá bào tử trần thường không có nhánh. Bảo tử trần hình elip, gần cầu 2,8 - 3,3  $\mu\text{m}$  trực lớn. Khuẩn lạc màu lục xanh . . . . . *P.paxilli* Bain. 21
20. Giá bào tử trần thường có nhánh . . . . .
21. Nhánh và cuống thể bình có đường kính lớn, nhánh 4,7 x 10-17  $\mu\text{m}$ , cuống thể bình 4,7 x 9-12  $\mu\text{m}$ . Bảo tử trần hình cầu, 3 - 4  $\mu\text{m}$  đường kính . . . . . *P.brevicompactum* Dierckx
21. Nhánh và cuống thể bình không nhu trên . . . . .
22. Khuẩn lạc màu lục vàng 2,0 - 2,5 cm đường kính. Bảo tử trần hình elip, sau hình cầu 2,5 - 3,5  $\mu\text{m}$  đường kính . . . . . 22
22. Khuẩn lạc màu nâu nhạt, 4,5 cm đường kính. Bảo tử trần hình elip, gần cầu, có gai 2,3 - 3,3  $\mu\text{m}$  trực lớn . . . . .
22. . . . . *P.stoloniferum* Thom
- (Theo G.Smith 1963, syn. của *P. ochraceum* Bain.)

**Bảng 3.19.** Khóa định loại loài *Penicillium griseofulvum* Dierckx và các loài lân cận trong phân nhóm Asymmetrica-Fasciculata.

(Theo Samson Stolk và Hadlok 1976, B.X.Đồng 1986)

(Môi trường Czapek, nhiệt độ nuôi cấy 27°C, 10 ngày tuổi)

- 1 Giá bào tử trần hầu hết tu hợp thành bó giá . . . . . 2
- 1 Giá bào tử trần phần lớn riêng rẽ, một số tu hợp thành bó giá, nhưng không tạo thành thân bó giá rõ rệt . . . . . 5
- 2 Bó giá dài tới 15 cm, thân rộng 1 - 4 mm. Bảo tử trần hình elip nhọn đầu, có gai mịn 2,0-2,5 x 3,0-3,8  $\mu\text{m}$  . . . . .
- 2 Bó giá không dài quá 4 cm . . . . . 3
- 3 Bó giá không phân hóa thành phần thân và phần đầu hữu thu, dài 2 - 4 cm. Bảo tử trần hình elip, nhẵn 2,2-3,0 x 3-4  $\mu\text{m}$  . . . . .
- 3 Bó giá có phần thân và phần đầu hữu thu phân hóa rõ rệt . . . . . 4
- 4 Bó giá cao 0,5 - 0,2 cm, thân bó màu tím hồng hoặc đỏ, phần đầu màu lục. Bảo tử trần hình elip 3,0-3,5 x 4,0-4,5  $\mu\text{m}$  . . . . .
- 4 . . . . . *P.clavigerum* Dermelius
- 4 . . . . . *P.claviforme* Bain.

4. Bó giá (chỉ tạo thành rõ rệt trên môi trường cao lúa mạch) cao tối 1 mm, thân bó màu trắng, phần đầu màu lục. Bào tử trần hình elip 2,0-2,5 x 3,2- 3,7 $\mu$ m . . .	
	<i>P.concentricum</i> Samson, Stolk et Hadlok
5. Bào tử trần ráp hoặc có gai	6
5. Bào tử trần nhẵn	7
6. Bào tử trần 4,5 - 4,5 $\mu$ m đường kính. Mặt trái khuẩn lạc không màu hoặc màu vàng . . .	
	<i>P.echinulatum</i> Fassatiová
	(= <i>P.cyclopium</i> Westling var. <i>echinulatum</i> Raper et Thom)
6. Bào tử trần 2 - 3 $\mu$ m đường kính. Mặt trái khuẩn lạc màu nâu vàng, nâu đỏ, giọt tiết màu da cam đỏ . . .	
	<i>P.hordei</i> Stolk
7. Giá bào tử trần nhẵn	8
7. Giá bào tử trần ráp hoặc có gai	10
8. Thể bình ngắn, dài không quá 6,5 $\mu$ m, phần đỉnh rất ngắn. Bào tử trần hình elip, nhẵn 2,2-2,5 x 2,5-3,5 $\mu$ m . . .	
	<i>P.griseofulvum</i> Dierckx
8. Thể bình dài trên 6,5 $\mu$ m, phần đỉnh rõ rệt	9
9. Khuẩn lạc màu lục vàng, lục xanh 4 - 5 cm đường kính. Thể bình 2,0-3,5 x 8-12 $\mu$ m. Bào tử trần nhẵn, 2,5-3,0 x 3,0-3,5 $\mu$ m . . .	
	<i>P.expansum</i> Link ex S.F.Gray
9. Khuẩn lạc màu lục xám 2,0 - 2,5 cm đường kính. Thể bình 2-5 x 8-15 $\mu$ m. Bào tử trần hình trụ sau elip, nhẵn, 2,5-3,5 x 4-5 $\mu$ m (Gây thối quả cam, chanh) . . .	
	<i>P.italicum</i> Wehmer
(Khuẩn lạc màu lục nâu, nâu nhạt, có mặt các cuộn sợi nấm 200 - 500 $\mu$ m đường kính . . .	
	<i>P.italicum</i> Wehmer var. <i>avellaneum</i> Samson et Guttar)
10. Bào tử trần hình elip, nhẵn 2,0-2,5 x 3,0-3,5 $\mu$ m. Giá bào tử trần ráp (ở các chủng mới phân lập, phần lớn giá bào tử trần tụ họp thành bó giá)	
	<i>P.granulatum</i> Bain.
10. Bào tử trần hình cầu, phần lớn 3 - 4 $\mu$ m đường kính. Giá bào tử trần ráp, dài 100 - 400 $\mu$ m. Thể bình dài 7 - 9 $\mu$ m, phần đỉnh ngắn. Các đặc diểm khác biến thiên (theo các thứ) . . .	11
	<i>P.verrucosum</i> Dierckx
11. Vùng có bào tử trần trên khuẩn lạc màu trắng, màu vàng, nâu vàng, không có màu lục	12

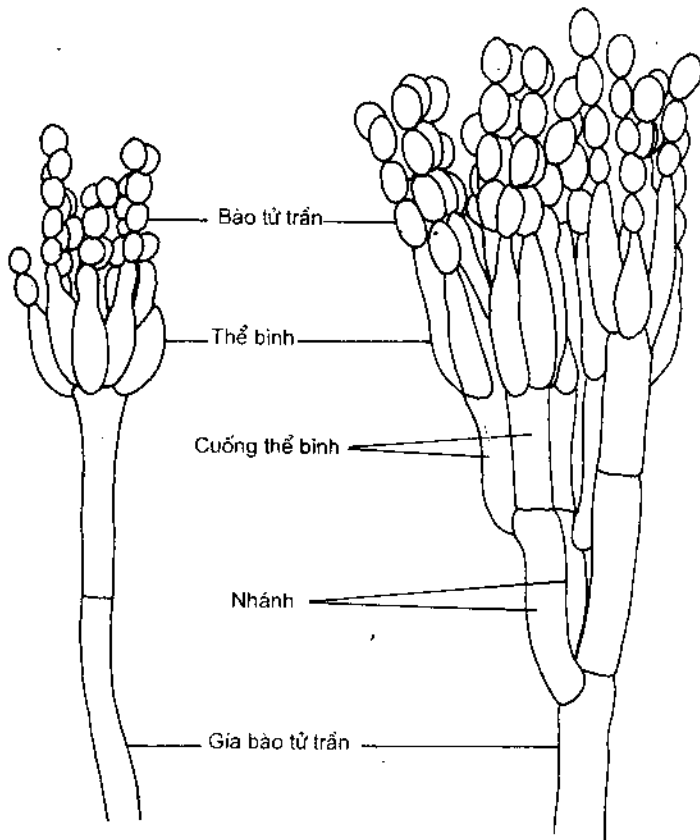
11. Vùng có bào tử trần trên khuôn lạc có các màu lục . . . . .
12. Vùng có bào tử trần trắng sau hồng tím nhạt hoặc trắng vàng nhạt.  
Khuẩn lạc 4 cm đường kính . . . . .  
    . . . *P.verrucosum* var. *album* (G.Smith) Samson, Stolk et Hadlok
12. Vùng có bào tử trần màu nâu vàng, nâu lục nhạt. Khuẩn lạc 2,0 - 3,5 cm đường kính . . . . .  
    . . . *P.verrucosum* var. *ochraceum* (Thom) Samson, Stolk et Hadlok  
                  (= *P. ochraceum* Thom, in Raper et Thom, 1949)
13. Khuẩn lạc không quá 3 cm đường kính, màu lục vàng tươi, mặt trái vàng nâu, nâu vàng . . . . .  
    . . . *P.verrucosum* var. *verrucosum* Dierckx
13. Khuẩn lạc phát triển nhanh hơn, trên 3 cm đường kính, không có màu lục vàng tươi . . . . .
14. Phần lớn giá bào tử trần tụ họp thành bó giá ở các chủng mới phân lập, hệ sợi nấm màu vàng, giọt tiết nâu da cam, vùng có bào tử trần màu lục xám, lục xanh . . . . .  
    . . . *P.verrucosum* var. *corymbiferum* (Westling) Samson, Stolk et Hadlok  
                  (= *P.corymbiferum* Westling, in Raper et Thom, 1949)
14. Các đặc điểm của bó giá, hệ sợi nấm, giọt tiết không như trên . . . . .
15. Vùng có bào tử trần trên khuôn lạc màu lục sẫm. Phần lớn giá bào tử trần riêng rẽ. Khuẩn lạc 3 - 4 cm đường kính . . . . .  
    . . . *P.verrucosum* var. *melanochlorum* Samson, Stolk et Hadlok  
                  (= *P. palitans* Westling sensu Raper et Thom 1949)
15. Vùng có bào tử trần trên khuôn lạc màu lục xám, lục xanh. Khuẩn lạc có bó giá rõ rệt, thường 4,5 - 5,0 cm đường kính . . . . .  
    . . . *P.verrucosum* var. *cyclopium* (Westling) Samson, Stolk et Hadlok  
                  (= *P. cyclopium* Westling, in Raper et Thom, 1949).

13

14

15

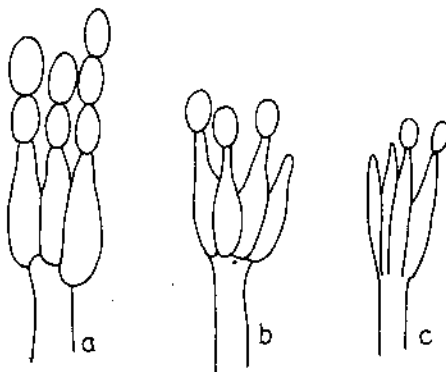
*Penicillium chrysogenum* Thom - Thuộc phân nhóm Asymmetrica-Velutina, nhóm loài Asymmetrica. Khuẩn lạc 5 - 6 cm đường kính, màu lục vàng, lục xanh, mặt dạng nhung, đôi khi có vài vùng xốp bong nhẹ, nhiều rãnh xuyên tâm. Mặt trái khuôn lạc và môi trường xung quanh màu vàng, vàng nâu tươi. Giọt tiết màu vàng chanh. Giá bào tử trần nhẵn, phát triển từ hệ sợi nền, phần lớn 3,0-3,5 x 150-350  $\mu\text{m}$ , mang 1 - 2 nhánh. Nhánh cùng với các vòng cuống thể bình, các vòng thể bình tạo thành chồi-3 vòng. Nhánh nhẵn 3,0-3,5 x 15-25  $\mu\text{m}$ . Cuống thể bình 2-5 cái trên đỉnh một nhánh 2-3 x 12-15  $\mu\text{m}$ . Thể bình xếp thành từng vòng 4 - 6 cái trên đỉnh một cuống thể bình 2,0-2,5 x 8-10  $\mu\text{m}$ .



Hình 3.12. Chi *Penicillium* Link ex Fries. Các thành phần của chồi (hộ máy mang bào tử trần).

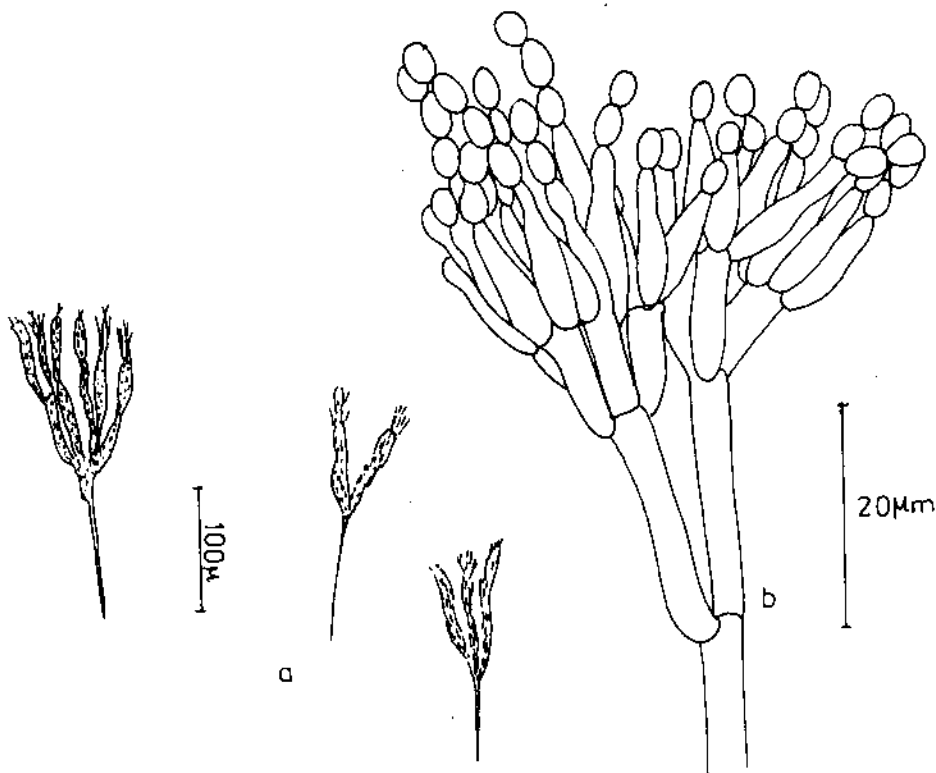
Bào tử trần hình elip, nhẵn,  $2,5-3,5 \times 3-4 \mu\text{m}$ , thành cột dài tới  $200 \mu\text{m}$  (hình 3.14, 3.15).

*Penicillium notatum* Westling - Thuộc phân nhóm Asymmetrica-Velutina, nhóm loài Asymmetrica. Khuẩn lạc 3,0 - 4,5 cm đường kính, màu lục xanh, lục xám xanh, mặt dạng nhung, nhiều rãnh xuyên tâm. Mặt trái khuẩn lạc màu vàng tươi, vàng nâu tươi. Giọt tiết rất nhiều, màu vàng tươi, vàng nâu nhạt. Giá bào tử trần nhẵn, phát triển hầu hết từ hệ sợi nền  $2,5-3,0 \times 250-500 \mu\text{m}$ , không có nhánh hoặc mang 1 - 2 nhánh. Nhánh nếu có nhẵn,  $2,5-3,0 \times 10-20 \mu\text{m}$ . Cuống thể binh thành vòng 3 - 6 cái trên đỉnh giá bào tử trần hoặc trên đỉnh mỗi nhánh  $2,5-3,0 \times 10-15 \mu\text{m}$ . Thể binh xếp thành vòng 3 - 6 cái  $2,0-2,5 \times 8-10 \mu\text{m}$ . Bào tử trần hình cầu, gần cầu, nhẵn  $3,0 - 3,5 \mu\text{m}$  đường kính, xếp thành các chuỗi song song hay dạng cột, dài tới  $100 \mu\text{m}$  (hình 3.16).



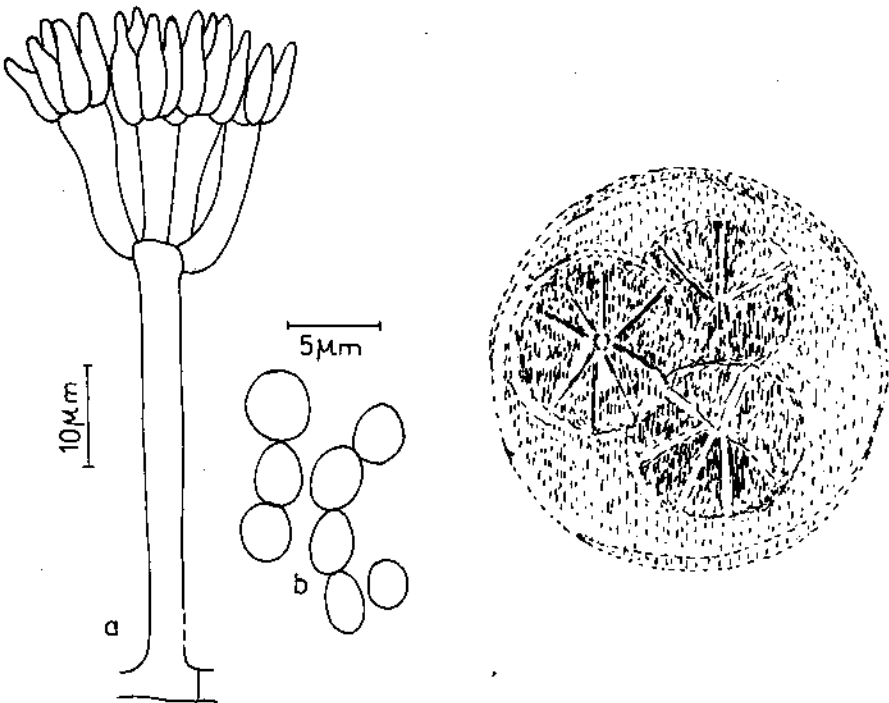
Hình 3.13. Chi *Penicillium* Link ex Fries. Các kiểu thê bình.

a- Thê bình có phần cổ rộng ở *P. expansum* Link và nhiều loài, b- Thê bình có phần cổ hẹp ở *P.janthinellum* Biourge và các loài lân cận, c- Thê bình hình mác ở *P.funiculosum* Thom và một số loài thuộc nhóm loài *Biverticillata-Symmetrica*  
(Raper và Thom, 1949)



Hình 3.14. *Penicillium chrysogenum* Thom.

a- Chồi (bộ mày mang bào tử trần) với các chuỗi bào tử trần tu lại thành dạng cột. b- Chi tiết bộ mày mang bào tử trần.



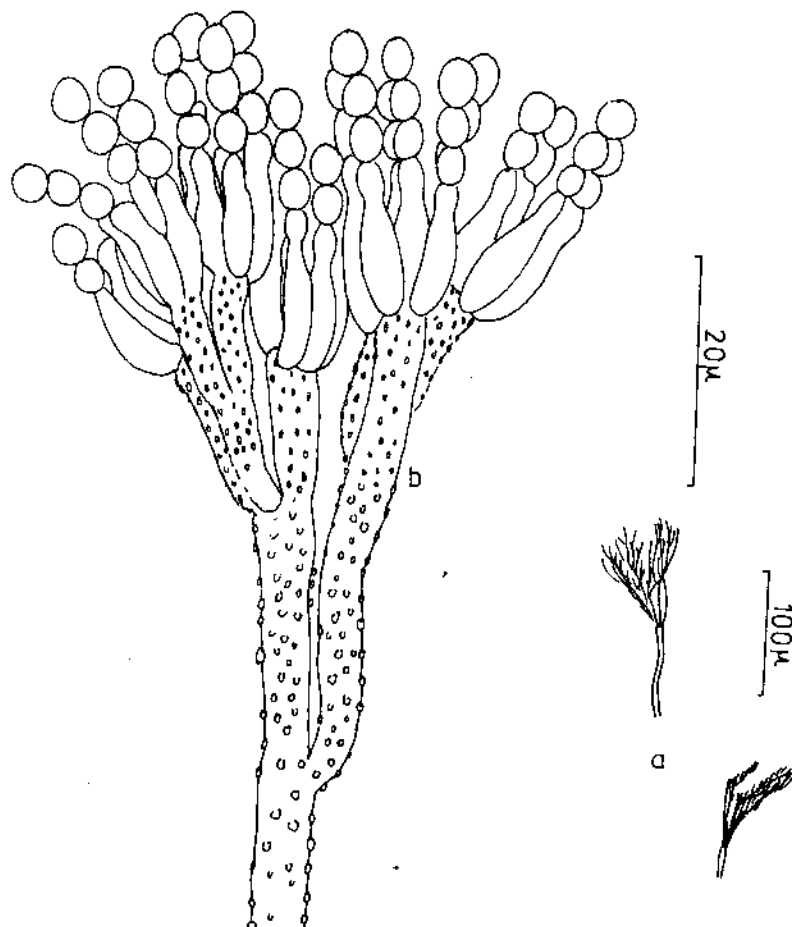
Hình 3.15. *Penicillium notatum* Westling.

a- Bộ mày mang bào tử trần (chổi), b- Bào tử trần, c- Khuẩn lạc của chủng nấm do Fleming phân lập (chủng NRRL 824) (Raper và Thom, 1949).

*Penicillium roqueforti* Thom - Thuộc phân nhóm Asymmetrica-Velutina nhom loài Asymmetrica. Khuẩn lạc 5 - 6 cm đường kính, mặt dạng nhung, có các rãnh xuyên tâm không đều, màu lục xanh, lục xám, mặt trái màu lục xanh đến đen. Không có giọt tiết. Chổi đa dạng, một vòng, hai vòng, hoặc hai vòng với 1 - 2 nhánh mọc sát vào giá bào tử trần. Giá bào tử trần thường ngắn,  $4-6 \times 100-150 \mu\text{m}$ , có các nốt sần, hiếm khi nhẵn. Cuống thể bình 3-4 cái thành vòng trên đỉnh giá hoặc đỉnh mỗi nhánh  $3,0-4,5 \times 12-15 \mu\text{m}$ . Thể bình thành vòng 4 - 6 cái trên đỉnh giá, đỉnh nhánh, hoặc trên đỉnh mỗi cuống thể bình  $3,0-3,5 \times 8-12 \mu\text{m}$ . Bào tử trần hình cầu, gần cầu, thường  $3,5 - 5,0 \mu\text{m}$ , đôi khi  $7 - 8 \mu\text{m}$  đường kính, nhẵn, thành chuỗi song song (hình 3.17).

*Penicillium griseofulvum* Dierckx - Thuộc phân nhóm Asymmetrica-Fasciculata, nhom loài Asymmetrica. Khuẩn lạc mọc chậm, 1,8 - 2,0 cm đường kính, màu lục xám, lục vàng, mặt trái màu vàng, vàng nâu, dò nâu. Bó giá chủ yếu có ở vùng mép khuẩn lạc, các giá bào tử trần còn lại riêng rẽ. Giá bào tử trần nhẵn, dài  $400 - 500 \mu\text{m}$  không có nhánh, có 1 hoặc 2 vòng nhánh, các nhánh nếu có tách xa nhau. Thể

bình dài không quá  $6,5 \mu\text{m}$ , phần đỉnh rất ngắn, không phân biệt rõ rệt. Bào tử trần hình elip  $2,2-2,5 \times 2,5-3,5 \mu\text{m}$ , nhẵn.



Hình 3.16. *Penicillium roqueforti* Thom.

- a- Bộ mày mang bào tử trần (choids) với các chuỗi bào tử trần song song.  
b- Chi tiết bộ mày mang bào tử trần.

## TÀI LIỆU THAM KHẢO CHÍNH

Booth C., 1971

The genus *Fusarium*. CMI, Kew, Surrey

Bộ Đại học và Trung học chuyên nghiệp, 1977

Tóm tắt báo cáo Hội nghị sinh học các trường đại học Việt Nam lần I (TP. Hồ Chí Minh - 1977). Hà Nội

Bùi Xuân Đồng, 1972

Contributions à l'étude des Hyphomycètes, I. Esquisse d'une nouvelle classification. Ceské Mykol. 26/3 : 155-166.

Bùi Xuân Đồng, 1977

Một số vấn đề về nấm học. NXB Khoa học và Kỹ thuật, Hà Nội

Bùi Xuân Đồng, 1984, 1986

Nhóm nấm Hyphomycetes ở Việt Nam, tập 1 và 2. NXB Khoa học và Kỹ thuật, Hà Nội

Bùi Xuân Đồng, 1998

Các vi nấm dùng trong công nghệ kháng sinh - Phương pháp định loại. Giáo trình cao học. Trường Đại học Dược, Hà Nội.

De Hoog G.S, 1972

The genera Beauveria, Isaria, Tritirachium and Acrodontium gen.nov. Studies in Mycol., N.I.

Lê Ngọc Tú và Cs., 1982

Enzym vi sinh vật, tập 2. NXB Khoa học và Kỹ thuật, Hà Nội.

Lê Văn Nhuận và Nguyễn Lan Dũng, 1992

Công nghệ sinh học - Một cơ hội cho tất cả. NXB Nông nghiệp, Hà Nội

Nguyễn Lan Dũng, 1981

Sử dụng vi sinh vật để phòng sâu hại cây trồng. NXB Khoa học và Kỹ thuật, Hà Nội

Nguyễn Lan Dũng, 1983

Một số sản phẩm của vi nấm. NXB Khoa học và Kỹ thuật, Hà Nội

Phạm Hồ Trương, 1993

Chuyển hóa phế liệu ligno-xenluloza nhờ nấm sợi bằng phương pháp lên men rắn. Luận án PTS. Trường Đại học Tổng hợp Hà Nội.

Pitt John I., 1979

The genus *Penicillium* and its teleomorphic states *Eupenicillium* and *Talaromyces*. Academic Press, London (...)

Quán Văn Thịnh, 1979

Sinh tổng hợp proteaza từ chủng nấm mốc *Asp.oryzae* VN1 và ứng dụng trong sản xuất nước chấm. Luận án PTS. Trường Đại học Bách khoa, Hà Nội.

Ramirez L., 1982

Manual and Atlas of the Penicillia. Elsevier Biomédical Press, Amsterdam, NY., Oxford

Raper K.B. et Ch.Thom, 1949

A manual of the Penicillia. The Williams et Wilkins Company, Baltimore

Raper K.B. et D.I.Fennell, 1965

The genus Aspergillus. The Williams et Wilkins Company, Baltimore

Samson R.A., 1974

Paecilomyces and some allied Hyphomycetes. Studies in Mycol., N.6.

Schipper A.A., 1974

Mucor mucedo, Mucor flavus and related species. Studies in Mycol., N.10

Schipper A.A., 1976

Mucor circinelloides, Mucor racemosus and related species. Studies in Mycol., N.12

Smith G., 1971

An introduction to industrial Mycology, 6 éd. E.Arnold Ltd., London

Tạ Kim Chính., 1996

Nghiên cứu tuyển chọn một số chủng vi nấm diệt côn trùng gây hại ở Việt Nam và khả năng ứng dụng. Luận án PTS. Viện Công nghệ sinh học - TT. Khoa học tự nhiên và Công nghệ quốc gia, Hà Nội

Trương Công Quyền, 1972

Sơ lược về kháng sinh. Phòng nghiên cứu kháng sinh, Trường Đại học Dược, Hà Nội

Tulloch M., 1976

The genus *Metarhizium*. Trans.Br. mycol.Soc., 66/3 : 407-411.

Ủy ban Khoa học và Kỹ thuật Việt Nam, 1978

Thu nhận và ứng dụng các chất hoạt động sinh học từ vi sinh vật.  
Lê Văn Nhuơng và Cs. biên tập NXB Khoa học và kỹ thuật, Hà Nội

**BÙI XUÂN ĐỒNG, NGUYỄN HUY VĂN**

**VI NẤM  
DÙNG TRONG  
CÔNG NGHỆ SINH HỌC**

*Chịu trách nhiệm xuất bản :*

**PGS. TS TÔ ĐĂNG HẢI**

*Biên tập và sửa bài :*

**PHẠM THÁI**

*Trình bày bìa :*

**HƯƠNG LAN**

**NHÀ XUẤT BẢN KHOA HỌC VÀ KỸ THUẬT  
70 TRẦN HUNG ĐẠO - HÀ NỘI**

---

In 1000 bản, khổ 16 x 24 cm, tại Nhà in 19 - 8

Giấy phép xuất bản số 84 - 82 - 1 ngày 24/1/2000

In xong và nộp lưu chiểu tháng 4 năm 2000

THƯƠNG HIỆU

ví nấm dùng trong công nghệ



1 001031 400738

22.500 VNĐ

Giá: 22.500 đ